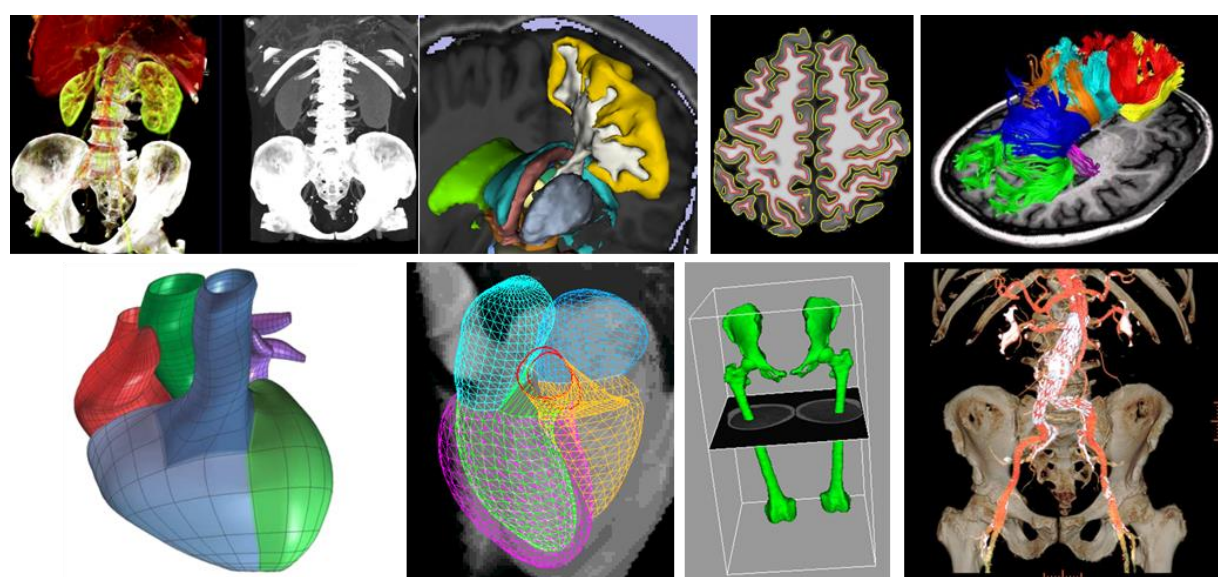


Analiza medicinskih slik

Predavanja



Univerza v Ljubljani
Fakulteta za elektrotehniko



Žiga Špiclin

Analiza medicinskih slik

Predavanja

Ljubljana, 2020

Predgovor

Pričujoča zbirka prosojnic predavanj predstavlja dopolnilno študijsko gradivo pri predmetu Analiza medicinskih slik na Univerzitetnem študiju elektrotehnike 2. stopnje, smer Biomedicinska tehnika. Nastala je iz gradiv za izvedbo predavanj pri tem predmetu v preteklih študijskih letih.

Namen gradiva je seznaniti študente z vsebinami predmeta in podati smernice za kasnejšo izvedbo laboratorijskih vaj, ki se tesno navezujejo na predavanja. Zbirka predavanj obsega 13 poglavij, ki študente seznanijo s področji uporabe analize medicinskih slik, postopki netoge poravnave slik in postopki poravnave 3D in 2D slik v kontekstu slikovnega vodenja posegov, validacijo postopkov poravnave, razgradnjo slik z interaktivnim in avtomatski upragovanjem, razgradnjo s poravnavo atlasov, z rojenjem in uporabo pri razgradnji slik in analizi podatkov, principi in postopki strojnega in globokega strojnega učenja ter njihovo uporabo za namen analize podatkov in razgradnje slik, s postopki modeliranja pojavnosti in oblike ter uporabo pridobljenih modelov za razgradnjo medicinskih slik, s postopki validacije razgradnje slik in razvojem in vrednotenjem kvantitativnih slikovnih biomarkerjev.

Avtor se zahvaljuje vsem sodelavcem Laboratorija slikovne tehnologije na Fakulteti za elektrotehniko, Univeze v Ljubljani, ki so kakorkoli pripomogli k nastanku te zbirke.

Ljubljana, April 2020

Žiga Špiclin

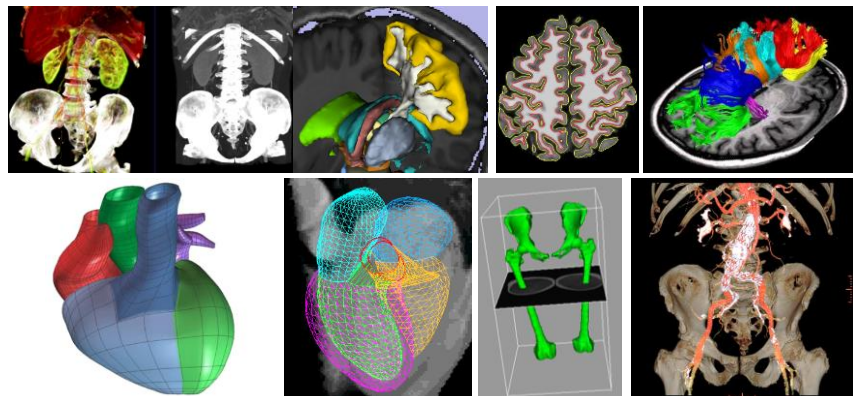
Kazalo

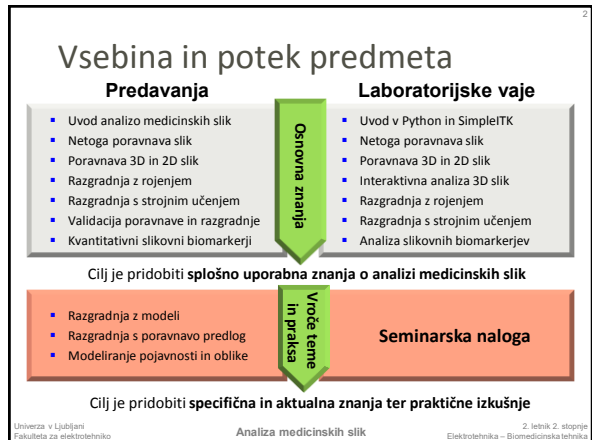
Uvod	5
Netoga poravnava slik	25
Poravnava 3D in 2D	50
Validacija poravnave slik	77
Uvod v razgradnjo	102
Razgradnja slik s poravnavo atlasov	120
Razgradnja z rojenjem značilnic	135
Strojno učenje	150
Globoko strojno učenje	171
Modeliranje pojavnosti	188
Razgradnja z modeli	202
Validacija razgradnje	223
Kvantitativni slikovni biomarkerji	242

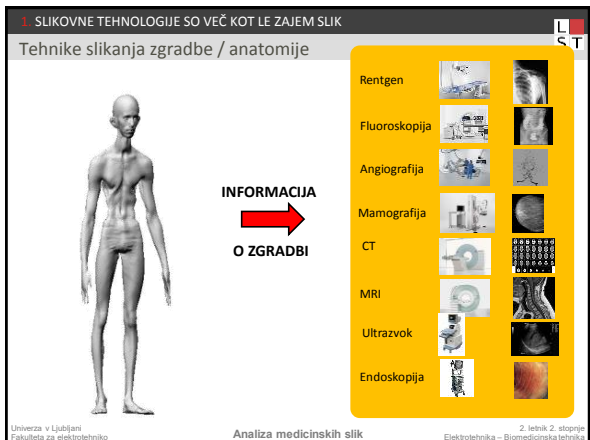
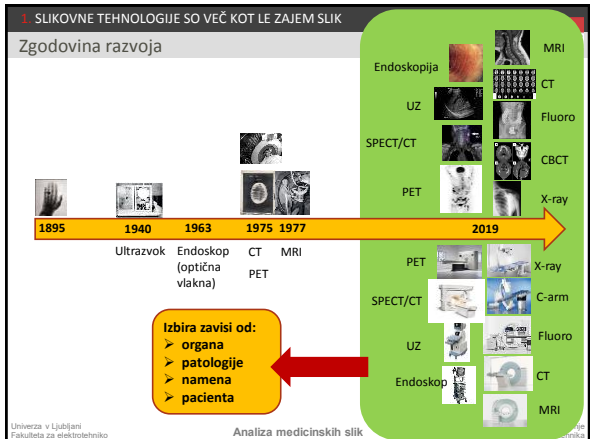
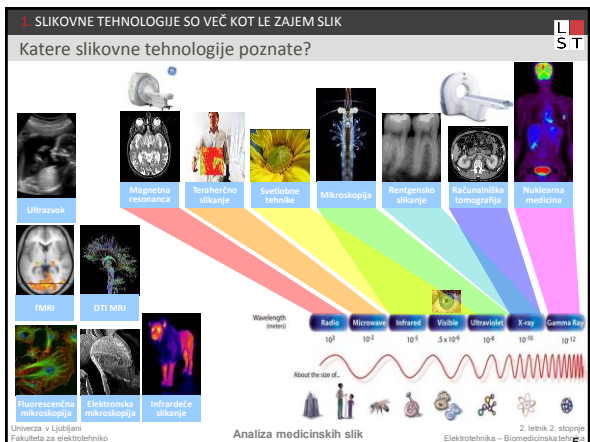


Uvod

Analiza medicinskih slik







1. SLIKOVNE TEHNOLOGIJE SO VEČ KOT LE ZAJEM SLIK

Tehnike slikanja funkcije

L
S
T

PET

SPECT/CT

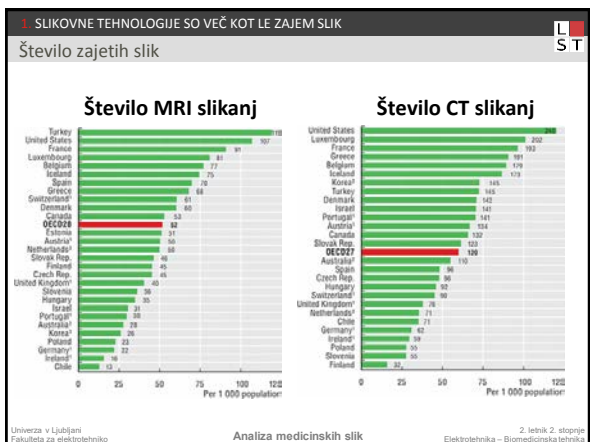
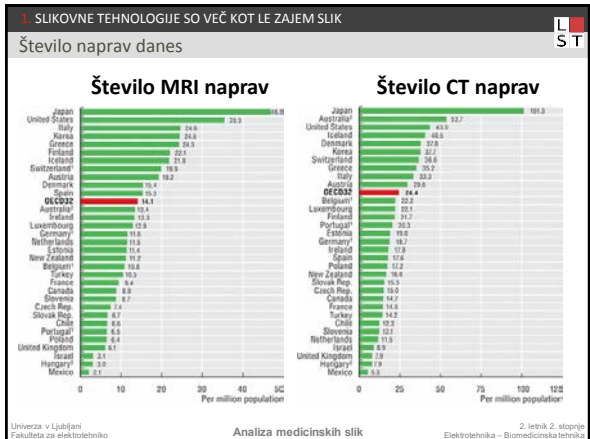
fMRI

Funkcijo (fiziološke aktivnosti) organov in tkiv ocenjujemo z meritvami sprememb v metabolizmu, pretoku krvi, kemični sestavi in absorpciji.

Univerza v Ljubljani
Fakulteta za elektrotehniko

Analiza medicinskih slik

2. letnik 2. stopnje
Elektrotehnika - Biomedicinska tehnika

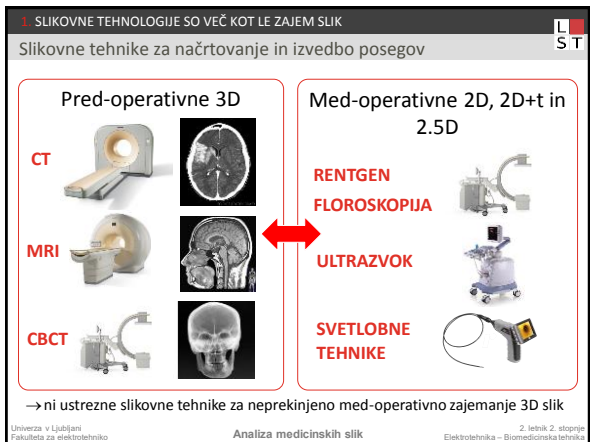
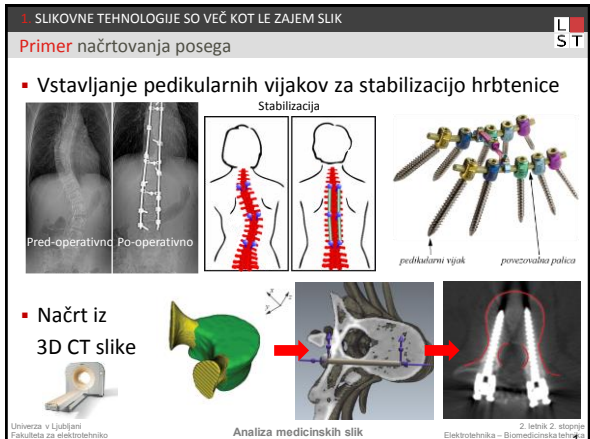
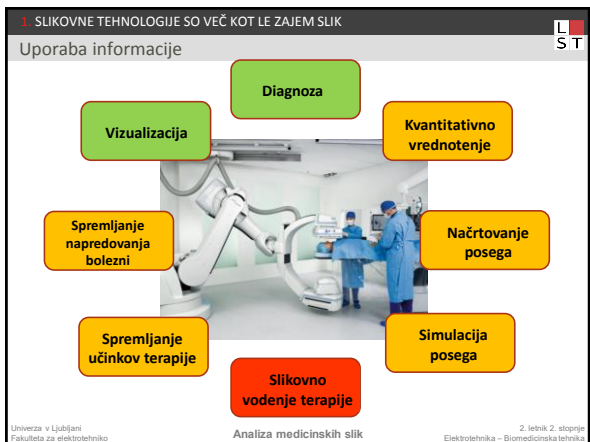


1. SLIKOVNE TEHNOLOGIJE SO VEČ KOT LE ZAJEM SLIK

Število zajetih slik

L
S
T

	Computed tomography (CT) scanners	Magnetic resonance scanners (MRI units)	PET scanners	Computed tomography (CT) scanners	Magnetic resonance scanners (MRI units)	PET scanners	Computed tomography (CT) scanners	Magnetic resonance scanners (MRI units)	PET scanners
Number of scanners per machine (number of scans per machine)									
Belgium (1)	1 972 244	655 766	17 852	1 972 244	655 766	17 852	1 972 244	655 766	17 852
Croatia	72 365	4 915	1 000	72 365	4 915	1 000	72 365	4 915	1 000
Czech Republic	1 037 159	475 452	33 666	9 879	4 522	320	9 374	4 098	3 367
Denmark (1)	4 497 053	1 308 172	26 203	14 189	6 026	607	3 768	1 880	2 035
Egypt (1)	27 788	1 000	33 103	2 711	1 000	41	2 733	1 000	295
Finland (1)	651 938	67 952	14 837	49 454	5 122	26 077	4 502	2 048	1 694
Greece (1)	2 000 000	750 000	108 090	18 030	6 751	224	5 459	4 544	1 552
Iceland	4 405 000	3 200 000	108 090	18 030	6 751	224	5 459	4 544	1 552
France (1)	32 545 616	9 819 078	222 853	19 277	9 087	339	13 389	8 980	2 973
Germany (1)	30 000	1 000	8 000	1 000	1 000	100	3 233	1 000	1 000
Italy	90 395	9 813	11 168	689	4 549	348	3 439	348	348
Latvia	310 039	64 113	11 862	2 005	4 158	3 072	2 005	4 158	3 072
Lithuania	231 000	39 000	445	1 200	15	1 000	1 000	1 000	445
Luxembourg	102 759	41 137	2 119	10 918	2 750	360	8 066	2 076	7 179
Macedonia	91 100	10 000	14 837	2 711	1 000	1 000	1 000	1 000	1 000
Malta	170 108	11 940	816	7 111	2 626	146	3 784	2 991	368
Netherlands (1)	1 120 861	431 552	32 847	13 361	2 010	248	7 126	4 847	2 053
Norway	2 104 403	867 442	34 734	3 522	2 280	81	2 217	1 041	134
Poland (1)	1 425 000	1 000	1 000	1 000	1 000	1 000	6 646	2 066	1 776
Romania	402 053	377 733	2 690	2 295	889	16	2 333	2 943	578
Slovenia	137 000	100 000	1 000	1 000	1 000	1 000	1 000	1 000	1 000
Slovakia	864 550	255 561	8 464	12 276	4 627	119	8 067	6 958	1 077
Slovenia	175 000	175 000	1 054	1 000	1 000	36	1 049	2 002	165
Switzerland	477 232	2 339 000	7 632	4 077	4 077	4 077	4 077	4 077	4 077
United Kingdom (1)	56 665	24 127	17 314	4 462	4 380	3 632	4 380	3 632	4 380
Yugoslavia	170 000	170 000	1 000	1 000	1 000	1 000	1 000	1 000	1 000
Zimbabwe	739 432	887 117	31 741	9 036	6 054	382	3 785	3 942	1 134
Number of scanners per machine (number of scans per machine)									
Belgium (1)	1 972 244	655 766	17 852	1 972 244	655 766	17 852	1 972 244	655 766	17 852
Croatia	72 365	4 915	1 000	72 365	4 915	1 000	72 365	4 915	1 000
Czech Republic	1 037 159	475 452	33 666	9 879	4 522	320	9 374	4 098	3 367
Denmark (1)	4 497 053	1 308 172	26 203	14 189	6 026	607	3 768	1 880	2 035
Egypt (1)	27 788	1 000	33 103	2 711	1 000	41	2 733	1 000	295
Finland (1)	651 938	67 952	14 837	49 454	5 122	26 077	4 502	2 048	1 694
Greece (1)	2 000 000	750 000	108 090	18 030	6 751	224	5 459	4 544	1 552
Icealand	4 405 000	3 200 000	108 090	18 030	6 751	224	5 459	4 544	1 552
France (1)	32 545 616	9 819 078	222 853	19 277	9 087	339	13 389	8 980	2 973
Germany (1)	30 000	1 000	8 000	1 000	1 000	100	3 233	1 000	1 000
Italy	90 395	9 813	11 168	689	4 549	348	3 439	348	348
Latvia	310 039	64 113	11 862	2 005	4 158	3 072	2 005	4 158	3 072
Lithuania	231 000	39 000	445	1 200	15	1 000	1 000	1 000	445
Luxembourg	102 759	41 137	2 119	10 918	2 750	360	8 066	2 076	7 179
Macedonia	91 100	10 000	14 837	2 711	1 000	1 000	1 000	1 000	1 000
Malta	170 108	11 940	816	7 111	2 626	146	3 784	2 991	368
Netherlands (1)	1 120 861	431 552	32 847	13 361	2 010	248	7 126	4 847	2 053
Norway	2 104 403	867 442	34 734	3 522	2 280	81	2 217	1 041	134
Poland (1)	1 425 000	1 000	1 000	1 000	1 000	1 000	6 646	2 066	1 776
Romania	402 053	377 733	2 690	2 295	889	16	2 333	2 943	578
Slovenia	137 000	100 000	1 000	1 000	1 000	1 000	1 000	1 000	1 000
Slovakia	864 550	255 561	8 464	12 276	4 627	119	8 067	6 958	1 077
Slovenia	175 000	175 000	1 054	1 000	1 000	36	1 049	2 002	165
Switzerland	477 232	2 339 000	7 632	4 077	4 077	4 077	4 077	4 077	4 077
United Kingdom (1)	56 665	24 127	17 314	4 462	4 380	3 632	4 380	3 632	4 380
Zimbabwe	170 000	170 000	1 000	1 000	1 000	1 000	1 000	1 000	1 000
Number of scanners per machine (number of scans per machine)									
Belgium (1)	1 972 244	655 766	17 852	1 972 244	655 766	17 852	1 972 244	655 766	17 852
Croatia	72 365	4 915	1 000	72 365	4 915	1 000	72 365	4 915	1 000
Czech Republic	1 037 159	475 452	33 666	9 879	4 522	320	9 374	4 098	3 367
Denmark (1)	4 497 053	1 308 172	26 203	14 189	6 026	607	3 768	1 880	2 035
Egypt (1)	27 788	1 000	33 103	2 711	1 000	41	2 733	1 000	295
Finland (1)	651 938	67 952	14 837	49 454	5 122	26 077	4 502	2 048	1 694
Greece (1)	2 000 000	750 000	108 090	18 030	6 751	224	5 459	4 544	1 552
Icealand	4 405 000	3 200 000	108 090	18 030	6 751	224	5 459	4 544	1 552
France (1)	32 545 616	9 819 078	222 853	19 277	9 087	339	13 389	8 980	2 973
Germany (1)	30 000	1 000	8 000	1 000	1 000	100	3 233	1 000	1 000
Italy	90 395	9 813	11 168	689	4 549	348	3 439	348	348
Latvia	310 039	64 113	11 862	2 005	4 158	3 072	2 005	4 158	3 072
Lithuania	231 000	39 000	445	1 200	15	1 000	1 000	1 000	445
Luxembourg	102 759	41 137	2 119	10 918	2 750	360	8 066	2 076	7 179
Macedonia	91 100	10 000	14 837	2 711	1 000	1 000	1 000	1 000	1 000
Malta	170 108	11 940	816	7 111	2 626	146	3 784	2 991	368
Netherlands (1)	1 120 861	431 552	32 847	13 361	2 010	248	7 126	4 847	2 053
Norway	2 104 403	867 442	34 734	3 522	2 280	81	2 217	1 041	134
Poland (1)	1 425 000	1 000	1 000	1 000	1 000	1 000	6 646	2 066	1 776
Romania	402 053	377 733	2 690	2 295	889	16	2 333	2 943	578
Slovenia	137 000	100 000	1 000	1 000	1 000	1 000	1 000	1 000	1 000
Slovakia	864 550	255 561	8 464	12 276	4 627	119	8 067	6 958	1 077
Slovenia	175 000	175 000	1 054	1 000	1 000	36	1 049	2 002	165
Switzerland	477 232	2 339 000	7 632	4 077	4 077	4 077	4 077	4 077	4 077
United Kingdom (1)	56 665	24 127	17 314	4 462	4 380	3 632	4 380	3 632	4 380
Zimbabwe	170 000	170 000	1 000	1 000	1 000	1 000	1 000	1 000	1 000
Number of scanners per machine (number of scans per machine)									
Belgium (1)	1 972 244	655 766	17 852	1 972 244	655 766	17 852	1 972 244	655 766	17 852
Croatia	72 365	4 915	1 000	72 365	4 915	1 000	72 365	4 915	1 000
Czech Republic	1 037 159	475 452	33 666	9 879	4 522	320	9 374	4 098	3 367
Denmark (1)	4 497 053	1 308 172	26 203	14 189	6 026	607	3 768	1 880	2 035
Egypt (1)	27 788	1 000	33 103	2 711	1 000	41	2 733	1 000	295
Finland (1)	651 938	67 952	14 837	49 454	5 122	26 077	4 502	2 048	1 694
Greece (1)	2 000 000	750 000	108 090	18 030	6 751	224	5 459	4 544	1 552
Icealand	4 405 000	3 200 000	108 090	18 030	6 751	224	5 459	4 544	1 552
France (1)	32 545 616	9 819 078	222 853	19 277	9 087	339	13 389	8 980	2 973
Germany (1)	30 000	1 000	8 000	1 000	1 000	100	3 233	1 000	1 000
Italy	90 395	9 813	11 168	689	4 549	348	3 439	348	348
Latvia	310 039	64 113	11 862	2 005	4 158	3 072	2 005	4 158	3 072
Lithuania	231 000	39 000	445	1 200	15	1 000	1 000	1 000	445
Luxembourg	102 759	41 137	2 119	10 918	2 750	360	8 066	2 076	7 179
Macedonia	91 100	10 000	14 837	2 711	1 000	1 000	1 000	1 000	1 000
Malta	170 108	11 940	816	7 111	2 626	146	3 784	2 991	368
Netherlands (1)	1 120 861	431 552	32 847	13 361	2 010	248	7 126	4 847	2 053
Norway	2 104 403	867 442	34 734	3 522	2 280	81	2 217	1 041	134
Poland (1)	1 425 000	1 000	1 000	1 000	1 000	1 000	6 646	2 066	1 776
Romania	402 053	377 733	2 690	2 295	889	16	2 333	2 943	578
Slovenia	137 000	100 000	1 000	1 000	1 000	1 000	1 000	1 000	1 000
Slovakia	864 550	255 561	8 464	12 276	4 627	119	8 067	6 958	1 077
Slovenia	175 000	175 000	1 054	1 000	1 000	36	1 049	2 002	165
Switzerland	477 232	2 339 000	7 632	4 077	4 077	4 077	4 077	4 077	4 077
United Kingdom (1)	56 665	24 127	17 314	4 462	4 380	3 632	4 380	3 632	4 380
Zimbabwe	170 000	170 000	1 000	1 000	1 000	1 000	1 000	1 000	1 000
Number of scanners per machine (number of scans per machine)</									

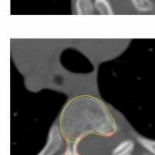
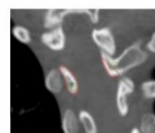
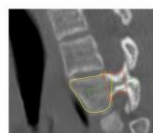


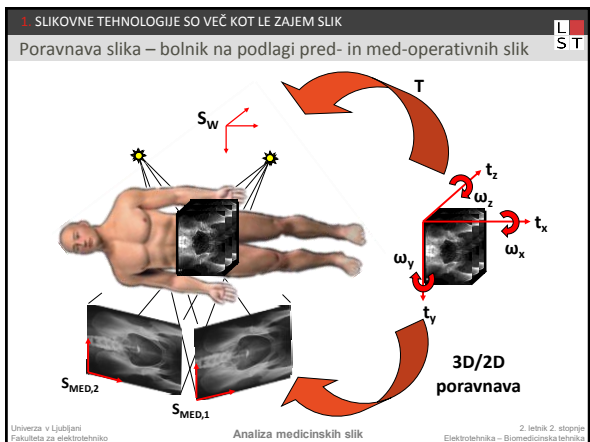
1 SLIKOVNE TEHNOLOGIJE SO VEČ KOT LE ZAJEM SLIK

L ST

Avtomatsko načrtovanje trajektorije vijaka

- Dodana vrednost?
 - Načrtovanje trajektorije, ki minimizira tveganje poškodbe hrtenjače
 - Izbira trajektorije in primernih dimenzijs vijaka za optimizacijo pritrdiilne moči
 - Hitrost (2 min), ponovljivost





1. SLIKOVNE TEHNOLOGIJE SO VEČ KOT LE ZAJEM SLIK

Stabilizacija hrbtnice z vstavljanjem vijakov

Dodana vrednost?

VEČJA NATANČNOST

MINIMALNA INVAZIVNOST

Analiza medicinskih slik

2. letnik 2. stopnje
Elektrotehnika – Biomedicinska tehnika

1. SLIKOVNE TEHNOLOGIJE SO VEČ KOT LE ZAJEM SLIK

Gradniki modernega sistema za slikovno vodenje

- 1 PRED-OPERATIVNE 3D SLIKE IN NAČRTOVANJE POSEGА
- 2 SLEDENJE LEGE KIRURŠKIH ORODIJ
- 3 PROSTORSKA PORAVNAVA MED BOLNIKOM IN 3D SLIKО
- 4 SUPERPOZICIJA SLIK, MODELОV, NAČRTOV IN MED-OPERATIVNIХ 2D SLIK NA PRED-OPERATIVNE 3D SLIKЕ
- 5 ROBOTIКА

→ So slikovne tehnologije več kot le zajem slik?

Analiza medicinskih slik

2. letnik 2. stopnje
Elektrotehnika – Biomedicinska tehnika

Univerza v Ljubljani
Fakulteta za elektrotehniko

2 POTENCIJAL MST JE V PRAKSI V VELIKI MERI ŠE NEIZKORIŠČEN

Koliko meritev vsebuje 3D slika?



Krvna preiskava?



Običajno nekaj 10 meritev

Tipično velikosti 512 x 512 x 512 =
134217728 meritev

- Kako trenutno vrednotimo slikovno preiskavo?
- Katere dodatne informacije še lahko izločimo?



Univerza v Ljubljani
Fakulteta za elektrotehniko

Analiza medicinskih slišk

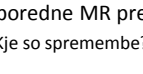
2. letnik 2. stopnje – Biomedicinska tehnika

The figure consists of several panels. At the top left is a text box with the number '2' and the title 'POTENCIJAL MST JE V PRAKSI V VELIKI MERI ŠE NEIZKORIŠČEN'. To its right is a small logo with the letters 'L' and 'F'. Below this is a red box containing the text 'Prvi izvid (baseline):'. The main area contains four brain MRI slices: a T1w axial slice showing a large lesion; a FLAIR axial slice with a red arrow pointing to a lesion; a T1w+Gd axial slice with a red arrow pointing to a lesion; and a T1w coronal slice. To the right of these slices is a schematic diagram of a brain cell with a yellow starburst representing a demyelinated area.

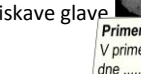
2 POTENCIJAL MST JE V PRAKSI V VELIKI MERI ŠE NEIZKORIŠČEN

Primer radiološkega vrednotenja

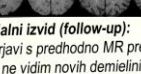
- Zaporedne MR preiskave glave
 - Kje so spremembe?



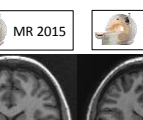
MR 2015



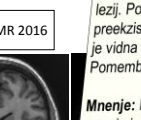
MR 2016



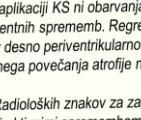
Primerjalni izvid (follow-up):
V primerjavi s predhodno MR preiskavo z dne ne vidim novih demielinizacijskih lezij. Po aplikaciji KS ni obavarjajo novih ali preekzistentnih sprememb. Regresija lezij je vidna v desno periventrikularno.
Pomembnega povečanja atrofije ne vidim.



T1w



FLAIR

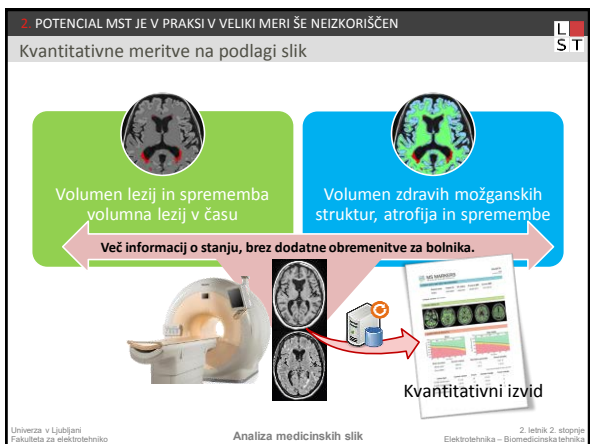
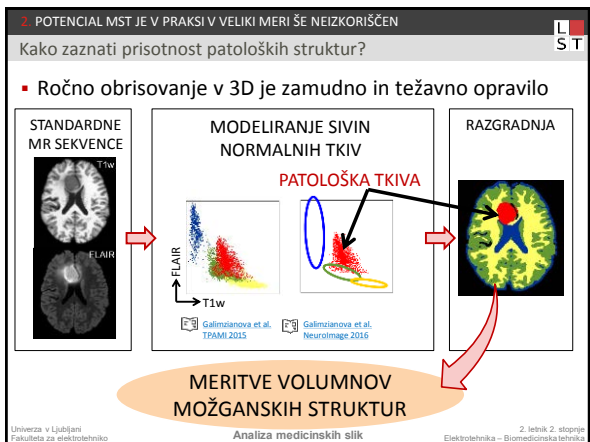
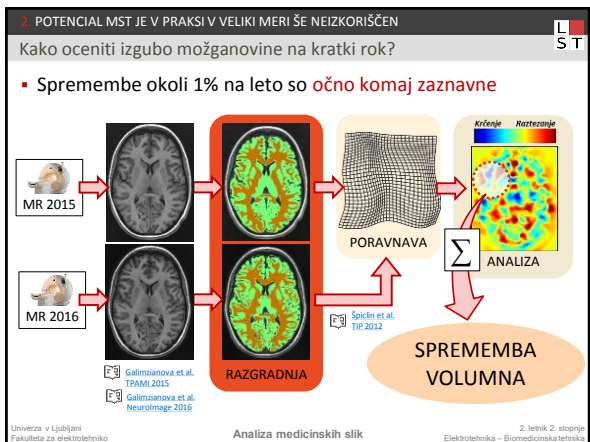


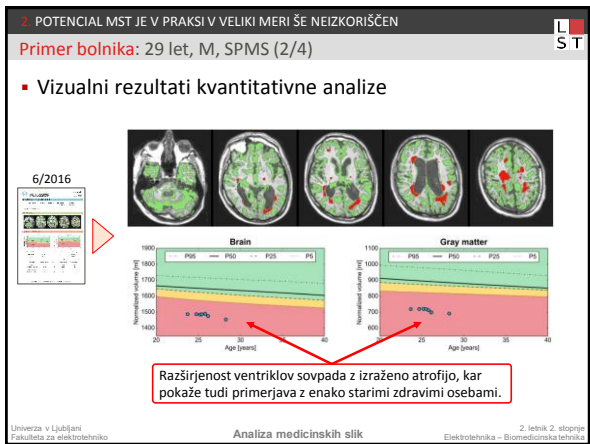
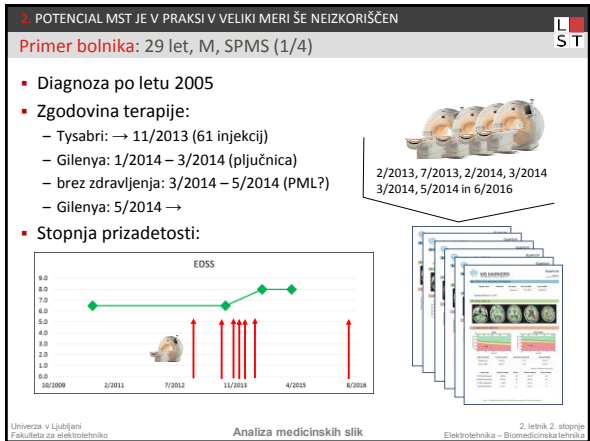
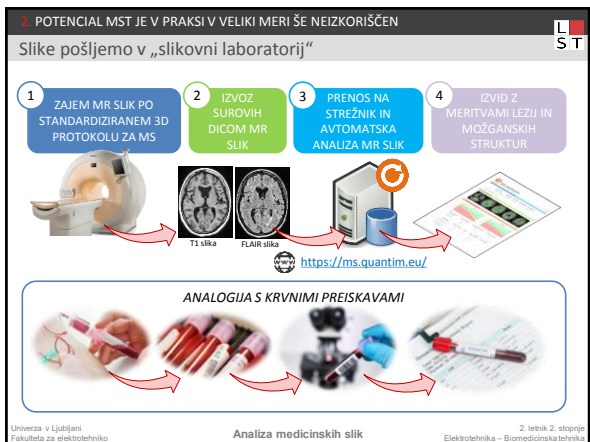
Mnenje: Radioloških znakov za zagon MS z novimi ali aktivnimi spremembami ni.

Univerza v Ljubljani
Fakulteta za elektrotehniko

Analiza medicinskih slik

2. letnik 2. stopnje
Elektrotehnika – Biomedicinska tehnika





2. POTENCIJAL MST JE V PRAKSI V VELIKI MERI ŠE NEIZKORIŠČEN

Primer bolnika: 29 let, M, SPMS (3/4)

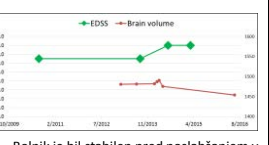
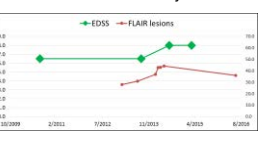
- The figure consists of two side-by-side line graphs sharing a common x-axis representing time from October 2009 to September 2010.

Left Graph: EDSS in volumen lezij v času

Datum	EDSS	FLAIR lesions
10/2009	6.0	300
2/2010	6.0	300
7/2010	6.0	300
11/2010	6.0	300
4/2011	6.0	300

Right Graph: EDSS in vol. možganovine

Datum	EDSS	Brain volume
10/2009	6.0	1400
2/2010	6.0	1400
7/2010	6.0	1380
11/2010	6.0	1380
4/2011	6.0	1360



- Precej povečan volumen lezij v začetku leta 2014 predstavlja dejavnik tveganja za PML

- Korelacija s klinično sliko – ali obstaja dodana vrednost?

Univerza v Ljubljani
Fakulteta za elektrotehniko

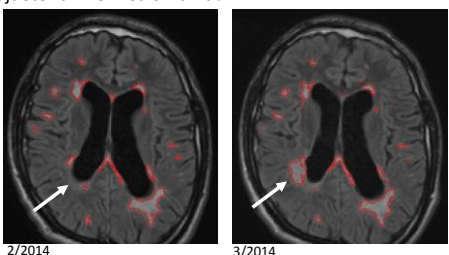
Analiza medicinskih slik

Z. Istručnik Z. stopnje
Elektrotehnika – Biomedicinska tehnika

2. POTENCIJAL MST JE V PRAKSI V VELIKI MERI ŠE NEIZKORIŠČEN

Primer bolnika: 29 let, M, SPMS (4/4)

- Vizualni prikaz sprememb na FLAIR sekvenci
– Nайдете разлике med slikama?



- Avtomatsko obrisovanje – ali obstaja dodana vrednost?

Univerza v Ljubljani

Analiza medicinskih slik

2. letnik 2. stopnje

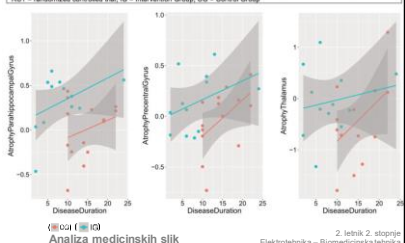
2. POTENCIJAL MST JE V PRAKSI V VELIKI MERI ŠE NEIZKORIŠČEN

Primer uporabe analize slik v klinični študiji

- Kako telesna vadba vpliva na strukturo možganov pri bolnikih z MS?

- 28 MS bolnikov
- 2 skupini, ena vadi, druga ne
- trajanje 12 tednov

	IG (n=12)	CG (n=13)	p
Parahippocampal gyrus percent change	0.34 ± 0.38	0.01 ± 0.29	<0.01
Hippocampus percent change	-0.06 ± 0.43	-0.02 ± 0.80	0.59
Talamus percent change	-0.06 ± 0.46	-0.48 ± 0.82	0.04
Precoronal gyrus percent change	0.13 ± 0.29	0.01 ± 0.29	0.56
Parietal gyrus percent change	-0.08 ± 0.28	0.24 ± 0.70	<0.01
Pallidum percent change	-0.02 ± 0.86	-0.21 ± 0.98	0.71



Univerza v Ljubljani

(00) (10)

2. letnik 2. stopnje

2. POTENCIJAL MST JE V PRAKSI V VELIKI MERI ŠE NEIZKORIŠČEN

Nehvaležna napoved prihodnosti

The diagram shows a timeline of blood glucose measurement from left to right. On the far left, a person is shown using sight, touch, smell, and taste to measure glucose. Next is the use of a copper reagent tablet. Then comes the first glucose meter for quantification. Finally, there is a modern digital glucose meter displaying a reading of 102 mg/dL. To the right of the timeline is a funnel diagram with three overlapping circles: Radiologists, Engineers, and Technology. An arrow points downwards from the funnel towards the text below.

▪ Radiologija se „digitalizira“ zdaj

Univerza v Ljubljani
Fakulteta za elektrotehniko

Analiza medicinskih slik

2. letnik 2. stopnje
Elektrotehnika – Biomedicinska tehnika

3. (MST) POGANJAJO RAZVOJ MODERNIH TEHNOLOGIJ KOT JE GLOBOKO UČENJE

Kaj je strojno učenje? Kaj je globoko učenje?

The diagram features a colorful robot sitting on a stack of books, holding a book and a pencil, symbolizing learning. To its right is a large pyramid composed of various scientific and technical terms such as DATA, MODELS, MATHEMATICAL, ANALYSIS, STATISTICS, APPLICATIONS, RISK, METHODS, RESEARCH, LEARNING, SOCIOLOGY, BUSINESS, ANALYST, THEORETICAL, BUSINESS, COMPUTER, SCIENCE, EVENT, INTELLIGENCE, and COMPUTER. To the right of the pyramid is a scatter plot with 'Height' on the vertical axis and 'Weight' on the horizontal axis. A red shaded region represents the 'ITM > 24' threshold, with several blue dots plotted above and to the right of the line.

▪ Stroji se učijo sposobnosti izvajanja nalog iz opažanj

▪ V osnovi so to statistični principi, postopki in algoritmi za učenje in napovedovanje na osnovi preteklih opažanj (podatkov)

▪ Primer: **regresija in razvrščanje**

Univerza v Ljubljani
Fakulteta za elektrotehniko

Analiza medicinskih slik

2. letnik 2. stopnje
Elektrotehnika – Biomedicinska tehnika

3. (MST) POGANJAJO RAZVOJ MODERNIH TEHNOLOGIJ KOT JE GLOBOKO UČENJE

Umetna inteligenco v radiologiji

The diagram features a colorful robot sitting on a stack of books, holding a book and a pencil, symbolizing learning. To its right is a large pyramid composed of various scientific and technical terms such as DATA, MODELS, MATHEMATICAL, ANALYSIS, STATISTICS, APPLICATIONS, RISK, METHODS, RESEARCH, LEARNING, SOCIOLOGY, BUSINESS, ANALYST, THEORETICAL, BUSINESS, COMPUTER, SCIENCE, EVENT, INTELLIGENCE, and COMPUTER. To the right of the pyramid is a scatter plot with 'Height' on the vertical axis and 'Weight' on the horizontal axis. A red shaded region represents the 'ITM > 24' threshold, with several blue dots plotted above and to the right of the line.

▪ „Artificial intelligence methods excel at automatically recognizing complex patterns in imaging data and providing quantitative, rather than qualitative, assessments of radiographic characteristics“

A. Hosny et al.: Artificial intelligence in radiology. *Nat Rev Cancer*. 2018 Aug;18(8):500-510. doi: 10.1038/s41568-018-0016-5.

Univerza v Ljubljani
Fakulteta za elektrotehniko

Analiza medicinskih slik

2. letnik 2. stopnje
Elektrotehnika – Biomedicinska tehnika

3. (MST) POGANJAJO RAZVOJ MODERNIH TEHNOLOGIJ KOT JE GLOBOKO UČENJE

Kaj je globoko učenje?

- Podpodročje strojnega učenja
 - osnovano na nevronskih mrežah
- Preboj v letu 2012 pri razpoznavi kategorije objektov na barvnih slikah
 - 1000 kategorij, 1 milijon slik
 - napaka enaka človeški (zdaj že manjša, <2%)
- Uporaba na področju analize medicinskih slik *strmo* narašča

Univerza v Ljubljani
Fakulteta za elektrotehniko

Analiza medicinskih slik

Pubmed search: "convolutional neural network"
OR ConvNet OR "deep learning"

Year	Publications
2014	~50
2015	~120
2016	~320
2017	~80

Why deep learning

2. letnik 2. stopnje
Elektrotehnika – Biomedicinska tehnika

3. (MST) POGANJAJO RAZVOJ MODERNIH TEHNOLOGIJ KOT JE GLOBOKO UČENJE

Kaj lahko počnemo z globokim učenjem?

- Računalniško-podprtta diagnoza
- Razgradnja oz. obrisovanje slik
- Lokalizacija anatomskev struktur
 - Patoloških in zdravih
- Kvantifikacija struktur in dinamike

Univerza v Ljubljani
Fakulteta za elektrotehniko

Analiza medicinskih slik

2. letnik 2. stopnje
Elektrotehnika – Biomedicinska tehnika

3. (MST) POGANJAJO RAZVOJ MODERNIH TEHNOLOGIJ KOT JE GLOBOKO UČENJE

Kako deluje globoko učenje?

- Simulira biološke sisteme
- Uči se uteži povezav w

Vhodna slika

Dendriti, akson, sinapsa

a_0 , w_0 , a_1 , w_1 , $a_{out} = f(\sum_i w_i a_i)$

>100 milijard povezanih nevronov

Vrednosti intenzitet

Razvrščanje

Žila, Ni žila

Univerza v Ljubljani
Fakulteta za elektrotehniko

Analiza medicinskih slik

2. letnik 2. stopnje
Elektrotehnika – Biomedicinska tehnika

3 (MST) POGANJAO RAZVOJ MODERNIH TEHNOLOGIJ KOT JE GLOBOKO UČENJE L S T

Globoko učenje z konvolucijskimi nevronskimi mrežami

- Osnovna konvolucijska nevronska mreža
 - 8200 povezav oziroma parametrov

23x23

Konvolucijski nivoji
→ za izločanje značilnic

Polno povezani (gosti) nivoji
→ razvršćanje

Žila
Ni žila

3 (MST) POGANJAO RAZVOJ MODERNIH TEHNOLOGIJ KOT JE GLOBOKO UČENJE

Globoko učenje z konvolucijskimi nevronskimi mrežami

L S T

- Moderna konvolucijska nevronska mreža
 - Več 10.000 povezav oziroma parametrov

Concatenate

Concatenate

Concatenate

izhod je slika

Analiza medicinskih slik

2. letošnj. 2. stopnji
Elektrotehnika – Biomedicinska tehnika

The diagram illustrates the machine learning process for brain image segmentation. It starts with two input images of brains, which are processed by a 'Učne in teste slike' (Training and test images) block. This leads to 'Opazanja' (Observations), 'Predznanje o številu tkiv' (Prediction of tissue number), 'Referenčne razgradnje' (Reference segmentation), and finally a segmented brain image. The process involves several steps:

- Input:** Two brain images.
- Feature Extraction:** Represented by a cylinder labeled 'Učne in teste slike'.
- Model Training:** A green box labeled 'IZLOŽENJE značilnic' ($\phi(x)$) and a red box labeled 'Model $f(\phi(x), w)$ '.
- Prediction:** A yellow cylinder labeled 'Referenčne razgradnje'.
- Segmentation:** A segmented brain image.
- Optimization:** A blue box labeled 'Optimizacija $\max E$ '.
- Final Output:** A segmented brain image labeled 'primeti razgradnje'.

Arrows indicate the flow of data and parameters between these components, showing how the training data, model, and optimization interact to produce the final segmentation results.

3. (MST) POGANJAJO RAZVOJ MODERNIH TEHNOLOGIJ KOT JE GLOBOKO UČENJE

Predpogoji je kvalitetna učna množica označenih slik

■ Potrebujemo eksperta, ki to zna narediti kvalitetno

Učne in testne slike

Rater 1 (Red circle), Rater 2 (Yellow circle), Rater 3 (Blue circle)

Različni eksperti se ne nujno strinjajo...

Univerza v Ljubljani
Fakulteta za elektrotehniko

Analiza medicinskih slik

2. letnik 2. stopnje
Elektrotehnika – Biomedicinska tehnika

3. (MST) POGANJAJO RAZVOJ MODERNIH TEHNOLOGIJ KOT JE GLOBOKO UČENJE

Predpogoji je kvalitetna učna množica označenih slik

■ Eksperti se morajo tudi uskladiti

- V znanju, izkušnjah
- O tem kaj je sploh prava rešitev
- Ali unikatna rešitev obstaja?

Primer referenčne razgradnje lezij

Univerza v Ljubljani
Fakulteta za elektrotehniko

Analiza medicinskih slik

2. letnik 2. stopnje
Elektrotehnika – Biomedicinska tehnika

3. (MST) POGANJAJO RAZVOJ MODERNIH TEHNOLOGIJ KOT JE GLOBOKO UČENJE

Rezultat obrisovanja lezij z globokim učenjem

■ „Črna škatla“ deluje

- Ali deluje na slikah vseh MR skenerjev?
- Ali daje ponovljive rezultate?

ročno
FN
TP
FP
automatsko

Analiza medicinskih slik

2. letnik 2. stopnje
Elektrotehnika – Biomedicinska tehnika

4. (MST) PREDSTAVLJajo IZJEMNO POSLOVNO PRiložnost

Katere pereče težave zdravstva in družbe lahko naslovimo?

Čakalne vrste? Stroški zdravljenja? Kakovost življenja?

- Da, posredno preko
 - Zgodnje diagnostike bolezni
 - Razumevanja patogeneze in podpore razvoju novih zdravil
 - Spremljanja poteka bolezni in učinkovitosti zdravljenja
 - Minimalno invazivnih kirurških posegov

Univerza v Ljubljani
Fakulteta za elektrotehniko

Analiza medicinskih slik

2. letnik 2. stopnje
Elektrotehnika – Biomedicinska tehnika

4. (MST) PREDSTAVLJajo IZJEMNO POSLOVNO PRiložnost

Seznam uspešnih podjetij in startupov

- Pathfinder [PATHFINDER](#)
 - Developer of an image-guided surgery device that enables physicians to accurately and efficiently guide resection and/or ablation in soft-tissue organs.
- VIDA [VIDA](#)
YOUR MEASURE OF LUNG HEALTH
 - Developer of quantitative pulmonary analysis technologies and personalized services for the early detection, evaluation and aiding of treatment of pulmonary disease.
- IXICO [IXICO](#)
 - Clinical trial services, disease diagnostics, imaging data management, and provider of imaging biomarkers.
- SurgicEye [SURGICeye®](#)
 - Provider of mobile 3D SPECT imaging, hybrid SPECT/ultrasound imaging, interventional guidance, and navigation during radio-guided surgery.

[Video](#)

[Spletna stran](#)

[Video](#)

[Spletna stran](#)

Univerza v Ljubljani
Fakulteta za elektrotehniko

Analiza medicinskih slik

2. letnik 2. stopnje
Elektrotehnika – Biomedicinska tehnika

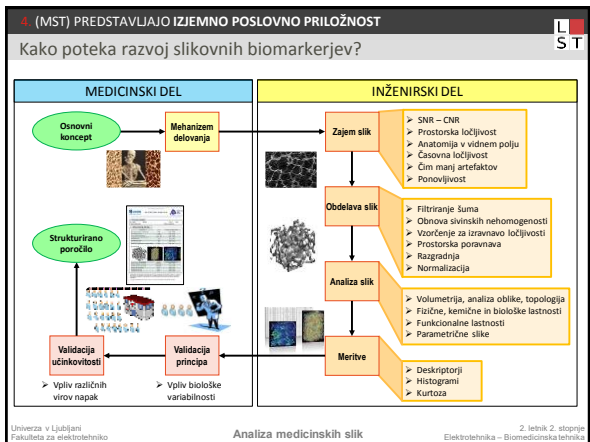
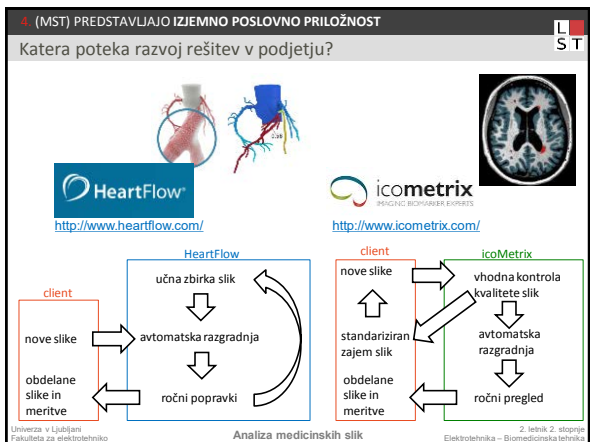
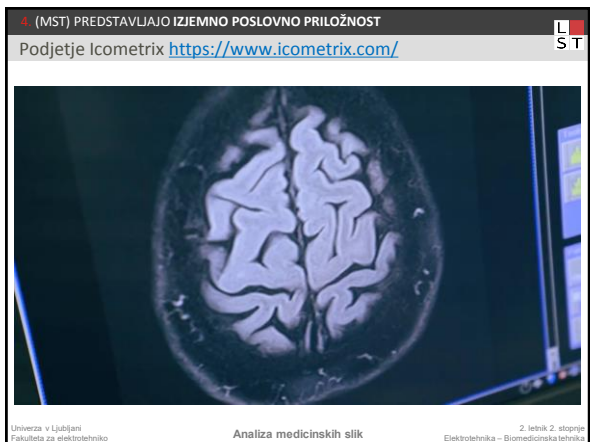
4. (MST) PREDSTAVLJajo IZJEMNO POSLOVNO PRiložnost

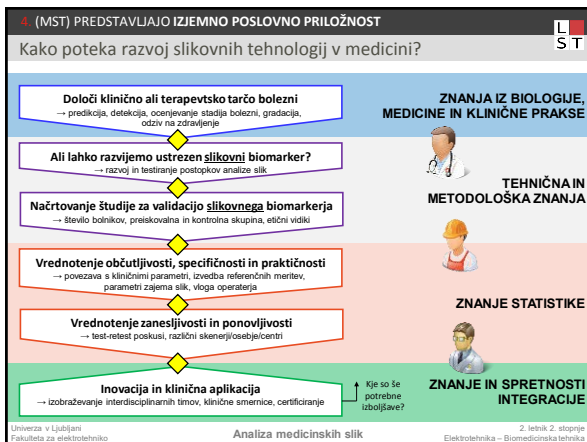
Podjetje HeartFlow <http://www.heartflow.com/>

Univerza v Ljubljani
Fakulteta za elektrotehniko

Analiza medicinskih slik

2. letnik 2. stopnje
Elektrotehnika – Biomedicinska tehnika

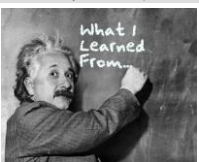




ZAKLJUČEK

Glavna sporočila („take-home messages“)

L
S
T

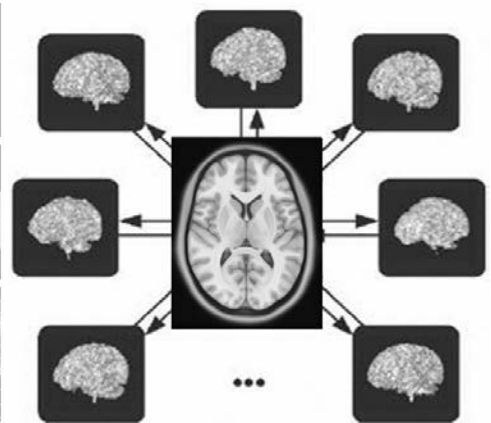
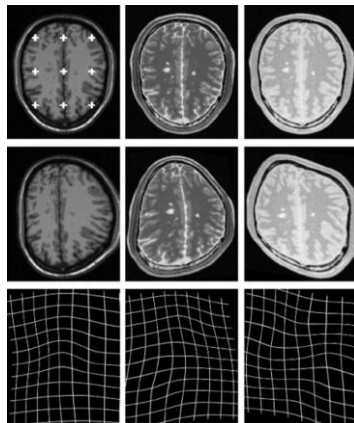
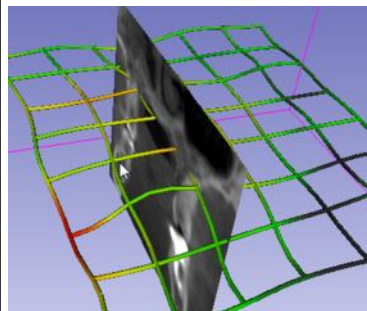


1. slikovne tehnologije so **več kot le zajem slik**
2. potencial medicinskih slikovnih tehnologij je **v praksi v veliki meri še neizkorisčen**
3. poganjajo razvoj modernih tehnologij kot je **globoko učenje** („deep learning“)
4. predstavljajo **izjemno poslovno priložnost**



Netoga poravnava slik

Analiza medicinskih slik



Študijska literatura

Guide to Medical Image Analysis
Klaus D. Toennies, Springer, 2012
10. Registration and Normalization
str. 299-332

Biomedical Image Processing
Thomas M. Deserno, Springer, 2011
Part II Image enhancement
5. Medical Image Registration
D. Rueckert in J.A. Schnabel
str. 131-354

Numerical Methods for Image Registration
Jan Modersitzki, Oxford University Press, 2004
Part II Non-parametric image registration
str. 75-180

Univerza v Ljubljani
Fakulteta za elektrotehniko

Analiza medicinskih slik

2. letnik 2. stopnje
Elektrotehnika – Biomedicinska tehnika

Geometrijska poravnava

DEFINICIJA

- Iskanje optimalnih geometrijskih preslikav, ki bodo slike oz. oblike poravnale tako, da se bodo **iste strukture na vseh slikah oz. oblikah nahajale v enakih položajih**

The diagram illustrates the process of geometric registration. At the top left is a grayscale MRI slice labeled 'Referenčni vzorec' (Reference sample) with a red dot at point $a(x,y)$. Above it is another grayscale slice labeled 'Vzorec 1' (Sample 1) with a red dot at point $b_1(u,v)$. An arrow labeled T_1 points from the reference slice to the sample. Above 'Vzorec 1' is a third slice labeled 'Vzorec 2' (Sample 2) with a red dot at point $b_2(u,v)$, with an arrow labeled T_2 pointing from the reference slice. This pattern continues with 'Vzorec N' (Sample N) at the far right with a red dot at point $b_N(u,v)$, and an arrow labeled T_N pointing from the reference slice. Below the slices are four 3D head models representing the samples, with red dots at corresponding points $b_1(u,v), b_2(u,v), \dots, b_N(u,v)$.

Univerza v Ljubljani
Fakulteta za elektrotehniko

Analiza medicinskih slik

2. letnik 2. stopnje
Elektrotehnika – Biomedicinska tehnika

Delitev geometrijskih poravnav

- Geometrijske poravnave lahko razdelimo v skupine glede na različne kriterije:
 - Razsežnost slikovnega prostora
 - Osnova za poravnavo
 - **Vrsta preslikave**
 - Domena preslikave
 - Način delovanja
 - Določanje parametrov preslikav
 - Slikovne tehnike oz. vrste slik
 - Objekt poravnave
 - Subjekt poravnave

Univerza v Ljubljani
Fakulteta za elektrotehniko

Analiza medicinskih slik

2. letnik 2. stopnje
Elektrotehnika – Biomedicinska tehnika

Delitev geometrijskih poravnava

GLEDE NA OBLOKO GEOMETRIJSKE PRESLIKAVE

- Vrsta geometrijske preslikave:
 - toge in **netoge**
 - linearne in **nelinearne** poravnave
- Domena geometrijske preslikave:
 - globalne in **lokalne** poravnave

Globalna poravnava Lokalne poravnave

Univerza v Ljubljani
Fakulteta za elektrotehniko

Analiza medicinskih slik

2. letnik 2. stopnje
Elektrotehnika – Biomedicinska tehnika

Delitev geometrijskih poravnava

- Subjekt poravnave:
 - slike istega bolnika (*intra-subject registration*)
 - slike različnih bolnikov (*inter-subject registration*)

Poravnava slik istega bolnika

Poravnava slik različnih bolnikov

Univerza v Ljubljani
Fakulteta za elektrotehniko

Analiza medicinskih slik

2. letnik 2. stopnje
Elektrotehnika – Biomedicinska tehnika

Zakaj netoga poravnava?

MOTIVACIJA

- Medicinske slike prikazujejo anatomske strukture/funkcije
 - interni organi so netogi (se deformirajo)
 - drža telesa se lahko spremeni (tudi položaj skeleta)
 - variabilnosti pri bolniku kot posledica staranja, patologije ali kot rezultat zdravljenja
 - mapiranje struktur med subjekti – biološka variabilnost
- Primeri iz klinične prakse
 - fizična deformacija možganov med operacijo
 - normalni premiki mehkih organov v abdomnu zaradi prebave, izločanja, srčnega utripa, dihanja,...
 - premikanje bolnika med slikanjem

Univerza v Ljubljani
Fakulteta za elektrotehniko

Analiza medicinskih slik

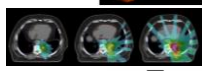
2. letnik 2. stopnje
Elektrotehnika – Biomedicinska tehnika

Številne klinične aplikacije

MOTIVACIJA

▪ Poravnava slik istega subjekta

- zlivanje informacij iz različnih slikovnih tehnik
- zaznavanje sprememb v času
→ npr. kot posledica zdravljenja oz. terapije
- načrtovanje in prenos načrta operacije
→ npr. izračunavanje doze sevanja na podlagi atenuacije iz CT slike in obira tumorja v MR sliki



▪ Poravnava slik različnih subjektov

- statistična analiza slik skupine subjektov
→ modeliranje variabilnosti struktur zanimanja in izgradnja anatomskega atlasov
- slika subjekta se preslikava v prostor anatomskega atlasa, ki predstavlja modelno informacijo za interpretacijo
- razgradnja slike subjekta na osnovi poravnave in zlivanja atlasov

Zlivanje PET in CT slike

PRIMER UPORABE

▪ Netoga poravnava je nujno potrebna



Brez kompenzacije premika bolnika, dihanja, širjenja tumorja, deformacij kot posledice zajema...

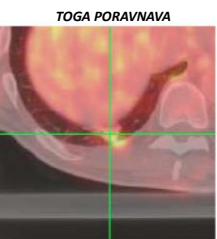


S kompenzacijo netogih premikov

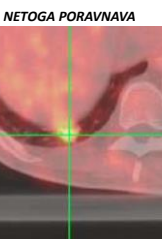
Zlivanje PET in CT slike

PRIMER UPORABE

▪ Netoga poravnava je nujno potrebna



Je tumor v pljučih ali v želodcu?



Izgleda smiselno, vendar ali drži?
Bi tvegalji tožbo zaradi napake v programske opreme?

Analiza delovanja srčne mišice

PRIMER UPORABE

- Mrežni model srca z netogo poravnava prilagojen na 3D ultrazvočno sliko prsnega koša

Univerza v Ljubljani
Fakulteta za elektrotehniko

Analiza medicinskih slik
2. letnik 2. stopnje
Elektrotehnika – Biomedicinska tehnika

Merjenje atrofije

PRIMER UPORABE

- Očno komaj zaznavne spremembe do 1% / leto

Univerza v Ljubljani
Fakulteta za elektrotehniko

Analiza medicinskih slik
2. letnik 2. stopnje
Elektrotehnika – Biomedicinska tehnika

Merjenje atrofije

PRIMER UPORABE

- Očno komaj zaznavne spremembe do 1% / leto

Krčenje Raztezanje

1. RAZGRADNJA MOŽGANSKIH STRUKTUR

2. NETOGA PORAVNAVA

3. ANALIZA POLJA DEFORMACIJU

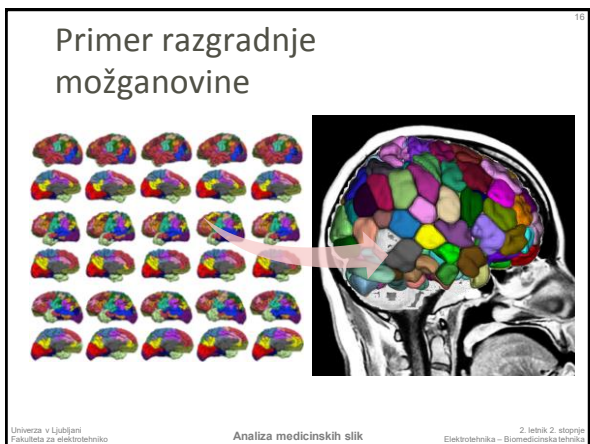
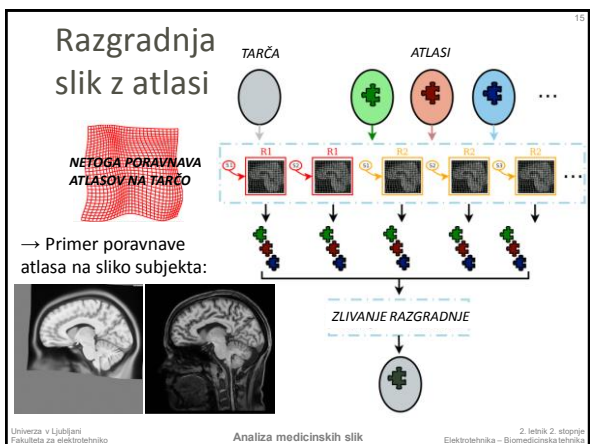
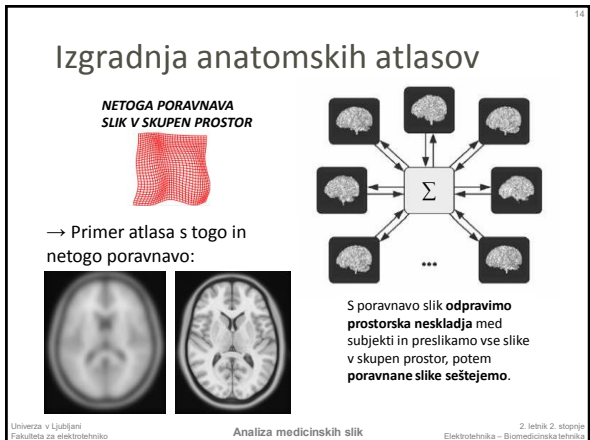
Normalne percentile	Annual atrophy
<1 %	0.47 %
1 - 10 %	1.12 % 1.15 %
>10 %	1.18 %

*Head size normalization factor was 0.83

Count Volume change Count change

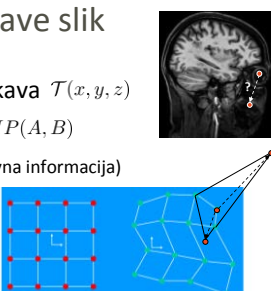
∫'Deform. 1 → 2 ∫'Deform. 2 → 1

Analiza medicinskih slik
2. letnik 2. stopnje
Elektrotehnika – Biomedicinska tehnika



Gradniki poravnave slik

PRIMER UPORABE

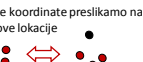
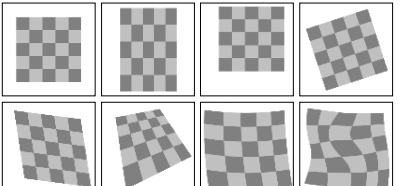
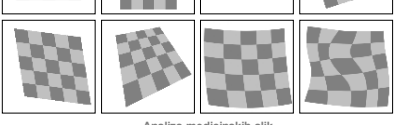
- Geometrijska preslikava $\mathcal{T}(x, y, z)$
- Mera podobnosti $MP(A, B)$
 - Interpolacija (slikovna informacija)
- Regularizacija $\mathcal{R}(\mathcal{T})$

- Optimizacijski postopek
$$\mathcal{C}(p) = MP(A, B(\mathcal{T}(p))) + \alpha \mathcal{R}(\mathcal{T})$$

Univerza v Ljubljani
Fakulteta za elektrotehniko

Analiza medicinskih slik

2. letnik 2. stopnje
Elektrotehnika – Biomedicinska tehnika

Geometrijske preslikave

- Preslikava slik
 - vse slikovne elemente preslikamo na nove lokacije
 - sivinske vrednosti se pri tem ne spremeni
- Preslikava oblik
 - vse koordinate preslikamo na nove lokacije
- Kaj omogočajo oz. za kaj so uporabne?



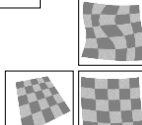
Univerza v Ljubljani
Fakulteta za elektrotehniko

Analiza medicinskih slik

2. letnik 2. stopnje
Elektrotehnika – Biomedicinska tehnika

Vpliv preslikave na slikovne elemente

GLOBALEN ALI LOKALEN

- **Toga poravnava**
 - Uporablja enostavne preslikave, ki enako vplivajo na vse slikovne elemente (**globalno**)
- **Netoga poravnava**
 - Različen vpliv na različnih delih slike (**lokalno**)
 - Za meritve ali kompenzacijo drobnih, prostorsko spremenljivih popravkov med parom slik
 - Običajno obvladljive le za majhne deformacije

Univerza v Ljubljani
Fakulteta za elektrotehniko

Analiza medicinskih slik

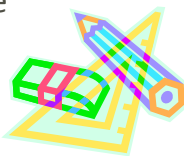
2. letnik 2. stopnje
Elektrotehnika – Biomedicinska tehnika

Geometrijske preslikave

- Formalni zapis geometrijske preslikave:

$$(u, v) = T(x, y)$$

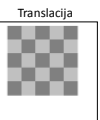
$$(u, v, w) = T(x, y, z)$$



- Najbolj splošna linearna preslikava je **afina preslikava**, ki je sestavljena iz **štirih elementarnih preslikav**:



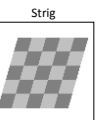
Skaliranje



Translacija



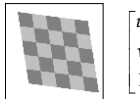
Rotacija



Strig

Afina preslikava

- Zapišemo kot produkt vektorja koordinat in homogene transformacijske matrike:



$$\begin{bmatrix} u \\ v \\ 1 \end{bmatrix} = \mathbf{T} \begin{bmatrix} x \\ y \\ 1 \end{bmatrix} = \begin{bmatrix} a_{11} & a_{12} & t_x \\ a_{21} & a_{22} & t_y \\ 0 & 0 & 1 \end{bmatrix} \begin{bmatrix} x \\ y \\ 1 \end{bmatrix}$$

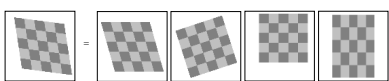


$$\begin{bmatrix} u \\ v \\ w \\ 1 \end{bmatrix} = \mathbf{T} \begin{bmatrix} x \\ y \\ z \\ 1 \end{bmatrix} = \begin{bmatrix} a_{11} & a_{12} & a_{13} & t_x \\ a_{21} & a_{22} & a_{23} & t_y \\ a_{31} & a_{32} & a_{33} & t_z \\ 0 & 0 & 0 & 1 \end{bmatrix} \begin{bmatrix} x \\ y \\ z \\ 1 \end{bmatrix}$$

Afina preslikava

- Matrični zapis afine preslikave omogoča njen zapis z zaporednim množenjem matrik posameznih elementarnih preslikav v poljubnem vrstnem redu, npr.:

$$\mathbf{T}_{\text{afina}} = \mathbf{T}_{\text{strig}} \mathbf{T}_{\text{rot}} \mathbf{T}_{\text{trans}} \mathbf{T}_{\text{skal}}$$



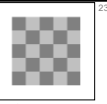
- Afina preslikava:

- ohranja **vzporednost med premicami**
- ne ohranja **kotov med premicami**
- ne ohranja **razdalj med poljubnimi točkami**

Nelinearne preslikave

Projektivna preslikava:

- ohranja vzporednost med premicami
- ohranja kote med premicami
- ohranja razdalje med poljubnimi točkami
- število parametrov v 2D
- število parametrov v 3D

T_{2D}	NE NE NE 8 15	
T_{3D}		

$$u = \frac{a_{11}x + a_{12}y + a_{13}z + t_x}{p_x x + p_y y + p_z z + 1}$$

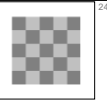
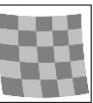
$$v = \frac{a_{21}x + a_{22}y + a_{23}z + t_y}{p_x x + p_y y + p_z z + 1}$$

$$w = \frac{a_{31}x + a_{32}y + a_{33}z + t_z}{p_x x + p_y y + p_z z + 1}$$

Nelinearne preslikave

Polinomska preslikava:

- ohranja vzporednost med premicami
- ohranja kote med premicami
- ohranja razdalje med poljubnimi točkami
- število parametrov v 2D
- število parametrov v 3D

T_{2D}	NE NE NE $(n+1)(n+2)$	
T_{3D}		

$$u = \sum_{i=0}^n \sum_{j=0}^i \sum_{k=0}^j a_{i-j-k,j-k,k} x^{i-j-k} y^{j-k} z^k$$

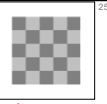
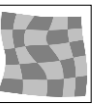
$$v = \sum_{i=0}^n \sum_{j=0}^i \sum_{k=0}^j b_{i-j-k,j-k,k} x^{i-j-k} y^{j-k} z^k$$

$$w = \sum_{i=0}^n \sum_{j=0}^i \sum_{k=0}^j c_{i-j-k,j-k,k} x^{i-j-k} y^{j-k} z^k$$

Nelinearne preslikave

Radialne funkcije:

- ohranja vzporednost med premicami
- ohranja kote med premicami
- ohranja razdalje med poljubnimi točkami
- število parametrov v 2D
- število parametrov v 3D

T_{2D}	NE NE NE $2(3+K)$ $3(4+K)$	
T_{3D}		

$$u = a_0 + a_1 x + a_2 y + \sum_{k=1}^K \alpha_k U_k(x, y) \quad u = a_0 + a_1 x + a_2 y + a_3 z + \sum_{k=1}^K \alpha_k U_k(x, y, z)$$

$$v = b_0 + b_1 x + b_2 y + \sum_{k=1}^K \beta_k U_k(x, y) \quad v = b_0 + b_1 x + b_2 y + b_3 z + \sum_{k=1}^K \beta_k U_k(x, y, z)$$

$$w = c_0 + c_1 x + c_2 y + c_3 z + \sum_{k=1}^K \gamma_k U_k(x, y, z)$$

21

Radialne funkcije

- Radialna funkcija:
$$U_k(x, y) = U_k(\|(x_k, y_k) - (x, y)\|) \quad \text{oz.} \quad U_k(x, y, z) = U_k(\|(x_k, y_k, z_k) - (x, y, z)\|)$$

- Ukrivljivanje tanke plošče:
 - Gausova: $U(r) = e^{-(r/\sigma)^2}$
 - Multikvadratika: $U(r) = -r^2 \log r$
- Poravnava poljubnega števila parov pripadajočih kontrolnih točk
- Možna je interpolacija ($\lambda = 0$) in aproksimacija ($\lambda > 0$)
- r_{ij} je razdalja med parom kontrolnih točk (x_i, y_i) in (x_j, y_j)

$$\begin{bmatrix} u_1 & v_1 \\ u_2 & v_2 \\ \vdots & \vdots \\ u_K & v_K \\ 0 & 0 \\ 0 & 0 \\ 0 & 0 \end{bmatrix} = \begin{bmatrix} U(r_{11}) + \lambda_1 & U(r_{12}) & \cdots & U(r_{1K}) & 1 & x_1 & y_1 \\ U(r_{21}) & U(r_{22}) + \lambda_2 & \cdots & U(r_{2K}) & 1 & x_2 & y_2 \\ \vdots & \vdots & \ddots & \vdots & \vdots & \vdots & \vdots \\ U(r_{K1}) & U(r_{K2}) & \cdots & U(r_{KK}) + \lambda_K & 1 & x_K & y_K \\ 1 & 1 & \cdots & 1 & 0 & 0 & 0 \\ x_1 & x_2 & \cdots & x_K & 0 & 0 & 0 \\ y_1 & y_2 & \cdots & y_K & 0 & 0 & 0 \end{bmatrix} \begin{bmatrix} \alpha_1 & \beta_1 \\ \alpha_2 & \beta_2 \\ \vdots & \vdots \\ \alpha_K & \beta_K \\ a_0 & b_0 \\ a_1 & b_1 \\ a_2 & b_2 \end{bmatrix}$$

$\mathbf{Y} = \mathbf{L} \cdot \mathbf{W}$ • Sistem enačb, rešitev $\rightarrow \mathbf{W} = \mathbf{L}^{-1} \cdot \mathbf{Y}$

Univerza v Ljubljani
 Fakulteta za elektrotehniko
 Analiza medicinskih slik
 2. letnik 2. stopnje
 Elektrotehnika – Biomedicinska tehnika

22

Radialne funkcije

Kontrolne točke	Interpolacija $\lambda=0$	Aproksimacija $\lambda>0$	Aproksimacija $\lambda>>0$
σ_1	$\sigma_2 > \sigma_1$	$\sigma_3 > \sigma_2$	$\sigma_4 > \sigma_3$

Univerza v Ljubljani
 Fakulteta za elektrotehniko
 Analiza medicinskih slik
 2. letnik 2. stopnje
 Elektrotehnika – Biomedicinska tehnika

23

Primer - poravnava z ukrivljanjem tanke plošče

Poravnava 3D medicinskih slik

Referenčna slika		
Poravnana-Trenutna		

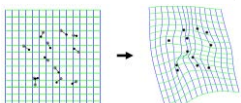
Špiclin et al.
TIP 2012

Korak: 9

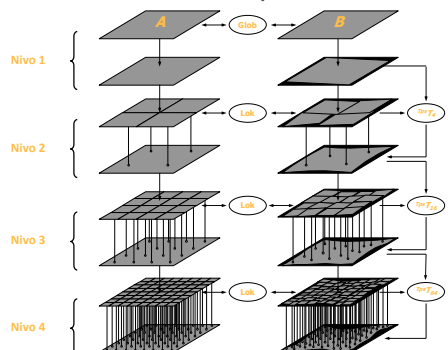
Univerza v Ljubljani
 Fakulteta za elektrotehniko
 Analiza medicinskih slik
 2. letnik 2. stopnje
 Elektrotehnika – Biomedicinska tehnika

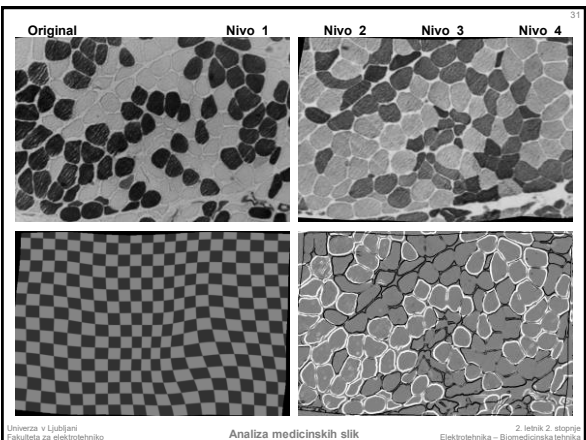
Lastnosti radialnih funkcij

- Logaritemska funkcija $U(r) = -r^2 \log r$ je radialno simetrična
 - če kontrolne točke niso enakomerno razporejene lahko dobimo velika popačenja (napake) daleč od točk
- Radialne funkcije so uporabne v primerih ko
 - lokalne geometrijske razlike med slikama niso velike
 - kontrolne točke so enakomerno razporejene po domeni slike
 - gostota točk se ne spreminja bistveno glede na položaj v sliki
 - število kontrolnih točk ni veliko (*računska kompleksnost!*)



Primer – hierarhična poravnava





Preslikava z B-zlepki

B-zlepki:

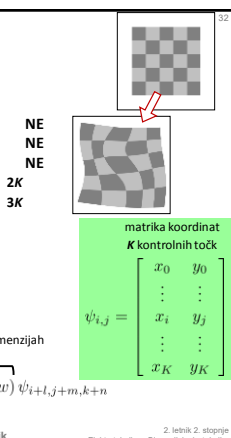
- ohranja vzorednost med premicami
- ohranja kote med premicami
- ohranja razdalje med poljubnimi točkami
- število parametrov v 2D
- število parametrov v 3D

• Enačbe preslikave za B-zlepke reda d :

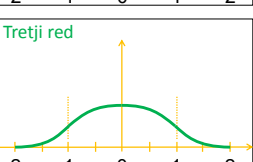
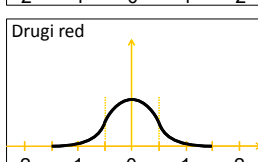
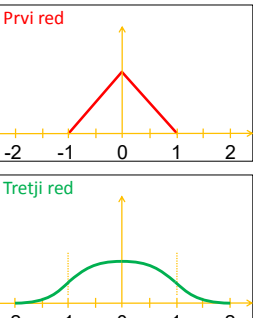
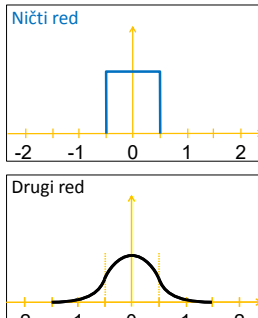
$$\mathcal{T}_{2D}(\mathbf{p}) = \sum_{l=0}^d \sum_{m=0}^d B_l(u) B_m(v) \psi_{i+l,j+m}$$

tenzorski produkt B-zlepkov v ortogonalnih dimenzijah

$$\mathcal{T}_{3D}(\mathbf{p}) = \sum_{l=0}^d \sum_{m=0}^d \sum_{n=0}^d B_l(u) B_m(v) B_n(w) \psi_{i+l,j+m,k+n}$$



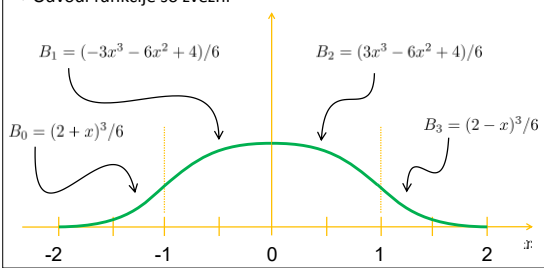
B-zlepki različnih redov



B-zlepki tretjega reda

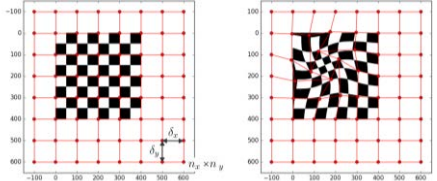
→ Odsekoma zvezne funkcije tvorijo zvezno krivuljo

→ Odvodi funkcije so zvezni



Kontrolne točke

- V 2D ležijo v pravokotni mreži $n_x \times n_y$ s koraki δ_x, δ_y
- Premik kontrolnih točk iz osnovne lege določa preslikavo
- Preslikava je določena med kontrolnimi točkami
 - število kontrolnih točk, ki določa preslikavo zavisi od reda B-zlepkov
 - primer za kubične B-zlepke (min. 4×4 polje k.t.):



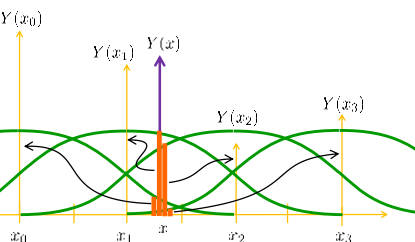
Univerza v Ljubljani

Analiza medicinskih slik

Elektrotehnika - Biomedicinska tehnik

Interpolacija z B-zlepki

$$Y(x) = \sum_{l=0}^3 B_l(u) Y(x_l)$$

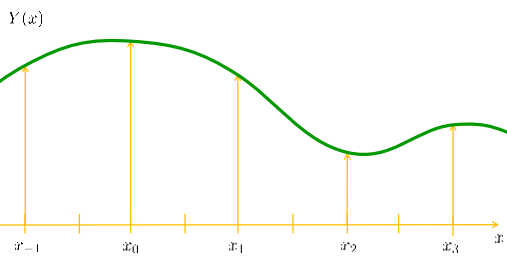


Univerza v Ljubljani

Analiza medicinskih slik

2. letnik 2. stopnje
Elektrotehnika - Biomedicinska tehnik

Interpolacija z B-zlepki

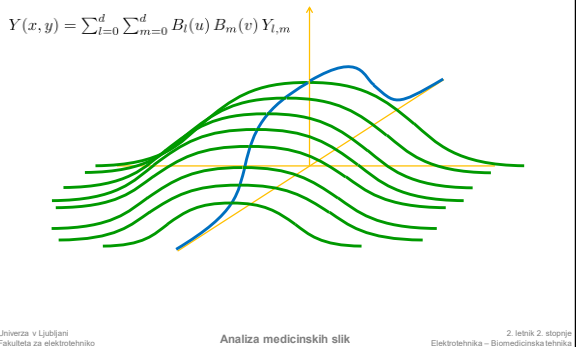


Univerza v Ljubljani

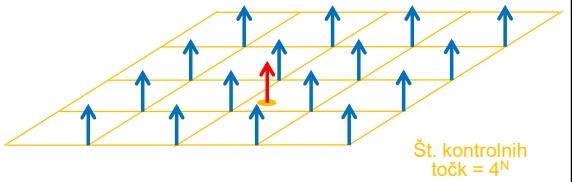
Analiza medicinskih slik

2. letnik 2. stopnje
Elektrotehnika - Biomedicinska tehnik

Tenzorski produkt B-zlepkov



Interpolacija s kubičnimi B-zlepki v 2D

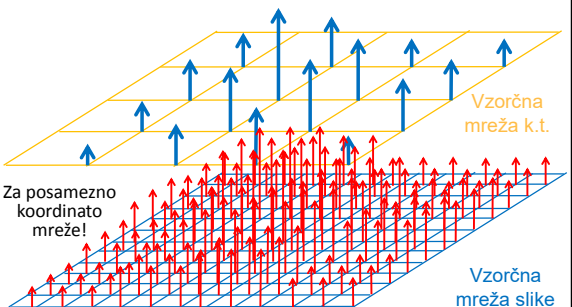


Univerza v Ljubljani
Fakulteta za elektrotehniko

Analiza medicinskih slik

2. letnik 2. stopnje
Elektrotehnika – Biomedicinska tehnika

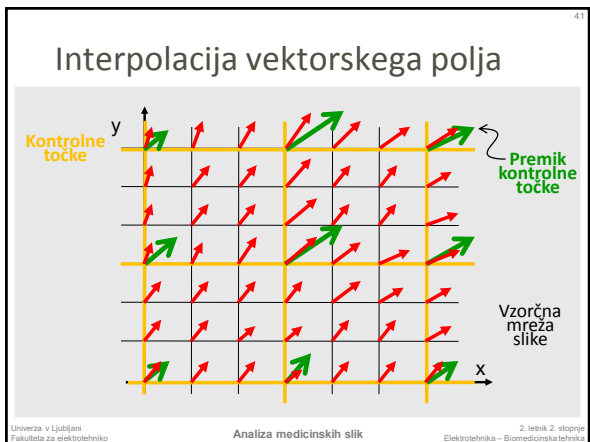
Interpolacija s kubičnimi B-zlepki v 2D

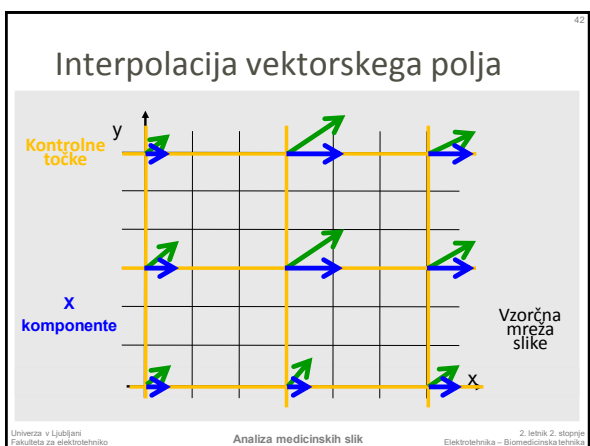


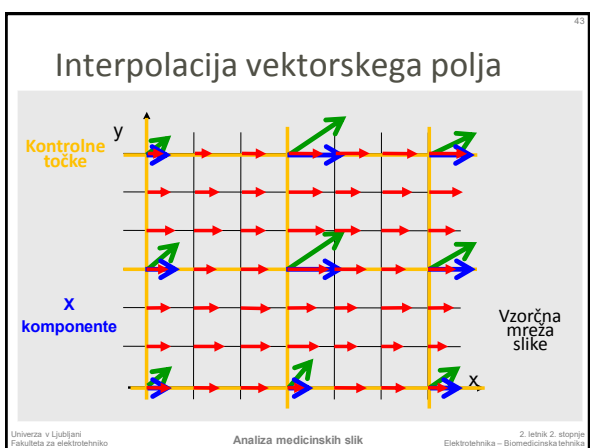
Univerza v Ljubljani
Fakulteta za elektrotehniko

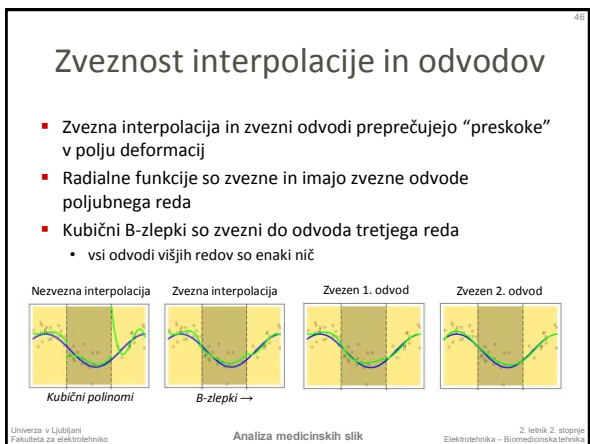
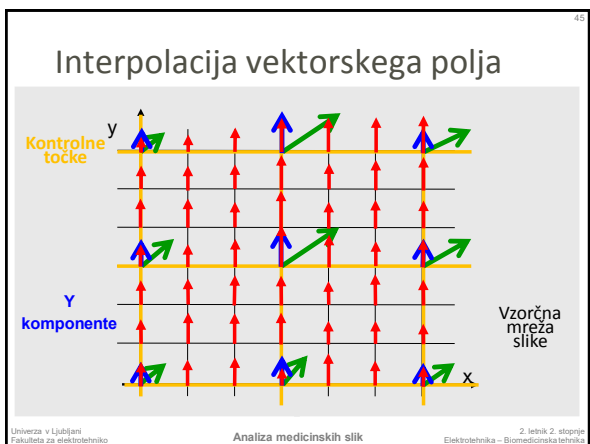
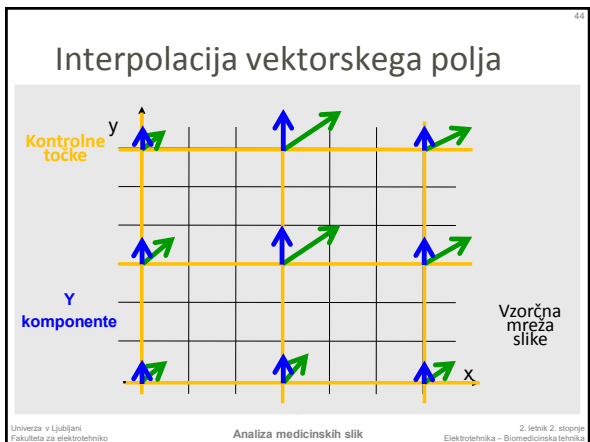
Analiza medicinskih slik

2. letnik 2. stopnje
Elektrotehnika – Biomedicinska tehnika



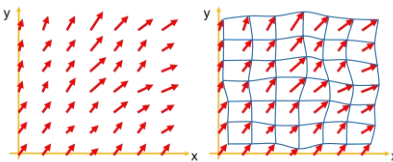






Preslikava kot polje deformacij

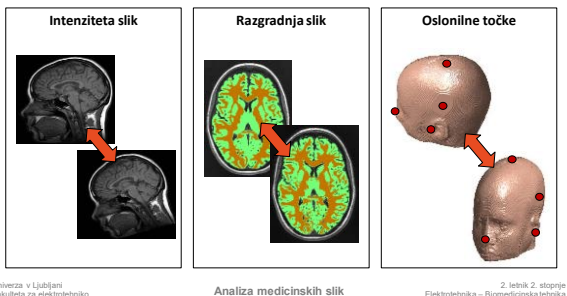
- Najbolj fleksibilen način „parametrizacije“ preslikave
 - pravimo mu tudi neparametrična preslikava 😊
- Polje deformacij predstavimo kot $\mathbf{u}(x, y, z) = [t_x, t_y, t_z]^T$
- Zelo veliko število parametrov za tipično 3D medicinsko sliko
 - velikost slike $512 \times 512 \times 300$, 3 komponente za vsak voksel



Mere podobnosti

LASTNOST ZA PORAVNAVNO

- Katera lastnost določa poravnavo slik?



Mere podobnosti

DEFINICIJA IN LASTNOSTI

- **MP:** poljubna skalarna funkcija, določena nad vsemi istoležnimi elementi referenčne $a(x,y)$ in lebdeče slike oz. oblike $b(x,y)$
 - čim bolj občutljiva na geometrijska neskladja med slikama oz. oblikama
 - čim manj občutljiva na motilna neskladja (npr. Sum, geometrijska in svršinska neskladja in popačenja)
 - smiselne, a ne nujne lastnosti so **zveznost**, **metričnost** in v nekaterih primerih **neobčutljivost na specifične preslikave** (geometrijske in/ali svršinske)
- Lastnosti metrike oz. mere razdalje MR
 - nenegativnost: $MR(a,b) \geq 0$
 - identiteta: $MR(a,b) = 0$ če in samo če $a = b$ MP ima lahko vse ali pa nobene od lastnosti metrike
 - simetričnost: $MR(a,b) = MR(b,a)$
 - trikotniška neenakost: $MR(a,c) \geq MR(a,b) + MR(b,c)$

50

Mere podobnosti

PODOBNOŠT GEOMETRIJSKIH ZNAČILNIC

- L_p norma oz. razdalja

$$L_p = \|\mathbf{t}_1 - \mathbf{t}_2\|_p = (\|x_1 - x_2\|^p + \|y_1 - y_2\|^p + \|z_1 - z_2\|^p)^{1/p}$$

- Hausdorffova razdalja HD (Hausdorff distance)
→ razdalja med dvema množicama značilnic

$$f(A, B) = \sup_{a \in A} \inf_{b \in B} MR(a, b)$$

$$HD(A, B) = \max \{f(A, B), f(B, A)\}$$

- Jaccardov indeks J (Jaccard index)
→ podobnost med dvema množicama značilnic

A **B**

Univerza v Ljubljani
Fakulteta za elektrotehniko

Analiza medicinskih slik

2. letnik 2. stopnje
Elektrotehnika – Biomedicinska tehnika

51

Mere podobnosti

PODOBNOŠT SLIKOVNIH ZNAČILNIC

- Srednja kvadratna napaka MSE (mean square error)
→ občutljiva zaradi kvadrata

$$MSE(a, b) = \frac{1}{IJ} \sum_{i=1}^I \sum_{j=1}^J (a(x_i, y_j) - b(x_i, y_j))^2$$

- Srednja absolutna napaka MAE (mean absolute error)
→ manj občutljiva kot MSE

$$MAE(a, b) = \frac{1}{IJ} \sum_{i=1}^I \sum_{j=1}^J |a(x_i, y_j) - b(x_i, y_j)|$$

- Korelacijski koeficient CC (correlation coefficient)
→ neobčutljiv na linearne preslikave stvari

$$CC(a, b) = \frac{\sum_{i=1}^I \sum_{j=1}^J (a(x_i, y_j) - \bar{a})(b(x_i, y_j) - \bar{b})}{\sqrt{\sum_{i=1}^I \sum_{j=1}^J (a(x_i, y_j) - \bar{a})^2 \sum_{i=1}^I \sum_{j=1}^J (b(x_i, y_j) - \bar{b})^2}}$$

a(x,y) **b(x,y)**

Univerza v Ljubljani
Fakulteta za elektrotehniko

Analiza medicinskih slik

2. letnik 2. stopnje
Elektrotehnika – Biomedicinska tehnika

52

Mere podobnosti

PODOBNOŠT SLIKOVNIH ZNAČILNIC

- Pri večmodalni poravnavi slik, npr. poravnava CT in MR slik, sivinske vrednosti niso funkcionalno, ampak le statistično odvisne
→ prej naštete mere odgovodo
- Uveljavile so se informacijsko teoretične mere
→ še najbolj medsebojna informacija MI (mutual information)

$$MI(a, b) = H(a) + H(b) - H(a, b)$$

- Marginalni entropiji:

$$H(a) = - \sum_{s_a=0}^{L-1} p_a(s_a) \log p_a(s_a)$$

$$H(b) = - \sum_{s_b=0}^{L-1} p_b(s_b) \log p_b(s_b)$$

- Skupna entropija:

$$H(a, b) = - \sum_{s_a=0}^{L-1} \sum_{s_b=0}^{L-1} p_{ab}(s_a, s_b) \log p_{ab}(s_a, s_b)$$

- Ocena skupne verjetnosti iz vezanega histograma sivinskih vrednosti:

$$p_{ab}(s_a, s_b) = \frac{h_{ab}(s_a, s_b)}{IJ}$$

a(x,y) **b(x,y)**

Univerza v Ljubljani
Fakulteta za elektrotehniko

Analiza medicinskih slik

2. letnik 2. stopnje
Elektrotehnika – Biomedicinska tehnika

53

Medsebojna informacija

54

Analiza mer podobnosti

55

Netoga poravnavo = preslikava + mera podobnosti + ...

- Vektorsko polje oz. preslikava deformira sliko A v B
- Inverzno vektorsko polje preslika sliko B v koordinatni sistem A
- Poleg sovpadajočih koordinat med A in B dobimo tudi spremembe oblike (npr. oblike A po deformaciji s preslikavo)

Univerza v Ljubljani
Fakulteta za elektrotehniko

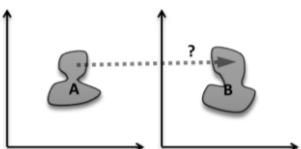
Analiza medicinskih slika

2. letnik 2. stopnje
Elektrotehnika - Biomedicinska tehnika

Netoga poravnava je slabo pogojen problem (1/2) (ang. ill-posed)

▪ Lastnosti dobro pogojenih problemov

- Rešitev obstaja, rešitev je unikatna, rešitev zavisi neposredno od danih podatkov
- Če gornje trditve ne držijo je problem slabo pogojen
- **Primer:** nedoločenost podobnosti na homogenih področjih slike, rešitev je podvržena šumu



Netoga poravnava je slabo pogojen problem (2/2)

▪ Rešitev ni unikatna (obstaja več rešitev)

▪ Iskalni prostor je ∞ -dimensionalen

▪ (Skoraj) unikatno rešitev dobimo z regularizacijo

- Dodatni členi v meri podobnosti, ki kaznujejo nesmiselne deformacije
→ unikatnost rešitve in računsko obvladljiv iskalni prostor
- Regularizacija temelji na mehanskih modelih
 - Deformacija T je fizikalno omejena/smiselna, ker gre za deformacije fizičnih anatomskih struktur
 - Optimalna T naj sliko deformira „samo toliko,“ da se soppadajoče strukture medsebojno poravnajo

Regularizacija netoge poravnave

▪ Številni mehanski modeli, kot naprimer:

- **elastični** (slika na gumijasti podlagi)
- **difuzijski** (vibriranje atomov na osnovi topotne enačbe)
- **viskozno-tekočinski** (slika na medeni podlagi)
- **krivinski** (ang. curvature, variacija viskozno-tekočinskih)

▪ Optimizacija je **fizikalna simulacija** v času t , katere cilj je eno sliko/obliko preslikati v drugo glede na izbrano kriterijsko funkcijo

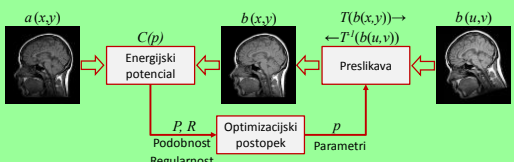
▪ Optimizacija ima tri ekvivalentne oblike:

- minimizacija globalnega energijskega potenciala
- variacijska oblika, kot pri metodah končnih elementov
- Euler-Lagrange (E-L) enačbe, kot pri metodah končnih diferenc

Minimizacija energijskega potenciala

- Mera podobnosti in členi za regularizacijo predstavljajo energijski potencial

$$\mathcal{C}(p) = MP(A, B(\mathcal{T}(p))) + \alpha \mathcal{R}(\mathcal{T})$$

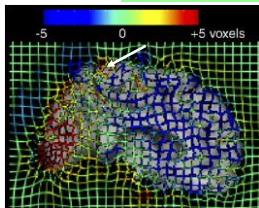


Modeli regularizacije (1/2)

OMEJUJEJO DEFORMACIJO

- Direktna regularizacija deformacije – kvadrat Evklidske razdalje vektorskega polja deformacij

$$\mathcal{R}(\mathcal{T}) = \mathcal{D}_x^2 + \mathcal{D}_y^2 + \mathcal{D}_z^2$$



Bolj kaznuje večje deformacije, ker pričakujemo, da so manj verjetne.



Modeli regularizacije (2/2)

OMEJUJEJO DEFORMACIJO

- Energija ukrivljanja (ang. bending energy)

$$\mathcal{R}(\mathcal{T}) = \left(\frac{\partial^2 \mathcal{T}}{\partial x^2} \right)^2 + \left(\frac{\partial^2 \mathcal{T}}{\partial y^2} \right)^2 + \left(\frac{\partial^2 \mathcal{T}}{\partial z^2} \right)^2 + 2 \left(\frac{\partial^2 \mathcal{T}}{\partial x \partial y} \right)^2 + 2 \left(\frac{\partial^2 \mathcal{T}}{\partial x \partial z} \right)^2 + 2 \left(\frac{\partial^2 \mathcal{T}}{\partial y \partial z} \right)^2$$

- Jacobijeva determinanta (kodira lokalno raztezanje/krčenje)

$$J = \begin{bmatrix} \frac{\partial \mathcal{T}_x}{\partial x} & \frac{\partial \mathcal{T}_x}{\partial y} & \frac{\partial \mathcal{T}_x}{\partial z} \\ \frac{\partial \mathcal{T}_y}{\partial x} & \frac{\partial \mathcal{T}_y}{\partial y} & \frac{\partial \mathcal{T}_y}{\partial z} \\ \frac{\partial \mathcal{T}_z}{\partial x} & \frac{\partial \mathcal{T}_z}{\partial y} & \frac{\partial \mathcal{T}_z}{\partial z} \end{bmatrix} = \begin{bmatrix} j_{xx} & j_{xy} & j_{xz} \\ j_{yx} & j_{yy} & j_{yz} \\ j_{zx} & j_{zy} & j_{zz} \end{bmatrix}$$

$$\mathcal{R}(\mathcal{T}) = \log^2 [\det J(\mathcal{T})]$$

- Linearna elastičnost (dva člena utežena s koeficientoma α in β)

$$\mathcal{R}(\mathcal{T}) = \alpha [j_{xx}^2 + j_{yy}^2 + j_{zz}^2 + \frac{1}{2} ((j_{xy} + j_{yx})^2 + (j_{xz} + j_{zx})^2 + (j_{yz} + j_{zy})^2)] + \beta [j_{xx}^2 + j_{yy}^2 + j_{zz}^2]$$

Kvadriati simetričnega dela matrike J
Divergenca

L: Elastična poravnava

MODELIRANJE MAJHNih PREMIKOV OZ. DEFORMACIJ



- Elastični fizikalni model (Lagrange princip)

• Navrjeva parcialna diferencialna enačba (PDE)

$$\mu \nabla^2 \mathbf{u}(x, y, z) + (\lambda + \mu) \nabla(\nabla \cdot \mathbf{u}(x, y, z)) + \mathbf{f}(x, y, z) = 0$$

• parametra elastičnosti sta Lamejevi konstanti μ, λ

Youngov modulus povezuje raztezki in silo na objekt

$$E_1 = \frac{\mu(3\lambda + 2\mu)}{\lambda + \mu}$$

Poissonovo razmerje je razmerje med stranskim krčenjem in dolžinskim raztezkom

$$E_2 = \frac{\lambda}{2(\lambda + \mu)}$$

- Koliko smo „napeli“ sliko glede na originalne koord. in silo $\mathbf{f}(x, y, z)$?
- Simulacija izračunava upor fizikalnega modela za dano deformacijo glede na celotno deformacijo od časa $t=0$ do $t=zdaj$

- Preslikava je vektorsko polje $\mathbf{u}(\mathbf{x}, t) = \mathbf{u}(\mathbf{x}, t_{final})$
 $\mathbf{x}' = \mathbf{x} - \mathbf{u}(\mathbf{x}, t_{final})$

E: Viskozno-tekočinska poravnava

MODELIRANJE VEČJIH PREMIKOV OZ. DEFORMACIJ



- Deformacijo določimo na podlagi časovno spremenljivega polja hitrosti

$$\mathbf{u}(x, y, z, t_{final}) = \int_0^{t_{final}} \mathbf{v}(\mathbf{u}(x, y, z, t)) dt$$

- Fizikalni model je Navier-Stokesova PDE (Eulerjev princip)

$$\mu \nabla^2 \mathbf{v}(x, y, z) + (\lambda + \mu) \nabla(\nabla \cdot \mathbf{v}(x, y, z)) + \mathbf{f}(x, y, z) = 0$$

- Podobno elastični poravnavi, le da diferenciramo hitrost deformacije, ne deformacije same
- Kolikšen je „pretok“ slike glede na koordinate ob predhodnem času $t-dt$?
- Simulacija izračunava upor fizikalnega modela za dano deformacijo glede na spremembo deformacije od časa $t=zdaj-1$ do $t=zdaj$

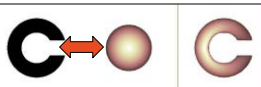
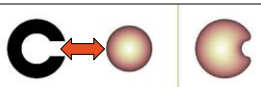
Primerjava Euler in Lagrange regularizacije

Lagrange

- celotna deformacija se regularizira
- za majhne deformacije
- prevelike omejitve v primeru velikih deformacij
- ni primerena za poravnavo slik med različnimi subjekti

Euler

- regularizirajo se inkrementalni prispevki k deformaciji
- regularizacija je primerna za velike deformacije, kot pri poravnavi slik med različnimi subjekti
- transformacije so lahko tudi nesmiselne!



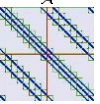
Reševanje Euler-Lagrange enačb

- **Zvezne enačbe oblike** $f(\mathbf{x}) + \alpha A\mathbf{x} = 0$
- Rešujemo sistem PDE enačb
- Zunanje sile $f(\mathbf{x})$ (mera podobnosti)
- Notranje sile $A\mathbf{x}$ (diferencialni operatorji)
- **Diskretiziramo po času in iteriramo**

$$\alpha A\mathbf{x}^{(k+1)} = -f(\mathbf{x}^{(k)})$$

▪ Diskretizacija dif. operatorjev
in reševanje sistema enačb →

elastic	MG, $\mathcal{O}(n)$; Krylov-subspace techniques; direct via FFT-techniques, $\mathcal{O}(n \log n)$
fluid	like elastic
diffusive	MG, $\mathcal{O}(n)$; direct DCT, $\mathcal{O}(n \log n)$; AOS, $\mathcal{O}(n)$
curvature	MG $\mathcal{O}(n)$, direct DCT, $\mathcal{O}(n \log n)$



Optimacijski postopek

- Iskanje **optimalnih parametrov** preslikave, ki da najmanjo vrednost kriterijske funkcije:

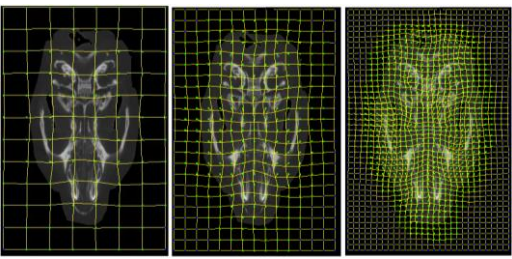
$$\mathcal{C}(p) = MP(A, B(\mathcal{T}(p))) + \alpha \mathcal{R}(\mathcal{T})$$

- Cilj je v **čim manj iteracijah** poiskati optimalno podobnost, vendar:
 - vrednosti mere podobnosti so odvisne od vsebine in lastnosti slik
 - vpliv številnih drugih izvedbenih podobnosti in numeričnih napak
 - lokalni optimumi → podoptimalne poravnave slik
- **Lokalni in globalni** optimacijski postopek:
 - slednji imajo večjo verjetnost, da najdejo pravi optimum, vendar so računsko zahtevenejši
- Izbera pravega optimacijskega postopka:
 - pomembno vpliva na **hitrost in zanesljivost poravnava**
 - temeljiti mora na analizi **lastnosti mer podobnosti** (točnost, število lokalnih optimumov, konvergenčno področje)

Večnivojska optimizacija

S SPREMINJANJEM VZORČENJA PARAMETRIČNEGA PROSTORA

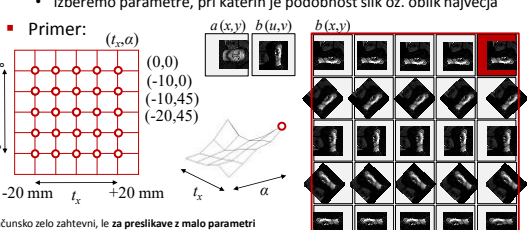
- Gostota kontrolnih točk preslikave z B-zlepki



Postopki optimizacije

- Iskanje po diskretni mreži v parametričnem prostoru, gradientna metode najhitrejšega sputa/dviga, Gauss-Newtonova in konjugirane smeri, Powellova metoda, simpleksna metoda
- Stohastične metode (psevdo-naključna smer koraka)
 - Simulirano ohlajanje (ang. simulated annealing)
 - Genetski algoritmi
- Večnivojska poravnava (ang. course-to-fine search)
 - spremjanje diskretnega koraka v parametričnem prostoru preslikave
 - spremjanje vzorčenja slik

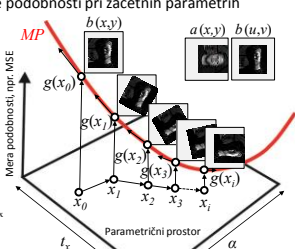
Globalen optimizacijski postopek

- Celovito iskanje po parametričnem prostoru (*exhaustive search*)
 - diskretno **vzorčimo parametrični prostor** na smiselnem območju
 - ovrednotimo mero podobnosti v vzorčnih točkah
 - izberemo parametre, pri katerih je podobnost slik oz. oblik največja
- Primer:


→ računsko zelo zahteven, le za preslikave z malo parametri

Lokalen optimizacijski postopek

- Postopek najstrmejšega sputa oz. dviga (*gradient descent/ascent*)
 - izračunamo prvi odvod mere podobnosti pri začetnih parametrih preslikave $\mathbf{x}_0 = (t_x, \alpha)$:
$$g(\mathbf{x}_0) = \frac{\partial MP(\mathbf{x})}{\partial \mathbf{x}} \Big|_{\mathbf{x}_0}$$
 - spremenimo parametre:
$$\mathbf{x}_1 = \mathbf{x}_0 - k g(\mathbf{x}_0)$$
 - in ponavljamo postopek:
$$\mathbf{x}_{i+1} = \mathbf{x}_i - k g(\mathbf{x}_i)$$
 - dokler:
$$\|\mathbf{x}_{i+1} - \mathbf{x}_i\|_m < \varepsilon \text{ oz. } i < i_{\max}$$
- če je mogoče **odvod MP** izračunamo analitično, sicer ga ocenimo numerično s končnimi diferencami



Povzetek

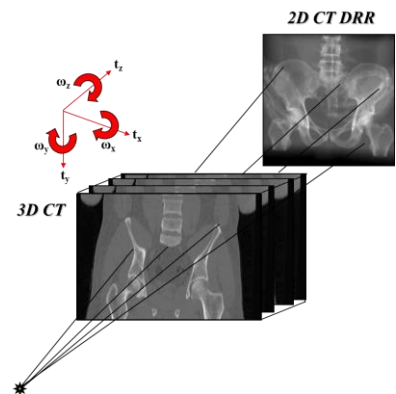


- Uporaba netoge poravnave medicinskih slik
 - različni subjekti / slik iz različnih naprav / istega subjekta ob različnih časih, itd.
- Osnovni gradniki netoge poravnave so
 - prostorska preslikava, mera podobnosti, regularizacija preslikave, optimizacija
- Regularizacija vključuje rabo diferencialnih operatorjev nad preslikavo
 - ločimo Lagrangev in Eulerjev princip, v praksi lahko tudi kombinacija obeh



Poravnavo 3D in 2D slik

Analiza medicinskih slik



2

Študijska literatura



Applied medical image processing: A basic course
Wolfgang Birkfellner, CRC Press, 2010
7. Spatial transforms
8. Rendering and surface models



Computer vision: algorithms and applications
Richard Szeliski, Springer, 2010
2.1 Geometric primitives and transformations
3.6. Geometric transformations
6.1 2D and 3D feature based alignment
6.2 Pose estimation

Univerza v Ljubljani
Fakulteta za elektrotehniko

Analiza medicinskih slik

2. letnik 2. stopnje
Elektrotehnika – Biomedicinska tehnika

3



Uvod

SLIKOVNO VODENI POSEGI V MEDICINI

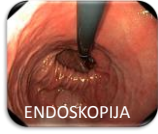
Univerza v Ljubljani
Fakulteta za elektrotehniko

Analiza medicinskih slik

2. letnik 2. stopnje
Elektrotehnika – Biomedicinska tehnika

4

Aplikacije in trendi v medicini



ENDOSKOPIJA



**RADIOTERAPIJA /
RADIOKIRURGIJA**



**INTERVENTNA
RADIOLOGIJA**



KIRURGIJA

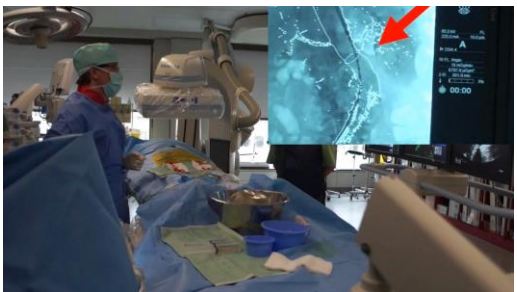
- Neprestan vložki v razvoj
 - čim manj invazivnih,
 - čim bolj natančnih in
 - čim bolj uspešnih posegov
- Ena izmed novejših tehnologij, ki se pospešeno uvaja v medicinske posege je **slikovno vodenje**

Univerza v Ljubljani
Fakulteta za elektrotehniko

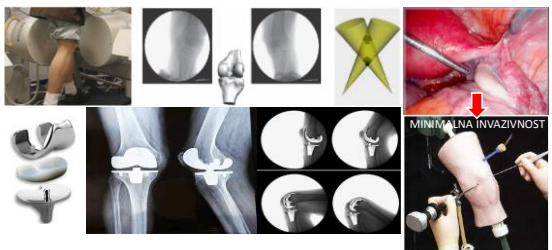
Analiza medicinskih slik

2. letnik 2. stopnje
Elektrotehnika – Biomedicinska tehnika

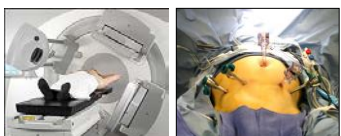
Primer: endovaskularna obnova aorte



Primer: minimalno invazivna operacija kolena



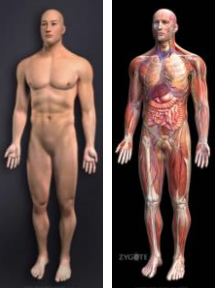
Problematika minimalno invazivnih posegov



- Ker pri **minimalno invazivnih posegih** zdravnik ne vidijo natančne lokacije, oblike in meje ciljane patologije in okoliških struktur, lahko:
 1. **poškodujejo zdrava tkiva**, pomembne živce in žile, kar lahko privede do paralize, močnih krvavitev ali drugih komplikacij
 2. **ne odstranijo vse patologije**, kar tudi lahko pripelje do komplikacij ali celo do zmanjšanja dobe preživetja

Zdravniki bi potrebovali „rentgenski vid“

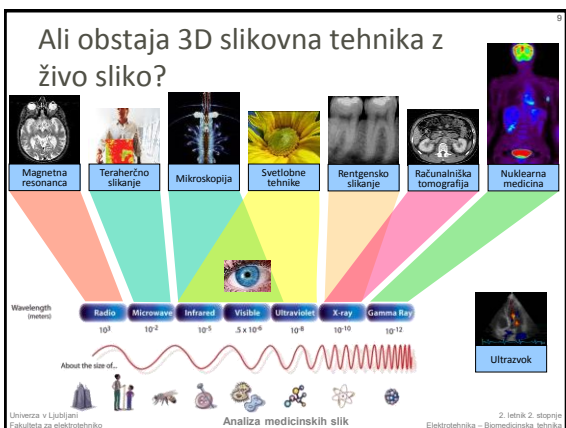
- ... za izvedbo minimalno invazivnega posega
- Vizualizacija med intervencijo pa je omejena, saj **zdravnik ne vidi anatomskih struktur za razgrnjениmi površinami**
- Za izvedbo posega **zdravnik potrebuje „živo“ sliko 3D anatomije**, kot povratno informacijo



Univerza v Ljubljani
Fakulteta za elektrotehniko

Analiza medicinskih slik

2. letnik 2. stopnje
Elektrotehnika - Biomedicinska tehnika



Ali obstaja 3D slikovna tehnika z živo sliko?



- Ta tehnologija bi omogočala zmanjšanje invazivnosti in povečanje natančnosti posega z **direktnim slikovnim vodenjem posega**
- Živo 3D slikanje med posegom je trenutno nemogoče, zato današnji pristopi slonijo na **indirektnem slikovnem vodenju**, to je aktivni uporabi podatkov zajetih pred posegom

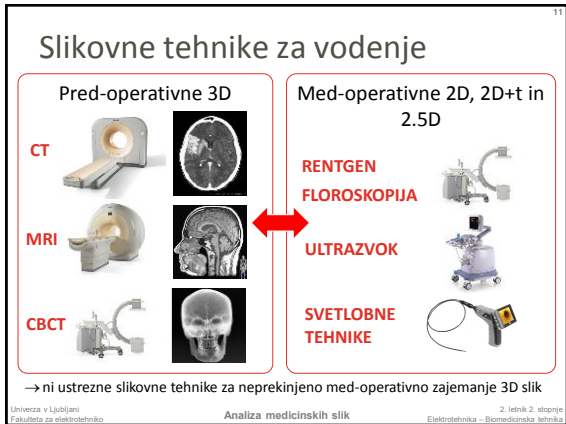


Odprt MRI ↑

Univerza v Ljubljani
Fakulteta za elektrotehniko

Analiza medicinskih slik

2. letnik 2. stopnje
Elektrotehnika - Biomedicinska tehnika



Med-operativne 2D, 2D+D in 2.5D

RENTGEN

FLOROSKOPIJA

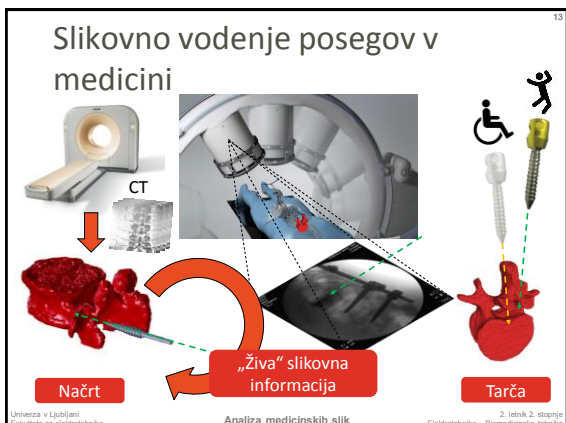
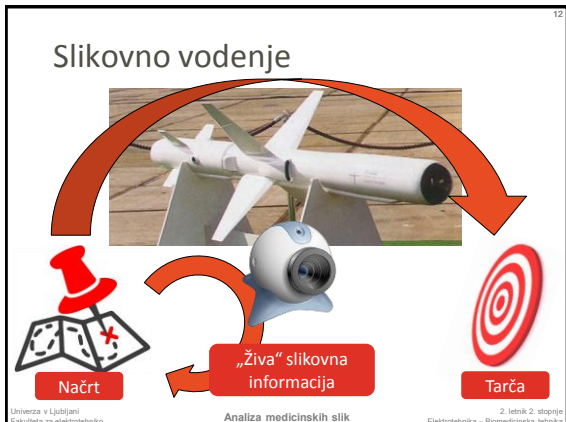
ULTRAZVOK

SVETLOBNE TEHNIKE

Univerza v Ljubljani
Fakulteta za elektrotehniko

Anala medicinskih slik

2. letnik 2. stopnje
Elektrotehnika - Biomedicinska tehnika



Zakaj slikovno vodenje?

- **Primer:** stabilizacija hrbtnice z vstavljanjem pedikularnih vijakov

VEČJA NATANČNOST  	MINIMALNA INVAZIVNOST  
	

14

Univerza v Ljubljani
Fakulteta za elektrotehniko

Anala medicinskih slik

2. letnik 2. stopnje
Elektrotehnika - Biomedicinska tehnika

Primer: vstavljanje pedikularnih vijakov

Adolescentna idiopatska skolioza

		
Predoperativno	CT - 3D reconstruction	In operation

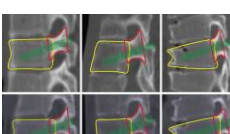
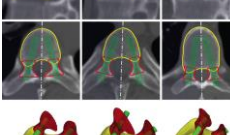
15

Univerza v Ljubljani
Fakulteta za elektrotehniko

Anala medicinskih slik

2. letnik 2. stopnje
Elektrotehnika - Biomedicinska tehnika

Predoperativno načrtovanje

 slika Uporablja se kot ozadje živim (dinamičnim) medintervencijskim podatkom (kirurška orodja, pretok krvi ...).		
 model		

16

Univerza v Ljubljani
Fakulteta za elektrotehniko

Anala medicinskih slik

2. letnik 2. stopnje
Elektrotehnika - Biomedicinska tehnika

Izvedba posega s slikovnim vodenjem



Vir: BrainLab (<https://www.brainlab.com>)

Univerza v Ljubljani
Fakulteta za elektrotehniko

Analiza medicinskih slik

2. letnik 2. stopnje
Elektrotehnika – Biomedicinska tehnika

Indirektno slikovno vodenje

- Aktivna uporaba pred-operativnih podatkov (slik, modelov in načrtov) med posegom



Univerza v Ljubljani
Fakulteta za elektrotehniko

Analiza medicinskih slik

2. letnik 2. stopnje
Elektrotehnika – Biomedicinska tehnika

Namen sistemov vodenja

- Klasičen poseg:** kirurg mentalno poveže splošno anatomske znanje z dejanskimi strukturami na slikah bolnika in na tej podlagi načrta in izvede plan posega



- Slikovno voden poseg:** sistemi za slikovno vodenje združijo vse dostopne vire informacij in s tem omogočajo lažje načrtovanje, izvedbo in po-operativno vrednotenje posega

Univerza v Ljubljani
Fakulteta za elektrotehniko

Analiza medicinskih slik

2. letnik 2. stopnje
Elektrotehnika – Biomedicinska tehnika

Primer: ablacija tumorja v jetrih

20

Pred-operativna CT slika ↔ Živa US slika

Razmejena CT slika

Analiza medicinskih slik

Sledenje US sondi

Univerza v Ljubljani
Fakulteta za elektrotehniko

2. letnik 2. stopnje
Elektrotehnika – Biomedicinska tehnika

Ključne tehnologije slikovnega vodenja

21

- Medicinske slikovne tehnike in postopki obdelave slik
- Razgradnja in vizualizacija slik
- Poravnavi slik, sistemi za sledenje in vmesniki med človekom in računalnikom

→ nadomečajo vid

→ nadomečajo mentalno vizualizacijo

→ nadomečajo koordinacijo med roko in očesom

Univerza v Ljubljani
Fakulteta za elektrotehniko

Analiza medicinskih slik

2. letnik 2. stopnje
Elektrotehnika – Biomedicinska tehnika

Gradniki sistema za slikovno vodenje

22

- 1 PRED-OPERATIVNE 3D SLIKE IN NAČRT POSEGA
- 2 SLEDENJE LEGE KIRURŠKIH ORODUJ
- 3 PROSTORSKA PORAVNJAVA MED BOLNIKOM IN 3D SLIKO
- 4 SUPERPOZICIJA SLIK, MODELOV, NAČRTOV IN MED-OPERATIVNIH 2D SLIK NA PRED-OPERATIVNE 3D SLIKE
- 5 ROBOTIKA

1 PRED-OPERATIVNE 3D SLIKE IN NAČRT POSEGA

2 SLEDENJE LEGE KIRURŠKIH ORODUJ

3 PROSTORSKA PORAVNJAVA MED BOLNIKOM IN 3D SLIKO

4 SUPERPOZICIJA SLIK, MODELOV, NAČRTOV IN MED-OPERATIVNIH 2D SLIK NA PRED-OPERATIVNE 3D SLIKE

5 ROBOTIKA

Univerza v Ljubljani
Fakulteta za elektrotehniko

Analiza medicinskih slik

2. letnik 2. stopnje
Elektrotehnika – Biomedicinska tehnika

23

Roboti v medicini

- Kirurgija (na daljavo) – daVinci



Univerza v Ljubljani
Fakulteta za elektrotehniko

Analiza medicinskih slik

2. letnik 2. stopnje
Elektrotehnika – Biomedicinska tehnika

24

Roboti v medicini

- Brahiterapija
- Biopsija



Gabor Fichtinger

Univerza v Ljubljani
Fakulteta za elektrotehniko

Analiza medicinskih slik

2. letnik 2. stopnje
Elektrotehnika – Biomedicinska tehnika

25

Roboti v medicini

- CyberKnife - radiokirurgija

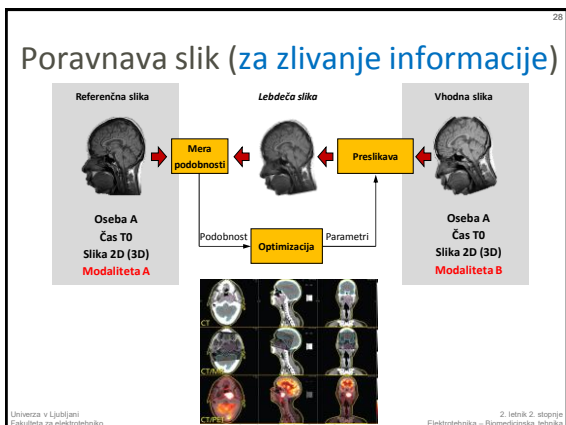
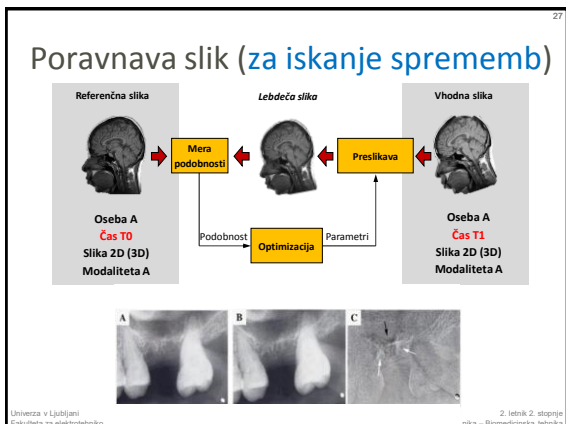


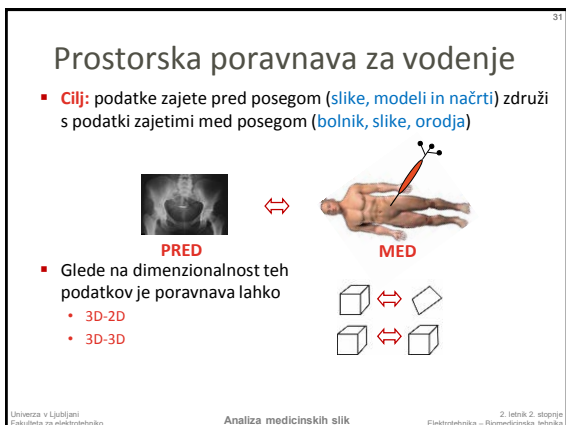
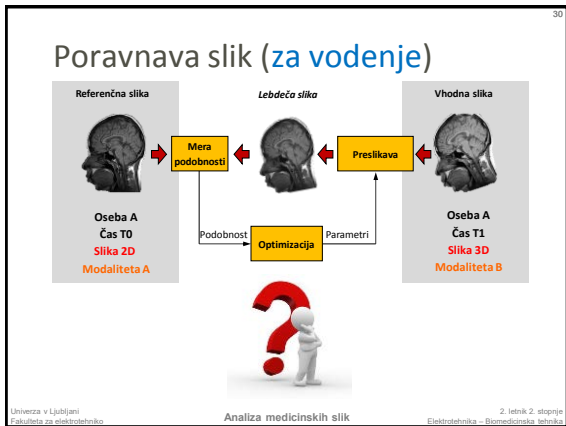
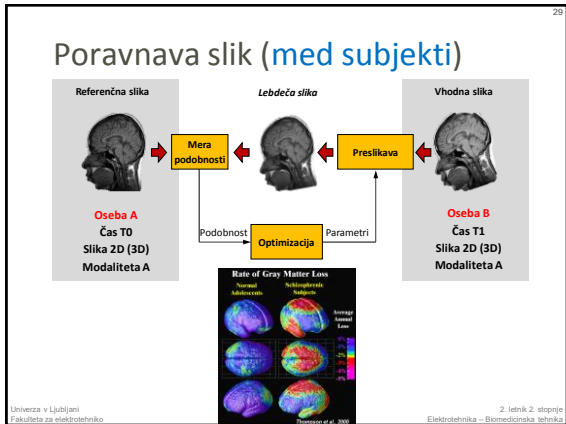
www.accuray.com

Univerza v Ljubljani
Fakulteta za elektrotehniko

Analiza medicinskih slik

2. letnik 2. stopnje
Elektrotehnika – Biomedicinska tehnika





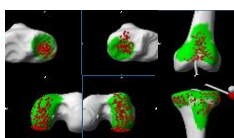
3D-3D: Deloma uporabimo neslikovno informacijo, deloma slikovno

- Na osnovi poravnave 3D-3D površin:



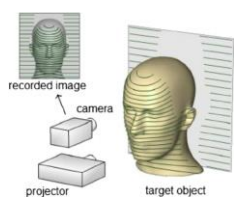
Določanje preslikave $T=(t_x, t_y, t_z, \omega_x, \omega_y, \omega_z)$

- Slika:** površine dobimo z razmejitvijo predoperativne 3D slike
- Bolnik:** površine poravnamo z oblakom točk, ki jih dobimo z dotikanjem korespondenčne površine med posegom



Določanje preslikave $T=(t_x, t_y, t_z, \omega_x, \omega_y, \omega_z)$

- Korespondenčne površine na bolniku dobimo z uporabo laserja, strukturirane svetlobe ali stereo kamer



Določanje preslikave $T=(t_x, t_y, t_z, \omega_x, \omega_y, \omega_z)$

- V praksi najpogosteje pred posegom na bolnika pritrdimo markerje ali pa uporabimo anatomske oslonilne očke



Določanje preslikave $T=(t_x, t_y, t_z, \omega_x, \omega_y, \omega_z)$

- Med posegom se z instrumenti, ki jih sledimo v prostoru, dotikamo markerjev na bolniku in korespondenčnih markerjev na predoperativni sliki bolnika
- Tehnike sledenja markerjem:

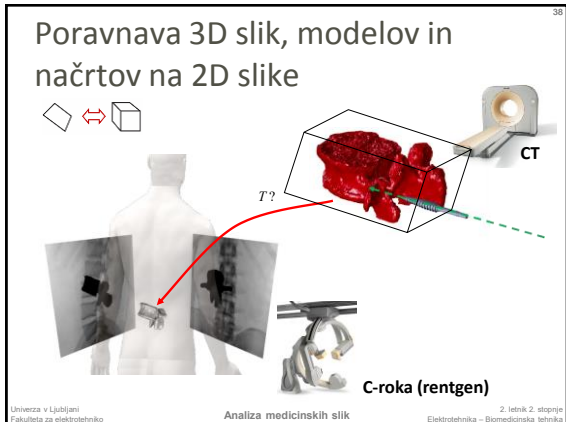


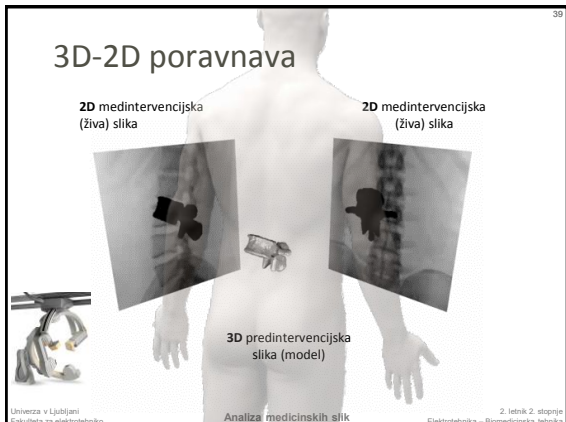
Določanje preslikave $T=(t_x, t_y, t_z, \omega_x, \omega_y, \omega_z)$

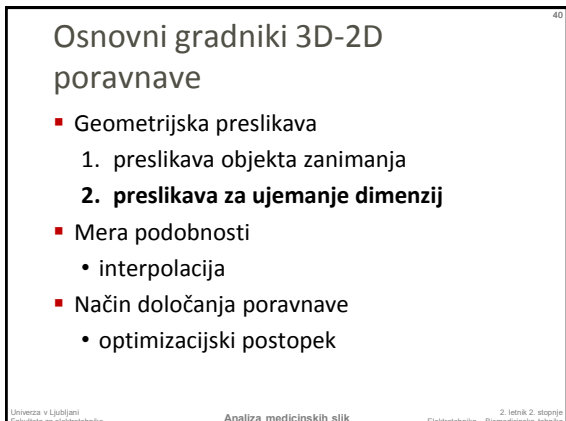
- Uporabimo togo aproksimacijsko poravnava

$$\begin{bmatrix} u_1 & u_2 & \dots & u_K \\ v_1 & v_2 & \dots & v_K \\ w_1 & w_2 & \dots & w_K \\ 1 & 1 & \dots & 1 \end{bmatrix} = \begin{bmatrix} \mathbf{R} & \mathbf{t} \\ 0 & 1 \end{bmatrix} \begin{bmatrix} x_1 & x_2 & \dots & x_K \\ y_1 & y_2 & \dots & y_K \\ z_1 & z_2 & \dots & z_K \\ 1 & 1 & \dots & 1 \end{bmatrix} \quad \mathbf{R} = \mathbf{R}_y \mathbf{R}_p \mathbf{R}_a \quad (3 \times 3)$$

- rešitev z minimizacijo srednje kvadratne napake med korespondenčnimi pari točk
- V kolikor ne poznamo korespondenčnih parov točk
 - uporabimo postopek iterativno najbliže točke (**ICP**)





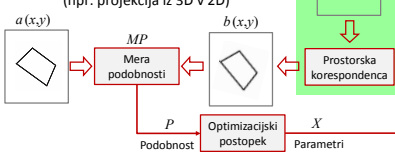


Izvedba 3D-2D poravnave

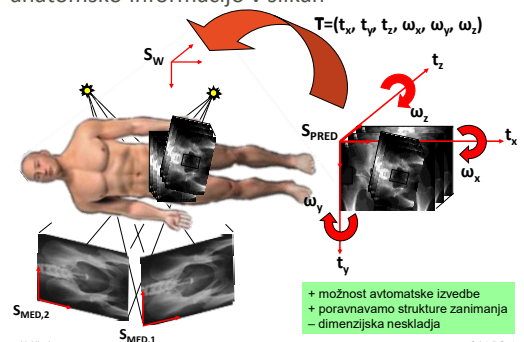
- Informacijo za poravnavo primerjavo preslikamo v isti prostor

1. preslikava med koordinatnimi sistemami slik ($u,v,w \leftrightarrow x,y$)

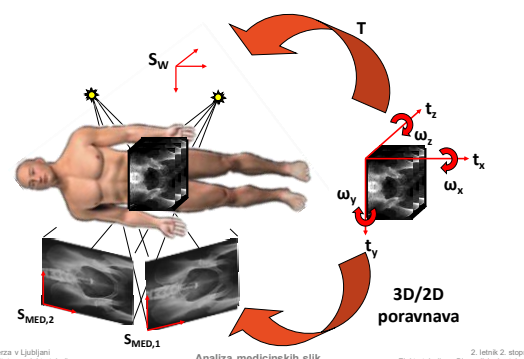
2. dimenzijska korespondenca (npr. projekcija iz 3D v 2D)

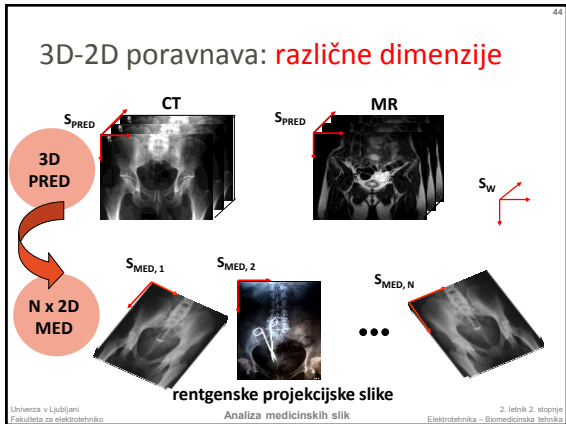


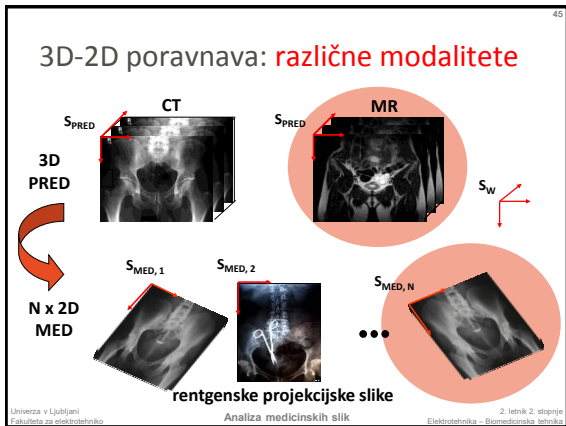
3D-2D: Namesto markerjev uporabimo kar anatomsko informacijo v slikah

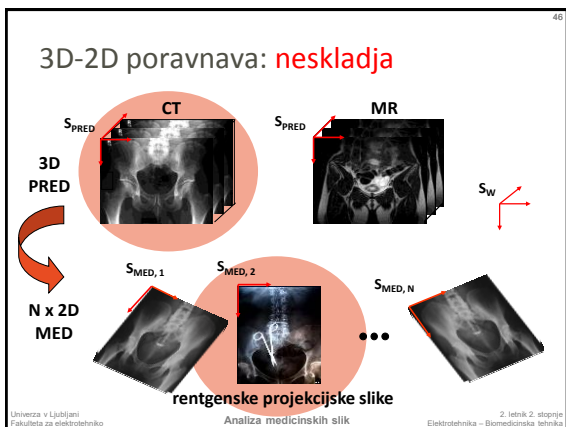


Poravnava slika - bolnik

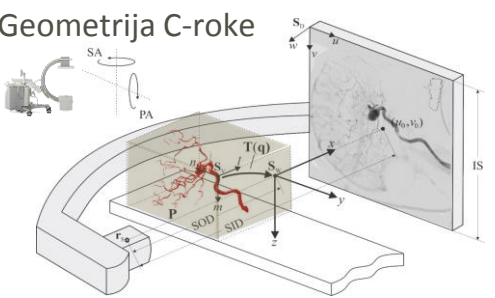






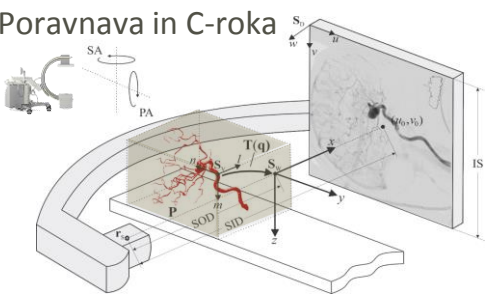


Geometrija C-roke



Pomen simbolov: izvor žarjenja r_s , koordinatni sistemi: S_w – svetlo, S_D – detektorska ravina in S_V – 3D slika, toga preslikava $T(q)$ predintervencijske 3D slike in projekcijska matrika P , ki projicira 3D sliko na detektor. Matrika P je odvisna od geometrije C-roke in parametrov lege PA, SA, SOD, SID in (u_0, v_0) .

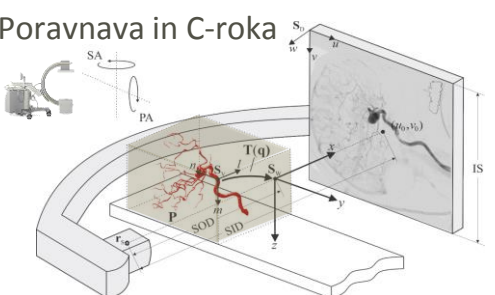
Poravnava in C-roka



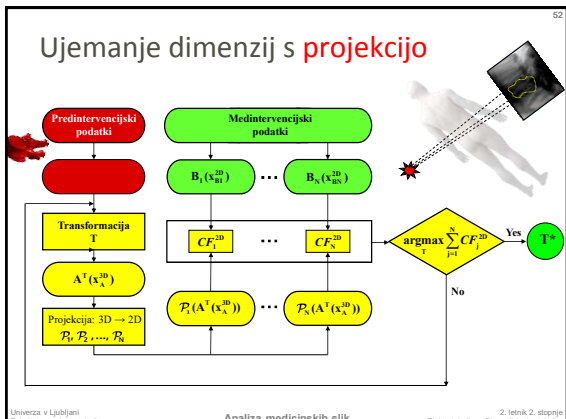
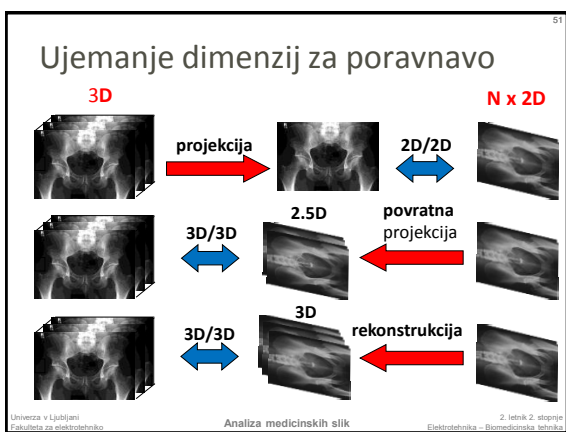
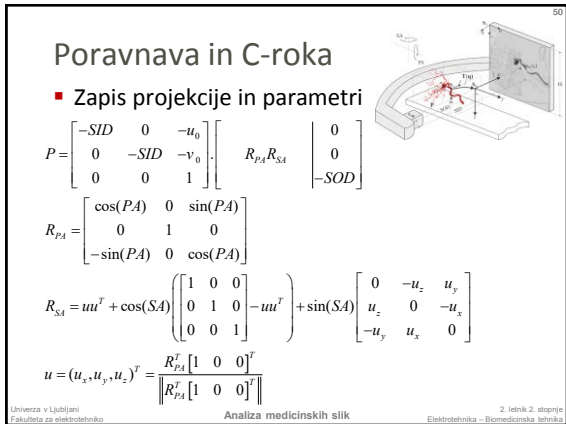
3D-2D poravnava v splošnem obsega oceno dveh geometrijskih preslikav:

1. prostorsko preslikavo $T(q)$, $q = (t_x, t_y, t_z, \omega_x, \omega_y, \omega_z)$ 3D slike in
2. projekcijo P točke v 3D prostoru na 2D ravni detektorja, ki je določena z geometrijo logo C-roke

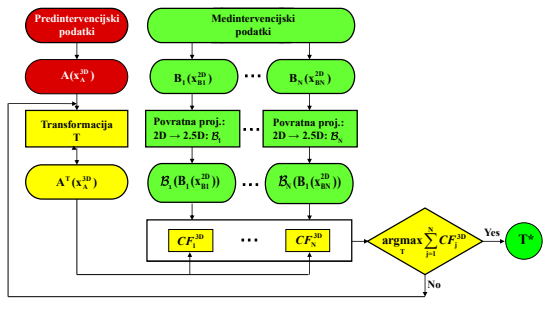
Poravnava in C-roka



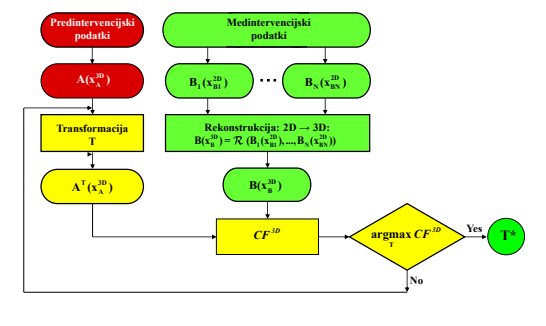
$$T(q) = \begin{pmatrix} \hat{\cos} W_x, \cos W_y & \cos W_x, \sin W_y, \sin W_z - \sin W_x, \cos W_z & \cos W_x, \sin W_y, \cos W_z + \sin W_x, \sin W_z & t_x & \hat{u} \\ \hat{\sin} W_x, \sin W_y & \sin W_x, \sin W_y + \cos W_x, \cos W_z & \sin W_x, \sin W_y, \cos W_z - \cos W_x, \sin W_z & t_y & \hat{v} \\ \hat{\sin} W_y & \cos W_y, \sin W_z & \cos W_y, \cos W_z & t_z & \hat{w} \\ 0 & 0 & 0 & 1 & \hat{1} \end{pmatrix}$$



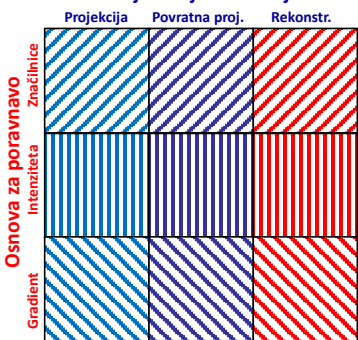
Ujemanje dimenzij s povratno projekcijo



Ujemanje dimenzij z rekonstrukcijo



Ujemanje dimenzij



Postopki 3D-2D poravnave

Preslikava dimenije

Markelj et al.,
MedIA 2008

	Projekcija	Povratna proj.	Rekonstrukcija
Osnova za poravnavo	Značilnice		
Ovodi			
Intensiteta			

Anala medicinskih slik

56

Univerza v Ljubljani
Fakulteta za elektrotehniko

2. letnik 2. stopnje
Elektrotehnika – Biomedicinska tehnika

Postopki 3D-2D poravnave

Preslikava dimenije

Markelj et al.,
MedIA 2008

	Projekcija	Povratna proj.	Rekonstrukcija
Osnova za poravnavo	Značillice		
Ovodi			
Intensiteta			

Anala medicinskih slik

57

! MED-OPERATIVNE OBČAJNO ZAJETE V ENEM POGLEDU

Univerza v Ljubljani
Fakulteta za elektrotehniko

2. letnik 2. stopnje
Elektrotehnika – Biomedicinska tehnika

Ujemanje dimenij

Projekcija **Povratna proj.** **Rekonstr.**

Markelj et al.,
MedIA 2008

	Projekcija	Povratna proj.	Rekonstr.
Osnova za poravnavo	Značillice		
Gradient			
Intensiteta			

Anala medicinskih slik

58

Univerza v Ljubljani
Fakulteta za elektrotehniko

2. letnik 2. stopnje
Elektrotehnika – Biomedicinska tehnika

59

Postopki, ki temeljijo na značilnicah

- Značilnice so geometrijske veličine, kot so izolirane točke ali množica točk, ki predstavljajo krivuljo, obris ali površino
- Značilnice se izložijo z razmejitvijo (segmentacijo) ujemajočih se anatomskih struktur na 3D in 2D slikah

Univerza v Ljubljani
Fakulteta za elektrotehniko

Analiza medicinskih slika

2. letnik 2. stopnje
Elektrotehnika - Biomedicinska tehnika

60

Značilnice / Projekcija (2D-2D) / Povratna projekcija (3D-3D)

Univerza v Ljubljani
Fakulteta za elektrotehniko

Analiza medicinskih slika

2. letnik 2. stopnje
Elektrotehnika - Biomedicinska tehnika

61

Značilnice / Projekcija (2D-2D)

J. Feldmar et al. 3D-2D projective registration of free-form curves and surfaces. *Computer Vision Image Understanding* 65: 403-424, 1997.

Univerza v Ljubljani
Fakulteta za elektrotehniko

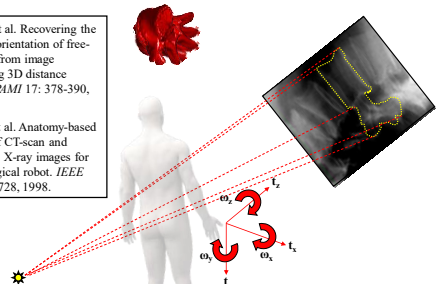
Analiza medicinskih slika

2. letnik 2. stopnje
Elektrotehnika - Biomedicinska tehnika

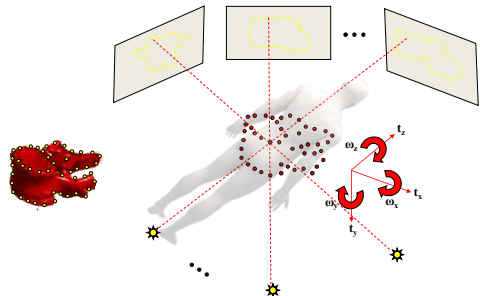
Značilnice / Povratna projekcija (3D-3D)

S. Lavallee et al. Recovering the position and orientation of free-form objects from image contours using 3D distance maps. *IEEE PAMI* 17: 378-390, 1995.

A. Guezic et al. Anatomy-based registration of CT-scan and intraoperative X-ray images for guiding a surgical robot. *IEEE TMI* 17: 715-728, 1998.



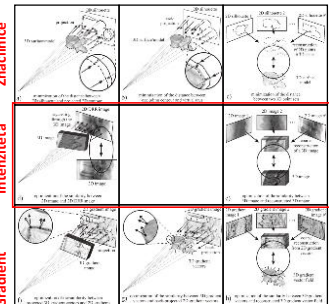
Značilnice / Rekonstrukcija (3D-3D)

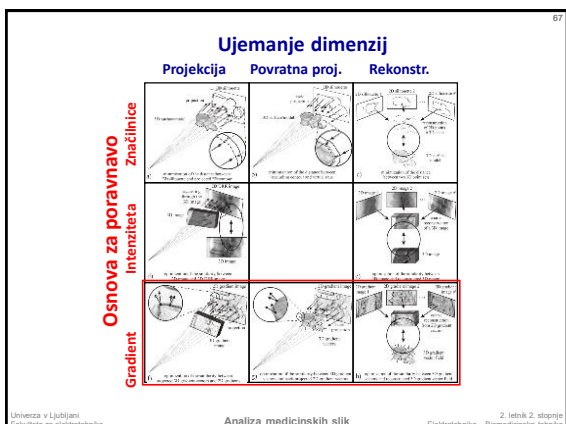
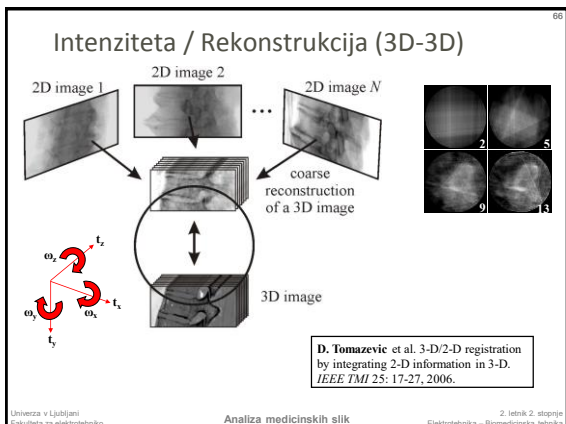
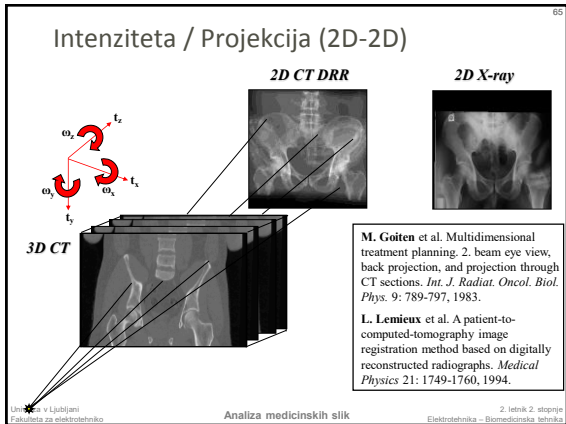


Osnova za poravnava
Gradient
Intensiteta
Značilnice

Ujemanje dimenzij

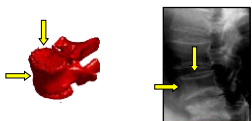
Projekcija Povratna proj. Rekonstr.





Metode, ki slonijo na gradientih

- **Motivacija:** izraziti gradienti intenzitet na rentgenskih slikah so povezani z obrisi (volumenskimi gradienti) 3D anatomskih struktur
- Rentgenski žarki, ki so tangencialni na anatomske strukture tvorijo robove na rentgenski sliki



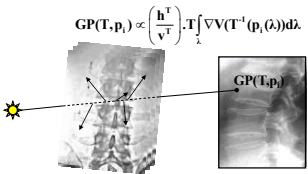
Metode, ki slonijo na gradientih

▪ Lastnost projekcije gradienta:

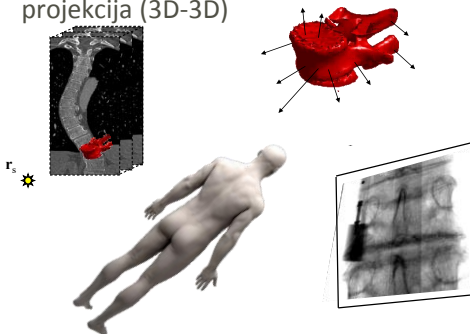
- velikost gradiента v točki rentgenske slike je enaka integralu uteženih projekcij volumenskih gradientov na slikovno ravnino
- utež je enaka relativni razdalji med 3D točko in izvorom žarčenja

H. Livyatan et al. Gradient-based 2-D/3-D rigid registration of fluoroscopic X-ray to CT. *IEEE TMI* 22: 1395-1406, 2003.

D. Tomazević et al. 3-D/2-D registration of CT and MR images to X-ray images. *IEEE TMI* 22: 1407-1416, 2003.



Gradient / Projekcija (2D-2D) / Povratna projekcija (3D-3D)



71

Gradient / Projekcija (2D-2D)

H. Livyatan et al. Gradient-based 2-D/3-D rigid registration of fluoroscopic X-ray to CT. *IEEE TMI* 22: 1395-1406, 2003.

Univerza v Ljubljani
 Fakulteta za elektrotehniko
 Analiza medicinskih slika
 2. letnik 2. stopnje
 Elektrotehnika - Biomedicinska tehnika

72

Gradient / Povratna projekcija (3D-3D)

$$T^* = \operatorname{argmax}_T \frac{\sum_i |V_{Ai}| |V_{Bi}| \cos^4 \alpha}{\sum_i |V_{Ai}| \sum_i |V_{Bi}|}$$

Univerza v Ljubljani
 Fakulteta za elektrotehniko
 Analiza medicinskih slika
 2. letnik 2. stopnje
 Elektrotehnika - Biomedicinska tehnika

73

Gradient / Povratna projekcija (3D-3D)

- Lokalna kovarijančna matrika kodira lokalno obliko anatomske strukture → analiza lastnih vrednosti

$$C_v(r) = \int_{\Omega_v} g_{bv}(r) g_{bv}^T(r)^T \approx \Gamma_B \left[\int_{\Omega_v} g_v g_v^T \right] \Gamma_B^T$$

$$C_p(r) = \int_{\Omega_p} g_{bp}(r) g_{bp}^T(r)^T \approx c^2 \Gamma_B^{-1} \left[\int_{\Omega_p} g_p g_p^T \right] \Gamma_B^{-1}$$

izračunana v lokalnem pravokotnem oknu

$$\Omega_v = \Omega_v(r_v, h)$$

$$\Omega_p = \Omega_p(r_p, c \cdot h)$$

Univerza v Ljubljani
 Fakulteta za elektrotehniko
 Analiza medicinskih slika
 2. letnik 2. stopnje
 Elektrotehnika - Biomedicinska tehnika

Z. Špiclin et al. Fast and robust 3D to 2D image registration by backprojection of gradient covariances. *WBIR*, 2014.

74

Gradient / Povratna projekcija (3D-3D)

- **MP je tenzorski skalarni produkt (TSP)**
Peeters et al. VPTF 2009

$$s_{TSP}(\mathbf{C}_v, \mathbf{C}_p) = \sum_{i=1}^n \sum_{j=1}^n \lambda_{v,i} \lambda_{p,j} (\mathbf{e}_{v,i} \circ \mathbf{e}_{p,j})^2$$

- normaliziramo TSP (NTSP), da izenačimo skalo
- NTSP izračunamo za vseh K 3D oslonilnih točk

$$\text{SM} = \sum_{i=1}^K s_{NTSP}(\mathbf{C}_v, \mathbf{C}_p)$$

Univerza v Ljubljani
Fakulteta za elektrotehniko Analiza medicinskih slik 2. letnik 2. stopnje
Elektrotehnika - Biomedicinska tehnika

75

Gradient / Rekonstrukcija (3D-3D)

P. Markelj et al. Robust gradient-based 3-D/2-D registration of CT and MR to X-ray images. *IEEE TMI* 27: 1704-1714, 2008.

Univerza v Ljubljani
Fakulteta za elektrotehniko Analiza medicinskih slik 2. letnik 2. stopnje
Elektrotehnika - Biomedicinska tehnika

76

Gradient / Rekonstrukcija (3D-3D)

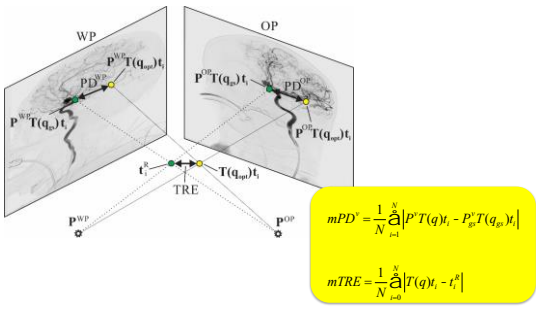
P. Markelj et al. Robust gradient-based 3-D/2-D registration of CT and MR to X-ray images. *IEEE TMI* 27: 1704-1714, 2008.

Univerza v Ljubljani
Fakulteta za elektrotehniko Analiza medicinskih slik 2. letnik 2. stopnje
Elektrotehnika - Biomedicinska tehnika

Osnovni gradniki 3D-2D poravnave, ki jih že poznate

- Geometrijska preslikava
 - 1. preslikava objekta zanimanja
 - 2. preslikava za ujemanje dimenziј
- Mera podobnosti
 - interpolacija
- Način določanja poravnave
 - optimizacijski postopek

Kako dobro deluje poravnava? → Validacija poravnave naslednjič



Povzetek

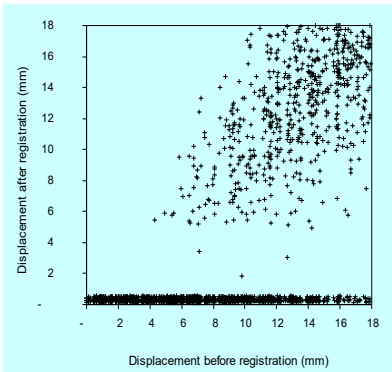
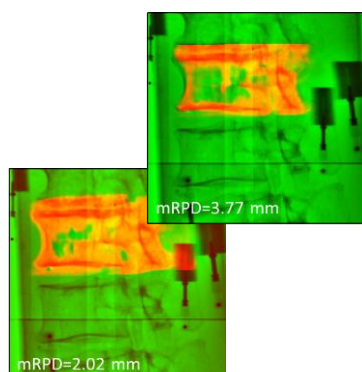
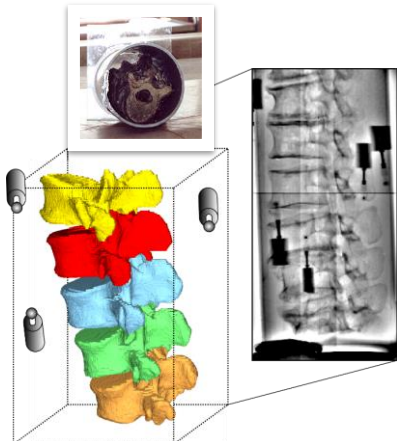
- Poravnava 3D-2D slik se precej uporablja za namen slikevnega vodenja minimalno invazivnih posegov
- Pri 3D-2D poravnavi slik želimo najti optimalno geometrijsko preslikavo tako, da se po poravnavi in po preslikavi za ujemanje dimenziј iste strukture nahajajo na isti lokaciji
- Klučni gradnik je postopek za ujemanje dimenziј, ki zavisi od mere podobnosti ter od uporabljenih slikovnih tehnik
 - Projekcija, povratna projekcija ali rekonstrukcija
 - npr. digitalno rekonstruirani radiograf (DRR)





Validacija poravnave slik

Analiza medicinskih slik



2

Študijska literatura

Validation in Medical Image Processing
P. Jannin, E. Krupinski, S. Warfield
IEEE Transactions on Medical Imaging
Volume: 25 , Issue: 11 , 2006
<https://doi.org/10.1109/TMI.2006.883282>

Validation Data for 2D/3D Registration of Medical Images
Dejan Tomažević, Boštjan Likar, Franjo Pernuš
Computer Aided Surgery, 9(4):137-144, 2004
<https://dx.doi.org/10.1080/10929080500097887>

A framework for automatic creation of gold-standard rigid 3D–2D registration datasets
Hennadii Madan, Franjo Pernuš, Žiga Špiclin
International Journal of Computer Assisted Radiology and Surgery, 12(2):263-275, 2017
<https://dx.doi.org/10.1007/s11548-016-1482-4>

Univerza v Ljubljani
Fakulteta za elektrotehniko

Analiza medicinskih slik

2. letnik 2. stopnje
Elektrotehnika – Biomedicinska tehnika

3

Vsebina

- Namen in možnosti vrednotenja oz. validacije
 - izvori napak in negotovosti
- Validacijska hipoteza
- Gradniki metodologije validacije
 - slikovna podatkovna baza, „temeljna resnica“ oz. referenčni postopek, mere oz. kriteriji in protokol validacije
- Javne baze, mere in protokoli vrednotenja
 - primeri vrednotenja toge 3D-3D, toge 3D-2D in netoge poravnave

Univerza v Ljubljani
Fakulteta za elektrotehniko

Analiza medicinskih slik

2. letnik 2. stopnje
Elektrotehnika – Biomedicinska tehnika

4

Namen vrednotenja (1/2)



- Kako dobro deluje moj (novi) postopek poravnave?
- Kako dobro deluje moj novi postopek poravnave v primerjavi s sodobnimi postopki?

→ **Odgovor bo dalo vrednotenje** (ang. validation)

Univerza v Ljubljani
Fakulteta za elektrotehniko

Analiza medicinskih slik

2. letnik 2. stopnje
Elektrotehnika – Biomedicinska tehnika

Izvori napak in negotovosti

5

■ Na področju obdelave in analize medicinskih slik

- povezani z objektom slikanja in so posledica naravne biološke variabilnosti normalnih in patoloških struktur (in funkcij)
- povezani s položajem pacienta med slikanjem

✓ Biološka variabilnost
✓ Položaj pacienta

P. Jannin et al., Guest Editorial: Validation in medical image processing. IEEE TMI Vol. 25, No. 11, 2006

Univerza v Ljubljani
Fakulteta za elektrotehniko

Anala medicinskih slik

2. letnik 2. stopnje
Elektrotehnika - Biomedicinska tehnika

Izvori napak in negotovosti

6

■ Povezani z zajemanjem slik

- omejena prostorska ločljivost slik ter s tem povezan efekt delnih volumov
- geometrijska in intenzitetna popačenja slik
- variabilnost samih podatkov (naprave različnih proizvajalcev, različne starosti naprav, različne nastavitev naprav za zajemanje slik, ...)

↓ PVE: ang. Partial volume effect
✓ Popačitve pri zajemu

P. Jannin et al., Guest Editorial: Validation in medical image processing. IEEE TMI Vol. 25, No. 11, 2006

Univerza v Ljubljani
Fakulteta za elektrotehniko

Anala medicinskih slik

2. letnik 2. stopnje
Elektrotehnika - Biomedicinska tehnika

Namen vrednotenja (2/2)

7

TEHNIČNI VIDIKI

- Razumeti in osvetliti značilnosti in obnašanje postopka ter oceniti delovanje in omejitve
- Objektivna **primerjava** različnih metod

SPOŠLJINI VIDIKI

- Proučevanje **kliničnih** učinkov postopka
- Ocena **socialnih in ekonomskih** učinkov

V tem predavanju
V klinični študiji

Phase 1: Preclinical
Phase 2: Clinical trials
Phase 3: Post-approval surveillance

Praktični
Teoretični
Vrednotenje

Univerza v Ljubljani
Fakulteta za elektrotehniko

Anala medicinskih slik

2. letnik 2. stopnje
Elektrotehnika - Biomedicinska tehnika

8

Izvedba validacije poravnave

- Validacija postopka ali celotnega sistema mora biti izvedena glede na **klinični kontekst oz. namen**

Univerza v Ljubljani
Fakulteta za elektrotehniko

Operacija sinusov

Kemoembolizacija jeter

Zamenjava kolkov

Analiza medicinskih slik

2. letnik 2. stopnje
Elektrotehnika - Biomedicinska tehnika

9

Formalizacija kliničnega konteksta validacije

- Ni trivialna, je pa potrebna z ozirom na klinično uporabnost postopka
- Cilj validacijske študije opišemo s **hipotezo**

hipoteza hipotéza - e ž (e) nedokazana, zgolj verjetna trditev, domneva: ovreči, postaviti, potrditi hipotezo; dvomljiva, tvegana hipoteza

- S postopkom validacije hipotezo bodisi potrdimo bodisi zavrzemo

Univerza v Ljubljani
Fakulteta za elektrotehniko

Analiza medicinskih slik

2. letnik 2. stopnje
Elektrotehnika - Biomedicinska tehnika

10

Primer validacijske hipoteze

- Na področju slikovno vodene kirurgije – **vstavljanje pedikularnih vijakov**

Univerza v Ljubljani
Fakulteta za elektrotehniko

Analiza medicinskih slik

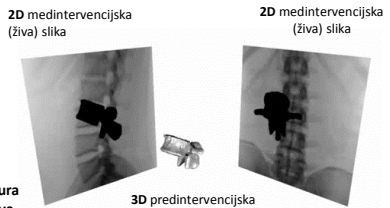
2. letnik 2. stopnje
Elektrotehnika - Biomedicinska tehnika

Primer validacijske hipoteze

- "V kontekstu **slikovno vodene vstavitev pedikularnih vijakov** lahko določen postopek 3D/2D poravnave, ki sloni na slikovnih intenzitetah in s tem povezanimi merami podobnosti, **v manj kot 2 sekundah** poravna 3D CT sliko (s prostorsko resolucijo 1mm) ledvenih vretenc L1-L5 z dvema 2D rentgenskima slikama (s prostorsko resolucijo 0.1 mm), ki prikazuje ista vretenca, v bazi 50 pacientov, z natančnostjo mTRE (ocenjena na 4 točkah na vsakem pediklu), ki je manjša od 0.5mm, če je začetni odmik CT slike od pravilne lege manjši od 20mm."



Vsebina validacijske hipoteze



- Klinični kontekst
- Anatomska struktura
- Postopek poravnave
- Število in karakteristike slik
- Hitrost
- Natančnost in mesto
- Število pacientov

Validacijski kriteriji

- **Klinično pomembni kriteriji oz. mere:**
 - točnost
 - natančnost; ponovljivost; zanesljivost
 - robustnost
 - sposobnost odkrivanja napak
 - kompleksnost delovanja
 - čas računanja
- **Potrebno jih je razviti oz. formalizirati**



Gradniki postopka validacije



14

- Metodologijo vrednotenja čim bolj standardiziramo z:
 - zasnovno validacijske **slikovne podatkovne baze**
 - določitev korespondenčne “**temeljne resnice**” (ang. “ground truth”) in njene natančnosti
 - zasnovno validacijskega **protokola**
 - zasnovno validacijskih **mer oz. kriterijev**

Tipi slikovnih podatkovnih baz

15

- V podatkovni bazi so lahko
 - sintetične (simulirane) slike
 - slike fizičnih fantomov
 - slike kadavrov
 - slike pacientov



- običajno nezahtevna studija
- nerealen klinični kontekst
- ne vključuje biološke variabilnosti
- referenčna poravnava popolnoma določena

- visoka zahtevnost studije (etničnost, prvoletje, invazivnost)
- depažna klinični kontekst in depažna biološka variabilnost (zavisi od izvira slike)
- zahteven dostop do referenčne poravnave

Z vsakim od 4 izvorov (tipov) slike je povezano določanje (dostopnost do) temeljne resnice poravnave in dostopnost do slikovne podatkovne baze.

Sintetične ali simulirane slike

16

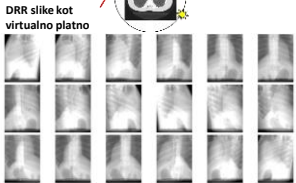
- Redko zajamejo (izražajo) bogato variabilnost anatomskih struktur in artefaktov, kot je to v primeru slik pacientov
- Pogosto uporabljamo predvsem za zgodnje testiranje postopkov

3D/2D poravnava slik

- projekcija znana
- preslikava znana



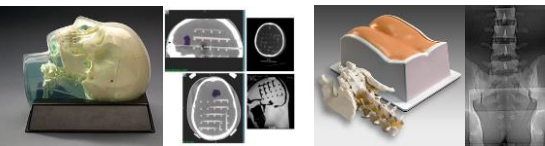
DRR slike kot virtualno platno



Slike fizičnih fantomov

- Fantomi redko odražajo bogato variabilnost anatomskega obrazovanja in patologij, ki je prisotna na slikah pacientov
 - Pogosto uporabljamo predvsem za zgodnje testiranje postopkov

→ **CIRSoV fantom lobanje** in ledvenega dela je narejen iz materialov, ki dajo verne rentgenske, CT in MR slike



www.cirsinc.com

Univerza v Ljubljani

Analiza medicinskih slik

2. letnik 2. stopnje

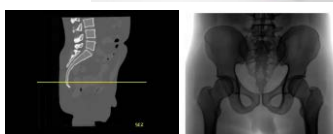
Fakulteta za elektrotehniko

Alianza médica

Biomedicinska tehnika

Slike fizičnih fantomov: primeri

Primer kvalitetnega fantoma je **CIRSoV fantom okolja**, ki vsebuje anatomsko natančne posnetke kosti, hrustanca, hrbenjače, vretenca, mišic, prebavil, mehuria, prostate ter maščevja. Fantom je narejen iz epoksi materialov, ki odražajo gostoto in attenuacijske lastnosti človeških tkiv (1/10 od 50 keV do 25 MeV).



www.cirsinc.com

Univerza v Ljubljani

Analiza medicinskih slik

2. letník 2. stupnje

Fakulteta za elektrotehnika

Alianza médica

Biomedicinska tehnika

Slike fizičnih fantomov: primeri

Primer fantoma **prsnega dela telesa**, ki vsebuje anatomsko natančne posnetke kosti, mehkih tkiv, žilja, hrbtnača, vretenc, mišic ter maščevja. Fantom omogoča vstavljanje različnih patologij (npr. pljučnih tumorjev - nodulov).



Patološki tumorji v obliki vstavkov

Univerza v Ljubljani
Fakulteta za elektrotehniko

Analiza medicinskih slik

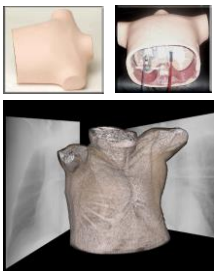
2. letnik 2. stopnje
Elektrotehnika – Biomedicinska tehnika

Slike fizičnih fantomov: primeri

Prvera dinamičnih fantomov prsnega dela hrbitnice za simulacijo premika tumorja zaradi dihanja in bitja srca za namen validacije obsevalnih sistemov.



www.cirsinc.com



<https://www.kyotokagaku.com>

Univerza v Ljubljani

Another modifiable life-style

2. letnik 2. stopnje

Slike kadavrov in pacientov

- Za validacijo lahko uporabimo mnogo več kadavrov in pacientov kot fantomov
 - Slike velikega števila kadavrov in pacientov odražajo bogato biološko variabilnost normalnih in patoloških struktur
 - „Temeljno resnico“ poravnave lažje določimo pri kadavrih kot pacientih (pri kadavrih invazivnost *ni problem*)



Univerza v Ljubljani

<http://www>

si 2. letnik 2. stopnje

Javno dostopne slikovne baze

- Dejanske slike pacientov izdatno pomagajo pri validaciji postopkov, primerjavi delovanja postopkov ter dovoljujejo preučevanje robustnosti
 - Vključevale naj bi tudi "težke" in manj pogoste primere (različne patologije in stanja)
 - Potrebno jih je dopolnjevati s slikami novih pacientov, s slikami novih modalitet, slikovnih protokolov in kliničnih aplikacij

Obstajajo specializirane baze glede na klinični kontekst, v zadnjem času pa tudi splošne v obliki slikovnih biobank!



Univerza v Ljubljani

Another modifiable allele

2. letnik 2. stopnje

23

Specializirane javne baze



- **RIRE: Retrospective Image Registration Evaluation**
 - Za namen fuzije slik glave s **togo poravnava** (CT, T1-, T2-, PD-MR, PET)
 - Slike 19 subjektov, referenčna toga poravnava z markerji
- **NIREP: Non-Rigid Image Registration Evaluation Project**
 - Za namen izgradnje atlasov iz MR slik glave s **netogo poravnava**
 - Slike 16 subjektov, kriteriji vrednotenja glede na razgradnjo 32 struktur
- **DIR-LAB: Deformable Image Registration Laboratory**
 - Sledjenje tumorjev z netogo poravnava 4D CT za izvedbo obsevanja
 - Slike 10 bolnikov s tumorji, 10 s COPD, vrednotenje preko oslonilnih točk
- **Gold standard for 3D-2D registration of cerebral angiograms**
 - Za navigacijo in izvedbo znotrajžilnih posegov s 3D in 2D odštevno angiografijo na osnovi **toge 3D/2D poravnave slik**
 - Slike 25 bolnikov z cerebralnimi malformacijami, vrednotenje preko markerjev

Univerza v Ljubljani
Fakulteta za elektrotehniko

Analiza medicinskih slik

2. letnik 2. stopnje
Elektrotehnika - Biomedicinska tehnika

24

Slikovne biobanke



- **Primeri** javno dostopnih slikovnih biobank
 - UK biobank imaging study:
 - <https://imaging.ukbiobank.ac.uk/>
 - MRI skeni 30k+ oseb (srce, možgani, kosti, žlje)
 - European biobank for medical imaging (v nastajanju):
 - <https://www.myesr.org/article/145>
 - Israel Big data health project (v nastajanju):
 - <https://www.reuters.com/article/us-israel-health/israel-to-launch-big-data-health-project-idUSKBN1H10LW>

Slikovne biobanke so večinoma brez oznak in pripadajočih referenčnih poravnav (drugačen namen). Slednje je potrebno ustvariti – kako?

Univerza v Ljubljani
Fakulteta za elektrotehniko

Analiza medicinskih slik

2. letnik 2. stopnje
Elektrotehnika - Biomedicinska tehnika

25

Referenčna poravnava



ALI TEMELJNA RESICA PORAVNAVE

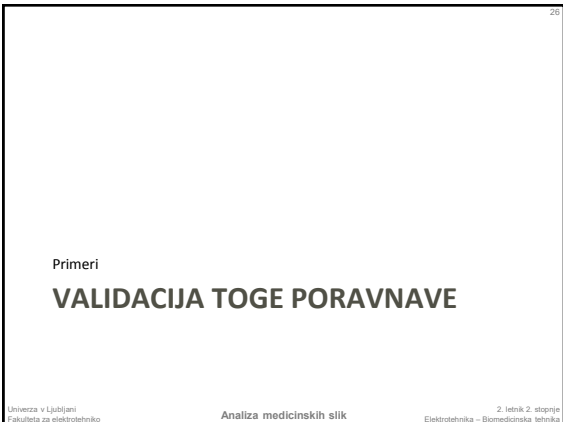
- Širje tipi validacijskih slikovnih baz (simulirane, fantomi, kadavri in pacienti) se razlikujejo po temeljni resnici poravnave, ki se razteza od absolutne do nikakršne
- Vrste temeljne resnice poravnave:
 - **zlati standard:** v primeru sintetičnih slik popolnoma poznana
 - **zlati/srebrni standard:** določena iz slik fantomov in kadavrov
 - **bronasti standard:** če uporabljamo slike patientov, ki so zajete med klinično diagnostiko ali posegom, prava poravnava ni poznana, v tem primeru si pomagamo z razgradnjo struktur ali označevanjem oslonilnih točk
- Način določanja temeljne resnice lahko vnese negotovosti, ki jih moramo med validacijo upoštevati



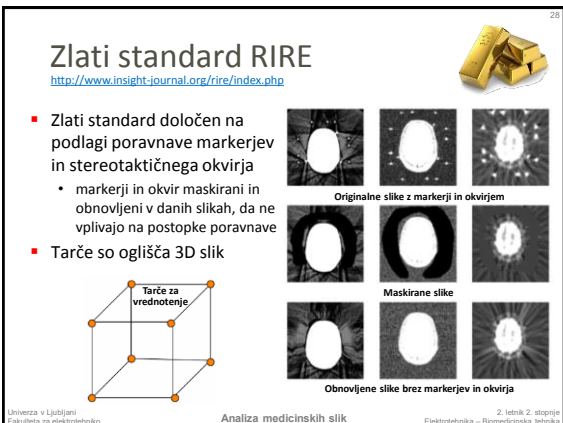
Univerza v Ljubljani
Fakulteta za elektrotehniko

Analiza medicinskih slik

2. letnik 2. stopnje
Elektrotehnika - Biomedicinska tehnika



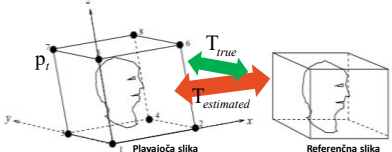




Mere vrednotenja postopkov

- RIRE določa dve meri kakovosti poravnave
- Točnost postopka
 - mTRE: ang. median Target Registration Error
- Robustnost postopka
 - maxTRE: ang. maximum Target Registration Error

$$\text{medTRE} = \text{med} [\|T_{true} P_i - T_{estimated} P_i\|] \quad \text{maxTRE} = \max [\|T_{true} P_i - T_{estimated} P_i\|]$$



Primer: vrednotenje postopkov

West et al., Comparison and evaluation of retrospective intermodality image-brain image registration techniques, Journal of Computer Assisted Tomography, 1997

- 12 različnih postopkov toge poravnave

- različne mere podobnosti, optimizacija

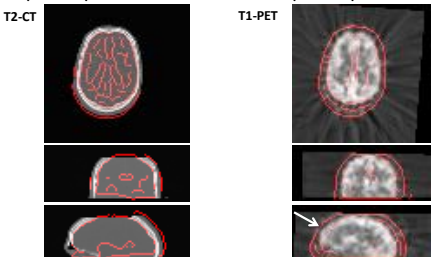
Točnost v mm	MR Modality	Technique										N
		BA	CO	HA	HP	MAI	MAL	NOI	PE	RO3	RO4	
T1	4.6	3.6	2.8	3.2	3.5	4.2	3.6	2.9	4.0	3.4	2.3	3.1
PD	5.2	2.9	4.2	3.1	4.7	4.0	4.1	3.3	4.3	3.3	2.9	3.1
T2	4.7	2.8	2.7	2.4	5.3	4.9	4.6	3.3	4.0	3.6	3.6	3.4
T1 rect.	3.2	2.8*	3.6	2.5	3.9	3.6	3.9	2.8	3.8	3.6	2.0	2.0
PD rect.	4.5	3.0	3.2	3.0	4.7	3.6	4.4	2.8	3.6*	4.1*	2.5	2.3
T2 rect.	3.9	2.0	3.3	2.2	4.0	3.6	5.2	2.9	3.8	3.4	2.5	2.4

Robustnost v mm	MR Modality	Technique										N
		BA	CO	BA	BP	MAI	MAL	NOI	PE	RO3	RO4	
T1	11.5	12.7	12.1	9.3	10.6	8.5	11.4	10.0	9.4	5.9	5.8	6.0
PD	11.2	9.2	10.3	8.1	9.8	9.3	8.9	11.3	8.8	7.1	6.9	6.3
T2	12.3	7.5	17.4	8.3	15.0	12.3	7.3	13.4	9.0	7.3	8.4	7.3
T1 rect.	6.0	3.7*	17.7	6.0	7.7	8.4	14.2	7.9	7.3	8.9	4.2	5.0
PD rect.	11.0	7.3	10.1	7.5	9.2	9.1	7.4	11.0	6.6*	6.6*	5.5	5.4
T2 rect.	9.8	7.1	10.2	9.3	10.9	12.1	11.2	15.2	5.8	7.1	6.0	6.1

- Še vedno aktivno: glej rezultate v živo ([link](#))

Primer: vizualno vrednotenje

- S superpozicijo robov iz premične na ref. sliko
- Uspešna poravnava
- Neuspešna poravnava



32

Podatkovna baza BrainWeb

<http://brainweb.bic.mni.mcgill.ca/brainweb/>

- Numerični simulacijski fantom (več namenov)
 - generira MR slike glave glede na parametre simulatorja
 - modalitete T1, T2, PD, izhod so 3D MR slike
 - anatomska informacija je dana iz predloga
 - 20 predlog zdravih oseb, 1 oseba s tremi stopnjami patologije (lezije v beli možganovini)
 - simulacija artefaktov (sum v poljubni stopnji in sivinske nehomogenosti v poljubni stopnji)
 - zlati standard poravnave med MR slikami je popolnoma določen



Univerza v Ljubljani
Fakulteta za elektrotehniko Analiza medicinskih slik 2. letnik 2. stopnje
Elektrotehnika – Biomedicinska tehnika

33

Primeri

VALIDACIJA TOGE 3D/2D PORAVNAVE

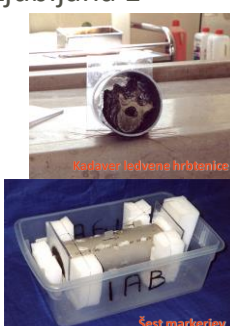
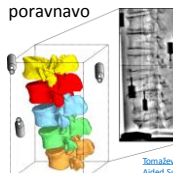
Univerza v Ljubljani
Fakulteta za elektrotehniko Analiza medicinskih slik 2. letnik 2. stopnje
Elektrotehnika – Biomedicinska tehnika

34

Podatkovna baza „Ljubljana 1“

<http://lit.fe.uni-lj.si/tools>

- Kadaver ledvenega dela hrbtenice
 - vretenca L1-L5
 - 3D CT in MR slika
 - 18 rentgenov [0 - 170 deg]
 - 6 markerjev za referenčno poravnavo



Tomazević et al. Computer Aided Surgery, 2004



Kadaver ledvene hrbtenice

Šest markerjev

Univerza v Ljubljani
Fakulteta za elektrotehniko Analiza medicinskih slik 2. letnik 2. stopnje
Elektrotehnika – Biomedicinska tehnika

35

Podatkovna baza „Ljubljana 1“

<http://lit.fe.uni-lj.si/tools>

■ Zajem slik kadavra

Tomažević et al. Computer
Aided Surgery, 2004

Rentgen

CT

MR

Univerza v Ljubljani
Fakulteta za elektrotehniko

Analiza medicinskih slik

2. letnik 2. stopnje
Elektrotehnika - Biomedinska tehniko

36

Podatkovna baza „Ljubljana 1“

<http://lit.fe.uni-lj.si/tools>

- Predintervencijske 3D slike
- Medintervencijske 2D slike
(18x rentgen iz različnih pogledov)

Analiza medicinskih slik

2. letnik, 2. državnega

Univerza v Ljubljani
Dekanata za zdravstvene

Clinicalnike – Biostatistične tehnike

57

Zlati standard „Ljubljana 1“

<http://lit.fe.uni-lj.si/tools>

- Referenčna poravnava CT/X-ray in MR/X-ray slik pridobljenja s poravnavo markerjev
- Natančnost zlatega standarda v mm
- TRE(p_i) = $\|T_{true} p_i - T_{estimated} p_i\|$
(ang. Target Registration Error)
- Ocenjena RMS TRE v mm

Tomašević, et al., Computer Assisted Surgery, 2004

Vretence

Univerza v Ljubljani
Doktorska zaščitna delavnica

Analiza medicinskih slik

Elektrotehnika + Biomedicinska tehnika

2. delnički 2. desno

38

Podatkovna baza „Utrecht“

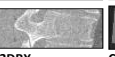
Ni več javno na voljo

- Kadaver dveh odmrznenih delov hrbitenice
 - 3DRX (100 2D projekcij)
 - CT in MR 3D slike
 - Kovinski markerji za validacijo zatega standarda

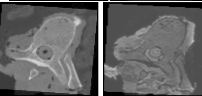
Prečno



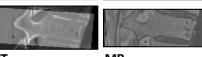
Stransko



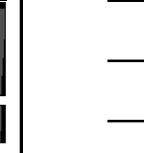
3DRX



CT



MR



100 rentgenskih slik

Univerza v Ljubljani
Fakulteta za elektrotehniko

Analiza medicinskih slik

2. letnik 2. stopnje
Elektrotehnika – Biomedicinska tehnika

39

Zlati standard „Utrecht“



- Slikovni sistem 3DRX je kalibriran
 - projekcijska geometrija rentgenskih slik glede na rekonstruirano 3DRX sliko in popačitev rentgenskih slik sta poznani
 - 3DRX slike in 100 rentgenskih slik, ki so bile popravljene glede na popačitev, predstavljajo podatkovno bazo z zlatim standardom
- Zlati standard poravnave rentgenskih in 3DRX slike je prenešen na CT in MR sliki s pomočjo poravnave (medsebojna informacija) CT in MR slike na 3DRX sliko
- Markerji so uporabljeni za validacijo zatega standarda
 - RMS napaka na mestih markerjev je 0.8 mm

Univerza v Ljubljani
Fakulteta za elektrotehniko

Analiza medicinskih slik

2. letnik 2. stopnje
Elektrotehnika – Biomedicinska tehnika

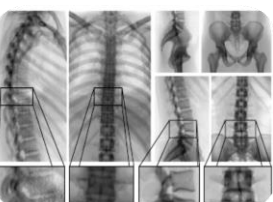
40

Podatkovna baza „Ljubljana 2“

<http://lit.fe.uni-lj.si/tools>

- Visoko-kakovostni **simulirani DRR posnetki** na osnovi CT slik iz javno dostopne baze „Visible Human Project“ ([link](#))
 - 3D CT slike celega telesa, zajeto post mortem





Source of the VHP: Human Organ & Model collection

Markei J. et al. Standardized evaluation methodology for 3D/2D registration based on the Visible Human data set. *Medical Physics*, 2010.

Analiza medicinskih slik

2. letnik 2. stopnje
Elektrotehnika – Biomedicinska tehnika

Podatkovna baza „Dunaj“

- Kadaver glave prašiča
 - kV in MV rentgenske slike
 - CT in T1, T2, PD MR 3D slike
 - CT in MR kompatibilni markerji za referenčno poravnava



Univerza v Ljubljani

Fakulteta za elektrotehniko

Analiza medicinskih slik

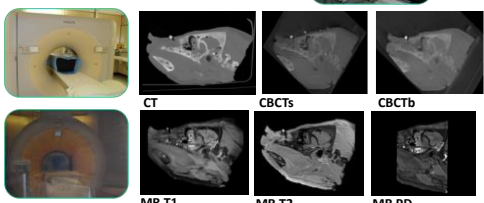
2. letnik 2. stopnje

Elektrotehnika – Biomedicinska tehnika

Podatkovna baza „Dunaj“

<https://doi.org/10.1117/12.844488>

- Zajem 3DCT, MR in CBCT slik



Univerza v Ljubljani

Fakulteta za elektrotehniko

Analiza medicinskih slik

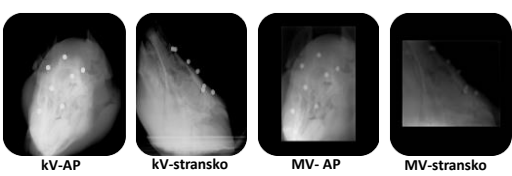
2. letnik 2. stopnje

Elektrotehnika – Biomedicinska tehnika

Podatkovna baza „Dunaj“

<https://doi.org/10.1117/12.844488>

- Zajem kV in MV rentgenskih slik



Univerza v Ljubljani

Fakulteta za elektrotehniko

Analiza medicinskih slik

2. letnik 2. stopnje

Elektrotehnika – Biomedicinska tehnika

44

Podatkovna baza „Ljubljana 3“

<http://lit.fe.uni-lj.si/tools>

- Možganski angiografi
 - 25 bolnikov slikanih med znotrajšnjim posegom
 - 3D rotacijska angiografija (RA) z in brez kontrasta, 3D odštevna angiografija (DSA), 2D rentgen z in brez kontrasta, 2D DSA (AP+LAT)
 - Kovinski markerji za zlati standard

Univerza v Ljubljani
Fakulteta za elektrotehniko

Anala medicinskih slik

2. letnik 2. stopnje
Elektrotehnika - Biomedicinska tehnika

45

Podatkovna baza „Ljubljana 3“

<http://lit.fe.uni-lj.si/tools>

- Slike zajete med dejanskim znotrajšnjim posegom
 - Vsebuje patologije možganskega žilja, in sicer anevrizme in arteriovenozno malformacijo (AVM)

Univerza v Ljubljani
Fakulteta za elektrotehniko

Anala medicinskih slik

2. letnik 2. stopnje
Elektrotehnika - Biomedicinska tehnika

46

Zlati standard „Ljubljana 3“

- Referenčna poravnava 3D- in 2D-DSA slik pridobljena z avtomatsko poravnavo markerjev
- Tarče za točke središčnice žilja
- Natančnost zlatega standarda FRE v mm

(ang. Fiducial Registration Error)
Madan et al. A framework for automatic creation of gold-standard rigid 3D-2D registration datasets. IJCARs, 2018

Univerza v Ljubljani
Fakulteta za elektrotehniko

Anala medicinskih slik

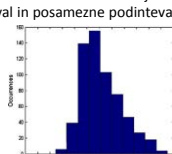
2. letnik 2. stopnje
Elektrotehnika - Biomedicinska tehnika

47

Protokoli validacije

▪ Zahteva določitev:

- števila in pogledov rentgenskih slik, ki bodo uporabljene za 3D/2D poravnave
- števila začetnih odmikov od zlatega standarda poravnave; iz teh položajev štarta postopek poravnave
- velikosti odmikov (premiki in rotacije) iz lege zlatega standarda, običajno izraženi v začetnem TRE
- začetni odmiki določeni naključno, vendar kontrolirano glede na maksimalni interval in posamezne podintervale začetnega TRE



Univerza v Ljubljani
Fakulteta za elektrotehniko

Anala medicinskih slik

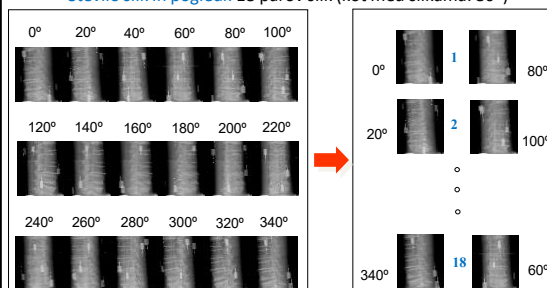
KEEP CALM AND FOLLOW PROTOCOL

2. letnik 2. stopnje
Elektrotehnika – Biomedicinska tehnika

48

„Ljubljanski“ protokol validacije

▪ Število slik in pogledi: 18 parov slik (kot med slikama: 80°)



Univerza v Ljubljani
Fakulteta za elektrotehniko

Anala medicinskih slik

2. letnik 2. stopnje
Elektrotehnika – Biomedicinska tehnika

49

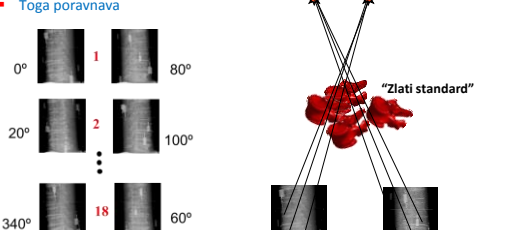
„Ljubljanski“ protokol validacije

▪ Število odmikov: 25 na par vretenc ($18 \times 5 \times 25 = 2250$)

▪ Odmič: definiran in normaliziran parametričnem prostoru

▪ Velikost odmikov: 0–18mm (0–52°) (CT); 0–9mm (0–26°) (MR)

▪ Toga poravnava



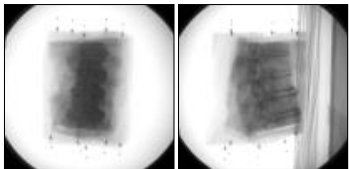
Univerza v Ljubljani
Fakulteta za elektrotehniko

Anala medicinskih slik

2. letnik 2. stopnje
Elektrotehnika – Biomedicinska tehnika

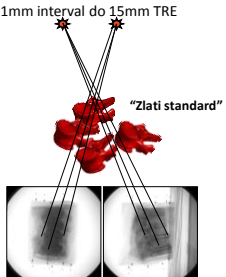
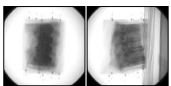
„Utrechtški“ protokol validacije

- **Število slik in pogledi:** izmed 100 zajetih rentgenskih slik na vsak kos hrbitenice izberemo 2 slike (prvo in tisto, ki je približno 90 stopinj zasukana glede na prvo)



„Utrechtški“ protokol validacije

- **Odmiki:** definirani kot mTRE (fiksno število točk na hrbitenici)
- **Število odmikov:** 150, 10 na vsak 1mm interval do 15mm TRE
- **Velikost odmikov:** 15mm
- **Toga poravnava**



Validacijska mera oz. kriterij

■ Meri oz. ocenjuje

- točnost
- uspešnost (odstotek natančnih poravnav*)
- velikost področja konvergencije nekega postopka 3D/2D poravnave

Zanesljivost,
robustnost

*pod klinično pomemljivim pragom

53

Validacijska mera: točnost

$mTRE:$ ang. mean Target Registration Error
 $mPD:$ ang. mean Projection Distance
 $(mRPD:$ mean Reprojection Distance)

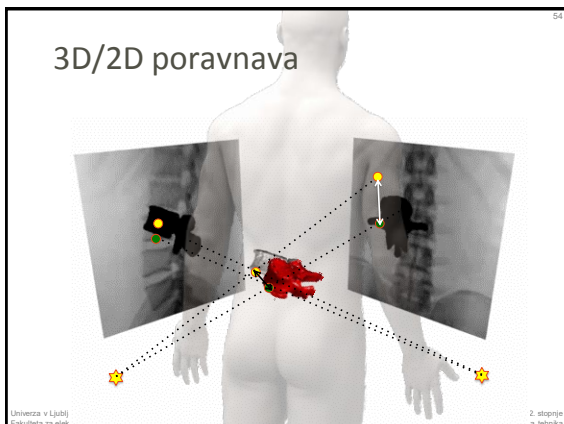
$$mPD = \frac{1}{N} \sum_{i=1}^N |P^v T(q_i) t_i - P^v_g T(q_{g_i}) t_i|$$

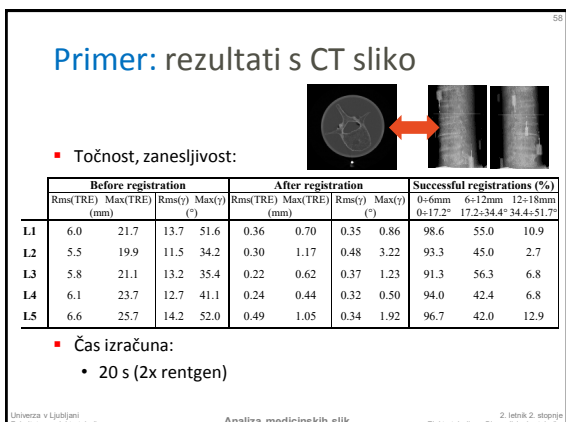
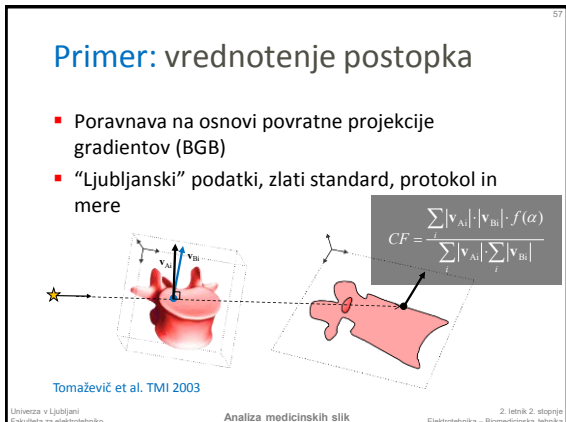
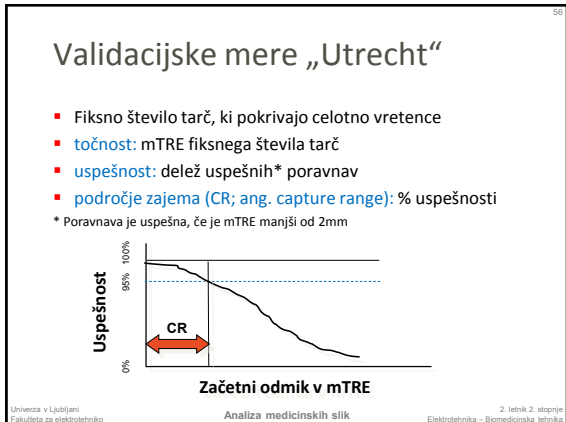
$$mTRE = \frac{1}{N} \sum_{i=0}^N |T(q_i) t_i - t_i^p|$$

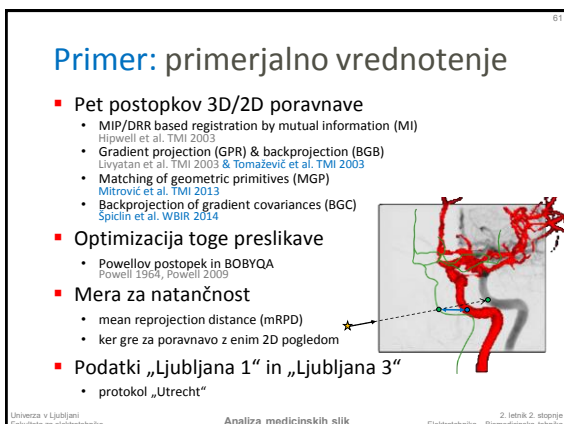
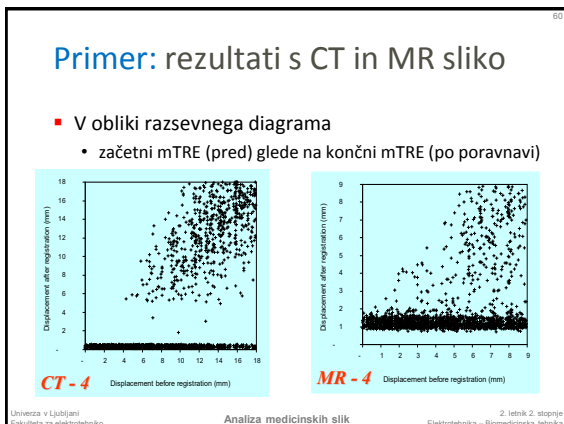
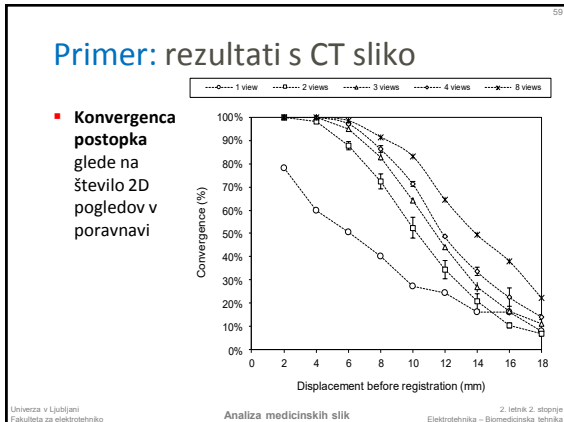
Univerza v Ljubljani
Fakulteta za elektrotehniko

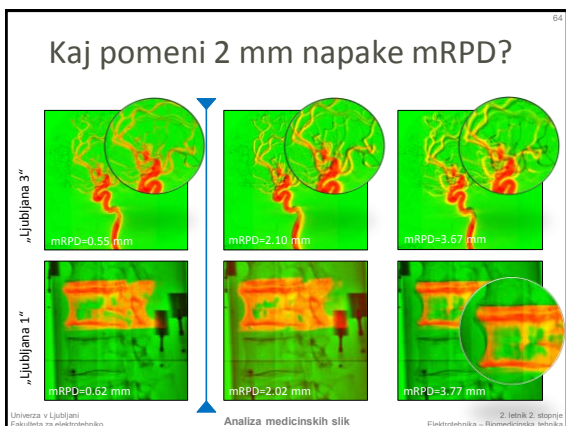
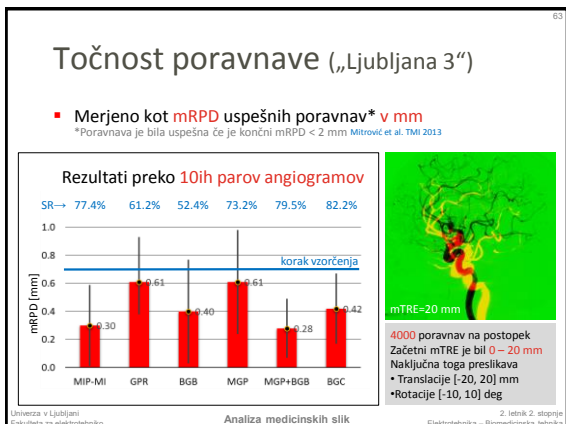
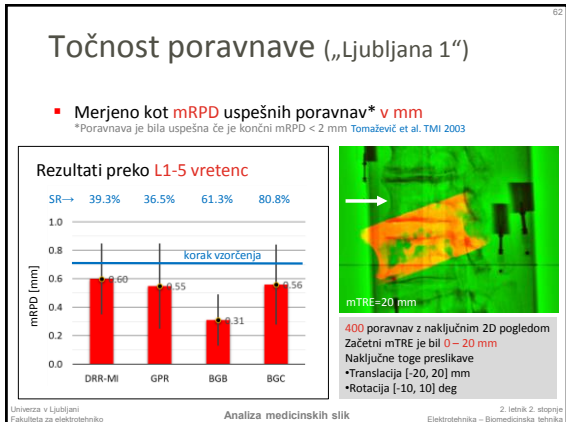
Analiza medicinskih slik

2. letnik 2. stopnje
Elektrotehnika – Biomedicinska tehnika

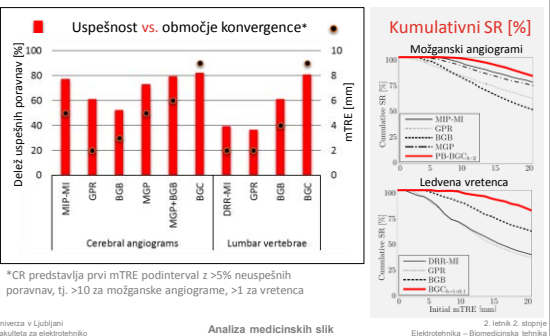




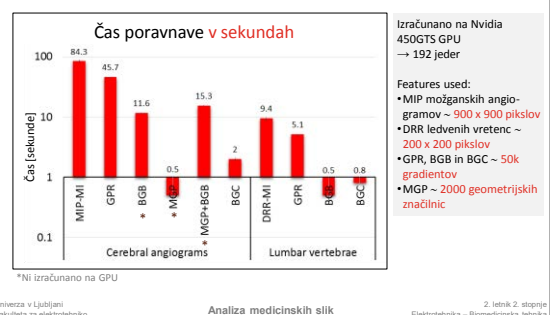




Zanesljivost poravnave



Časi poravnave



Primeri

VALIDACIJA NETOGE PORAVNAVE

68

Podatkovna baza NIREP

<http://www.nirep.org/>

- T1 MR slike dejanskih oseb
 - za izdelavo atlasov možganov in razgradnjo
 - 8 moških in 8 žensk starosti 25 do 48 let
 - ločljivost $0.7 \times 0.7 \times 1.5 \text{ mm}^3$, matrika $256 \times 256 \times 124$
 - vsi slikani na enem 1.5 GE Sigma skenerju
 - bronze standard z ročnim obrisovanjem 32 subkortikalnih struktur

Analiza medicinskih slik 2. letnik 2. stopnje
Univerza v Ljubljani
Fakulteta za elektrotehniko

69

Protokol in mere kakovosti poravnave

- **Točnost:** prekrivanje obrisov istih struktur (površina/volumen), razdalja do robov
- **Veljavnost:** transitivnost (kopičenje napak pri poravnavi večih slik) in inverzna konsistenco (vpliv vrstnega reda slik)

Prekrivanje
obrisov S T
S \ T S \ T T \ S
SUT Evaluation

Analiza medicinskih slik 2. letnik 2. stopnje
Univerza v Ljubljani
Fakulteta za elektrotehniko

70

Primer: primerjava postopkov

Klein et al., Evaluation of 14 nonlinear deformation algorithms applied to human brain MRI registration, NeuroImage, 2009

- 14 različnih postopkov netoge poravnave
 - različne preslikave in mere podobnosti
 - različne regularizacije
 - različne optimizacije
- Štiri baze podatkov

Analiza medicinskih slik 2. letnik 2. stopnje
Univerza v Ljubljani
Fakulteta za elektrotehniko

Podatkovna baza DIR-LAB
<http://www.dir-lab.com>

71

■ 4D CT slike dejanskih oseb

- za vrednotenje sistemov sledenja tumorjev pri obsevanju, netoga poravnava naj bi kompenzirala gibanje zaradi dihanja in bitja srca
- problemi zaradi neveznosti preslikave med pljuči in prsnim košem
- 10 bolnikov s tumorji, 10 s COPD (ang. chronic obstructive pulmonary disease)



Univerza v Ljubljani
Fakulteta za elektrotehniko

Analiza medicinskih slik

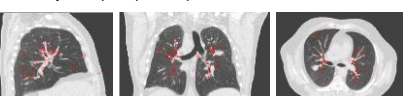
2. letnik 2. stopnje
Elektrotehnika - Biomedicinska tehnika

72

Protokol in mere kakovosti poravnave DIR-LAB

■ Bronze standard za vrednotenje netoge poravnave preko ročno označenih oslonilnih točk

- označijo eksperti (izkušeni radiologji) na značilnih lokacijah (npr. bifurkacije dihalnih poti)
- od 342 do 1561 točk v celotni sliki, točke označene v času
- lokacijska napaka pri treh ponovitvah med 0.70 in 1.13 mm



■ Mera kakovosti je točnost kot mTRE (za n=300 točk)

■ Rezultati se osvežujejo v živo ([link](#))

Univerza v Ljubljani
Fakulteta za elektrotehniko

Analiza medicinskih slik

2. letnik 2. stopnje
Elektrotehnika - Biomedicinska tehnika

73

Povzetek

■ Metodologijo vrednotenja čim bolj standardiziramo z

- zasnova slikovne podatkovne baze in določitvijo korespondenčne "temeljne resnice" in njene natančnosti
- zasnova validacijskega protokola in kriterijev oz. mer

■ Slikovna podatkovna baza je lahko sintetična, s fantomi, kadavri ali dejanskimi pacienti

- biološka variabilnost ↔ težavnost določanja "temeljne resnice"

■ Klinično pomembne kriterije oz. mere vrednotenja je potreben razviti in formalizirati v obliki hipoteze

- Točnost, natančnost, ponovljivost, zanesljivost, sposobnost odkrivanja napak, čas računanja, število pacientov

■ Razlikujejo se glede na klinični kontekst in postopek poravnave



Univerza v Ljubljani
Fakulteta za elektrotehniko

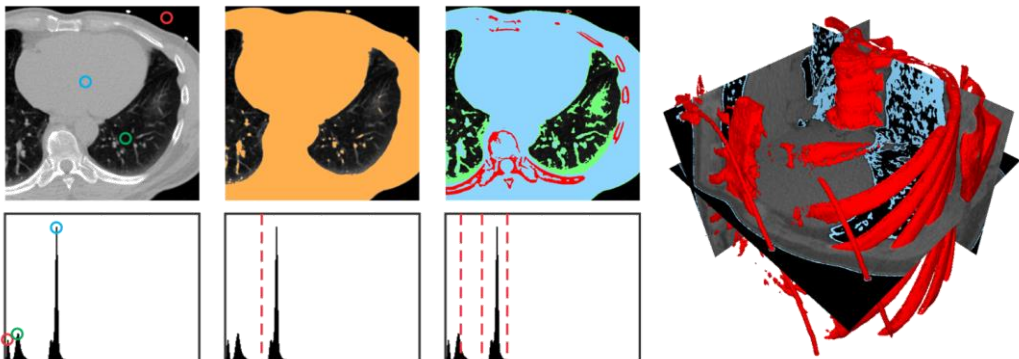
Analiza medicinskih slik

2. letnik 2. stopnje
Elektrotehnika - Biomedicinska tehnika



Uvod v razgradnjo

Analiza medicinskih slik

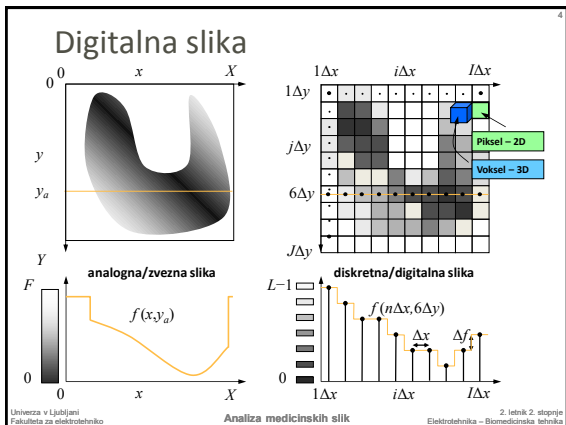
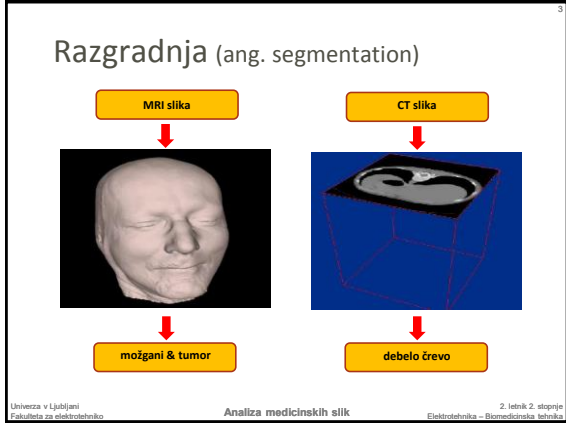


Študijska literatura



Guide to Medical Image Analysis
Klaus D. Toennes, Springer, 2012
6. Segmentation: Principles and Basic Techniques
str. 186-225

A review of Medical Image Segmentation: Methods and Available Software
D.J. Withey and Z.J. Koles, International Journal of Biomagnetism, Št., 10, iz. 3, str. 125-148, 2008



Poimenovanje / Pomen (SSKJ)

- **segmentation** (ang.) the process of dividing something into parts or segments
- **segmentacija** segmentacija -e ž (á) knjiž. razčlenitev, razčlenjenost: segmentacija teksta / živali z značilno segmentacijo telesa
- **razdelitev** glagolnik od razdeliti: iz celote narediti dele, npr. glede na prostor, površino
- **razgradnja** -e ž (á) glagolnik razgraditi: razgradnja organskih snovi / razgradnjaj beljakovin, maščob
- **razmejiti** razmejiti -im dov., razmējil (i i) določiti, označiti mejo med čim: razmejiti zemljišča / razmejiti države / razmejiti realizem in naturalizem / razmejiti dobro od slabega ločiti

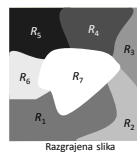
Razgradnja: neformalna definicija

- Segmentacija je **razdelitev** slike na **povezana, neprekrijoča** se **področja** (dele/objekte + ozadje), katerih unija predstavlja **celotno** sliko
- Segmentacija je razdelitev slike na manjše število področij (delov), kjer so slikovni elementi (pixsel, voksel), iz katerih je sestavljeno katerikoli področje, medsebojno **podobni** in se bistveno **razlikujejo** od slikovnih elementov drugih področij

Razgradnja: formalna definicija

- Naj bo R domena slike, ki jo razgradimo na n področij R_1, R_2, \dots, R_n , tako da zadostimo naslednjim petim pogojem:

1. Razgradnja mora biti popolna \rightarrow vsak slikovni element mora biti razvrščen v področje:
$$R_1 \cup R_2 \cup \dots \cup R_n = R$$
2. Področja morajo biti medsebojno nezdržljiva:
$$R_i \cap R_j = \emptyset \text{ za vsak } i \text{ in } j; i \neq j$$
3. Slikovni elementi v področju morajo biti povezani, npr. z robovi ali z vogali:
$$R_i \text{ je povezana množica slikovnih elementov; } i = 1, 2, \dots, n$$
4. Vse vrednosti v področju morajo biti enake ali pa dovolj podobne:
$$Q(R_i) = 1 \text{ za vsak } i = 1, 2, \dots, n$$
5. Sosednja področja morajo biti različna v smislu logične izjave Q :
$$Q(R_i \cup R_j) = 0 \text{ za vsaki dve sosednji področji } R_i \text{ in } R_j$$



8

Razgradnja in Povezanost

- Naj bo R domena slike, ki jo razgradimo na n področij R_1, R_2, \dots, R_n , tako da:
 - Razgradnja mora biti popolna → vsak slikovni element mora biti razširjen v področje:
$$R_i \cup R_j \cup \dots \cup R_n = R$$
- Področja morajo biti medsebojno nezdružljiva:
$$R_i \cap R_j = \emptyset \text{ za vsak } i \text{ in } j; i \neq j$$
- Slikovni elementi v področju morajo biti povezani, npr. z robovi ali z vogali:
$$R_i \text{ je povezana množica slikovnih elementov; } i = 1, 2, \dots, n$$
- Vse vrednosti v področju morajo biti enake ali pa dovolj podobne:
$$Q(R_i) = 1 \text{ za vsak } i = 1, 2, \dots, n$$
- Sosednja področja morajo biti različna v smislu logične izjave Q :
$$Q(R_i \cup R_j) = 0 \text{ za vsaki dve naslednji področji } R_i \text{ in } R_j$$

Univerza v Ljubljani
Fakulteta za elektrotehniko Analiza medicinskih slika 2. letnik 2. stopnje
Elektrotehnika – Biomedicinska tehnika

9

Razgradnja in Podobnost/različnost

- Naj bo R domena slike, ki jo razgradimo na n področij R_1, R_2, \dots, R_n , tako da zadostimo naslednjim petim pogojem:

 - Razgradnja mora biti popolna → vsak slikovni element mora biti razširjen v področje:
$$R_i \cup R_j \cup \dots \cup R_n = R$$
 - Področja morajo biti medsebojno nezdružljiva:
$$R_i \cap R_j = \emptyset \text{ za vsak } i \text{ in } j; i \neq j$$
 - Slikovni elementi v področju morajo biti povezani, npr. z robovi ali z vogali:
$$R_i \text{ je povezana množica slikovnih elementov; } i = 1, 2, \dots, n$$
 - Vse vrednosti v področju morajo biti enake ali pa dovolj podobne:
$$Q(R_i) = 1 \text{ za vsak } i = 1, 2, \dots, n$$
 - Sosednja področja morajo biti različna v smislu logične izjave Q :
$$Q(R_i \cup R_j) = 0 \text{ za vsaki dve naslednji področji } R_i \text{ in } R_j$$

Univerza v Ljubljani
Fakulteta za elektrotehniko Analiza medicinskih slika 2. letnik 2. stopnje
Elektrotehnika – Biomedicinska tehnika

10

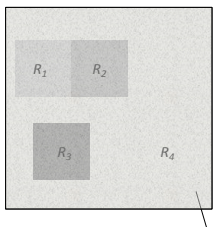
Podobnost/Različnost

- Značilnica
 - intenziteta
 - barva
 - oddaljenost
 - tekstura
 - idr.

Univerza v Ljubljani
Fakulteta za elektrotehniko Analiza medicinskih slika 2. letnik 2. stopnje
Elektrotehnika – Biomedicinska tehnika

Podobnost/Različnost: primer 1

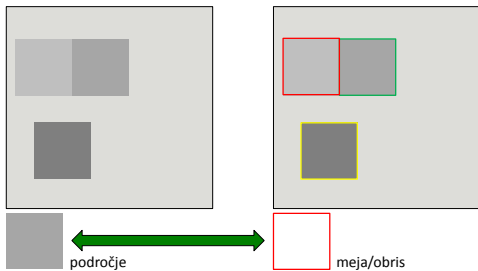
- Značilnica
 - intenziteta →
 - barva
 - oddaljenost
 - tekstura
 - idr.



$$Slika = R = R_1 \cup R_2 \cup R_3 \cup R_4$$

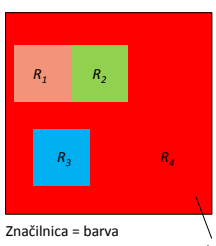
R_4 = ozadje

Rezultat razgradnje: področje / meja



Podobnost/Različnost: primer 2

- Značilnica
 - intenziteta
 - **barva** →
 - oddaljenost
 - tekstura
 - idr.

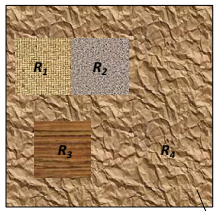


$$Slika = R = R_1 \cup R_2 \cup R_3 \cup R_4$$

R_4 = ozadje

Podobnost/Različnost: primer 3

- Značilnica
 - intenziteta
 - barva
 - oddaljenost
 - **tekstura** →
 - idr.



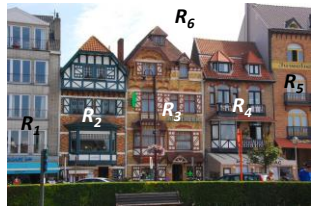
Podobnost/Različnost: primer 4

- Značilnica?



Podobnost/Različnost: primer 5

- Značilnica?



17

Podobnost/Različnost: primer 6

- Značilnica?

Objekt = možgani Značilnica = ???
Ozadje = vse ostalo

Objekt = okolje Značilnica = ???
Ozadje = vse ostalo

Potrebno je (pred)znanje !!
Analiza medicinskih slišk

Univerza v Ljubljani
Fakulteta za elektrotehniko

2. letnik 2. stopnje
Elektrotehnika – Biomedicinska tehnika

18

(Pred)znanje

- **Znanje o podatkih – sliki** (ang. data knowledge)
v obliku predpostavk o zveznosti, homogenosti, lokalni gladkosti značilnic znotraj področja R_i
- **Znanje o slikanih objektih** (ang. domain knowledge)
v obliku predpostavk o obliki, lokaciji, orientaciji, relacijah do drugih objektov

Kako predstaviti –
zapisati predznanje o
slikanih strukturah?
→ modeli

Univerza v Ljubljani
Fakulteta za elektrotehniko

Analiza medicinskih slišk

2. letnik 2. stopnje
Elektrotehnika – Biomedicinska tehnika

19

Namen razgradnje

- **Poenostaviti in/ali spremeniti sliko** v predstavitev oz. zapis, ki je bolj smiseln ali lažji za analizo:
 - pikslji → področja/obrisi
 - vokslji → volumni/površine
- **Razgraditi sliko na področja**, ki so izolirana ali pa smiselno povezana glede na neko ciljno aplikacijo
 - ločiti objekte oz. organe od ozadja
- **Omogočiti kvantitativno analizo** objektov oz. organov
 - volumen, površina, obseg, število, oblika, gibanje,...

Univerza v Ljubljani
Fakulteta za elektrotehniko

Analiza medicinskih slišk

2. letnik 2. stopnje
Elektrotehnika – Biomedicinska tehnika

20

Namen: kvantitativna analiza

- Analiza delovanja srčne mišice
- Tveganje za rupturo anevrizme
- Napovedovanje poteka bolezni in odziva na zdravljenje



Nasir Navab, CAMPAR, TUM

RISC Software GmbH - Medical Informatics
<https://www.youtube.com/watch?v=uPAnMhsn0>

Analiza medicinskih slik

Univerza v Ljubljani
Fakulteta za elektrotehniko

2. letnik 2. stopnje
Elektrotehnika – Biomedicinska tehnika

21

Izzivi in problemi pri razgradnji medicinskih slik

- naravna biološka variabilnost normalnih anatomskev struktur
- patologija/travma → spremenjene anatomske strukture
- položaj pacienta med slikanjem (predvsem 2D)
- različne slikevne naprave (proizvajalec, generacija,...)
- različni nastavitevni parametri slikanja
- geometrijske in svetlostne popačitve slik
- šum v slikah
- učinek delnih volumnov (ang. partial volume effect)

Univerza v Ljubljani
Fakulteta za elektrotehniko

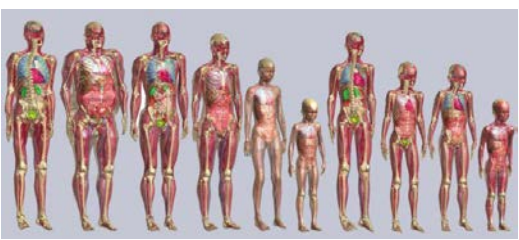
Analiza medicinskih slik

2. letnik 2. stopnje
Elektrotehnika – Biomedicinska tehnika

22

Naravna biološka variabilnost

- "All men are created equal," (T. Jefferson)



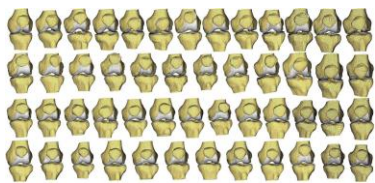
Univerza v Ljubljani
Fakulteta za elektrotehniko

Analiza medicinskih slik

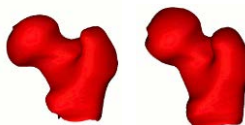
2. letnik 2. stopnje
Elektrotehnika – Biomedicinska tehnika

23

Naravna biološka variabilnost



Model kolenskega sklepa skupine ljudi



Nikolaos Tsagiris
UNIVERSITY OF CAMBRIDGE

Univerza v Ljubljani
Fakulteta za elektrotehniko

Analiza medicinskih slik

2. letnik 2. stopnje
Elektrotehnika – Biomedicinska tehnika

24

Patologija/travma

- spremenjene anatomske strukture



Univerza v Ljubljani
Fakulteta za elektrotehniko

Analiza medicinskih slik

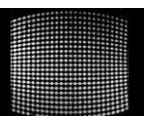
2. letnik 2. stopnje
Elektrotehnika – Biomedicinska tehnika

25

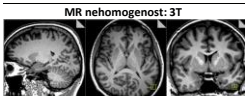
Popačitve slik

- geometrijske
- svetlostne

CT: premik CT: kovinski predmet



phantom slika fantoma



MR nehomogenost: 3T



MR nehomogenost: 7T

Univerza v Ljubljani
Fakulteta za elektrotehniko

Analiza medicinskih slik

2. letnik 2. stopnje
Elektrotehnika – Biomedicinska tehnika

Šum v slikah

- Nezaželena variabilnost intenzitete



Učinek delnih volumnov

Univerza v Ljubljani

Fakulteta za elektrotehniko

2. letnik 2. stopnje

Elektrotehnika – Biomedicinska tehnika

Razvrstitev postopkov
(glede na strategijo razgradnje)

- **Razdelitev na objekt in ozadje**
(ang. foreground segmentation)
→ fokus na en objekt, kakost razgradnje ozadja ni pomembna
- **Hierarhična (večstopenjska) razgradnja**
→ postopno kombiniranje piklov/voklov v gruče
- **Večnivojska razgradnja**
(ang. scale space)
→ vzporedna razgradnja in nivojih in identifikacija skale objektov zanimanja

Univerza v Ljubljani

Fakulteta za elektrotehniko

Analiza medicinskih slič

2. letnik 2. stopnje

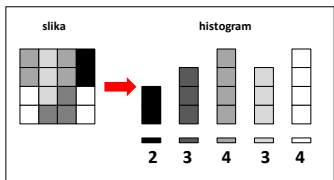
Elektrotehnika – Biomedicinska tehnika





Predznanje: histogram

- Podaja statistiko pojavljanja intenzitet (sivin, barv ali drugih značilnic) slikovnih elementov v sliki



Predznanje: histogram

- Histogram h diskretnih vrednosti meritev na območju $[0, K-1]$ je diskretna funkcija:

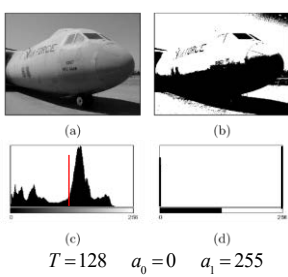
$$h(r_k) = n_k$$
- kjer r_k je diskretna vrednost; $k = 0, 1, \dots, K-1$; n_k pa število vzorcev z diskretno vrednostjo r_k .
- Histogram 8-bitne ($K=256$) sivinske slike I pa je:

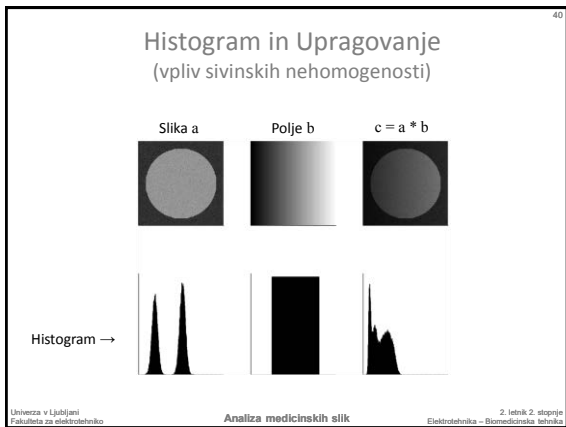
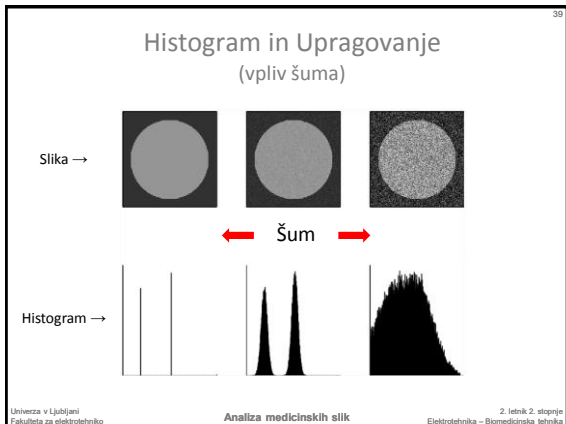
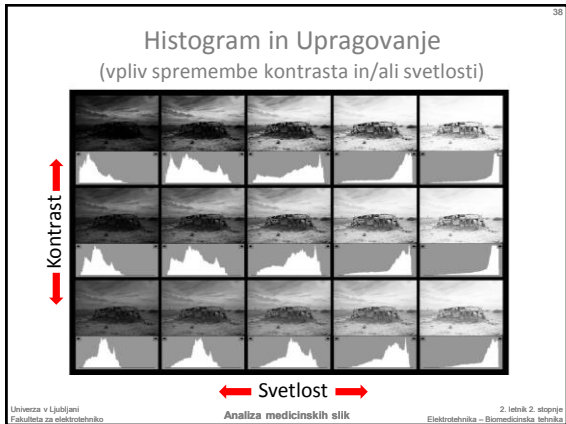
$$h(k) = n_k = \text{št. pixlov v sliki } I \text{ z vrednostjo } k$$

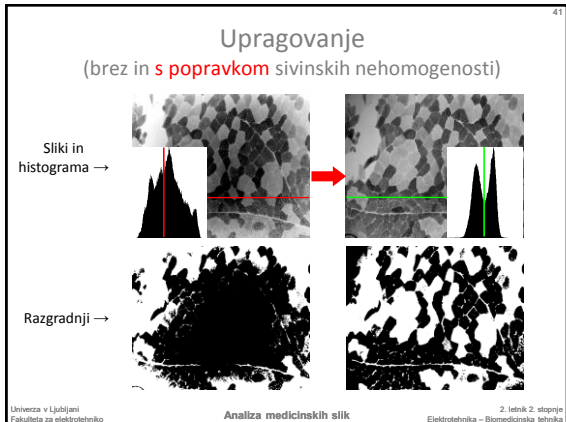
Se histogram teh slik razlikuje?

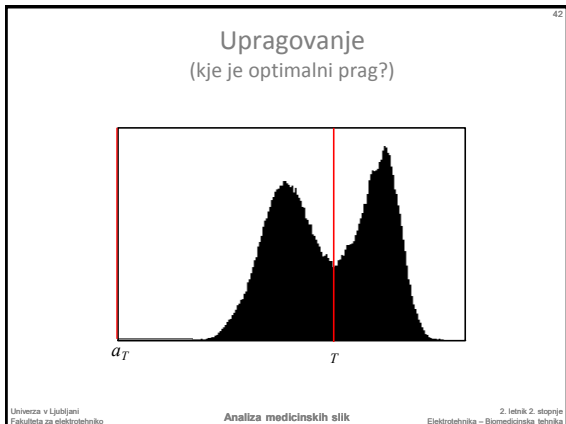


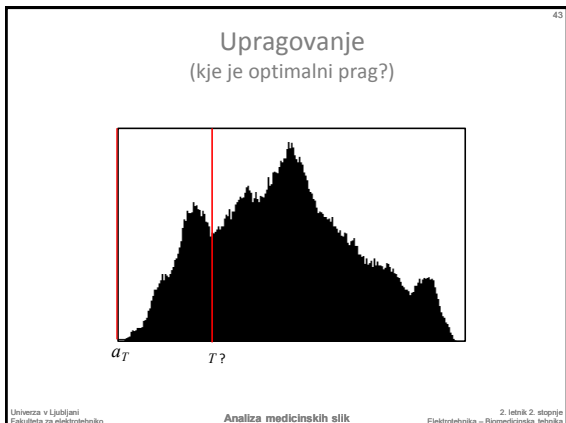
Upragovanje











Razvrstitev postopkov upragovanja

- **postopki, ki temeljijo na obliku (zglajenega) histograma**
→ vrhovi, doline, ukrižjenosti
- **rojenje intenzitet** (ang. clustering) ali modeliranje histograma z mešanicami dveh ali več Gaussovih porazdelitev
- **entropija objekta in ozadja ali križna entropija** med originalno in binarno sliko
- **postopki, ki temeljijo na atributih objekta** in merjo podobnosti med originalno in binarizirano sliko
- **postopki, ki uporabljajo prostorske verjetnostne porazdelitve višjih redov** – entropija višjega reda, so-pojavnost intenzitet
- **postopki, ki uporabljajo lokalno statistiko** – vsak slikovni element vrstijo glede na značilnosti v okolini pikla / voksla

Otsu upragovanje

- Iščemo prag T_{opt} , ki minimizira varianco znotraj (w-within) razreda:

$$T_{opt} = \arg \min_{0 \leq T \leq K-1} \sigma_w^2(T) \quad \sigma_w^2(T) = \omega_1 \sigma_1^2(T) + \omega_2 \sigma_2^2(T)$$

- Uteži ω_1 in ω_2 sta verjetnosti razredov C_1 in C_2 :

$$\omega_1 = \sum_{k=0}^{T-1} p_k = \frac{\sum_{k=0}^{T-1} n_k}{M.N} \quad \omega_2 = \sum_{k=T}^{K-1} p_k = \frac{\sum_{k=T}^{K-1} n_k}{M.N} \quad p_k = \frac{n_k}{M.N}$$

Otsu upragovanje

- Iščemo prag T_{opt} , ki minimizira varianco znotraj (w-within) razreda:

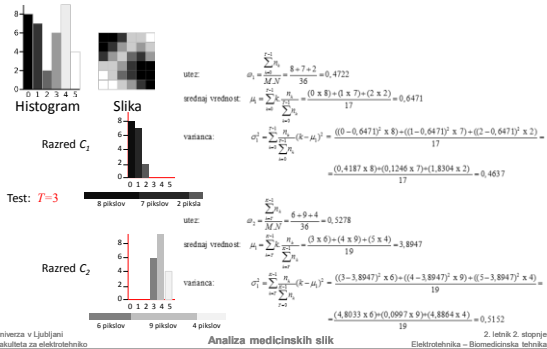
$$T_{opt} = \arg \min_{0 \leq T \leq K-1} \sigma_w^2(T) \quad \sigma_w^2(T) = \omega_1 \sigma_1^2(T) + \omega_2 \sigma_2^2(T)$$

- Varianci σ_1^2 in σ_2^2 :

$$\sigma_1^2(T) = \sum_{k=0}^{T-1} p_k (k - \mu_1(T))^2 = \sum_{k=0}^{T-1} \frac{n_k}{\sum_{k=0}^{T-1} n_k} (k - \mu_1(T))^2 \quad \mu_1(T) = \sum_{k=0}^{T-1} p_k \cdot k = \sum_{k=0}^{T-1} \frac{n_k}{\sum_{k=0}^{T-1} n_k} \cdot k$$

$$\sigma_2^2(T) = \sum_{k=T}^{K-1} p_k (k - \mu_2(T))^2 = \sum_{k=T}^{K-1} \frac{n_k}{\sum_{k=T}^{K-1} n_k} (k - \mu_2(T))^2 \quad \mu_2(T) = \sum_{k=T}^{K-1} p_k \cdot k = \sum_{k=T}^{K-1} \frac{n_k}{\sum_{k=T}^{K-1} n_k} \cdot k$$

Otsu upragovanje: primer (1/2)

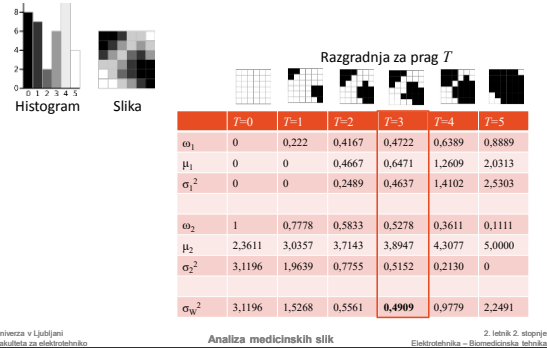


Univerza v Ljubljani
Fakulteta za elektrotehniko

Analiza medicinskih slik

2. letnik 2. stopnje
Elektrotehnika – Biomedicinska tehnika

Otsu upragovanje: primer (2/2)



Univerza v Ljubljani
Fakulteta za elektrotehniko

Analiza medicinskih slik

2. letnik 2. stopnje
Elektrotehnika – Biomedicinska tehnika

Otsu upragovanje: alternativna formulacija

- Hitrejši postopek temelji na maksimiranju variance med razredoma:

$$T_{opt} = \underset{0 \leq T \leq K-1}{\operatorname{argmax}} \sigma_B^2(T)$$

$$\sigma_B^2(T) = \omega_1(T)\sigma_1^2(T) + \omega_2(T)\sigma_2^2(T)$$

$$\sigma_B^2(T) = \sigma^2 - \sigma_B^2(T) = \omega_1(T)(\mu_1(T) - \mu)^2 + \omega_2(T)(\mu_2(T) - \mu)^2 \quad \mu = \omega_1(T)\mu_1(T) + \omega_2(T)\mu_2(T)$$

$$\sigma_B^2(T) = \omega_1(T)\omega_2(T)(\mu_1(T) - \mu_2(T))$$

$$T_{opt} = \underset{0 \leq T \leq K-1}{\operatorname{argmax}} \sigma_B^2(T) = \underset{0 \leq T \leq K-1}{\operatorname{argmax}} (\omega_1(T)\omega_2(T)(\mu_1(T) - \mu_2(T)))$$

	T=0	T=1	T=2	T=3	T=4	T=5
σ_B^2	0	1,5928	2,5635	2,6287	2,1417	0,8705

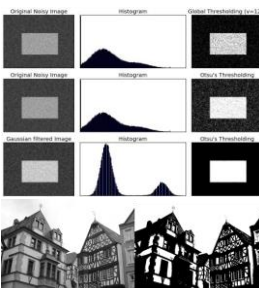
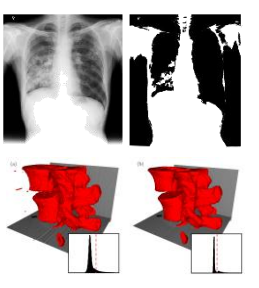
Univerza v Ljubljani
Fakulteta za elektrotehniko

Analiza medicinskih slik

2. letnik 2. stopnje
Elektrotehnika – Biomedicinska tehnika

50

Otsu upragovanje: več primerov

Sintetične in klasične slike 	Medicinske slike 
--	--

Univerza v Ljubljani
Fakulteta za elektrotehniko

Analiza medicinskih slik

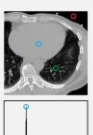
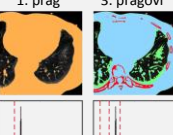
2. letnik 2. stopnje
Elektrotehnika – Biomedicinska tehnika

51

Otsu upragovanje: več pragov

- Kriterijsko funkcijo variance razredov lahko razširimo za določanje poljubnega števila pragov
→ trije pragovi

$$\sigma_b^2(\tau_1, \tau_2) = \omega_A(\tau_1)(\mu_A(\tau_1) - \mu)^2 + \omega_B(\tau_1, \tau_2)(\mu_B(\tau) - \mu)^2 + \omega_C(\tau_2)(\mu_C(\tau_2) - \mu)^2$$

		
Slika → Hist. →	1. prag 	3. pragovi 

Univerza v Ljubljani
Fakulteta za elektrotehniko

Analiza medicinskih slik

2. letnik 2. stopnje
Elektrotehnika – Biomedicinska tehnika

52

Povzetek

Σ

- Razgradnja je razmejitve slike na področja
 - Neprekrijoča, povezana, medsebojno različna glede na neko značilnico (intenziteta, barva, tekstura, oddaljenost)
- Rezultat razgradnje je lahko področje ali meja področja
- Postopke razgradnje kronološko razvrščamo med „ad-hoc“ (upragovanje), z optimizacijo in z vgrajenim (pred)znanjem
- (Pred)znanje je za kakovostno razgradnjo medicinskih slik nujno
 - velika biološka variabilnost, patologija/tramva, artefakti slik. tehnik
- Avtomatsko upragovanje se pogosto temelji na postopku Otsu
 - analiziramo le histogram svivske slike tako, da nabor hipotetičnih pragov minimiziramo (maksimiziramo) varianco znotraj (med) področij (ji), ki jih ti pragovi določajo

Univerza v Ljubljani
Fakulteta za elektrotehniko

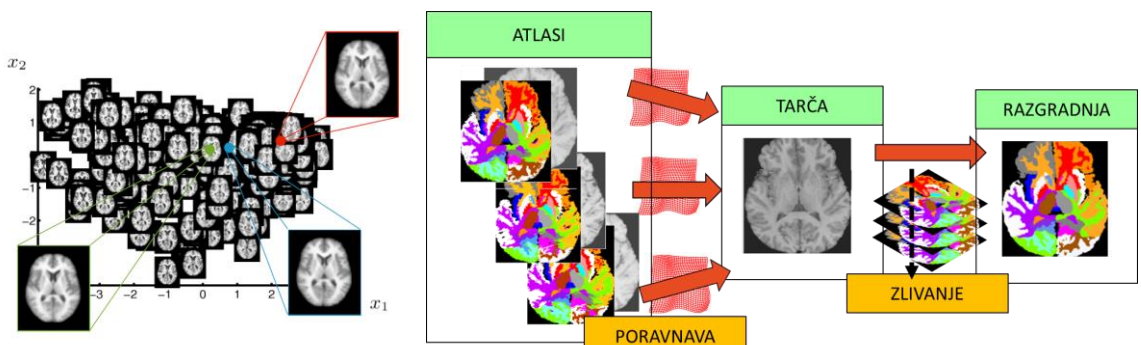
Analiza medicinskih slik

2. letnik 2. stopnje
Elektrotehnika – Biomedicinska tehnika



Razgradnja slik s poravnavo atlasov

Analiza medicinskih slik



Študijska literatura

A review of atlas-based segmentation for magnetic resonance brain images
M. Cabezas in sodelavci,
Computer Methods and Programs in Biomedicine
vol. 104, str. e158-e177, 2011

Quo Vadis, Atlas-Based Segmentation?
T. Rohlfing, Springer, 2005
Handbook of Biomedical Image Analysis Volume III: Registration Models
str. 435-486

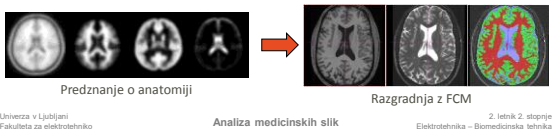
Univerza v Ljubljani
Fakulteta za elektrotehniko
Analiza medicinskih slik
2. letnik 2. stopnje
Elektrotehnika – Biomedicinska tehnika



- Vsebina**
- Pomen a priori informacije pri razgradnji
 - Topološki in statistični atlasi
 - Načini razgradnje z atlasi
 - S poravnavo topoloških atlasov, s poravnavo in zlivanjem topoloških atlasov, statistična razgradnja
 - State-of-the-art: zlivanje atlasov in postopki
 - Glasovanje z večino, uteženo, povprečje oblike, STAPLE
 - Rešitve poravnave skupine slik
 - Za izgradnjo statističnih atlasov (mono-modalni primer)
 - in nepristransko poravnava topoloških atlasov (multi-modalni primer)
- Univerza v Ljubljani
Fakulteta za elektrotehniko
Analiza medicinskih slik
2. letnik 2. stopnje
Elektrotehnika – Biomedicinska tehnika
-
-
-
-
-
-
-
-

Razgradnja slik

- Avtomatska razgradnja slik je zahtevna
 - zaradi popačitev in artefaktov v slikah in če
 - imajo strukture zanimanja enako sivino, teksturo, ipd.
- Pomagamo si z *a priori* anatomsko informacijo
 - v obliki vnaprej določenih zakonitosti o lastnostih struktur
 - z zbirko podobnih že razgrajenih slik

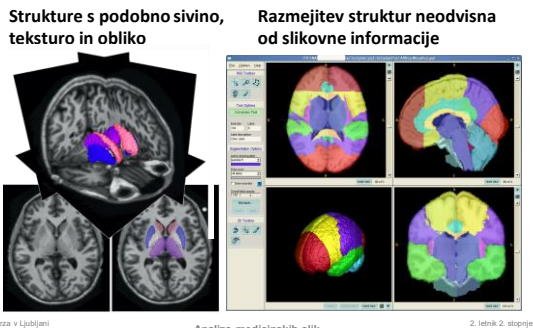


Univerza v Ljubljani
Fakulteta za elektrotehniko

Analiza medicinskih slik

2. letnik 2. stopnje
Elektrotehnika – Biomedicinska tehnika

Primeri zahtevne razgradnje slik



Univerza v Ljubljani
Fakulteta za elektrotehniko

Analiza medicinskih slik

2. letnik 2. stopnje
Elektrotehnika – Biomedicinska tehnika

Kaj naj kodira *a priori* informacija?

Predznanje o strukturah

- Statistika sivinskih vrednosti
- Statistika oblike
- Lokacija struktur



Sodvisnost struktur

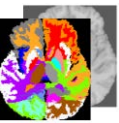
- Zvezna/povezana oblika
- Relativni položaj
- Pojavnost sivin
- Sosednje strukture
- Simetrija

Univerza v Ljubljani
Fakulteta za elektrotehniko

Analiza medicinskih slik

2. letnik 2. stopnje
Elektrotehnika – Biomedicinska tehnika

Oblike a priori slikovne informacije

TOPOLOŠKI ATLAS	STATISTIČNI ATLAS
<ul style="list-style-type: none">Slika in pripadajoča razgradnja enega subjektaRazgradnja je lahko ročna ali avtomatskaDeterminističen 	<ul style="list-style-type: none">Pravimo jim lahko tudi populacijski ali verjetnostniZaobjemajo anatomsko variabilnost s kodiranjem informacije iz slik večih različnih subjektov (tudi po skupinah glede na starost, spol, etnično pripadnost, bolezni)Gradimo jih lahko na osnovi topoloških atlosov 

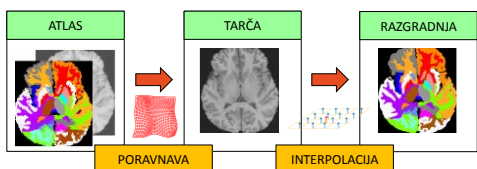
Univerza v Ljubljani
Fakulteta za elektrotehniko

Analiza medicinskih slik

2. letnik 2. stopnje
Elektrotehnika – Biomedicinska tehnika

Razgradnja s preslikovanjem značk

- A priori informacija je podana v obliki topološkega atlasa (*slika in razgradnja*)
- Razgradnjo prevedemo v poravnavo slik**



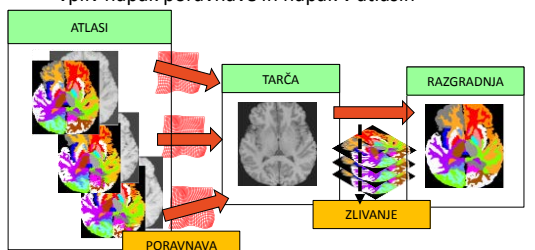
Univerza v Ljubljani
Fakulteta za elektrotehniko

Analiza medicinskih slik

2. letnik 2. stopnje
Elektrotehnika – Biomedicinska tehnika

Razgradnja z zlivanjem značk

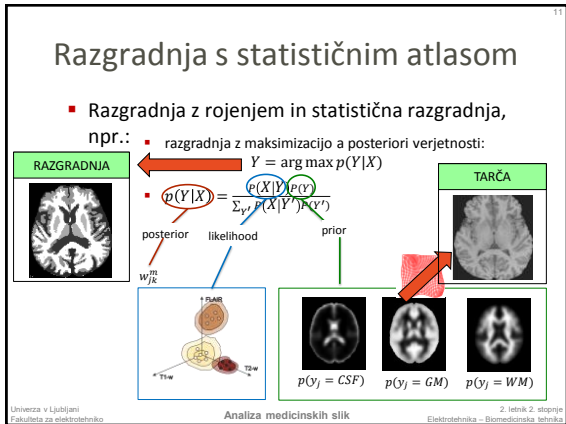
- Uporabimo več topoloških atlosov, da zmanjšamo vpliv napak poravnave in napak v atlosih



Univerza v Ljubljani
Fakulteta za elektrotehniko

Analiza medicinskih slik

2. letnik 2. stopnje
Elektrotehnika – Biomedicinska tehnika



12

Strategije in lastnosti razgradnje z atlasi

	PRESLIKOVANJE ZNAČK	ZLIVANJE ZNAČK	STATISTIČNA RAZGRADNJA
OPIS	Topološki atlas poravnamo v prostor nove slike in preslikamo značke.	Množico topoloških atlosov poravnamo v prostor nove slike in preslikamo ter zlijemo/združimo značke.	Statistični atlas uporabimo v postopkih statističnega modeliranja in razgradnje nove slike.
PREDNSTI	<ul style="list-style-type: none"> • Intuitivno • Enostavna implementacija • Ena poravnavo 	<ul style="list-style-type: none"> • Zaobjame anatomsko variabilnost • Minimizira količino osamelecev 	<ul style="list-style-type: none"> • Zaobjame anatomsko variabilnost • Ena poravnavo, več značilnic v razgradnji
SLABOSTI	<ul style="list-style-type: none"> • Ne zaobjame anatomsko variabilnosti • Precej zavisi od kvalitete atlosa in poravnave 	<ul style="list-style-type: none"> • Izberi in kombiniranje atlosov • Število poravnav zavisi od števila atlosov 	<ul style="list-style-type: none"> • Uteževanje prispevka/vpliva statističnega atlaša • Kompleksno modeliranje
UPORABA	<ul style="list-style-type: none"> • Definicija območja zanimanja ali • Inicializacija razgradnje 	<ul style="list-style-type: none"> • Razgradnja struktur z dobro definirano obliko 	<ul style="list-style-type: none"> • Razgradnja novih struktur in struktur z visoko anatomsko variabilnostjo

Universita v Ljubljani
Fakulteta za elektrotehniko

Analiza medicinskih slik

2. letnik 2. stopnje
Elektrotehnika - Biomedicinska tehnika

13

Multi-atlas segmentation of biomedical images: A survey

GRADNJA Z ZLIVANJEM ZNAČK

- Trditev iz preglednega članka [2015]:

„Multi-atlas segmentation, first introduced in 2004, is becoming one of the most widely used and successful image segmentation methods in biomedical applications. By manipulating and utilizing the entire datasets of atlases it has the **flexibility to better capture anatomical variations**.“

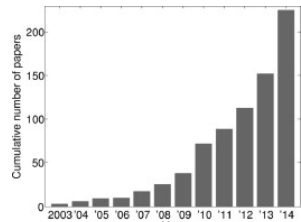
Universita v Ljubljani
Fakulteta za elektrotehniko

Analiza medicinskih slik

2. letnik 2. stopnje
Elektrotehnika - Biomedicinska tehnika

Raziskave in razvoj razgradnje z zlivanjem značk

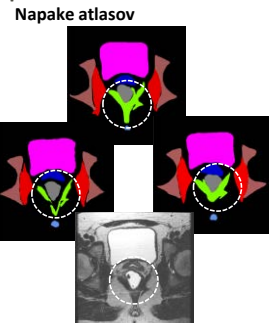
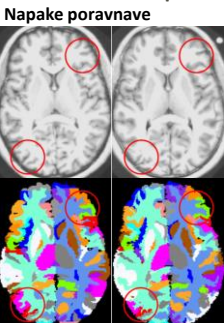
- Kumulativno število člankov, ki predstavljajo nov MAS postopek ali novo aplikacijo



Zlivanje značk iz večih atlasov

- Zakaj potrebujemo več atlasov?
 - Poravnati atlas ne ustreza anatomiji tarče
 - Napake poravnave zaradi topoloških razlik med anatomijo atlasa in tarče in zaradi suboptimalne izbire parametrov poravnave
 - Napake atlasa zaradi sistematskih in naključnih napak pri ročni ali avtomatski razgradnji
- Za optimalne rezultate zlivanja potrebujemo
 - Zbirko primernih (tarči podobnih) atlasov
 - Znanje o natančnosti in zanesljivosti atlasov (v splošnem teh lastnosti ne poznamo, lahko pa jih ocenimo med zlivanjem)

Primeri in vpliv napak



17

Postopki za zlivanje atlasov

- Glasovanje z večino
- Uteženo glasovanje
 - Uteževanje atlasov (globalno) ali slikovnih elementov (lokально)
- Povprečenje oblike
- Statistično zlivanje
 - Algoritem STAPLE




Univerza v Ljubljani
Fakulteta za elektrotehniko

Analiza medicinskih slik

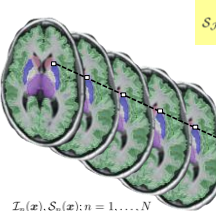
2. letnik 2. stopnje
Elektrotehnika - Biomedicinska tehnika

18

Glasovanje z večino

MAJORITY VOTING

- Pri glasovanju maksimiziramo kriterijsko funkcijo
 - med značkami poravnanih slik:

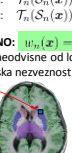


$I_n(\mathbf{x}), \mathcal{S}_n(\mathbf{x}); n = 1, \dots, N$

$$\mathcal{S}_{\mathcal{T}}(\mathbf{x}) = \operatorname{argmax}_l \sum_{n=1}^N w_n(\mathbf{x}) \cdot f(T_n(\mathcal{S}_n(\mathbf{x})), l), l \in L$$

$$f(T_n(\mathcal{S}_n(\mathbf{x})), l) \begin{cases} 1 : & T_n(\mathcal{S}_n(\mathbf{x})) = l \\ 0 : & T_n(\mathcal{S}_n(\mathbf{x})) \neq l \end{cases}$$

GLASOVANJE Z VĒČINO: $w_n(\mathbf{x}) = 1/N$
 → uteži so enake in neodvisne od lokacije
 → slabost je prostorska nezveznost razgradnje

Univerza v Ljubljani
Fakulteta za elektrotehniko

Analiza medicinskih slik

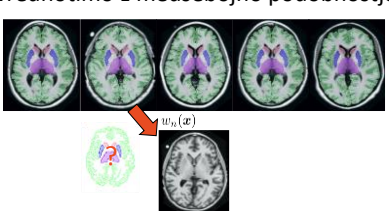
2. letnik 2. stopnje
Elektrotehnika - Biomedicinska tehnika

19

Uteženo glasovanje

WEIGHTED VOTING

- Primernost atlasa za razgradnjo tarče
ovrednotimo z medsebojno podobnostjo



$w_n(\mathbf{x})$



Univerza v Ljubljani
Fakulteta za elektrotehniko

Analiza medicinskih slik

2. letnik 2. stopnje
Elektrotehnika - Biomedicinska tehnika

Izbira podobnih atlasov za razgradnjo tarče

- Kriteriji podobnosti med atlasom in tarčo
 - Demografski:** spol, starost, etnična skupina
 - Slikovni:** lokalna/globalna podobnost med slikami
 - Klinični:** diagnoza, terapija

Univerza v Ljubljani
Fakulteta za elektrotehniko

Analiza medicinskih slik

2. letnik 2. stopnje
Elektrotehnika – Biomedicinska tehnika

Uteženo glasovanje z uporabo slikovne informacije

Globalna podobnost $\mathcal{I}_n(x), \mathcal{S}_n(x); n = 1, \dots, N$

Lokalna podobnost $\mathcal{I}_n(x), \mathcal{S}_n(x); n = 1, \dots, N$

UPORABIMO GLOBALNO ALI LOKALNO MERO PODOBNOSTI ZA $w_n(x)$

$w_n(x) = \text{KONSTANTA ZA VSAK ATLAS } n$

$w_n(x) = \text{FUNKCIJA OD } x$

Univerza v Ljubljani
Fakulteta za elektrotehniko

Analiza medicinskih slik

2. letnik 2. stopnje
Elektrotehnika – Biomedicinska tehnika

Povprečenje oblike
SHAPE-BASED AVERAGING

- Eksplicitno zagotavlja zveznost razgradnje
 - Za vsak topološki atlas izračunamo polje Evklidskih razdalj
 - Določimo povprečno razdaljo do vsake značke glede na vse atlase

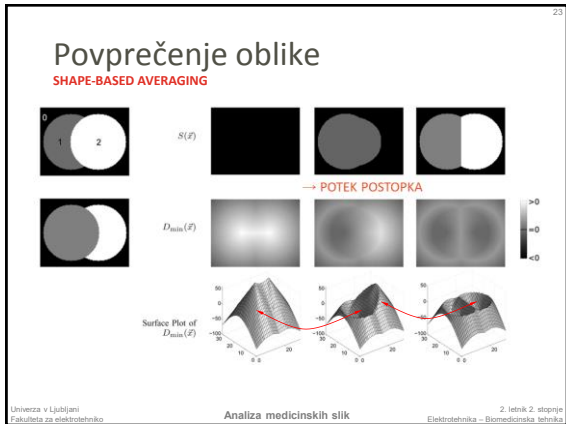
$$D_l(\mathbf{x}) = \frac{1}{N} \sum_{n=1}^N d_{n,l}(\mathbf{x}),$$
 - Končno razgradnjo dobimo z minimizacijo razdalje preko vseh značk

$$S(\mathbf{x}) = \operatorname{argmin}_{\mathbf{x}} D_l(\mathbf{x}), l \in L$$

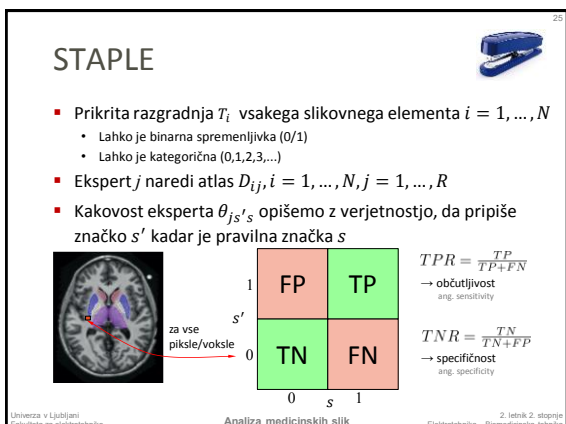
Univerza v Ljubljani
Fakulteta za elektrotehniko

Analiza medicinskih slik

2. letnik 2. stopnje
Elektrotehnika – Biomedicinska tehnika



- 24
- ## Statistično zlivanje
- STAPLE (ang. Simultaneous Truth and Performance Level Estimation)
 - Ocenji *prikrito* kakovost atlasov in *prikrito* razgradnjo nove slike s pomočjo večih **medsebojno neodvisnih** atlasov
 - Kakovost se lahko oceni lokalno/globalno z uporabo sivinske informacije in/ali atlasov
 - Omogoča primerjavo med in z različnimi eksperimentnimi obrisovalci
 - Številne razlike
 - STAPLE MAP, Probabilistic STAPLE, LOP STAPLE, Empirical Bayesian based STAPLE, LOCAL MAP STAPLE
 - STAPLE in razlike so Bayesianski algoritmi
 - Za oceno prikritih parametrov kakovosti in prikrite razgradnje
- Universita v Ljubljani
Fakulteta za elektrotehniko
- Analiza medicinskih slik
2. letnik 2. stopnje
Elektrotehnika - Biomedicinska tehnika



STAPLE

ZA BINARNE ZNAČKE



- Kakovost eksperimentnih obrisovalcev je lahko večparametrična lastnost
 - naprimer občutljivost p_j in specifičnost q_j
 - ki ju določimo glede na prikrito razgradnjo T_i
- STAPLE je iterativen postopek, kjer v iteraciji $t = 0$ izberemo vrednosti p_j^0 in q_j^0
- Uporabimo dvokoračen Expectation-Maximization (EM) algoritmom za oceno prikritih parametrov p_j , q_j in T_i
 - **E:** ocenimo verjetnost $T_i=1$ pri fiksnih p_j , q_j
 - **M:** posodobimo oceno p_j , q_j pri fiksnih verjetnostih za $T_i=1$

STAPLE

ZA BINARNE ZNAČKE



- V koraku E (=Expectation) izračunamo pričakovano verjetnost W_i^t , da ima piksel/voksel i vrednost $T_i=1$
 - izračunamo verjetnost, da obrisovalci označijo 1 (zavisi od p_j^t)

$$A_i^t = P(T_i = 1) \cdot \prod_{j \in \{j | D_{ij} = 1\}} p_j^t$$

a priori verjetnost

$$\prod_{j \in \{j | D_{ij} = 0\}} (1 - p_j^t)$$

verjetnost, da označijo pravilno
 - izračunamo verjetnost, da obrisovalci označijo 0 (zavisi od q_j^t)

$$B_i^t = (1 - P(T_i = 1)) \cdot \prod_{j \in \{j | D_{ij} = 0\}} q_j^t \cdot \prod_{j \in \{j | D_{ij} = 1\}} (1 - q_j^t)$$
- sledi, da je

$$W_i^t = \frac{A_i^t}{A_i^t + B_i^t}$$

STAPLE

ZA BINARNE ZNAČKE



- V koraku M (=Maximization) glede na W_i^t posodobimo
 - občutljivost p_j^t

$$p_j^{t+1} = \frac{\sum_{\{i | D_{ij} = 1\}} W_i^t}{\sum_{i=1}^N W_i^t}$$
 - in specifičnost obrisovalcev q_j^t

$$q_j^{t+1} = \frac{\sum_{\{i | D_{ij} = 0\}} (1 - W_i^t)}{\sum_{i=1}^N (1 - W_i^t)}$$

STAPLE

SPLOŠNA OBLIKA ZA KATEGORIČNE ZNAČKE

K: $\arg \max_{\theta} \log f(\mathbf{D}, \mathbf{T} | \theta)$

E: $W_{si}^t = \frac{\rho_{si} \prod_j \theta_j^t D_{ij} s}{\sum_{s'} \rho_{s'} \prod_j \theta_j^t D_{ij} s'}$

M: $\theta_{js's}^{t+1} = \frac{\sum_{j: j=s'} W_{si}^t}{\sum_i W_{si}^t}$

Verjetnost prikrite razgradnje: $W_{si} = f(T_i = s | \mathbf{D}_i)$
 A priori verjetnost prikrite razgradnje: $\rho_{si} = f(T_i = s)$
 Parametri kakovosti eksperimentnih obrisovalcev: $\theta_{js's} = f(D_{ij} = s' | T_i = s)$

Univerza v Ljubljani
Fakulteta za elektrotehniko

Analiza medicinskih slik

2. letnik 2. stopnje
Elektrotehnika - Biomedicinska tehnika

STAPLE in sivinska informacija

V primeru anatomskih razlik med atlasom in tarčo gre lahko za

- neskladje med značkami ali razliko v sivinskih vrednostih

Zato je smiselno vključiti sivinske vrednosti atlasa in tarče v proces zlivanja

Različice algoritma omogočajo različne načine:

- Probabilistic STAPLE:** razgradnje se lahko spremeni na podlagi sivinskih vrednosti
- LOP-STAPLE:** podobnost sivinskih vrednosti je faktor zanesljivosti v procesu zlivanja
- MAP STAPLE:** sivinska vrednost se uporabi kot a priori informacija

Univerza v Ljubljani
Fakulteta za elektrotehniko

Analiza medicinskih slik

2. letnik 2. stopnje
Elektrotehnika - Biomedicinska tehnika

Poravnava atlasa na novo sliko

UPORABA PORAVNAVE SLIK

Postopek poravnave zavisi od pričakovanih prostorskih neskladij med atlasom in sliko

- v splošnem poravnava med različnimi subjekti

PREDLOGA/ATLAS

LINEARNA PORAVNAVNA

NELINEARNA PORAVNAVNA

TARČA

Univerza v Ljubljani
Fakulteta za elektrotehniko

Analiza medicinskih slik

2. letnik 2. stopnje
Elektrotehnika - Biomedicinska tehnika

Zmanjševanje vpliva napak poravnave

- Uporaba večih topoloških atlasov
- Uporaba različnih postopkov poravnave
 - Zlivanje znakov vseh različno poravnanih topoloških atlasov

Univerza v Ljubljani
Fakulteta za elektrotehniko

Analiza medicinskih slik

2. letnik 2. stopnje
Elektrotehnika - Biomedicinska tehnika

Izgradnja statističnih atlasov

UPORABA PORAVNNE SLIK

- Poravnava slik v skupen prostor
 - ustrezna definicija prostora zagotavlja nepristranskoost
→ norma preslikav v skupen prostor naj bo *čim manjša*
 - kompozitum direktne in inverzne preslikave parov slik je identiteta

Univerza v Ljubljani
Fakulteta za elektrotehniko

Analiza medicinskih slik

2. letnik 2. stopnje
Elektrotehnika - Biomedicinska tehnika

Nepristranska poravnava monomodalnih slik v skupen prostor

- Iščemo preslikave h in novo skupno sliko I

$$\{\hat{h}_i, \hat{I}\} = \underset{h_i \in SJ}{\operatorname{argmin}} \sum_{i=1}^N E(I_i \circ h_i)^2 + D(e, h_i)^2$$

Na začetku so vse preslikave identitete e , skupna slika I pa naključno izbrana slika.

Postopek poravnave:

- Iračunamo povprečno sliko I
- Izvedemo poravnavo med posamezno sliko I_i in I
- Ponavljamo koraka 1. in 2. dokler se skupna slika I spremeni

Univerza v Ljubljani
Fakulteta za elektrotehniko

Analiza medicinskih slik

2. letnik 2. stopnje
Elektrotehnika - Biomedicinska tehnika

Izračun povprečne slike

TA ŽE PREDSTAVLJA POPULACIJSKI ATLAS

- V primeru, da so slike monomodalne!

ARITMETIČNO POVPREČJE	GEOMETRIČNO POVPREČJE	HARMONIČNO POVPREČJE
$\hat{I} = \frac{1}{N} \sum_{n=1}^N I_n(\mathcal{T}_n^*(\mathbf{x}))$	$\hat{I} = \left[\frac{1}{N} \prod_{n=1}^N I_n(\mathcal{T}_n^*(\mathbf{x})) \right]^{1/N}$	$\hat{I} = \left[\frac{1}{N} \sum_{n=1}^N I_n(\mathcal{T}_n^*(\mathbf{x}))^{-1} \right]^{-1}$

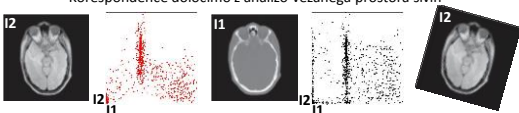
Nepritranska poravnava

večmodalnih slik v skupen prostor

UPORABNA PRI NAČRTOVANJU IN PRENOSU NAČRTA OBSEVANJA

- Pri večmodalnih slikah ne moremo predpostaviti korelacije med sivinskimi vrednostmi

- Povprečna slika kot referenca za poravnavo je nesmiselna
- Korespondence določimo z analizo vezanega prostora sivin



- Uporabimo statistične mere podobnosti

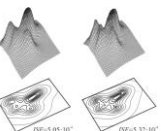
- Medsebojna informacija, vezana entropija, Renyi entropija

Postopek z minimizacijo vezane entropije slik

1. Ocena vezane gostote verjetnosti

- Parzen estimator z Hilbert jedrom

$$p^*(z) = \frac{1}{V_D M \log M} \sum_{j=1}^M \frac{1}{\|z - z_j\|^D}$$



37

2. Ocena vezane entropije slik $H(I_1, I_2, \dots, I_N)$

- Aproximacija s povprečenjem namesto $p.log(p)$

3. Popravek parametrov

- Linearna aproksimacija sprememb parametrov
- Iterativna minimizacija vezane entropije z Newtonovo metodo

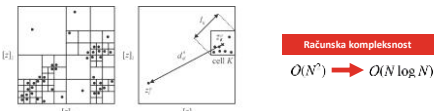
$$\sum_i \sum_{j \neq i} W_{ij} \|d_{ij}^0\|^2 \frac{\partial d_{ij}^0}{\partial \theta} \left[d_{ij}^0 + \frac{\partial d_{ij}^0}{\partial \theta} \Delta \theta \right] = \mathbf{0}$$

Gravitacijski potencial $g(r)/r^2$

Postopek z minimizacijo vezane entropije slik

▪ Hierarhična delitev vezanega prostora sivin

- ideja: interakcije med bolj oddaljenimi točkami aproksimiramo z interakcijami točka-skupina točk (tako zmanjšamo kompleksnost)



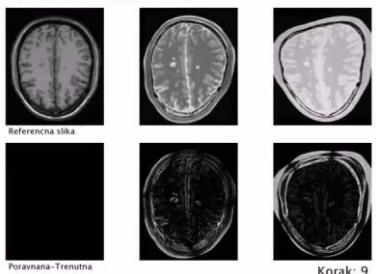
▪ Kriterij za aproksimacijo:

- Izračunaj interakcijo točka-skupina ČE: $I_K/d_K^r \geq \phi$
- SICER: hierarhično razdeli celico v 2^D podcelic

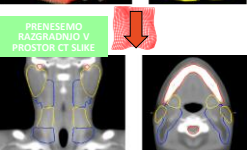
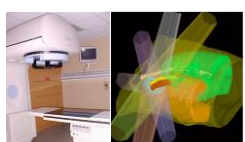
Postopek z minimizacijo vezane entropije slik

Vse slike se deformirajo, vendar deformacijo referenčne slike pristejemo k deformaciji preostalih slike

Poravnava 3D medicinskih slik



Primer: Načrtovanje obsevanja glave in vrata



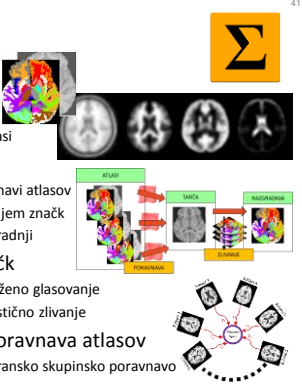
DOLOCIČIMO OPTIMALNE VPADNE KOTE IN DOZE OBSEVANJA

Povzetek

- A priori informacija
 - topološki in statistični atlasi
- Strategije razgradnje
 - temeljijo na netogi poravnave atlasov
 - s preslikovanjem ali zlivanjem znak
 - uporabo v statistični razgradnji
- Postopki zlivanja znak

 - glasovanje z večino in uteženo glasovanje
 - povprečenje oblik in statistično zlivanje

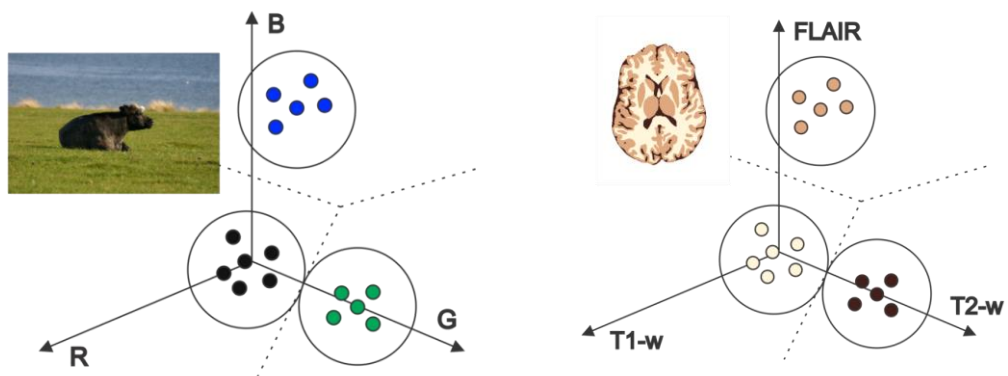
- Nujna je kvalitetna poravnavo atlasov
 - npr. s postopki za nepristransko skupinsko poravnavo





Razgradnja slik z rojenjem značilnic

Analiza medicinskih slik

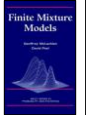


Študijska literatura

2



Guide to Medical Image Analysis
Klaus D. Toennes, Springer, 2012
7. Segmentation in Feature Space
str. 211-232



Finite Mixture Models
Geoffrey McLachlan, David Peel, Wiley, 2000



Robust Estimation of Unbalanced Mixture Models on Samples with Outliers
A. Galimzianova, F. Pernuš, B. Likar, Ž. Špiclin, IEEE Transactions on Pattern Analysis and Machine Intelligence št. 37, letnik 11, str. 2273-2285, 2015

Univerza v Ljubljani
Fakulteta za elektrotehniko

Analiza medicinskih slik

2. letnik 2. stopnje
Elektrotehnika – Biomedicinska tehnika

3

Razvrstitev postopkov
(glede na način delovanja razgradnje)

Generacija	3. Znanje <ul style="list-style-type: none"> • Modeli oblik • Modeli pojavnosti • Na osnovi pravil • Povezane površine • Deformabilni organizmi 	Način delovanja: Lastnosti področja <ul style="list-style-type: none"> • Na osnovi atlasov 	Način delovanja: Sledenje meje <ul style="list-style-type: none"> • Minimalne poti • Sledenje tarče • Iskanje grafov • Nevronske mreže • Večresolucijski postopki
	2. Optimizacija <ul style="list-style-type: none"> • Deformabilni modeli • Iskanje grafov 	<ul style="list-style-type: none"> • Rast področja • Ločevanje/druževanje področij 	<ul style="list-style-type: none"> • Upravljanje (intenzitet) • Rast področja • Ločevanje/druževanje področij
	1. Ad-hoc		<ul style="list-style-type: none"> • Upravljanje (intenzitet)

Univerza v Ljubljani
Fakulteta za elektrotehniko

Analiza medicinskih slik

2. letnik 2. stopnje
Elektrotehnika – Biomedicinska tehnika

4

Vsebina

- **Uvod v razgradnjo in rojenje**
 - Nadzorovani in nnadzorovani postopki
- **Nenadzorovani postopki**
 - Rojenje s k -timi povprečji
 - Mehko rojenje s k -timi povprečji
 - Rojenje s srednjim premikom
- **Rojenje in statistično razpoznavanje vzorcev**
 - Modeli Gaussovin mešanic (GMM)
 - Expectation-Maximization (EM)
- **Obrezovanje osamelcev v razgradnja patologij**

Univerza v Ljubljani
Fakulteta za elektrotehniko

Analiza medicinskih slik

2. letnik 2. stopnje
Elektrotehnika – Biomedicinska tehnika

Razgradnja slik

Naravne slike:

Informacija za razumevanje slike zajeta z obliko, barvo, teksturom, intenzitetom,...

Medicinske slike:

Diognastično pomembna informacija zajeta večinoma z intenzitetom, potem lokacijo, obliko,...

Univerza v Ljubljani
Fakulteta za elektrotehniko

Analiza medicinskih slika

2. letnik 2. stopnje
Elektrotehnika – Biomedicinska tehnika

Razpoznavanje vzorcev: definicije
(ang. pattern recognition)

- **Vzorec** je nek skupek določenih lastnosti oz. značilnosti, ki jih lahko zaznamo in označimo (npr. slika, signal)
- **Razpoznavanje vzorcev** je proces identifikacije vzorcev
 - naprimer razvrščanje (ang. classification), regresija (ang. regression), razčlenjanje (ang. parsing)
- **Razpoznavanje temelji na učenju**, ki je lahko:

Nadzorovano učenje (ang. supervised learning)
--

Nenadzorovano učenje (ang. unsupervised learning)
--

→ temelji na učenju iz primerov

→ temelji na učenju na osnovi podobnosti značilnic

Univerza v Ljubljani
Fakulteta za elektrotehniko

Analiza medicinskih slika

2. letnik 2. stopnje
Elektrotehnika – Biomedicinska tehnika

Razpoznavanje vzorcev in podjetništvo

Nadzorovano učenje (ang. supervised learning)
--

Nenadzorovano učenje (ang. unsupervised learning)
--

HeartFlow
<http://www.heartflow.com/>

avtomatska razgradnja in analiza žilja

icometrix
<http://www.icometrix.com/>

avtomatska razgradnja in analiza MR slik glave

→ 12 Startups Diagnosing Medical Images With AI
<http://www.nanalyze.com/2017/08/12-startups-diagnosing-medical-images-ai/>



Univerza v Ljubljani
Fakulteta za elektrotehniko

Analiza medicinskih slika

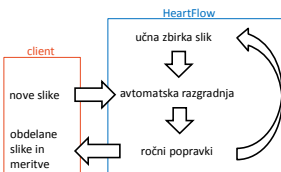
2. letnik 2. stopnje
Elektrotehnika – Biomedicinska tehnika

Razpoznavanje vzorcev in podjetništvo

Nadzorovano učenje
(ang. supervised learning)



<http://www.heartflow.com/>

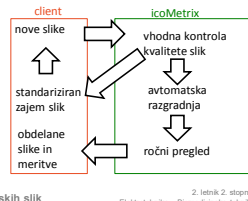


Univerza v Ljubljani
Fakulteta za elektrotehniko

Nenadzorovano učenje
(ang. unsupervised learning)



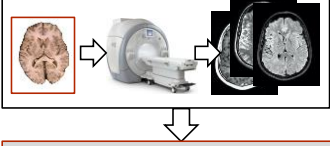
<http://www.icometrix.com/>



Analiza medicinskih slik
2. letnik 2. stopnje
Elektrotehnika – Biomedicinska tehnika

Razgradnja slik z rojenjem

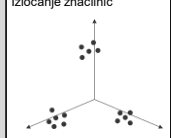
Zajem slik



Razgradnja



Analiza



Rojenje

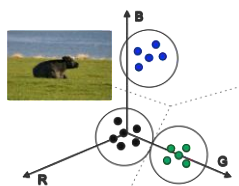


Univerza v Ljubljani
Fakulteta za elektrotehniko

Analiza medicinskih slik
2. letnik 2. stopnje
Elektrotehnika – Biomedicinska tehnika

Razgradnja slik z rojenjem

ROJENJE V PROSTORU ZNAČILNIC



- iščemo grupe medsebojno podobnih vzorcev
- brez znanih oznak grut, tj. nenadzorovano učenje
- označke lahko pripisemo na osnovi (pred)znanja o zajeti sliki

Univerza v Ljubljani
Fakulteta za elektrotehniko

Analiza medicinskih slik
2. letnik 2. stopnje
Elektrotehnika – Biomedicinska tehnika

11

Razgradnja slik z rojenjem

RAZGRADNJA V PRIMERU SPREMENB SCENE NA SЛИKI

ozadje: "sončen dan"

ozadje: "poletni večer"

ozadje: "jesenski večer"

ozadje: "poletni večer"
objekt: "rjava krava"

MOTIVACIJA: KLIKUB VELIKIM SPREMENBAM SCENE SE GRUČE OZ. ROJI ZNAČILNIC OHANJAO

Univerza v Ljubljani
Fakulteta za elektrotehniko

Analiza medicinskih slik

2. letnik 2. stopnje
Elektrotehnika – Biomedicinska tehnika

12

Razgradnja slik z rojenjem

ROJENJE V PROSTORU ZNAČILNIC

FLAIR

T1-W

različna stopnja šuma

PD

T1-W

T2-W

različne modalitete slik

T2-W

različna stopnja šuma in različne modalitete

T1-W

T2-W

→ tudi različne naprave oz. skenerji
→ različne nastavitev zajema slik in
→ različni pogoj za zajem slike

Univerza v Ljubljani
Fakulteta za elektrotehniko

Analiza medicinskih slik

2. letnik 2. stopnje
Elektrotehnika – Biomedicinska tehnika

13

Rojenje s k -timi povprečji

OPIS POSTOPKA

- Vhod:** značilnice x_j , število gruč K
- Incializacija:** naključno izberi centre gruč μ_k
- Optimizacija:** nabor gruč $S = \{S_k\}$ je optimalen pri

$$S^* = \arg \min_S \sum_{k=1}^K \sum_{x_j \in S_k} \|x_j - \mu_k\|^2$$

v vsaki gruči so vzorec blizu centra gruče

pri čemer so oznake gruče $c(x_j) = \{k | x_j \in S_k\}$

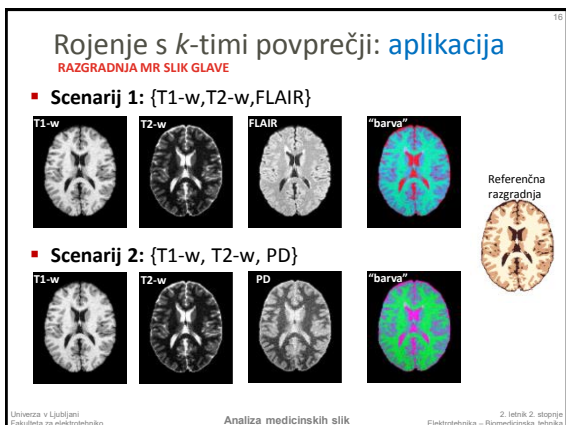
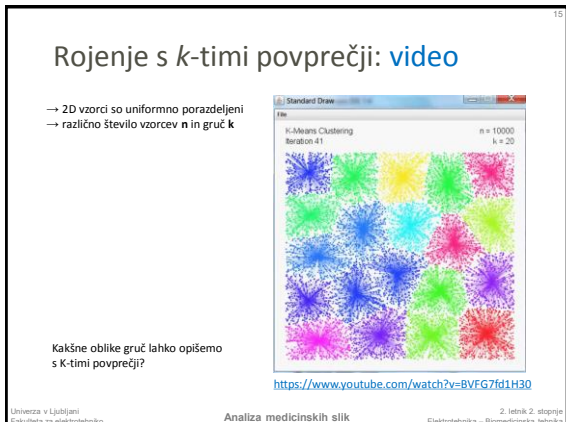
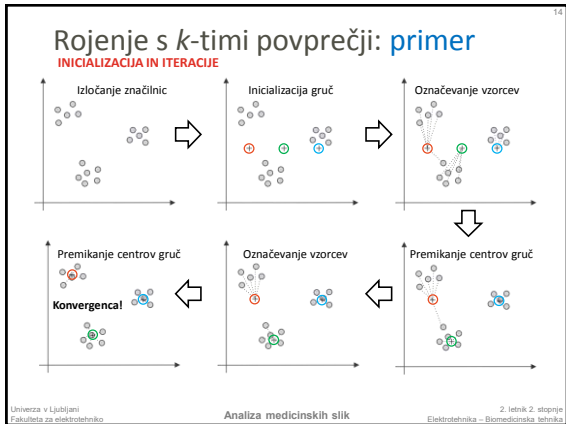
- pri optimizaciji izmenično izvajamo dva koraka:
 - označimo vse vzorce $x_j \in S$ s $c(x_j)$ glede na najbližji center μ_k
 - premaknemo center gruče μ_k

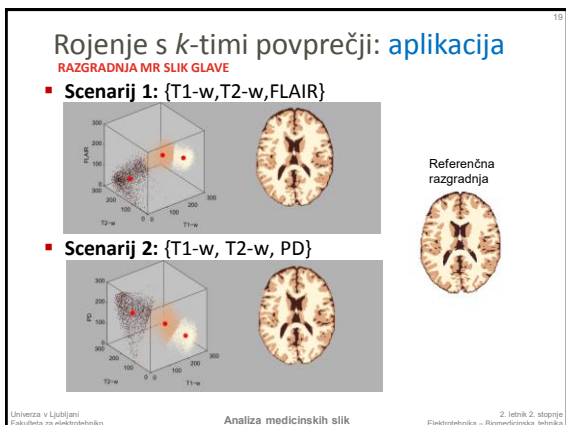
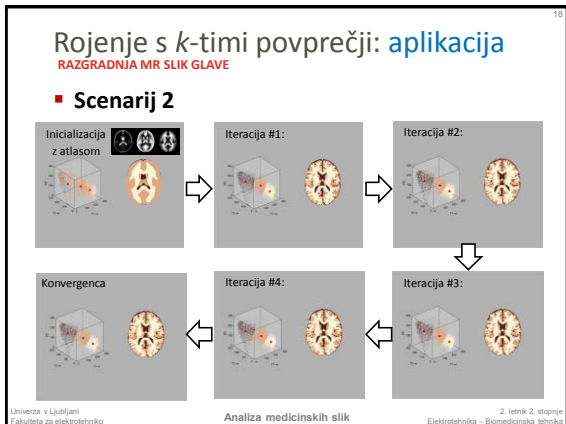
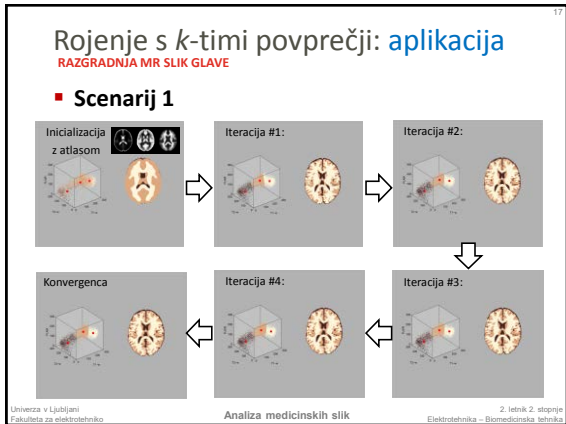
→ končaj ko se oznake vzorcev $c(x_j)$ ne spremenijo več
- Izhod:** gruče S_k in centri μ_k po končni iteraciji postopka

Univerza v Ljubljani
Fakulteta za elektrotehniko

Analiza medicinskih slik

2. letnik 2. stopnje
Elektrotehnika – Biomedicinska tehnika





Rojenje s k -timi povprečji

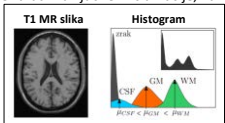
POVZETEK

■ **Prednosti:**

- enostavna implementacija
- hitro izvajanje; računska kompleksnost zavisi linearno od števila vzorcev n, tj. $O(n)$

■ **Slabosti:**

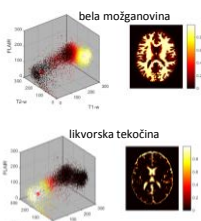
- le diskretno razvrščanje vzorcev (\rightarrow **mehko rojenje**)
- oblika gruč je vedno krog (2D), sfera (3D), ... (\rightarrow **srednji premik**)
- vnaprej je potrebno poznati število gruč K (\rightarrow **srednji premik**)
- ozake gruč so lahko naključne zaradi naključne inicializacije, kar lahko rešimo s (pred)znanjem



Mehko rojenje s K -timi povprečji

OPIS POSTOPKA (ang. fuzzy C-means clustering = FCM clustering)

■ **Motivacija:** modeliranje negotovosti razvrščanja



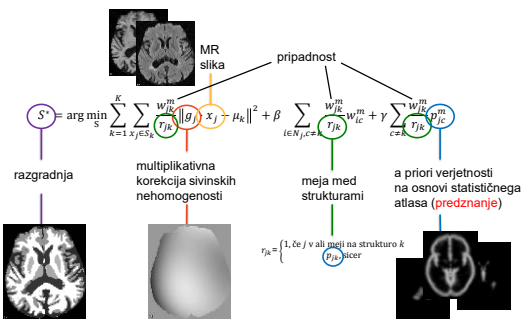
$$S^* = \arg \min_S \sum_{k=1}^K \sum_{x_j \in S_k} w_{jk}^m \|x_j - \mu_k\|^2$$

$$w_{jk}^m = \left(\sum_{c=1}^C \|x_j - \mu_c\|^2 \right)^{-2/(m-1)}$$

■ **Prednost:** mehke meritve, npr. volumina sive možganovine, so lahko bolj natančne (omilijo učinek delnih prostornin - PVE)

Mehko rojenje s K -timi povprečji

RAZGRADNJA MR SLIKE GLAVE



23

Rojenje s srednjim premikom

OPIS POSTOPKA (ang. mean shift clustering)

- Motivacija:** modeliranje poljubne oblike gruče in *samodejno* ugotavljanje števila gruč
- Iterativni postopek za iskanje gruč vzorcev:
 - izberi naključno točko in širino okna h
 - izračunaj središče (mean) vzorcev v oknu
 - premakni okno v novi položaj
 - ponavljaj koraka 2. in 3. do konvergencije
- Ponovimo za vsak vzorec x_j , nato pripisemo označke $c(x_j)$ glede na končni položaj okna

Univerza v Ljubljani
Fakulteta za elektrotehniko

Analiza medicinskih slik

2. letnik 2. stopnje
Elektrotehnika - Biomedicinska tehnika

24

Rojenje s srednjim premikom

<https://www.youtube.com/watch?v=kmaQAsotT9s>

Univerza v Ljubljani
Fakulteta za elektrotehniko

Analiza medicinskih slik

2. letnik 2. stopnje
Elektrotehnika - Biomedicinska tehnika

25

Rojenje s srednjim premikom

OPIS POSTOPKA (ang. mean shift clustering)

- Postopek sestoji iz dveh ključnih komponent:
 - ocena gostote verjetnosti vzorcev s Parzen jedrom (ang. Parzen kernel density estimator)
 - in ocena gradienta (1. odvoda)
- Ocena gostote verjetnosti

$$f_{h,K}(\mathbf{x}) = \frac{c_{K,d}}{Nh^d} \sum_{i=1}^N g\left(\frac{\|\mathbf{x} - \mathbf{x}_i\|^2}{h}\right)$$

- in pripadajoča ocena gradienta

$$\nabla f_{h,K}(\mathbf{x}) = \frac{c_{K,d}}{Nh^{d+2}} \sum_{i=1}^N g'\left(\frac{\|\mathbf{x} - \mathbf{x}_i\|^2}{h}\right) \begin{aligned} & \left[\frac{\sum_{l=1}^N x_l g\left(\frac{\|\mathbf{x} - \mathbf{x}_l\|^2}{h}\right)}{\sum_{l=1}^N g\left(\frac{\|\mathbf{x} - \mathbf{x}_l\|^2}{h}\right)} - \mathbf{x} \right] \\ & \text{gostota verjetnosti} \\ & \text{srednji premik} \end{aligned}$$

Parzen jedro $k(||\mathbf{x} - \mathbf{x}_i||)$ - okno s širino h

→ večjo zanesljivost lahko dosegemo z „median shift“
→ hitrejšo konvergenco lahko dosegemo z „max shift“

Univerza v Ljubljani
Fakulteta za elektrotehniko

Analiza medicinskih slik

2. letnik 2. stopnje
Elektrotehnika - Biomedicinska tehnika

Rojenje s srednjim premikom

OPIŠ POSTOPKA (ang. mean shift clustering)

- Rojenje gruč poljubnih oblik

Vhodne značilnice

Barvno kodirane oznake gruč
s postopkom srednjega premika

Univerza v Ljubljani
Fakulteta za elektrotehniko

Analiza medicinskih slik

2. letnik 2. stopnje
Elektrotehnika - Biomedicinska tehnika

Rojenje s srednjim premikom

POVZETEK

- **Prednosti:**
 - ne predpostavlja oblike (modela) gruče
 - zavisi le od enega parametra (širina okna h)
 - odporen na osamelce (=odstopajoče vzorce; ang. outliers)
- **Slabosti:**
 - izbira optimalnega okna ni trivialna
 - računsko potraten, reda $O(n^2)$
 - občutljiv na h ; velik h zliva gruče, pri malem h veliko število gruč in počasna konvergenca
 - število gruč je lahko mnogo večje od pričakovane, zato je nujna uporaba (pred)znanja za uspešno razgradnjo

→ razvrščanje in zdrževanje gruč v področja

Univerza v Ljubljani
Fakulteta za elektrotehniko

Analiza medicinskih slik

2. letnik 2. stopnje
Elektrotehnika - Biomedicinska tehnika

Statistično razpoznavanje vzorcev

- odločitvene funkcije (meje) so določene s **gostoto verjetnosti vzorcev**, ki pripada posamezni gruči oz. razredu

Nadzorovano učenje
(ang. supervised learning)

učenje na znanih oznakah → gostota verjetnosti temelji na učenju iz primerov

Nenadzorovano učenje
(ang. unsupervised learning)

razvrščanje novih vzorcev → gostota verjetnosti se naučimo z analizo značilnic

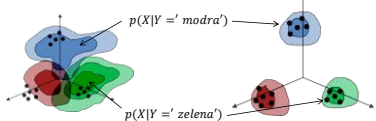
Univerza v Ljubljani
Fakulteta za elektrotehniko

Analiza medicinskih slik

2. letnik 2. stopnje
Elektrotehnika - Biomedicinska tehnika

Statistično razpoznavanje vzorcev

- značilnice $X = \{x_j\}$ so vzorci meritev
- oznake $Y = \{y_j\}$ so skrite spremenljivke
- X naj bo naključna spremenljivka z gostoto verjetnosti (p.d.f.) $p(X|Y)$, ki se jo lahko naučimo ali jo določimo iz meritev:



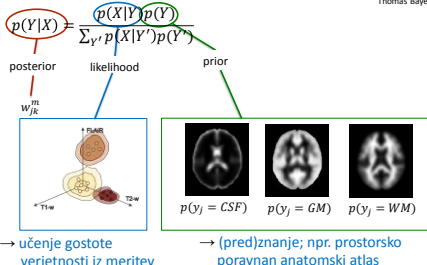
- cilj razpoznavanja: oceni Y iz meritev (statistično sklepanje)
 - maximum likelihood: $Y = \arg \max p(X|Y)$
 - maximum a posteriori: $\boxed{Y = \arg \max p(Y|X)}$
→ slednji omogoča vključevanje (pred)znanja

Statistično razpoznavanje vzorcev

BAYESOVA ODLOČITVENA TEORIJA



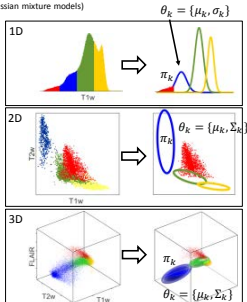
- maximum a posteriori: $Y = \arg \max p(Y|X)$
 - uporabimo Bayesovo pravilo, da dobimo



Učenje gostote verjetnosti

$$Y = \arg \max p(X|Y)p(Y)$$

- Histogram, Parzen jedra, **Gaussovi modeli mešanic (GMM)**
(ang. Gaussian mixture models)
 - GMM je parametrični model
 $P(X|Y = k) = P(X|\theta_k)$
 - Porazdelitev gruče opisuje Gaussova funkcija
- 1D: $p(x_j|\mu_k, \sigma_k) = \frac{1}{\sqrt{2\pi}\sigma} e^{-\frac{(x_j-\mu_k)^2}{2\sigma^2}}$
- ND: $p(x_j|\mu_k, \Sigma_k) = \frac{1}{\sqrt{(2\pi)^N |\Sigma|}} e^{-\frac{1}{2}(x_j-\mu_k)^T \Sigma_k^{-1} (x_j-\mu_k)}$
- Celotna porazdelitev je
- $$p(x_j|\Theta) = \sum_{k=1}^K \pi_k p_k(x|\theta_k)$$
- $\sum_{k=1}^K \pi_k = 1$



Učenje gostote verjetnosti z GMM

- Prileganje Gaussovih modelov mešanic (GMM) s postopkom **Expectation-Maximization (EM)**

- E-korak:** oceni pripadnost gruči (indikator $z_{nk} \in \{0,1\}$)

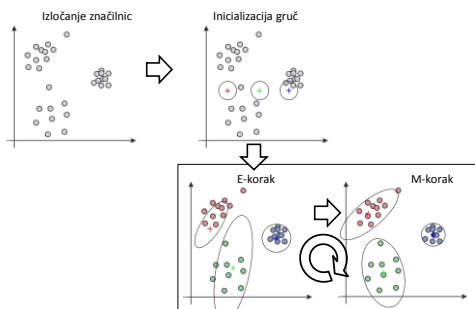
$$\tau(z_{nk}) = \frac{\pi_k N(x_n | \mu_k, \Sigma_k)}{\sum_{j=1}^K \pi_j N(x_n | \mu_j, \Sigma_j)} \rightarrow \text{fiksni parametri}$$

- M-korak:** posodobi parametre

$$N_k = \sum_{n=1}^N \tau(z_{nk}) \quad \mu_k^{new} = \frac{\sum_{n=1}^N \tau(z_{nk}) x_n}{N_k}$$
$$\Sigma_k^{new} = \frac{1}{N_k} \sum_{n=1}^N \tau(z_{nk}) (x_n - \mu_k^{new})(x_n - \mu_k^{new})^T$$
$$\pi_k^{new} = \frac{N_k}{N} \rightarrow \text{ustavimo iteriranje, če se parametri ne spremeni}$$

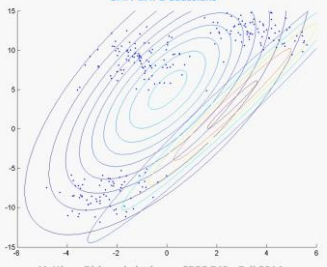
Učenje gostote verjetnosti z GMM

Expectation-Maximization (EM)



Učenje gostote verjetnosti z GMM

GMM-EM: 2 Gaussians

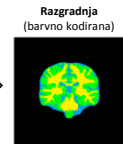
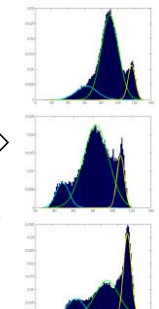
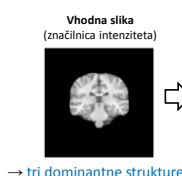


Matthew Dirks - skylogic.ca - CPSC 540 - Fall 2014

<https://www.youtube.com/watch?v=B36fzChfyGU>

Učenje gostote verjetnosti z GMM

RAZGRADNJA T1 MR Slike glave



→ model se dobro prilega različnim gostotam verjetnosti

Učenje gostote verjetnosti z GMM

POVZETEK

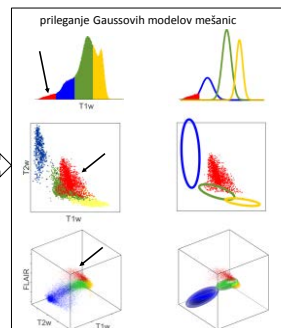
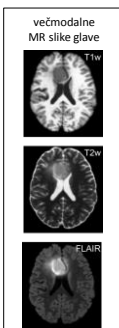
Prednosti:

- relativno malo parametrov $\{\pi_k, \mu_k, \Sigma_k\}$ za vsak k
- zelo fleksibilni modeli

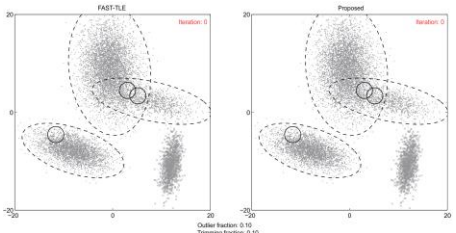
Slabosti:

- poznati je treba število gruč K
- problemi s singularnostjo Σ_k ; majhne gruče imajo lahko velik vpliv na oceno verjetnosti $P(X|Y)$
- osamelci imajo velik vpliv na oceno parametrov

Problem ali izziv osamelcev (/)



Prileganje GMM z osamelci

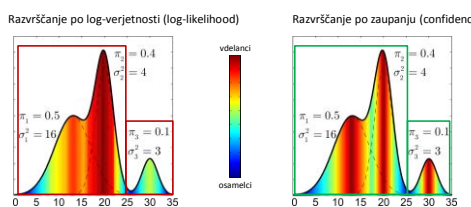


Dejanski model mèšanic

Vdelanci (inliers): meritve znaèilne za GMM
Osamelci (outliers): meritve neznaèilne za GMM

Obrezovanje osamelcev

OUTLIER TRIMMING



FAST-TLE

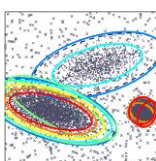
- favorizira gruèe z majhno skalo (singularnost Σ_k)
- pripòe moòo vrednost gruèi z moòo vzorci (mali π_k)

C-TLE (Galimzianova et al. 2015)

- + ohranja vdelance za heterogene gruèe
- + dobra ocena parametrov tudi pri neuravnovæenih mèšanicah (razlièni π_k)

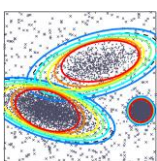
Obrezovanje osamelcev

FAST-TLE
(likelihood order)



Dejanski red osamelcev

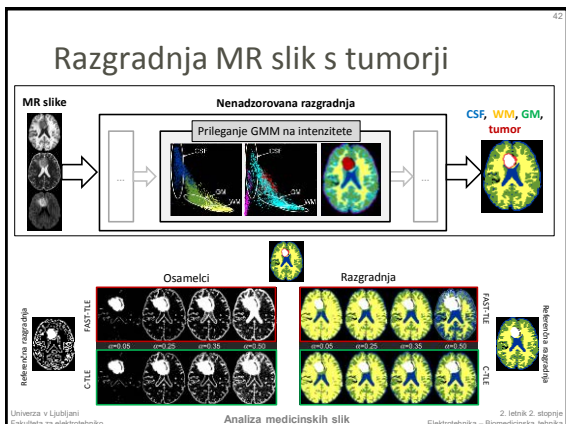
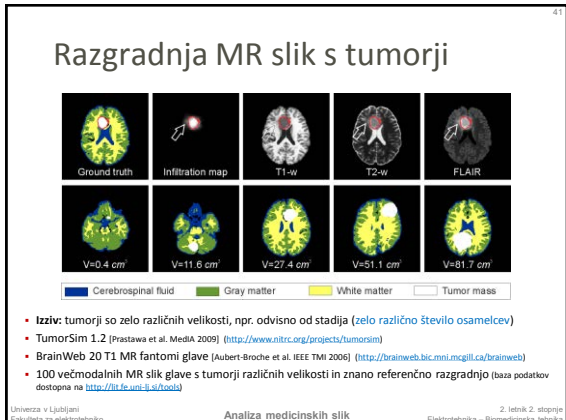
C-TLE
(confidence order)



→ prileganje GMM neobèutljivo na delež osamelcev

Model mèšanic

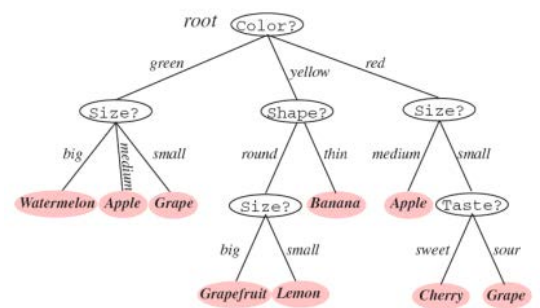
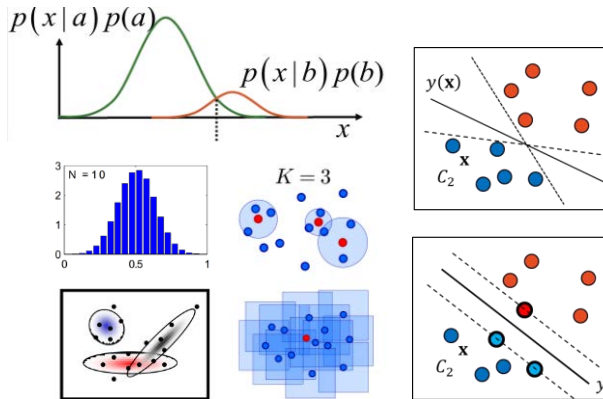
Vdelanci (inliers): meritve znaèilne za GMM
Osamelci (outliers): meritve neznaèilne za GMM





Strojno učenje

Analiza medicinskih slik



2

Študijska literatura


Guide to Medical Image Analysis
Klaus D. Toennes, Springer, 2012
12. Classification and Clustering
str. 379-411

Machine Learning (SS 2016)
Prof. Dr. Bastian Leibe
<https://www.vision.rwth-aachen.de/course/8/>



Univerza v Ljubljani
Fakulteta za elektrotehniko

Analiza medicinskih slik

2. letnik 2. stopnje
Elektrotehnika – Biomedicinska tehnika

3

Vsebina

- **Uvod v strojno učenje**
 - Cilji, orodja, razvrščanje in regresija, koncepti
- **Bayesova teorija odločanja**
 - Gradniki, optimalna odločitev, modeliranje porazdelitev
 - Primer razgradnje slik s k-NN razvrščevalnikom
- **Odločitvene funkcije na osnovi razdalje**
 - Adaptivne linearne in nelinearne
 - Ideja podpornih vektorjev
- **Odločitvena drevesa**
 - Naključna drevesa in naključni gozdovi
 - Primeri medicinske diagnostike ter detekcije in razgradnje v medicinskih slikah

Univerza v Ljubljani
Fakulteta za elektrotehniko

Analiza medicinskih slik

2. letnik 2. stopnje
Elektrotehnika – Biomedicinska tehnika

4

Uvod v strojno učenje

ANG. MACHINE LEARNING

- **Statistično strojno učenje: definicija**
 - Prinzipi, postopki in algoritmi za učenje in napovedovanje na osnovi preteklih opažanj (podatkov)
- **Cilj strojnega učenja**
 - Stroji naj se naučijo sposobnosti izvajanja nalog iz opažanj
- **Že prisotno v večini inženirskeih rešitev**
 - razpoznavanje govora (npr. diktiranje izvidov) in ročno pisanih črk, strojni vid (npr. razpoznavanje obrazov) in izločanje informacij (npr. indeksiranje slik in videoev)
 - zaznavanje poneverb (npr. pri kreditnih karticah), filtriranje besedil (npr. e-pošte), igrajanje iger (npr. strategija botov), robotika
- **Tudi na področju analize medicinskih slik**
 - avtomatska kvantifikacija slik (npr. preber razgradnje slik)
 - (izgodnejše) diagnosticiranje bolezni (npr. iz množice kliničnih in parakliničnih parametrov), gradacijo npr. tumorjev, napovedovanje poteka bolezni (biomarkerji)

Univerza v Ljubljani
Fakulteta za elektrotehniko

Analiza medicinskih slik

2. letnik 2. stopnje
Elektrotehnika – Biomedicinska tehnika

Uvod v strojno učenje

KLJUČNA VPRAŠANJA

→ Stroji naj se naučijo sposobnosti izvajanja nalog iz opažanj

■ Zakaj?

- Učenje je ključni del vsakega inteligentnega/avtonomnega sistema
- Omogoča prilagodljivost sistemov in sposobnost pospoljevanja znanj
- Poskušamo razumeti in posnetati proces učenja pri človeku

■ Učenje je najpomembnejši del!

- Znanja ne želimo (ali pa ne zmoremo) predstaviti sami
- Stroj naj se nauči relevantne odločitvene funkcije samodejno glede na pretekla opažanja in se prilagodi danim okoliščinam

■ Orodja za strojno učenje

- Statistika, verjetnostni račun, teorija odločanja, teorija informacij, optimizacija

Uvod v strojno učenje

KLJUČNA VPRAŠANJA

→ Stroji naj se naučijo sposobnosti izvajanja nalog iz opažanj

■ Naloga

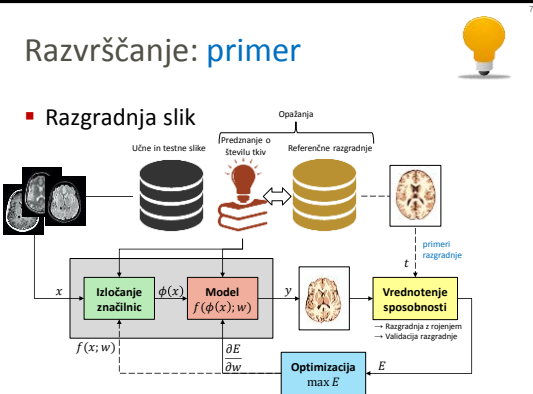
- Pogosto jo izrazimo z matematično funkcijo oz. modelom
 $y = f(x; w)$
- kjer je x vhod, y izhod in w parametri (ki se jih „naučimo“)

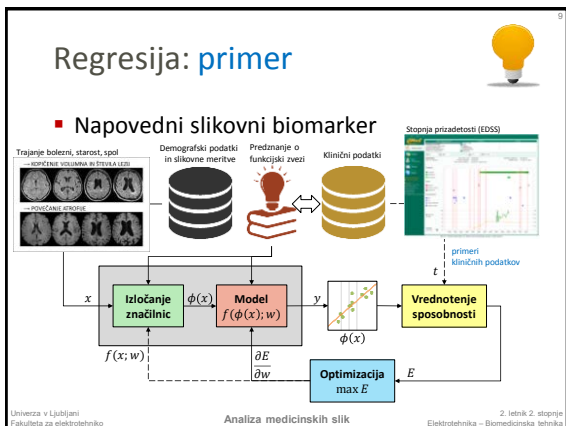
■ Razvrščanje in regresija

- Regresija: zvezen y
- Razvrščanje: diskreten y
→ npr. oznaka razreda, lahko tudi *posteriori* verjetnost razreda

Razvrščanje: primer

■ Razgradnja slik





Uvod v strojno učenje

KLJUČNA VPRAŠANJA

→ Stroji naj se naučijo sposobnosti izvajanja nalog iz opažanj

- **Vrednotenje sposobnosti E**
 - kriterij sposobnosti definiramo sami (npr. 99% pravilno razvrščanje)
 - običajno s skalarno vrednostjo
 - lahko večparametrično (npr. sposobnost pospoljevanja: vrednost E na učnih in testnih podatkih)
- **Vrednotenje delno pravilnega izhoda**
 - Uteževanje različnih tipov napak?

Universita v Ljubljani
Fakulteta za elektrotehniko

Analiza medicinskih slik

2. letnik 2. stopnje
Elektrotehnika - Biomedicinska tehnika

Uvod v strojno učenje

KLJUČNA VPRAŠANJA

→ Stroji naj se naučijo sposobnosti izvajanja nalog iz opažanj

- Podatki brez oznak t : nadzorovanoto učenje ang. unsupervised learning
- Podatki z oznakami t : nadzorovanoto učenje ang. supervised learning
 - npr. slike in referenčna razgradnj
- Nekaj podatkov z, nekaj pa brez oznak: ang. semi-supervised learning
- Brez opažanj: ang. learning by doing
- Povratna informacija/nagrajevanje: ang. reinforcement learning

Universita v Ljubljani
Fakulteta za elektrotehniko

Analiza medicinskih slik

2. letnik 2. stopnje
Elektrotehnika - Biomedicinska tehnika

Uvod v strojno učenje

KLJUČNA VPRAŠANJA

→ Stroji naj se naučijo sposobnosti izvajanja nalog iz opažanj

- **Model $f(\phi(x); w)$**
 - w : opisuje družino funkcij (npr. porazdelitev značilnic v modelih mešanic)
 - w : indeks v prostoru hipotez (npr. povezave slikevih in kliničnih meritev pri napovednih biomarkerjih)
 - w : vektor, matrika povezav, graf,...
- **Znotraj škatle:**

Universita v Ljubljani
Fakulteta za elektrotehniko

Analiza medicinskih slik

2. letnik 2. stopnje
Elektrotehnika - Biomedicinska tehnika

Uvod v strojno učenje

KLJUČNA VPRAŠANJA

→ Stroji naj se naučijo sposobnosti izvajanja nalog iz opažanj

- Učenje običajno pomeni optimizacijo
 - iskanje po prostoru hipotez w oz.
 - iskanje „najboljše“ funkcije ali parametrov modela w
 - npr. z maksimizacijo $y = f(\phi(x); w)$ glede na mero sposobnosti E

Sposobnost E

POSTOPEK UČENJA

Funkcija $f(x; w)$ → Opažanja t

Univerza v Ljubljani
Fakulteta za elektrotehniko

Analiza medicinskih slik

2. letnik 2. stopnje
Elektrotehnika - Biomedicinska tehnika

Bayesova teorija odločanja

15

- Na primeru razpoznavanja pisanih znakov
 - Cilj: na podlagi slike želimo podati oznako črke (a/b) tako, da bo verjetnost napačnega razvrščanja oznak minimalna

Univerza v Ljubljani
Fakulteta za elektrotehniko

Analiza medicinskih slik

2. letnik 2. stopnje
Elektrotehnika - Biomedicinska tehnika

Bayesova teorija odločanja

16

- **Gradnik 1: prior (a priori verjetnost) $P(C_k)$**
 - Verjetnost oznake ($C_k = \{a, b\}$) še predno vidimo podatke (sliko)
 - Primer:

$a a b a b a a b a$
 $b a a a b a a b a$
 $a b a a a b a a b a$
 $b a b a a a b a$

$P(a)=0.75$
 $P(b)=0.25$

?

$$C_1 = a \quad p(C_1) = 0.75$$

$$C_2 = b \quad p(C_2) = 0.25$$

- V splošnem velja: $\sum_k p(C_k) = 1$

Univerza v Ljubljani
Fakulteta za elektrotehniko

Analiza medicinskih slik

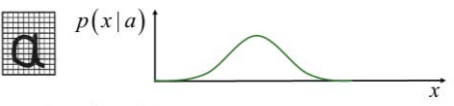
2. letnik 2. stopnje
Elektrotehnika - Biomedicinska tehnika

17

Bayesova teorija odločanja



- Gradnik 2: pogojna verjetnost $p(x|C_k)$**
 - Naj bo x skalarna značilnica, ki meri ali opisuje določene lastnosti vhodnih podatkov
 - Potem $p(x|C_k)$ opisuje **verjetnost (likelihood)** razreda C_k

a 

b 

Univerza v Ljubljani
Fakulteta za elektrotehniko

Analiza medicinskih slik

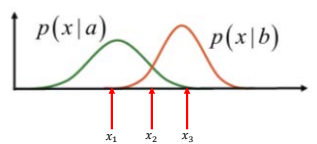
2. letnik 2. stopnje
Elektrotehnika - Biomedicinska tehnika

18

Bayesova teorija odločanja



- Kako bi razvrstili x_1, x_2 in x_3 ?



- Ste upoštevali, da je a priori verjetnost $p(a) = 0,75$ in $p(b) = 0,25$?
- Na kakšen način formalizirati odločanje z upoštevanjem a priori in pogojne verjetnosti?

Univerza v Ljubljani
Fakulteta za elektrotehniko

Analiza medicinskih slik

2. letnik 2. stopnje
Elektrotehnika - Biomedicinska tehnika

19

Bayesova teorija odločanja



- Gradnik 3: posteriorna verjetnost $p(C_k|x)$**
 - Ta nas običajno zanima saj podaja verjetnost oznake C_k za dano vrednost značilnice x
 - Bayesov teorem

$$p(C_k|x) = \frac{p(x|C_k)p(C_k)}{p(x)} = \frac{p(x|C_k)p(C_k)}{\sum_i p(x|C_i)p(C_i)}$$

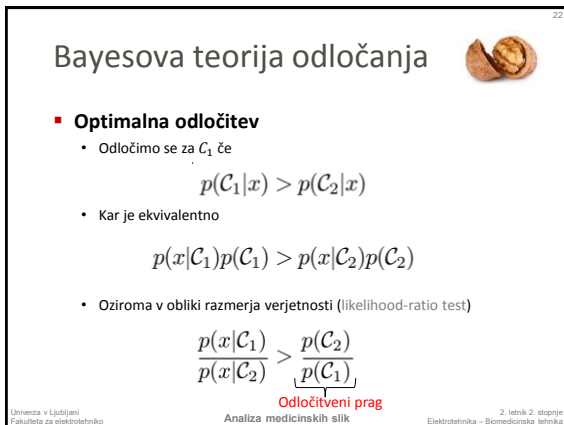
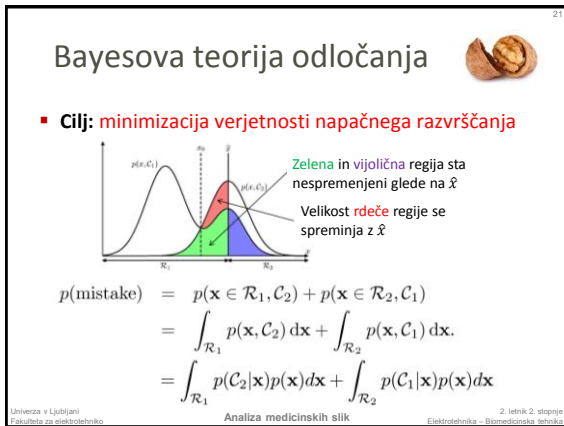
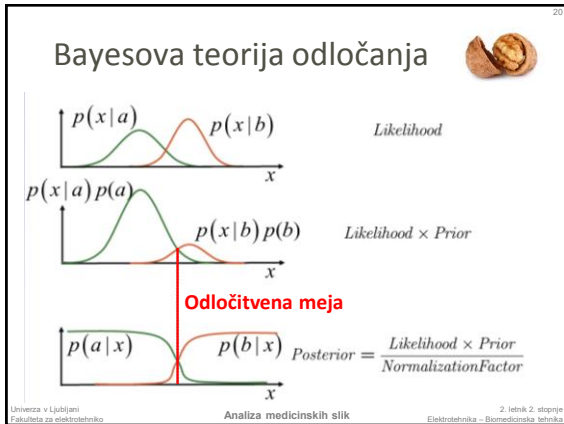
- Interpretacija gornje enačbe

$$\text{Posterior} = \frac{\text{Likelihood} \times \text{Prior}}{\text{Normalization factor}}$$

Univerza v Ljubljani
Fakulteta za elektrotehniko

Analiza medicinskih slik

2. letnik 2. stopnje
Elektrotehnika - Biomedicinska tehnika



Diskriminantne funkcije



23

- Razvrščanje izvedemo s primerjanjem

- Diskriminantnih funkcij oblike

$$y_1(x), \dots, y_K(x)$$

- Razvrstimo x v razred C_k če

$$y_k(x) > y_j(x) \quad \forall j \neq k$$

- Primeri funkcij iz Bayesove teorije odločanja

$$y_k(x) = p(C_k|x)$$

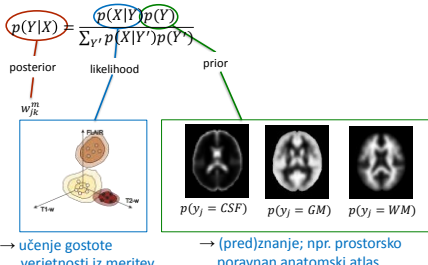
$$y_k(x) = p(x|C_k)p(C_k)$$

$$y_k(x) = \log p(x|C_k) + \log p(C_k)$$

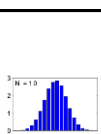
Razgradnja slik na osnovi Bayesove teorije odločanja: primer

- maximum a posteriori:** $Y = \arg \max p(Y|X)$

- uporabimo Bayesovo pravilo, da dobimo



Učenje gostote verjetnosti

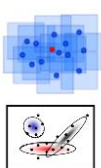


25

- Iščemo verjetnosti $p(X|Y), p(X), \forall x$

- Neparametrični postopki

- Histogram
- k-najbližjih sosedov (k-NN)
- Parzen jedro (KDE)



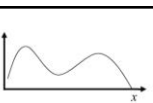
26

- Parametrični postopki

- Porazdelitvene funkcije
- Mešanice porazdelitvenih funkcij

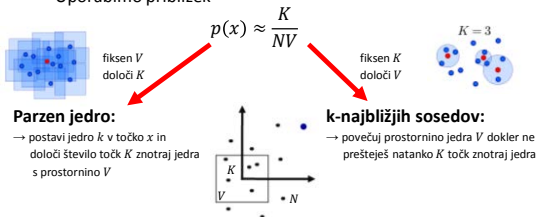
→ k-povprečji, Gaussova mešanica (GMM)

Neparametrično učenje gostote verjetnosti



26

- Histogram:** ocena $p(x)$ je običajno nezanesljiva za večdimenzionalne značilnice → prekletstvo dimenzionalnosti
- Uporabimo priblžek

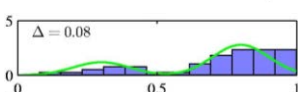


Neparametrično učenje gostote verjetnosti: primer

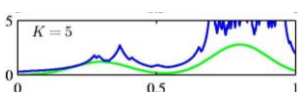


27

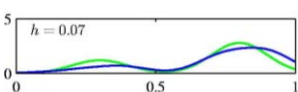
Histogram



k-najbližjih sosedov



Parzen jedro



Razvrščanje s k najbližjih sosedov (k-NN) ang. k nearest neighbors

- Bayesovo razvrščanje

$$p(\mathcal{C}_j | \mathbf{x}) = \frac{p(\mathbf{x} | \mathcal{C}_j)p(\mathcal{C}_j)}{p(\mathbf{x})}$$

- Kjer so

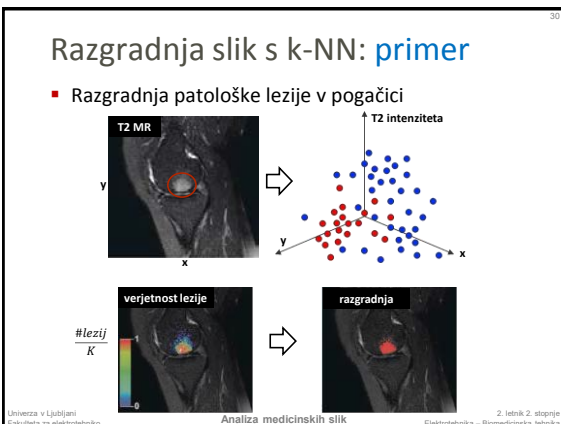
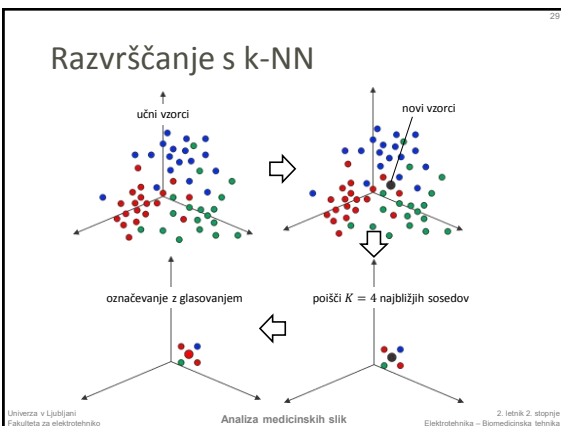
$$p(\mathbf{x}) \approx \frac{K}{NV}$$

$$p(\mathbf{x} | \mathcal{C}_j) \approx \frac{K_j}{N_j V} \rightarrow p(\mathcal{C}_j | \mathbf{x}) \approx \frac{K_j}{N_j V} \frac{N_j}{N} \frac{NV}{K} = \frac{K_j}{K}$$

$$p(\mathcal{C}_j) \approx \frac{N_j}{N}$$

Glasujemo glede na večino
oznak K najbližjih sosedov

28



- 31
- ## Različni postopki reševanja problema razvrščanja
- Generativni postopki:** $y_k(x) \propto p(x|\mathcal{C}_k)p(\mathcal{C}_k)$
 - najprej učenje pogojnih gostot verjetnosti $p(x|\mathcal{C}_k)$ in *a priori* verjetnosti $p(\mathcal{C}_k)$ za vsak razred
 - nato z Bayesovim teoremom določi pripadnost vzorca x razredu
 - Diskriminativni postopki:** $y_k(x) = p(\mathcal{C}_k|x)$
 - najprej nauči *posteriori* verjetnosti $p(\mathcal{C}_k|x)$ za vsak razred, nato določi pripadnost novega vzorca x razredu
 - Alternativni postopki**
 - direktno učenje diskriminантne funkcije $y_k(x)$ in direktna preslikava x v oznako razreda
- Univerza v Ljubljani
Fakulteta za elektrotehniko Analiza medicinskih slik Elektrotehnika – Biomedicinska tehnika

Diskriminantne funkcije na osnovi razdalje vzorca do meje

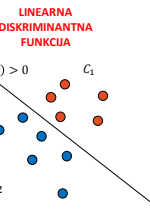
Alternativni postopki

- Neposredno kodiraj odločitveno mejo
- Brez modeliranja gostot verjetnosti
- Direktno minimiziraj napako razvrščanja

Primer za dva razreda

$$\begin{aligned} y_1(x) &> y_2(x) \\ \Leftrightarrow y_1(x) - y_2(x) &> 0 \\ \Leftrightarrow y(x) &> 0 \end{aligned}$$

$\bullet y(x) > 0$: odloči se za razred C_1 , sicer razred C_2



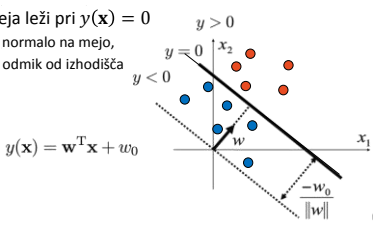
Linearne diskriminantne funkcije

Funkcije oblike $y(\mathbf{x}) = \mathbf{w}^T \mathbf{x} + w_0$, kjer so parametri

- \mathbf{w} : vektor *linearnih* uteži
- w_0 : konstanta, ki definira prag (ang. bias, threshold)

Odločitvena meja leži pri $y(\mathbf{x}) = 0$

- \mathbf{w} predstavlja normalo na mejo,
- $-w_0/\|\mathbf{w}\|$ pa odmik od izhodišča



Heuristično učenje linearnih binarnih diskriminantnih funkcij

Za problem razvrščanja

- Cilj: novi vzorec \mathbf{x} razvrsti v enega izmed K razredov C_k
- Vhodni podatki: učni vzorci $\mathbf{X} = \{\mathbf{x}_1, \dots, \mathbf{x}_N\}$ in oznake $\mathbf{T} = \{t_1, \dots, t_N\}$
- Kodiranje oznak za dva razreda $t_i \in \{-1, 1\}$

Algoritem učenja z dva razreda

Postavi vrednosti konstante w_0 in uteži $\mathbf{w} = [w_1, \dots, w_M]$ na majhne, naključno izbrane vrednosti **PONAVLJAJ DOKLER** razvrščanje ni popolno ali povprečna napaka je manjša od ϵ_{min} ali doseženo maksimalno število ponovitev

izberi vzorec \mathbf{x}_i iz učne množice in izračunaj $y(\mathbf{x}_i; w_0, \mathbf{w})$

če $C(\mathbf{x}_i) \neq sign(y(\mathbf{x}_i; w_0, \mathbf{w}))$ **POTEM** za naključno izbrani vrednosti $c, k > 0$

$$w_i = w_i + c \cdot C(\mathbf{x}_i) \cdot x_i$$

$$w_0 = w_0 + c \cdot C(\mathbf{x}_i) \cdot k$$

KONČAJ ČE PONAVLJAJ

35

Hevristično učenje linearnih binarnih diskriminantnih funkcij

- Ilustracija delovanja

Postavi vrednosti konstante w_0 in uteli $\mathbf{w} = [w_1, \dots, w_d]$ na mognje, nujajoče izbrane vrednosti PONAVLJAJ DOKLER razvrščanje ni popolno ali posrečna napak je manjša od ϵ_{tol} , ali doseglo maksimalno število korakov.

Vsi vzorec x_i iz kategorije C_k za katere medije in izračuna $y(x_i; w_0, \mathbf{w})$

$$\text{ČE } C(x_i) = \text{sign}(y(x_i; w_0, \mathbf{w})) \text{ POTEM za nujajoče izbrane vrednosti } c, k > 0$$

$$w_j = w_j + c \cdot C(x_i) \cdot x_{ij}$$

$$w_0 = w_0 + c \cdot C(x_i) \cdot k$$

KONČA PONAVLJAJ

KORAK i

$y(\mathbf{x})$

C_1

C_2

x

x_1

x_i

$y(x_i) > 0$

$L(x_i) < 0$

KORAK $i+1$

$y(\mathbf{x})$

C_1

C_2

x

x_1

x_i

$y(x_i) > 0$

$L(x_i) > 0$

Univerza v Ljubljani
Fakulteta za elektrotehniko

Analiza medicinskih slik

2. letnik 2. stopnje
Elektrotehnika - Biomedicinska tehnika

36

Strategije binarnega razvrščanja v primeru več kot dveh razredov

eden-proti-vsem
one-vs-all

R_1

R_2

R_3

C_1

C_2

not C_1

not C_2

?

en-proti-enemu
one-vs-one

R_1

R_2

R_3

C_1

C_2

C_3

?

Univerza v Ljubljani
Fakulteta za elektrotehniko

Analiza medicinskih slik

2. letnik 2. stopnje
Elektrotehnika - Biomedicinska tehnika

37

Posplošitev na več razredov in učenje

- Za problem razvrščanja
 - Cilj: novi vzorec \mathbf{x} razvrsti v enega izmed K razredov C_k
 - Vhodni podatki: učni vzorci $\mathbf{X} = \{\mathbf{x}_1, \dots, \mathbf{x}_N\}$ in označke $\mathbf{T} = \{\mathbf{t}_1, \dots, \mathbf{t}_N\}$
 - Kodiranje oznak za več razredov $\mathbf{t}_i \in \{0,1,0,0,0,0\}$ (ang. 1-of- K coding scheme)
- Direktna minimizacija srednje kvadratne napake

$$E(\mathbf{w}) = \frac{1}{2} \sum_{n=1}^N \sum_{k=1}^K (y_k(\mathbf{x}_n; \mathbf{w}) - t_{kn})^2$$

$$= \frac{1}{2} \sum_{n=1}^N \sum_{k=1}^K (\mathbf{w}_k^T \mathbf{x}_n - t_{kn})^2$$

Univerza v Ljubljani
Fakulteta za elektrotehniko

Analiza medicinskih slik

2. letnik 2. stopnje
Elektrotehnika - Biomedicinska tehnika

Učenje z gradientno metodo

- Z uporabo postopka najstrmejšega spusta

(ang. gradient descent)

$$w_{kj}^{(\tau+1)} = w_{kj}^{(\tau)} - \eta \frac{\partial E(\mathbf{w})}{\partial w_{kj}} \Big|_{\mathbf{w}^{(\tau)}}$$

hitrost „učenja“

- „Batch learning“: če uporabimo vse učne vzorce

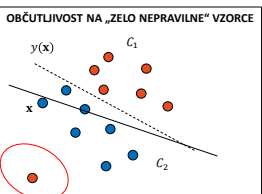
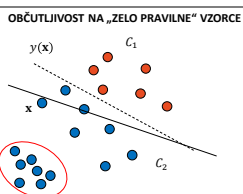
- „Sequential updating“: če uporabimo posamezen vzorec

$$E(\mathbf{w}) = \sum_{n=1}^N E_n(\mathbf{w})$$

$$w_{kj}^{(\tau+1)} = w_{kj}^{(\tau)} - \eta \frac{\partial E_n(\mathbf{w})}{\partial w_{kj}} \Big|_{\mathbf{w}^{(\tau)}}$$

Problemi in omejitve

- Vzorci daleč od optimalne meje imajo lahko zelo velik vpliv na položaj meje



REŠITEV:

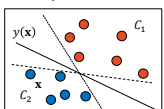
- za določanje meje upoštevaj le vzorce ob optimalni meji (podporni vektorji)

Podporni vektorji: ideja

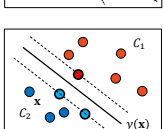
ang. support vector machines (SVM)

- Obstaja lahko več optimalnih linearnih razmejitev

- Kako lahko izberemo optimalno mejo tako, da bo možnost napačne razvrstitev čim manjša?



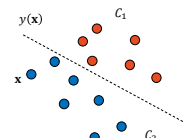
- Izberemo mejo, ki maksimizira razdaljo do učnih vzorcev ob meji
→ tem pravimo podporni vektorji



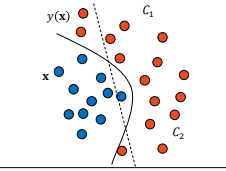
Problemi in omejitve

- Porazdelitev vzorcev oz. značilnic v dveh ali več razredih ni vedno mogoče razmejiti z linearo mejo

OBSTAJA LINEARNA RAZMEJITEV VZORCEV



NE OBSTAJA LINEARNA RAZMEJITEV VZORCEV



REŠITVE:

- nelinearna meja (**visokodimenzionalno vgnezdenje**)
- odekoma linearna ali nelinearna meja (**SVM, večplasti perceptron,...**)

Visokodimenzionalno vgnezdenje

- Za primer odločitvene meje kvadratične oblike
 - $y(\mathbf{x}; \mathbf{w}_0, \mathbf{w}) = w_0 + w_1 u_1 + w_2 u_2 + w_3 u_3 + w_4 u_4 + w_5 u_5$
 - kjer so $u_1 = x_1, u_2 = x_2, u_3 = x_1 x_2, u_4 = x_1^2 \text{ in } u_5 = x_2^2$
- V splošnem lahko uporabimo poljubno nelinearno funkcijo $\phi(\mathbf{x})$, ki preslikava v nov prostor vsak vektor značilnic \mathbf{x}
 - $y(\mathbf{x}; \mathbf{w}_0, \mathbf{w}) = \sum_{j=0}^M w_{kj} \phi_j(\mathbf{x})$, pri čemer $\phi_0(\mathbf{x}) = 1$
 - z odvajanjem vgnezdenih funkcij enostavno dobimo popravek parametrov z gradientno metodo

$$\frac{\partial E_n(\mathbf{w})}{\partial w_{kj}} = \left(\sum_{j=1}^M w_{kj} \phi_j(\mathbf{x}_n) - t_{kn} \right) \phi_j(\mathbf{x}_n)$$

$$= (y_k(\mathbf{x}_n; \mathbf{w}) - t_{kn}) \phi_j(\mathbf{x}_n)$$

primerjaj s
heurističnim
učenjem →

$$w_{kj}^{(\tau+1)} = w_{kj}^{(\tau)} - \eta (y_k(\mathbf{x}_n; \mathbf{w}) - t_{kn}) \phi_j(\mathbf{x}_n)$$

Kodiranje odločitvene meje poljubne oblike

- S kombiniranjem suboptimalnih, „mehkih“ razvrščevalnikov oz. s kombiniranjem linearnih odločitvenih funkcij
 - Odločitvena drevesa in gozdovi ([danes](#))
 - Globoko učenje z večplastnim perceptronom in konvolucijskimi nevronskimi mrežami ([naslednjič](#))

Odločitvena drevesa

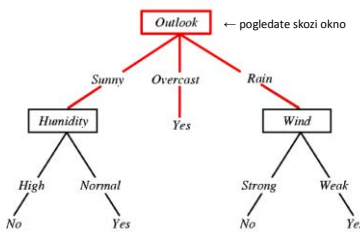


44

- Tehnika poznana že iz 60-ih let
- Uporabna za različne tipe vhodnih vzorcev
 - zvezne in diskretne vrednosti (tudi take brez koncepta podobnosti ali vrstnega reda)
- Enostavna interpretacija: če ... sicer pravila (ang. if-else rules)
- Odprnost na manjkajoče podatke (značilnice)
- V domeni medicine široko uporabna tehnika
 - strojna medicinska diagnostika
 - za detekcijo patologije v medicinskih slikah
 - za namen razgradnje medicinskih slik
 - za določanje relevance značilnic
 - katerikoli problem razpoznavanja in regresije

Kaj je odločitveno drevo?

- Kako se odločite ali greste v soboto zjutraj na tek?



45

Učenje odločitvenih dreves

- Iskanje optimalnega odločitvenega drevesa je računsko zahteveno
- „Požrešna“ rast od zgoraj navzdol
 - začnemo v korenškem vozlišču (ang. root node)
 - delimo učne podatke na neprekrijoče dele (upravljajte) tako, da izberemo značilnico, ki najbolje deli podatke
 - končamo deljenje v vozlišču, ki vsebuje vzorce z enako oznako,
 - sicer rekurzivno nadaljujemo postopek
- Končnim vozliščem pravimo listna vozlišča (ang. leaf nodes)

46

CART ogrodje

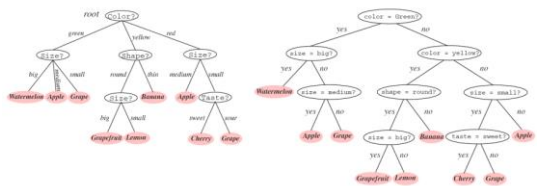
(ang. Classification And Regression Trees)

■ Osnovna vprašanja

- Koliko delitev narediti v vsakem vozlišču?
- Katero značilnico izberemo za delitev vozlišča?
- Katero vozlišče proglosimo za listno vozlišče oz. list?
- Kako preprečiti nasičenje učenja (ang. overfitting)?
- Kako upoštevati „nečista“ (ang. impure) listna vozlišča pri razvrščanju?
- Kako uporabiti v primeru manjkajočih značilnic?

Koliko delitev v vsakem vozlišču?

- Vsako odločitveno drevo lahko prevedemo v ekvivalentno drevo s po dvema delitvama na vozlišče (binarno drevo)
 - drevesa tako rastejo v globino



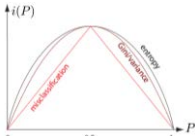
Katero značilnico izberemo za delitev vozlišča?

- Želimo čim enostavnnejša/manjša drevesa
- Optimiziramo mero „nečistosti“ delitve (ang. impurity)
 - idealno po delitvi v vsakem listu dobimo vzorce iz istega razreda
- Cilj: izberi delitev, ki najbolj zmanjša „nečistost“ $i(N)$

$$\Delta i(N) = i(N) - P_L i(N_L) - (1 - P_L) i(N_R)$$

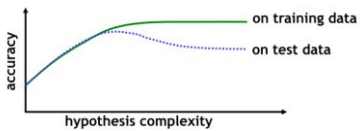
- Mera „nečistoti“ na osnovi entropije
 - information gain

$$i(N) = - \sum_j p(C_j|N) \log_2 p(C_j|N)$$



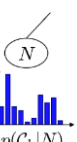
Kako preprečiti nasičenje učenja?

- Odločitveno drevo, ki optimalno razvrsti učne vzorce ni nujno drevo z največjo sposobnostjo pospoljevanja
 - rezultati na testnih vzorcih so lahko mnogo slabši
 - v primeru malo vzorcev za posamezen razred in
 - običajno za pregloboka drevesa
 - rešimo z obrezovanjem dreves (ang. pruning)



Kako upoštevati „nečista“ listna vozlišča pri razvrščanju?

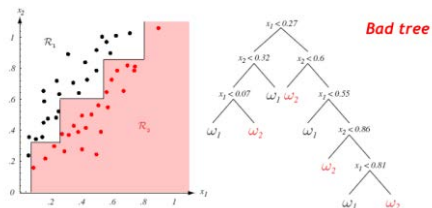
- Označimo listno vozlišče glede na
 - razred s prevladujočim številom vzorcev, vsako listno vozlišče glasuje za razred**
 - $C_N = \arg \max_k p(C_k|N)$
- v vsakem listu zgradimo posteriori porazdelitev verjetnosti razreda glede na učne vzorce, odločamo o razredu na podlagi posteriori verjetnosti akumulirane preko vseh listov



Pomembnost izbire ustreznih značilnic

Neprimerne značilnice

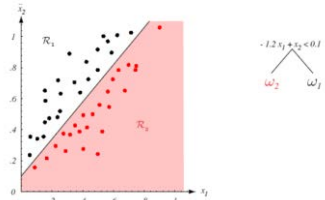
- dobimo kompleksno razmejitev vzorcev (**pospoljevanje?**)



Pomembnost izbire ustreznih značilnic

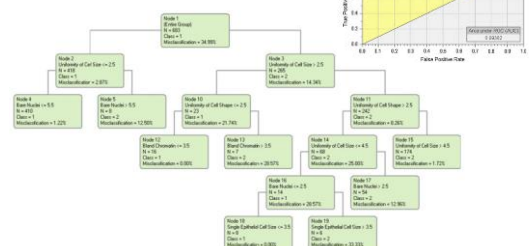
■ Primerne značilnice

- na osnovnih značilnicah uporabimo tehnike kot so PCA, ICA, LDA,...



Odločitveno drevo: diagnostika

■ Diagnostika raka dojka



<https://link.springer.com/article/10.1007/s00521-012-1196-7>

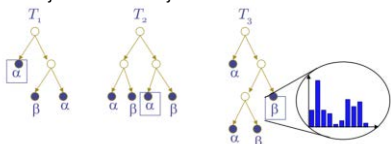
Naključna drevesa

- Pri gradnji odločitvenih dreves večino časa porabimo za iskanje *globalno* optimalne delitve
- Ideja naključnih dreves
 - uporabi globalno suboptimalne delitve
 - uporabi majhno število naključno izbranih atributov za iskanje delitve
 - na teh določi optimalno delitev, ki maksimizira *information gain* oz. minimizira funkcijo napake

$$\Delta E = \sum_{k=1}^K \frac{|S_k|}{|S|} \sum_{j=1}^N p_j \log_2(p_j)$$

Naključni gozdovi

- Nauči večje število L naključnih dreves T

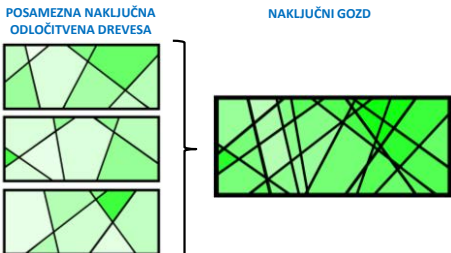


- Preko vseh dreves $l = 1, \dots, L$ in vseh listov η akumuliraj posteriori verjetnosti za namen razvrščanja

$$p(\mathcal{C}|\mathbf{x}) = \frac{1}{L} \sum_{l=1}^L p_{l,\eta}(\mathcal{C}|\mathbf{x})$$

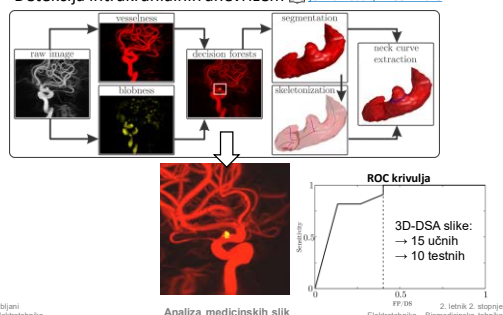
Naključni gozdovi: interpretacija

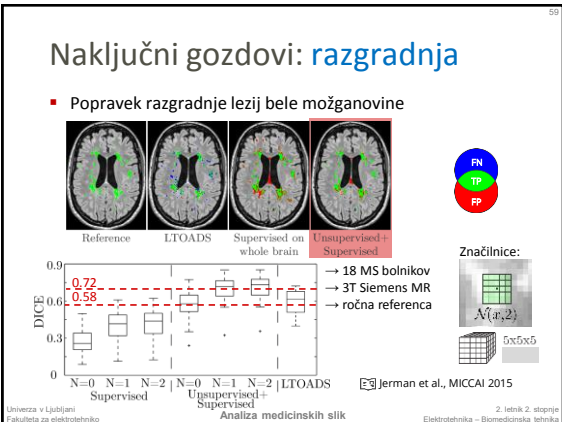
- Določajo poljubno kompleksno odločitveno funkcijo



Naključni gozdovi: detekcija

- Detekcija intrakranialnih anevrizem Jerman et al., MICCAI 2015





60

Povzetek

Σ

- Cilj: „stroji“ se naučijo sposobnosti izvajanja nalog iz opažanj
- Bayesova teorija odločanja
 - temelji na učenju porazdelitev gostote verjetnosti (neparametrično: histogram, k-NN, Parzen jedro; parametrično: GMM)
 - optimalna odločitev minimizira verjetnost napake
- Diskriminantne funkcije na osnovi razdalje
 - linearne funkcije enostavno učimo, poljubno mejo dobimo z vgnezenjenjem značilnic, obstaja več optimalnih mej (SVM!)
- Odločitvena drevesa in naključni gozdovi
 - za zvezne in diskretne ter mešane tipe vzorcev
 - enostavno učenje, dobra interpretacija, določanje stopnje relevantnosti značilnic, zmožnost pospoljevanja je lahko omejena
- Izločanje značilnic v teh postopkih je ročno!

Universita v Ljubljani
Fakulteta za elektrotehniko

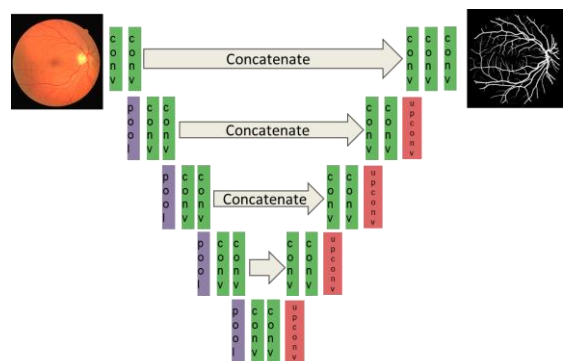
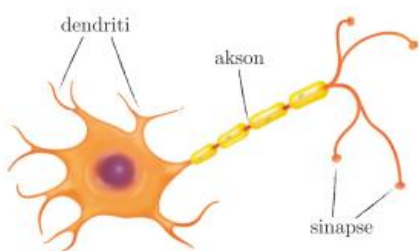
Analiza medicinskih slik

2. letnik 2. stopnje
Elektrotehnika – Biomedicinska tehnika



Globoko strojno učenje

Analiza medicinskih slik



2

Študijska literatura


Guide to Medical Image Analysis
Klaus D. Toennes, Springer, 2012
12. Classification and Clustering
str. 379-411

Machine Learning (SS 2016)
In Advanced Machine Learning (WS 2016)
Prof. Dr. Bastian Leibe
<https://www.vision.rwth-aachen.de/course/8/>
<https://www.vision.rwth-aachen.de/course/12/>



 **RWTH AACHEN UNIVERSITY**
Visual Computing Institute

A tutorial on Deep Learning in Medical Image Analysis
Ivana Išgum, Bob D. de Vos, Nikolas Lessmann, Jelmer M. Wolterink, Mads Nielsen, Akshay Pai



Univerza v Ljubljani
Fakulteta za elektrotehniko

Analiza medicinskih slik

2. letnik 2. stopnje
Elektrotehnika - Biomedicinska tehnika

3

Vsebina

- Kaj je „globoko učenje“?
- Umetne nevronske mreže
 - Večplastni perceptron
- Konvolucijske nevronske mreže
 - Konvolucijski nivo za izločanje značilnic
 - Tehnike in prijemi pri učenju
 - Primeri detekcije in razgradnje patologije v medicinskih slikah

Univerza v Ljubljani
Fakulteta za elektrotehniko

Analiza medicinskih slik

2. letnik 2. stopnje
Elektrotehnika - Biomedicinska tehnika

4

Kaj je „globoko učenje“?

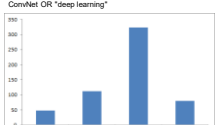
- Podpodročje strojnega učenja
- Osnovano na nevronske mrežah
- Preboj v letu 2012 pri razpoznavi kategorije objektov na barvnih slikah (1000 kategorij, 1 mil slik)
 - zmogljivost (napaka) enaka človeški
- Uporaba na področju analize medicinskih slik strmo narašča

Univerza v Ljubljani
Fakulteta za elektrotehniko

Analiza medicinskih slik

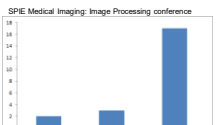
2. letnik 2. stopnje
Elektrotehnika - Biomedicinska tehnika

Pubmed search: "convolutional neural network" OR
convNet OR "deep learning"



Year	Count
2004	~20
2008	~150
2012	~350
2017	~100

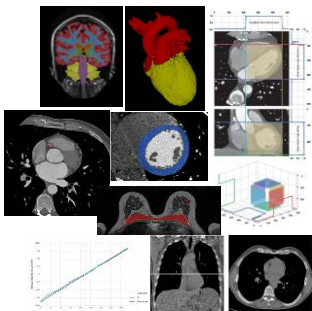
SPIE Medical Imaging: Image Processing conference



Year	Count
2010	~2
2012	~2
2017	~18

Kaj lahko počnemo z „globokim učenjem“?

- Razgradnja
- Lokalizacija
- Kvantifikacija
- Računalniško-podprt dijagnoza
- ...

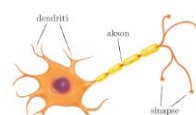
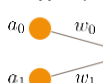


Različice „globokega učenja“

- Umetne nevronske mreže
- Večplastni perceptron
- Konvolucijske nevronske mreže
- Auto-encoders
- Reinforcement learning
- Generative (adversarial) networks
- Recurrent neural networks
- Visual attention networks

Umetne nevronske mreže

- Sestojijo iz povezanih enot a



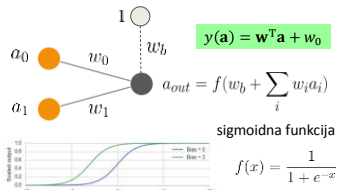
- Povezanost enot določajo uteži w

- Aktivacija enote a_{out} zavisi od
 - aktivacije vhodnih povezanih enot a_0, a_1 ,
 - vrednosti uteži w_0, w_1 in
 - aktivacijske funkcije



Podobnost z linearimi diskriminantnimi funkcijami

- Z aktivacijsko funkcijo **normaliziramo** odziv na interval $[0, 1]$



- Motivacija za uporabo sigmoidne funkcije izhaja neposredno iz Bayesove teorije odločanja

Aktivacijske funkcije

$$g(a) = \sigma(a)$$

$$= \frac{1}{1 + \exp(-a)}$$

Sigmoida

$$g(a) = \max\{0, a\}$$

ReLU

$$g(a) = \tanh(a)$$

$$= 2\sigma(2a) - 1$$

tanh

$$g(a) = ka$$

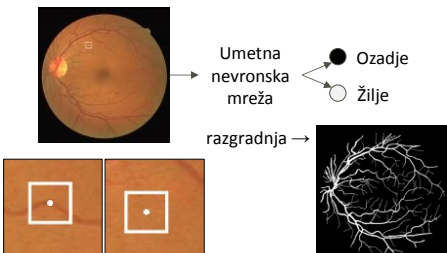
linearna

Leaky ReLU

eLU

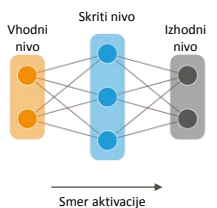
Razgradnja slik retine: primer

- Uporabimo intenzitete koščka slike – piksel z okolico



Večplastni perceptron

- Enote povezane v več nivojih
 - **vhodni nivo** vsebuje značilnice vzorca
 - **skriti nivo** kombinira značilnice
 - **izhodni nivo** določi verjetnost posameznega razreda



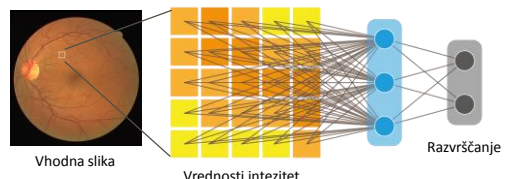
Tradicionalno strojno učenje

- Razvrščanje z značilnicami za vsak košček slike



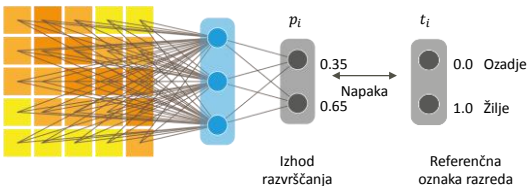
„Globoko“ strojno učenje

- Razvrščevalnik se **nauči najbolj smiselno predstavitev** le na osnovi vrednosti intenzitet



Učenje mreže

- Na podlagi napake med izhodom razvrščanja in referenčnimi oznakami razredov



Funkcije napake

- Za vzorec i in razvrstitev p_i ter referenčno oznako t_i naj bo
 - za regresijo** - zvezne izhodne vrednosti
 - srednja kvadratna napaka

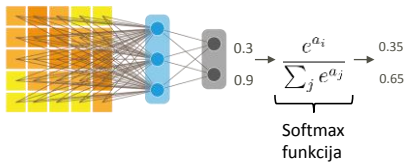
$$L_i = (t_i - p_i)^2$$

- za razvrščanje** - diskretne izhodne vrednosti
 - natančnost (za vrednotenje)
 - $L_i = \mathbb{I}(t_i = \operatorname{argmax}_j p_{i,j})$
 - križna-entropija (za učenje)

$$L_i = - \sum_j t_{i,j} \log p_{i,j}$$

Normalizacija izhoda Softmax

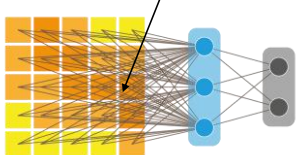
- Pri uporabi **križne entropije** moramo zagotoviti, da bo vsota izhodnih vrednosti enaka 1



Učenje nevronske mreže

- Optimiziramo funkcijo napake L_i

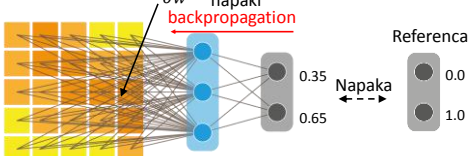
Kako spremeniti utež w , da se bo napaka L_i zmanjšala?



Učenje nevronske mreže

- Optimiziramo funkcijo napake L_i

Prispevek
 $\frac{\partial L_i}{\partial w}$ = uteži w k
napaki



gradientna metoda → $w^{(\tau+1)} = w^{(\tau)} - \eta \frac{\partial L_i}{\partial w^{(\tau)}}$
(podobno kot linearne disk. fun.)

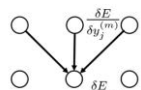
Backpropagation postopek

- Osnovni koraki

1. Razliko med vrednostjo izhoda in reference pretvori v odvod napake

$$E = \frac{1}{2} \sum_{j \in \text{output}} (t_j - y_j)^2$$

2. Izračunaj odvod napake v posamezni enoti skrtega nivoja glede na odvode napake v povezanih izhodih



3. Uporabi odvod napake glede na aktivacijo, zato da dobis odvod napake glede na vhodne uteži

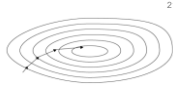
$$\frac{\delta E}{\delta y_j^{(m)}} \rightarrow \frac{\delta E}{\delta w_{ik}^{(m-1)}}$$

Gradientna metoda ali postopek najstrmejšega spusta

- Na smiseln način se premikamo po „prostoru uteži“ do optimalnih uteži w
 - uporabimo vse podatke (**batch**) → računsko prezahtevno
 - uporabimo po en vzorec (**sequential**) → slaba konvergenca
 - uporabimo majhno število vzorcev (**minibatch**) → izboljšana konvergenca in računsko obvladljivo
- Vpliv koraka η (učna konstanta – **learning rate**)

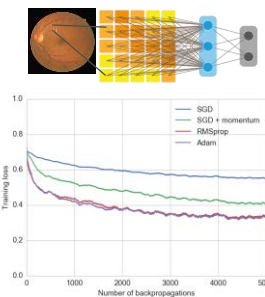


Adaptivni učni korak η



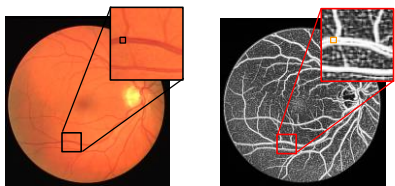
- Intuitivno naj bi η zmanjševali, ko se približujemo optimumu (v začetku daljši koraki, nato krajiš)
- Ta potek sovpada z magnitudo gradienata $\frac{\partial L_i}{\partial w}$, kar izkoričajo nekateri postopki
 - RMSprop** in **AdaDelta** uporabljata tekoče povprečje magnitude gradienata
 - AdaGrad** podobno, vendar vsiljuje monotono padajoče vrednosti η
 - Omenjeni postopki stabilizirajo magnitudo popravkov uteži
 - Adam** upošteva moment (pospešek), kar stabilizira tako magnitudo kot smer popravkov uteži
- trenutno najbolj priporočen postopek

Primerjava učnih postopkov



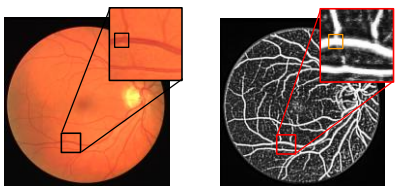
Problemi in omejitve

- Velikost vhodnih koščkov slike omejuje količino informacije
 - primer razgradnje s 5×5 velikostjo koščkov



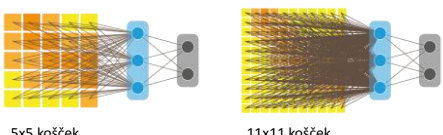
Problemi in omejitve

- Velikost vhodnih koščkov slike omejuje količino informacije
 - primer razgradnje z 11×11 velikostjo koščkov
 - večje=bolje:** več kontekstualne informacije



Problemi in omejitve

- Z večanjem števila povezanih vhodnih vokslov hitro narašča število parametrov
 - večja verjetnost nasičenja učenja in posledično
 - manjša zmogljnost pospoljevanja na novih vzorcih

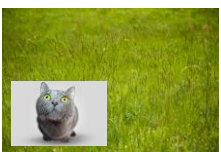


5x5 košček

11x11 košček

Problemi in omejitve

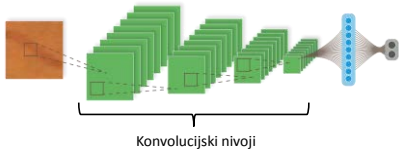
- V mnogih aplikacijah se lahko strukture in objekti pojavijo na različnih lokacijah v sliki
 - težko ustrezno naučiti večplastni perceptron
 - potreba po prostorski invariantni izločanju značilnic



Konvolucijske nevronske mreže

(ang. convolutional neural networks - CNN)

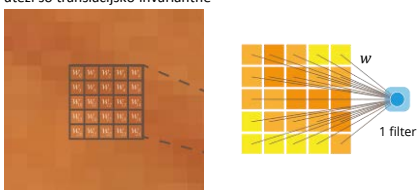
- Konvolucijski nivo** izvaja konvolucijo s sliko tako, da uporablja majhna jedra
 - jedra niso predoločena, ampak se jih naučimo
 - zaporedno zlaganje konvolucijskih nivojev omogoča izločanje kompleksnejših značilnic



Konvolucijski nivoji

Konvolucijski nivo

- Podoben večplastnemu perceptronu
 - vrednosti filtra so uteži w
 - uteži je manj, ker je sprejemno polje lokalno in
 - uteži so translacijsko invariantne



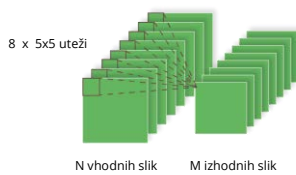
Konvolucijski nivo

- Filter se premika preko celotne slike
 - kjer je veljavna konvolucija (ali pa razširimo sliko)
 - eden izmed parametrov je korak premika (ang. stride)

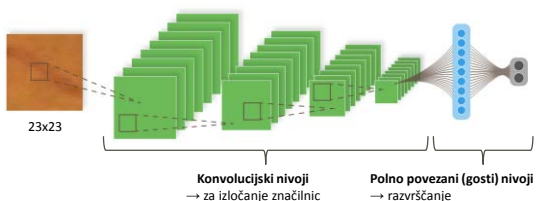


Konvolucijski nivo

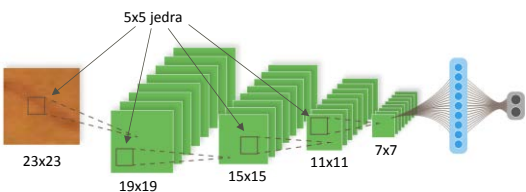
- Vhodnih slik (kanalov) je lahko več (večmodalne slike)
 - in jih preko nivojev kombiniramo v značilnice



Kombiranje konvolucijskega nivoja in večplastnega perceptronja



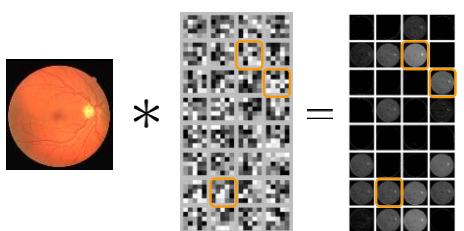
Veljavnost konvolucije in velikosti polj značilnic



Na vsakem robu
izgubimo po 2 piksla
(pri 5x5 jedru)

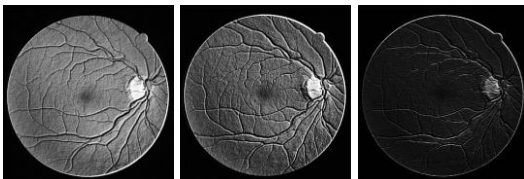
Primeri izločenih značilnic

- Kakšne filtre dobimo po učenju?



Primeri izločenih značilnic

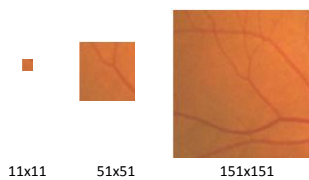
- Kakšne odzive filtrov dobimo po učenju?



Sprejemno polje

(ang. receptive field)

- Področje, ki ga mreža analizira za namen razvrščanja enega piksla/voksla
 - želimo čim večje, zato da uporabimo čim več informacije
 - z večjo globino mreže kodiramo bolj kompleksne značilnike



Problemi in omejitve

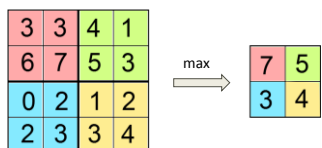
- Veliko sprejemno polje in večja globina mreže pomenita mnogo večje število parametrov za učenje
 - nevarnost nasičenja in manjša zmožnost pospolješevanja na nove vzorce
 - moderne arhitekture uporabljajo pretežno majhna 3×3 jedra in večje globine



Združevanje

(ang. pooling)

- Učinkovit način manjšanja števila parametrov je z združevanjem odzivov
 - izračunamo neko statistiko na podoknih slike, npr. maksimum, povprečje in v naslednji nivo izvomimo le vrednost statistike



38

Združevanje

(ang. pooling)

- Originalna mreža: 8200 parametrov

31x31
27x27
23x23
19x19
15x15
11x11
7x7

- Mreža z združevanjem: 1800 parametrov

31x31
27x27
Analiza medicinskih slik
2x2 pooling
13x13
9x9
2x2 pooling
4x4

Univerza v Ljubljani
Fakulteta za elektrotehniko
2. letnik 2. stopnje
Elektrotehnika - Biomedicinska tehnika

39

Združevanje

(ang. pooling)

- Predstavlja neko obliko translacijske invariance
 - majhni premiki strukture v sliki ne spremenijo odziva mreže
- Zelo uporabno v primeru detekcije**
 - npr. kje je intrakranialna anevrizma?
- Manj primerno v primeru razgradnje**
 - npr. za obrisovanje možganskih struktur
 - razlog: sosednji koščki slike dajo identične značilnice, kar pokvari meje struktur

Univerza v Ljubljani
Fakulteta za elektrotehniko
Analiza medicinskih slik
2. letnik 2. stopnje
Elektrotehnika - Biomedicinska tehnika

40

Večnivojska analiza slike

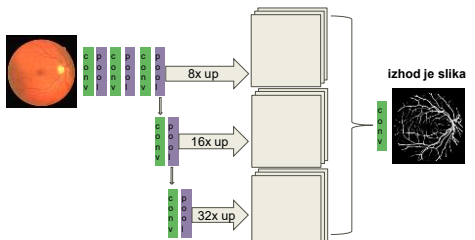
- Mreže z različnimi velikostmi spremembnih polj analizirajo sliko na različni skali – od lokalnih značilnosti (majhno s.p.) do prostorskih razmerij in konteksta

11x11
51x51
151x151
CNN 1
CNN 2
CNN 3

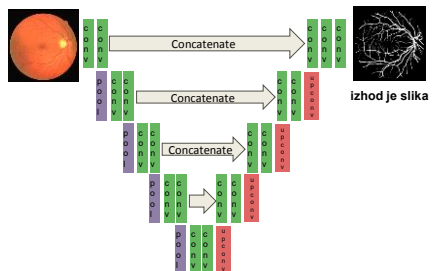
Univerza v Ljubljani
Fakulteta za elektrotehniko
Analiza medicinskih slik
2. letnik 2. stopnje
Elektrotehnika - Biomedicinska tehnika

V celoti konvolucijske mreže

(ang. fully convolutional networks)



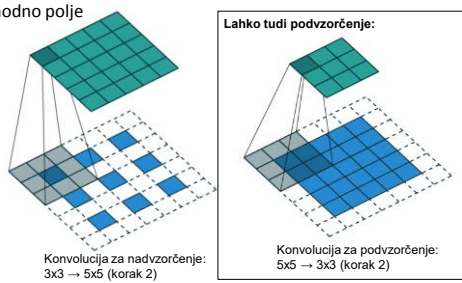
U-net

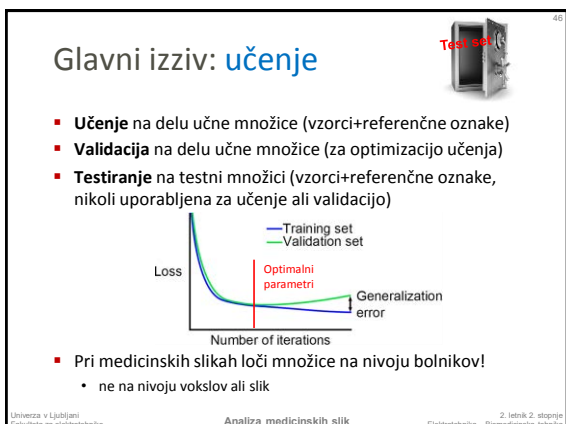
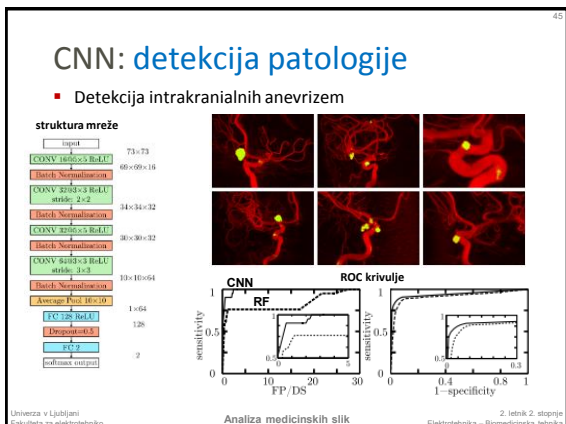
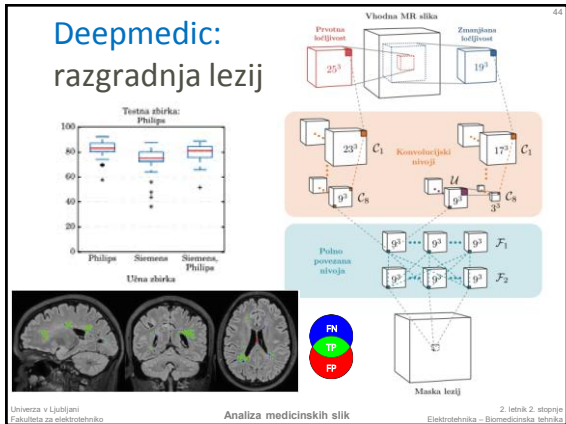


Nadvzorčenje s konvolucijo

(ang. Upsampling, fractionally-strided convolution, deconvolution, transposed convolution)

- Poveča vzorčenje (velikost) izhodnega polja glede na vhodno polje





Glavni izviv: učenje

- Običajno malo vzorcev (slik) in preveč parametrov w

- Rešitev:

- več podatkov (augmentation→)
- zmanjšanje parametrov (pooling)
- regularizacija učenja (adaptivna učna konstanta η , batch normalization, dropout.)

$$\begin{aligned}x &= \sum w_i \theta_i \\ \hat{x} &= \frac{\hat{z} - \mu_B}{\sqrt{\sigma_B}} + \epsilon \\ y &= \gamma \hat{x} + \beta \\ a_{out} &= f(y)\end{aligned}$$



Povzetek



48

- **Umetne nevronske mreže**

- modelirajo biološke sisteme, kjer se nevroni medsebojno povezujejo s sinapsami in dendriti
- osnovni gradniki so enote, uteži-povezave, in aktivacijska funkcija
- večnivojske, izločanje značilnic je samodejno preko učenja povezav

- **Konvolucijske nevronske mreže**

- povezave z vhodi (intenzitete slik) so prostorsko invariantne (konvolucija), izločanje značilnic preko učenja uteži v jedru

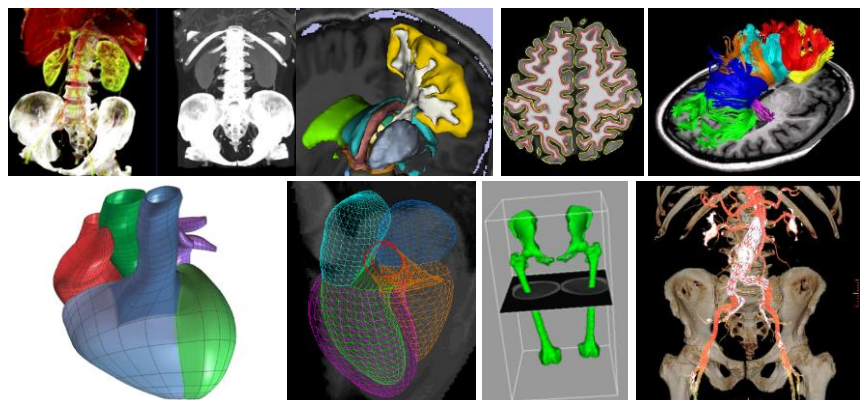
- **Učenje je zahtevno zaradi velikega števila parametrov**

- zmanjšamo število parametrov (velikost jeder, pooling), povečamo učno množico (augmentation)
- optimizacija je lokalna, zato je potrebno skrbno inicializirati parametre, učno konstanto in spremljati potek optimizacije



Modeliranje pojavnosti

Analiza medicinskih slik



2

Študijska literatura


Guide to Medical Image Analysis
Klaus D. Toennes, Springer, 2012
14.3. Principal component analysis
str. 451-454
11.5. Active shape and active appearance models
str. 348-352

Statistical Models of Appearance for Computer Vision
T.F. Cootes and C.J. Taylor, Report 2004
www.face-rec.org/algorithms/AM/app_models.pdf

Univerza v Ljubljani
Fakulteta za elektrotehniko

Analiza medicinskih slik

2. letnik 2. stopnje
Elektrotehnika - Biomedicinska tehnika

3

Vsebina

- Modeliranje pojavnosti: definicija problema
 - viri variabilnosti
 - uporaba modelov pojavnosti
- Delitve in lastnosti postopkov učenja pojavnosti
- Analiza glavnih komponent
 - razcep na singularne vrednosti (SVD)
- Učenje variabilnosti oblike in izgleda
 - ločeno izgled, ločeno oblika, oboje hkrati
- Primeri uporabe

Univerza v Ljubljani
Fakulteta za elektrotehniko

Analiza medicinskih slik

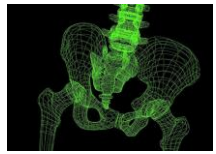
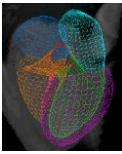
2. letnik 2. stopnje
Elektrotehnika - Biomedicinska tehnika

4

Kaj je to model?

IZ SLOVARJA SLOVENSKEGA KNIJŽNEGA JEZIKA

- modél - a m (ê)
 - 1. predmet, izdelan za ponazoritev, prikaz načrtovanega ali obstoječega predmeta
 - 3. ustaljena oblika česa, po kateri se kaj dela; vzorec, oblika
 - 4.(industrijski) izdelek takih značilnih oblik ali lastnosti, da se po njih razlikuje od drugih istovrnnih izdelkov



Univerza v Ljubljani
Fakulteta za elektrotehniko

Analiza medicinskih slik

2. letnik 2. stopnje
Elektrotehnika - Biomedicinska tehnika

Modeliranje pojavnosti

DEFINICIJA PROBLEMA

- Model pojavnosti opisuje variabilnost subjekta oz. subjektov zanima na zajetih slikah in ga zgradimo na podlagi slik množice subjektov zajetih pod podobnimi pogoji, z njim pa lahko izboljšamo natančnost in zanesljivost postopkov razpoznavanja, detekcije, sledenja in analize teh subjektov.

- Možni viri variabilnosti
 - biološka variabilnost množice subjektov
 - sprememba položaja subjekta
 - različne nastavitev zajema slik
 - sprememba subjekta (staranje, patologija)
 - deformacija objekta oz. sprememba oblike

Univerza v Ljubljani
Fakulteta za elektrotehniko

Analiza medicinskih slik

2. letnik 2. stopnje
Elektrotehnika – Biomedicinska tehnika

Modeliranje pojavnosti

DEFINICIJA PROBLEMA

- Osredotočimo se na neko specifično variabilnost
 - kompenziramo znanje oz. nekoristne vire variabilnosti
 - npr. odpravimo prostorska in sivinska neskladja ([poravnava slik](#), [kalibracija sivin](#))

- Oblika**
 - tista geometrijska informacija, ki je invariantna na določen razred prostorskih preslikov
- Izgled**
 - zavisi od oblike informacije
 - tista geometrijska in sivinska informacija, ki je invariantna na določen razred prostorskih in sivinskih preslikov

Viri variabilnosti

TOGI OBJEKTI

- Pogledi objekta
 - sprememba položaja objekta in/ali kamere
- Odbojnost površine
 - različni materiali in barve ali staranje
- Osvetlitev
 - sprememba jakosti in/ali smeri osvetlitve
- lahko kombinacija različnih virov

7

Univerza v Ljubljani
Fakulteta za elektrotehniko

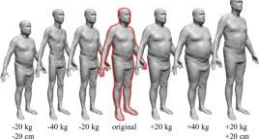
Analiza medicinskih slik

2. letnik 2. stopnje
Elektrotehnika – Biomedicinska tehnika

8

Viri variabilnosti

NETOGI OBJEKTI

- Sprememba oz. deformacija oblike
→ brez informacije o teksturi
- 
- Sprememba oblike in izgleda
→ tekstura se spreminja zaradi spr. oblike
- 
- Sprememba oblike, izgleda in tekture
- 

Univerza v Ljubljani
Fakulteta za elektrotehniko

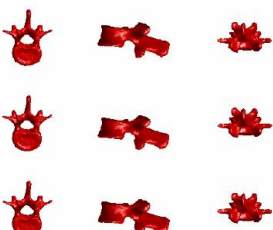
Analiza medicinskih slik

2. letnik 2. stopnje
Elektrotehnika - Biomedicinska tehnika

9

Uporaba modelov pojavnosti

V BIOMEDICINI

- Proučevanje variabilnosti
→ variabilnost oblike anatomskih struktur (npr. vretenc)
- 
- Razgradnja slik
→ učenje pojavnosti iz že razgrajenih slik in uporaba modela na drugih slikah
- 

Univerza v Ljubljani
Fakulteta za elektrotehniko

Analiza medicinskih slik

2. letnik 2. stopnje
Elektrotehnika - Biomedicinska tehnika

10

Uporaba modelov pojavnosti

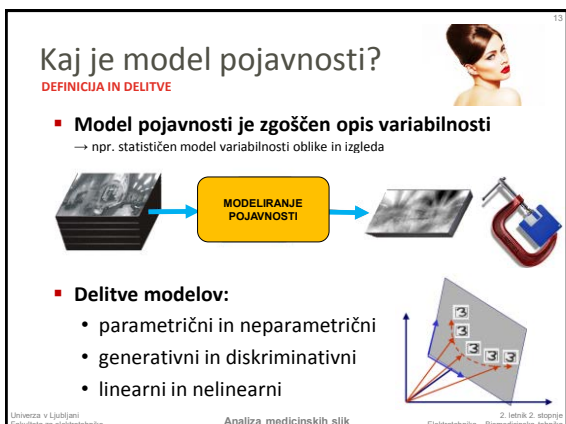
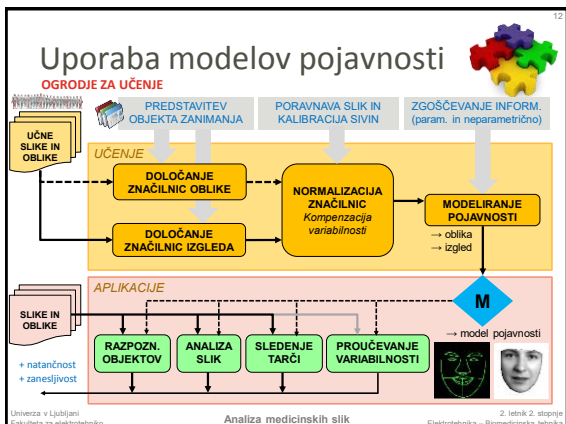
V VARNOSTNIH SISTEMIH, AVTIH, FOTOAPARATIH

- Detekcija in razpoznavanje objektov zanimanja
(ang. object detection and recognition)
 - detekcija: trke in številke, prstni odtisi, obrazci ([kje se nahaja v sliki?](#))
 - razpoznavanje: identifikacija oseb, kategorizacija objektov, razumevanje prizora, samodejno opisovanje slik, visokonivojska podobnost med slikami ([lastnosti?](#))
- 
- 

Univerza v Ljubljani
Fakulteta za elektrotehniko

Analiza medicinskih slik

2. letnik 2. stopnje
Elektrotehnika - Biomedicinska tehnika



Modeliranje pojavnosti

UČENJE NA PODLAGI PODPROSTOROV

14

- Slike ali oblike predstavimo kot vektorje v N -razsežnem vektorskem prostoru ($N = X \times Y$)

Učne slike → v obliku vektorjev BAZNI VEKTORJI PREDSTAVITEV SLIK OZ. OBLIK

Analiza medicinskih slik

2. letnik 2. stopnje
Elektrotehnika - Biomedicinska tehnika

Modeliranje pojavnosti

UČENJE NA PODLAGI PODPROSTOROV

15

- Lastnosti postopkov učenja predstavitev slik oz. oblik:
 - optimalna rekonstrukcija → PCA (principal component analysis)
 - optimalno ločevanje → LDA (linear discriminant analysis)
 - optimalna korelacija → CCA (canonical correlation analysis)
 - neodvisni faktorji → ICA (independent component analysis)
 - nenegativni faktorji → NMF (non-negative matrix factorization)
 - nelinearne razširitev → kernel methods
- Opis slike oz. oblike z linearno kombinacijo baznih vektorjev u in linearnih koeficientov q

Učne slike = q_1 + q_2 + q_3 + ...

Analiza medicinskih slik

2. letnik 2. stopnje
Elektrotehnika - Biomedicinska tehnika

Modeliranje pojavnosti

UČENJE NA PODLAGI PODPROSTOROV

16

- Za učne slike, ki predstavljajo točke v N -dimenzionalnem prostoru poišči nižje dimenzionalni prostor, v katerega se te točke preslikajo

→ nižje dimenzionalni prostor z baznimi vektorji

Analiza medicinskih slik

2. letnik 2. stopnje
Elektrotehnika - Biomedicinska tehnika

Analiza glavnih komponent

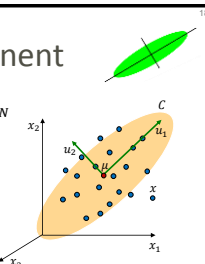
PRINCIPAL COMPONENT ANALYSIS

- Za dane točke $\{x_1, x_2, \dots, x_K\}, x_i \in R^N$
 - Iščemo linearne preslikavo oz. linearne kombinacije ortogonalnih baznih vektorjev u
-
- $x = u_1 + u_2 + u_3 + \dots + u_M \quad \Rightarrow \quad x \approx U \cdot q$
- aproksimiramo vhodni vzorec z $M \ll N$
bazni vektorji u in linearjni koeficienti q
- katera projekcija minimizira napako rekonstrukcije → $E^2 = \sum_i \|x_i - Uq\|^2$

Analiza glavnih komponent

PRINCIPAL COMPONENT ANALYSIS

- Za dane točke $\{x_1, x_2, \dots, x_K\}, x_i \in R^N$
 - Usredisci tocke
- $$\mu = \frac{1}{N} \sum_i x_i$$
- $A = [x_1 - \mu, x_2 - \mu, \dots, x_N - \mu], x_i \in R^N$
- Izračunaj kovariančno matriko
 - $C = A \cdot A^T$
 - in njene lastne vektorje u_m in lastne vrednosti λ_m
 - $Cu_m = \lambda_m u_m$
 - Lastni vektorji predstavljajo ortogonalno bazo
 - za ortogonalne bazne vektorje velja $u_i^T u_j = 0$



Razcep na singularne vrednosti

SINGULAR VALUE DECOMPOSITION

- SVD: Če je A realna $M \times N$ matrika, potem obstajata ortogonalni matriki U ($M \times M$) in V ($N \times N$) tako, da
- velja
- $$\rightarrow U^T AV = \Sigma = diag(\sigma_1, \dots, \sigma_p), p = \min\{M, N\}$$
- $$\begin{bmatrix} A \\ \text{min} \end{bmatrix} = \begin{bmatrix} U \\ \text{min} \end{bmatrix} \begin{bmatrix} \Sigma \\ \text{max} \end{bmatrix} \begin{bmatrix} V^T \\ \text{max} \end{bmatrix}$$
- Singularne vrednosti σ_p : nenegativni kvadratni korenji lastnih vrednosti kovariančne matrike AA^T
 - AA^T je simetrična realna matrika
 - vse lastne in singularne vrednosti so realne in nenegativne
 - Singularne vrednosti σ_p so urejene po velikosti od največje do najmanjše

SVD za analizo glavnih komponent

PRINCIPAL COMPONENT ANALYSIS

- S SVD lahko učinkovito izračunamo bazne vektorje u

$$\rightarrow AA^T = (U\Sigma V^T)(U\Sigma V^T)^T = U\Sigma V^T V\Sigma U^T = U\Sigma^2 U^{-1}$$

$$\rightarrow (AA^T)U = U\Sigma^2$$

$$\rightarrow (AA^T)u = u \lambda$$

- Matrika U torej predstavlja lastne oz. bazne vektorje PCA

- Pomembna lastnost:** razdalja v lastnem podprostoru $x \approx U \cdot q$ je korelirana z razdaljo v originalnem prostoru slik x

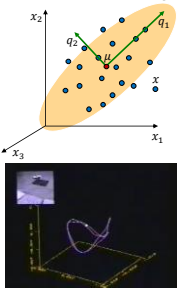
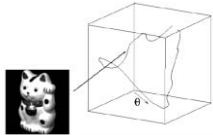
$$\rightarrow \|x_i - x_j\| \approx \|q_i - q_j\|$$



Analiza glavnih komponent

PRINCIPAL COMPONENT ANALYSIS

- PCA minimizira napako rekonstrukcije E^2
- PCA maksimizira varianco projekcij
- Ne upošteva informacije o razredih zato je diskriminacija slabša



\rightarrow objekte predstavimo v M -dimensionalnem podprostoru
 \rightarrow parametrični podprostor kodira orientacijo, položaj in osvetlitev objekta, zato ga uporabimo za razpoznavanje



Analiza glavnih komponent

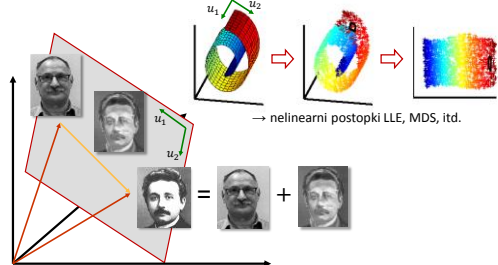
PRINCIPAL COMPONENT ANALYSIS

- PCA: podprostor ni ravnila ampak ukrivljena ploskev

Analiza glavnih komponent

PRINCIPAL COMPONENT ANALYSIS

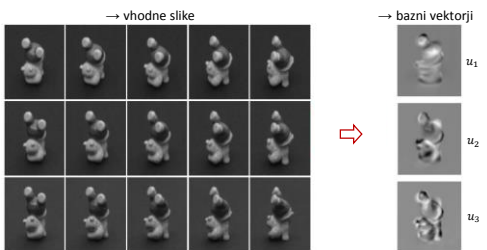
- Problemi s PCA: podprostor ni ravnila ampak ukrivljena ploskev



Analiza glavnih komponent

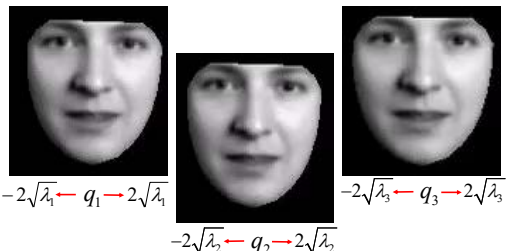
PRINCIPAL COMPONENT ANALYSIS

- Primer baznih vektorjev oz. slik



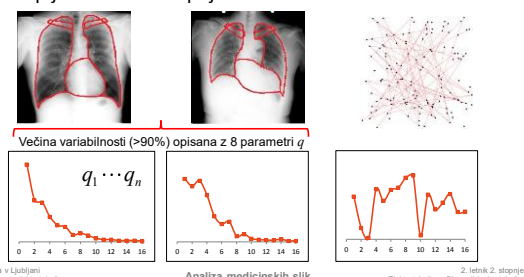
Analiza variabilnosti izgleda

- Spreminjamamo linearne koeficiente q_1, q_2, q_3
→ ki ustrežajo baznim vektorjem u_1, u_2, u_3 s tremi največjimi lastnimi vrednostmi $\lambda_1, \lambda_2, \lambda_3$



Pomen linearnih koeficientov q

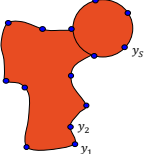
- Primer opisa razgradnje oblike rentgenskih slik pljuč z modelom pojavnosti



Modeliranje oblike

- Obliko lahko predstavimo z nizom/vektorjem točk
 - točke na površini oblike, anatomski značilne točke (ang. *landmark points*), matematične (ukrivljenost)
- Za dane točke $\{y_1, y_2, \dots, y_S\}$, $y_i \in R^{d \times 1}$ ustvarimo vektor oblike

$$x = [y_1^T, y_2^T, \dots, y_S^T]^T, x \in R^{S \times d}$$

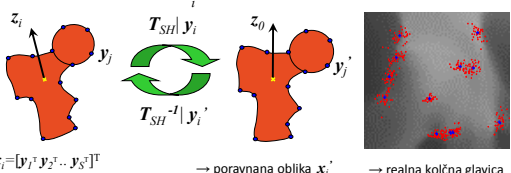


- Obliko modeliramo iz nabora večih vektorjev oblike x_1, \dots, x_K

Modeliranje oblike

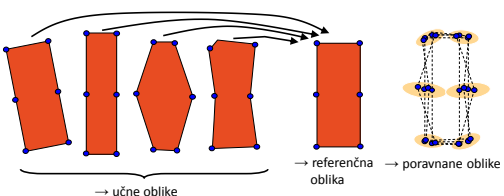
- Poravnava učnih oblik na referenčno
 - iterativni postopek (ang. *Procrustes analysis*)
 - iskanje sovpadajočih oz. korespondenčnih parov točk (ICP, RANSAC, EM)
 - minimiziramo srednjo kvadratno napako

$$E = \sum_i \|T_{SH}(y_i) - y_i\|^2$$



Modeliranje oblike

- Poravnava učnih oblik na referenčno obliko

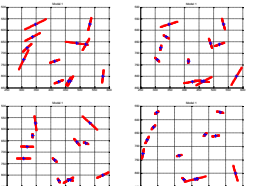


29

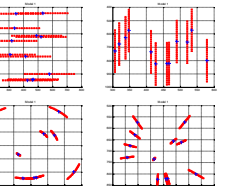
Modeliranje oblike

- Primer variabilnosti točk kolčne glavice

→ Parametri oblike



→ Parametri poze



Univerza v Ljubljani
Fakulteta za elektrotehniko
Analiza medicinskih slišk
2. letnik 2. stopnje
Elektrotehnika – Biomedicinska tehnika

30

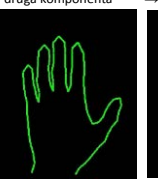
Analiza variabilnosti oblike

- Spreminjamamo linearne koeficiente q_1, q_2, q_3
→ ki ustrežajo baznim vektorjem s tremi največjimi lastnimi vrednostmi $\lambda_1, \lambda_2, \lambda_3$

→ prva komponenta



→ druga komponenta



→ tretja komponenta



Univerza v Ljubljani
Fakulteta za elektrotehniko
Analiza medicinskih slišk
2. letnik 2. stopnje
Elektrotehnika – Biomedicinska tehnika

31

Analiza variabilnosti vretenc

povprečje






q_1 →






q_2 →

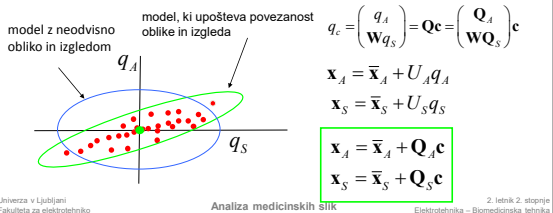





Univerza v Ljubljani
Fakulteta za elektrotehniko
Analiza medicinskih slišk
2. letnik 2. stopnje
Elektrotehnika – Biomedicinska tehnika

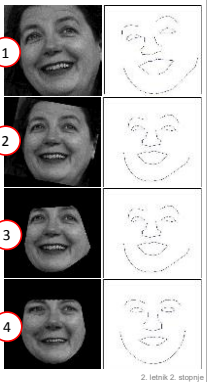
Modeliranje oblike in izgleda

- Za vsako sliko v učni množici poiščemo model izgleda in oblike z linearimi koeficienti q_A in q_S
- Ustvarimo nov vektor $q_{AS} = [q_A^T, Wq_S^T]^T$ in naredimo PCA → dobimo bolj zgožleni opis oblike in izgleda

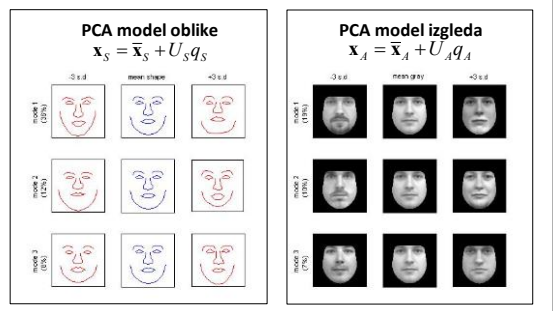


Učenje združenega modela pojavnosti

- Učni objekti naj bodo določeni s slikami in točkami obrisa
- Postopek:**
 - Obreži ozadje v slikah
 - Poravnaj oblike (translacija, rotacija, skaliranje) in prevzorči slike
 - Maskiraj slike zunaj konveksne lupine obrisa
 - Poravnaj oblike in slike na povprečno obliko
 - Medsebojno normaliziraj intenzitete



Združen model pojavnosti



Modeliranje oblike in izgleda

- Vpliv koeficientov q_2 in c_1



IZGLED



$$-2\sqrt{\lambda_2} \rightarrow q_2 \rightarrow 2\sqrt{\lambda_2}$$

Univerza v Ljubljani

Fakulteta za elektrotehniko

IZGLED IN OBЛИKA



$$-2\sqrt{\lambda_1} \rightarrow c_1 \rightarrow 2\sqrt{\lambda_1}$$

Analiza medicinskih slik

2. letnik 2. stopnje

Elektrotehnika - Biomedicinska tehnika

Analiza variabilnosti povezanih struktur



Univerza v Ljubljani

Fakulteta za elektrotehniko

Analiza medicinskih slik

2. letnik 2. stopnje

Elektrotehnika - Biomedicinska tehnika

Razgradnja slike medenice



Univerza v Ljubljani

Fakulteta za elektrotehniko

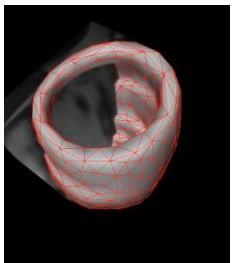
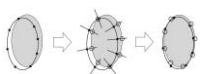
Analiza medicinskih slik

2. letnik 2. stopnje

Elektrotehnika - Biomedicinska tehnika

Modeliranje spremnjanja oblike

- Razgradnjva srčne mišice
 - uporabno za diagnostiko
 - potrebno prileganje modela



Povzetek

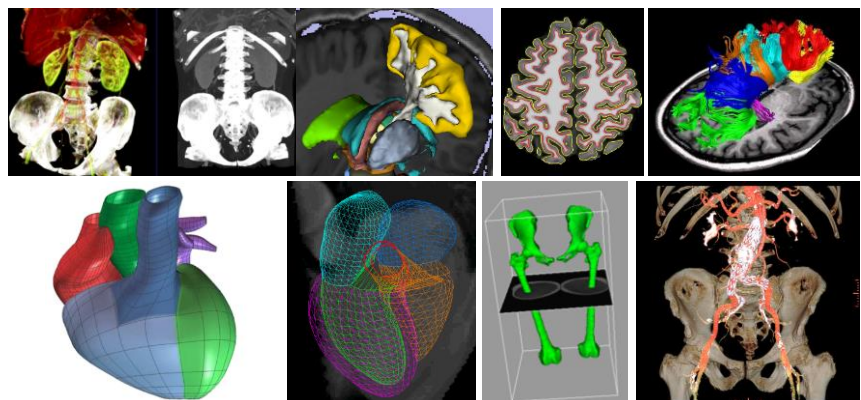


- Model pojavnosti na zgoščen način opisuje čim več variabilnosti oblike in/ali izgleda subjekta oz. subjektov zanimanja
 - zgradimo ga na podlagi analize množice slik
- Slike ustrezno predobdelamo tako, da kompenziramo znano variabilnost oblike ali izgleda
 - potrebnna predhodna poravnava slik in kalibracija/preslikovanje sivin
- Izbira načina modeliranja pojavnosti zavisi od namena uporabe
 - optimalna rekonstrukcija (PCA – analiza glavnih komponent), optimalno ločevanje (LDA), optimalna korelacija (CCA), neodvisni faktorji (ICA),...
- Modeli pojavnosti imajo več področij uporabe
 - proučevanje variabilnosti (normalna biološka variabilnost, npr. kostnih struktur)
 - razpoznavanje anatomskih struktur in sledenje gibajočim strukturam (npr. srce)
 - izboljšanje zanesljivosti razgradnje struktur z upoštevanjem biološke variabilnosti



Razgradnja z modeli

Analiza medicinskih slik



2

Študijska literatura



Guide to Medical Image Analysis
Klaus D. Toennes, Springer, 2012
11. Detection and Segmentation by Shape and Appearance
str. 333-378



Statistical Models of Appearance for Computer Vision
T.F. Cootes and C.J. Taylor, Report 2004
www.face-rec.org/algorithms/AM/app_models.pdf

Univerza v Ljubljani
Fakulteta za elektrotehniko

Analiza medicinskih slik

2. letnik 2. stopnje
Elektrotehnika – Biomedicinska tehnika

3

Vsebina

- Modeli oblike
 - Vrste modelov in strategija razgradnje
- Statistični modeli
 - Aktivni modeli oblike in izgleda
- Deformabilni modeli
 - Parametrični in geometrijski
 - Primer razgradnje vretenca in pedikla s superkvadriki
- Fizikalni modeli
 - modeli utež-vzmet, modeli s končnimi elementi

Univerza v Ljubljani
Fakulteta za elektrotehniko

Analiza medicinskih slik

2. letnik 2. stopnje
Elektrotehnika – Biomedicinska tehnika

4

Razvrstitev postopkov

(glede na način delovanja razgradnje)

	3. Znanje	Modeli oblik Modeli pojavnosti • Na osnovi pravil • Povezane površine • Deformabilni organizmi	Način delovanja: Na osnovi atlasov	Način delovanja: Na osnovi pravil • Strojno učenje
	2. Optimizacija	Deformabilni modeli iskanje golvov	• Minimalne poti • Sledenje tarče • Iskanje grafov • Nevronске mreže • Večresolucijski postopki	Način delovanja: Statistično razpoznavanje vzorcev • Rojenje c-tih povredij • Nevronске mreže • Večresolucijski postopki
	1. Ad-hoc	• Rast področja • Ločevanje/druževanje področij	• Upravljanje (intenzitet) • Rast področja • Ločevanje/druževanje področij	• Upravljanje (intenzitet)
		Način delovanja: Način delovanja: Način delovanja:	Način delovanja: Sledenje meje	Način delovanja: Razvrstitev piksov

Univerza v Ljubljani
Fakulteta za elektrotehniko

Analiza medicinskih slik

2. letnik 2. stopnje
Elektrotehnika – Biomedicinska tehnika

Razgradnja z modeli

Model

- Opisuje atribute objektov zanimanja
- Naprimer obliko in izgled (pojavnost)
- Zgradimo ga iz množice učnih slik in oblik

Prileganje

- **Zunanja energija:** isčemo pripadajoče pare točk, prekrivajoča slikovno informacijo
- **Notranja energija:** regulariziramo s prostostnimi stopnjami, možnimi deformacijami modela
- Optimiziramo mero kakovosti prileganja (ang. quality-of-fit; QoF)

Razgradnja

- Model z optimalnimi parametri določa razgradnjo oblike in/ali slike
- Poleg razgradnje tudi detektiramo objekt v sliki

5

Razgradnja z modeli

- **Katere modela** že poznate?
- PCA, predloge (atlase), parametrične krivulje, FEM?

- **Prileganje** deformira model z minimizacijo energije

$$E = E_{ext} + \alpha E_{int}$$

- **zunanja energija** E_{ext} oz. kriterij skladnosti meri stopnjo skladnosti modela s sliko – odstopanje med trenutnim modelom in dano sliko
- **notranja energija** E_{int} oz. kriterij deformacije meri stopnjo deformacije modela – odstopanje trenutnega modela od referenčne, nedeformirane konfiguracije modela

6

Motivacija razgradnje z modeli

- Ali intenziteta nosi zadostno informacijo za razgradnje medicinskih slik?

7

Primer razgradnje pljučnih kril v CT

- **Ali intenziteta nosi zadostno informacijo za razgradnjo medicinskih slik?**
 - Poleg dejstva, da so pljučna krila na CT sliki temnejša od okolice, katero informacijo lahko še uporabimo?
 - Človek tudi brez poznavanja dejanskih intenzitet in izločanja robov lahko prepozna pljučna krila. Kako bi to sposobnost „vgradili“ v računalniški algoritem?

OBLIKA?

Univerza v Ljubljani
Fakulteta za elektrotehniko

Anala medicinskih slik

2. letnik 2. stopnje
Elektrotehnika – Biomedicinska tehnika

Pojmovanje oblike objekta

- **Definicije „oblake“**
 - Zgradba objekta ali njegove zunanje meje, obrisa ali zunanje površine
 - Vse geometrijske lastnosti objekta, potem ko izločimo variabilnost poze (translacija, rotacija, skaliranje)
- **Podobnost oblike med dvema objektoma**
 - Kdaj imata dva objekta podobno obliko?
 - Kako lahko merimo stopnjo podobnosti?
 - Lahko avtomatsko ustvarimo nove različice oblike objekta?

Univerza v Ljubljani
Fakulteta za elektrotehniko

Anala medicinskih slik

2. letnik 2. stopnje
Elektrotehnika – Biomedicinska tehnika

Podobnost med oblikami

- **Ni enostavno določljiva kot**
 - razdalja med mejami objektov
 - število oglišč
 - meritve kotov in vdolbin

OBЛИКИ NISTA PODOBNI

OBЛИKE SO MEDSEBOJNO PODOBNE

Univerza v Ljubljani
Fakulteta za elektrotehniko

Anala medicinskih slik

2. letnik 2. stopnje
Elektrotehnika – Biomedicinska tehnika

11

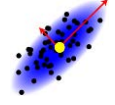
Razgradnja s statističnimi modeli

- Vsebujejo predznanje o problemu**
 - variabilnost oblike
 - variabilnost izgleda (intenzitet)
 - ali celo oboje

model izgleda:
 $\mathbf{x}_A = \bar{\mathbf{x}}_A + U_A q_A$

model oblike:
 $\mathbf{x}_S = \bar{\mathbf{x}}_S + U_S q_S$

združen model:
 $q_c = \begin{pmatrix} q_A \\ Wq_S \end{pmatrix} = \mathbf{Q}\mathbf{c} = \begin{pmatrix} \mathbf{Q}_A \\ W\mathbf{Q}_S \end{pmatrix} \mathbf{c}$



Bazne vektorje U_A, U_S dobimo z modeliranjem, npr. PCA.



$\mathbf{x}_A = \bar{\mathbf{x}}_A + \mathbf{Q}_A \mathbf{c}$

$\mathbf{x}_S = \bar{\mathbf{x}}_S + \mathbf{Q}_S \mathbf{c}$

Mean

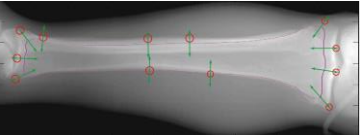
Univerza v Ljubljani
 Fakulteta za elektrotehniko Analiza medicinskih slik 2. letnik 2. stopnje
 Elektrotehnika - Biomedicinska tehnika

12

Aktivni modeli oblike ACTIVE SHAPE MODELS (ASM)

- Iterativni postopek prileganja modela:**
 1. Inicializiraj povprečni model oblike blizu dejanskega položaja tarče v novi sliki
 2. Za vsako točko \mathbf{x}_p na objektu, išči nov položaj $\mathbf{x}_{p'}$, v smeri pravokotno na tangento obrisa/površine
 3. Glede na nove položaje točk $\mathbf{x}_{p'}$, določi optimalne linearne koeficiente modela z reševanjem $q_S^{l+1} = U_S^T(\mathbf{x}_{p'} - \bar{\mathbf{x}}_S)$
 4. Ponovljaj koraka 2.-3. do konvergencije

model oblike:
 $\mathbf{x}_S = \bar{\mathbf{x}}_S + U_S q_S$

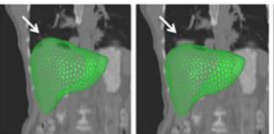
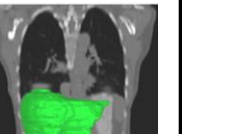
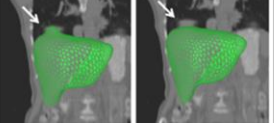
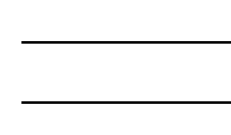


Univerza v Ljubljani
 Fakulteta za elektrotehniko Analiza medicinskih slik 2. letnik 2. stopnje
 Elektrotehnika - Biomedicinska tehnika

13

Primer razgradnje jeter

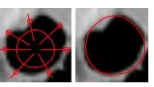
Prileganje točk
Prileganje modela
Referenčna razgradnja

Začetek 		
Konec 		

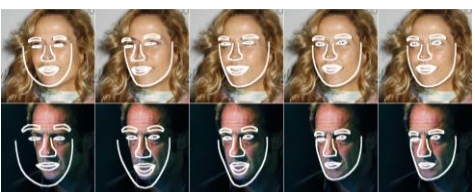
Univerza v Ljubljani
 Fakulteta za elektrotehniko Analiza medicinskih slik 2. letnik 2. stopnje
 Elektrotehnika - Biomedicinska tehnika

14

Aktivni modeli oblike



- Končni rezultat je optimalna razgradnja tarče v novi sliki na podlagi prvih t lastnih vektorjev modela oblike $U_S(t) = [u_1, \dots, u_t]$
 - Povečevanje t bo izboljšalo natančnost razgradnje (**kakovost**)
 - Zmanjševanje t bo izboljšalo konvergenco postopka (**zanesljivost**)

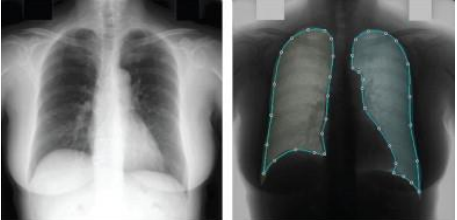


Univerza v Ljubljani
Fakulteta za elektrotehniko Analiza medicinskih slik 2. letnik 2. stopnje
Elektrotehnika – Biomedicinska tehnika

15

Aktivni modeli oblike

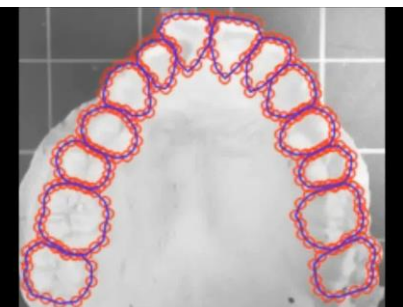
- Razgradnjo oz. obris tarče dobimo tako, da povežemo točke modela v obris (2D) ali površino (3D)



Univerza v Ljubljani
Fakulteta za elektrotehniko Analiza medicinskih slik 2. letnik 2. stopnje
Elektrotehnika – Biomedicinska tehnika

16

Primer razgradnje zobnega odlitka



Univerza v Ljubljani
Fakulteta za elektrotehniko Analiza medicinskih slik 2. letnik 2. stopnje
Elektrotehnika – Biomedicinska tehnika

Aktivni modeli pojavnosti

ACTIVE APPEARANCE MODELS (AAM)

- S PCA lahko modeliramo hkrati obliko in izgled

združen model:

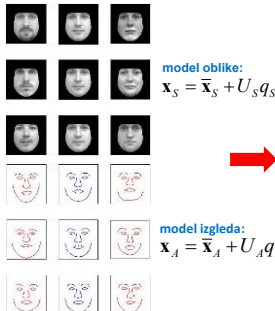
$$q_c = \begin{pmatrix} q_A \\ Wq_S \end{pmatrix} = Q\mathbf{c} = \begin{pmatrix} Q_A \\ WQ_S \end{pmatrix} \mathbf{c} \rightarrow \begin{aligned} \mathbf{x}_A &= \bar{\mathbf{x}}_A + Q_A \mathbf{c} \\ \mathbf{x}_S &= \bar{\mathbf{x}}_S + Q_S \mathbf{c} \end{aligned}$$

- Kako prilegati obliko in izgled hkrati?

OBLIKA: različne oblike opisane z enakim številom parametrov (koordinate točk), z relativno malo parametri, enostavno iskanje pripadajočih točk med oblikama, enostaven izračun povprečne oblike in PCA

IZGLED (INTENZITETA): vsak objekt je opisan z različnim številom piklov oz. vokslov (>100.000 za 2D in $>1\text{mil}$ za 3D slike), iskanje pripadajočih parov intenzitet ni enostavno

Združen model pojavnosti



združen model:
 $\mathbf{x}_A = \bar{\mathbf{x}}_A + Q_A \mathbf{c}$
 $\mathbf{x}_S = \bar{\mathbf{x}}_S + Q_S \mathbf{c}$

model oblike:
 $\mathbf{x}_S = \bar{\mathbf{x}}_S + U_S q_S$

model izgleda:
 $\mathbf{x}_A = \bar{\mathbf{x}}_A + U_A q_A$

Prileganje aktivnega modela pojavnosti

- Postopek prileganja združenega modela:

- Naj bo kriterij ujemanja med trenutnim modelom izgleda \mathbf{x}_A^i v iteraciji i in sliko tarče \mathbf{x} razlika $\delta\mathbf{x}_A^i = \mathbf{x} - \mathbf{x}_A^i$
- Naučimo regresijsko matriko A z naključnimi spremembami modela PCA (**učna faza**)

$$\left. \begin{aligned} \mathbf{x}_A &= \bar{\mathbf{x}}_A + Q_A \mathbf{c} \\ \mathbf{x}_S &= \bar{\mathbf{x}}_S + Q_S \mathbf{c} \end{aligned} \right\} [\delta\mathbf{c}_1, \dots, \delta\mathbf{c}_n] = A \cdot [\delta\mathbf{x}_{A,1}, \dots, \delta\mathbf{x}_{A,n}]$$
- Uporabimo regresijski model, da določimo spremembe parametrov modela (**prileganje**)

$$\delta\mathbf{c} = A \delta\mathbf{x}_A^i$$

Primer prileganja aktivnega modela pojavnosti

- Prileganje modela obraza



Univerza v Ljubljani
Fakulteta za elektrotehniko

Analiza medicinskih slik

2. letnik 2. stopnje
Elektrotehnika - Biomedicinska tehnika

Primer prileganja aktivnega modela pojavnosti

- Prileganje modela obraza (video)



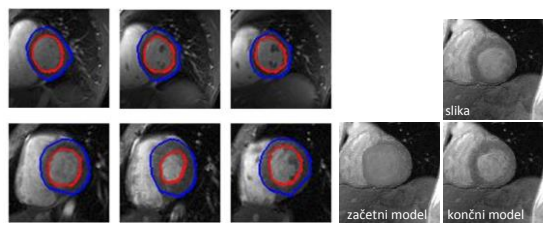
Univerza v Ljubljani
Fakulteta za elektrotehniko

Analiza medicinskih slik

2. letnik 2. stopnje
Elektrotehnika - Biomedicinska tehnika

Primer prileganja aktivnega modela pojavnosti

- Prileganje oblike na srčno mišico
- Prileganje intenzitet na srčno mišico



Univerza v Ljubljani
Fakulteta za elektrotehniko

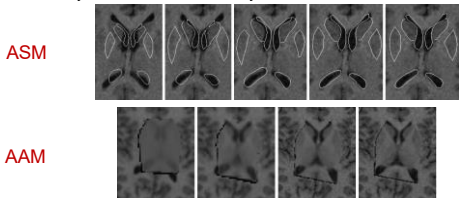
Analiza medicinskih slik

2. letnik 2. stopnje
Elektrotehnika - Biomedicinska tehnika

Modeli oblike (ASM) in modeli pojavnosti (AAM)

▪ Prednosti modelov oblike

- Zelo zanesljiva in robustna razgradnja medicinskih slik
- Računsko bolj učinkoviti, manj spominsko zahtevni
- Lahko jih kombiniramo z detektorji oslonilnih točk



Univerza v Ljubljani
Fakulteta za elektrotehniko

Analiza medicinskih slik

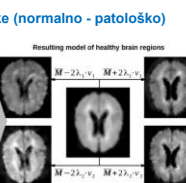
2. letnik 2. stopnje
Elektrotehnika - Biomedicinska tehnika

Modeli oblike (ASM) in modeli pojavnosti (AAM)

▪ Prednosti modelov pojavnosti

- upoštevajo tudi slikovno informacijo
- uporabni v posebnih primerih

Trainings data with pathologies (marked green)
p(s_i|m_j, t)=0



Povprečni izgled (atlas)

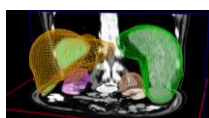


Analiza medicinskih slik

2. letnik 2. stopnje
Elektrotehnika - Biomedicinska tehnika

Deformabilni modeli

- Modeli krivulj ali ploskev
 - Deformirajo se pod vplivom sil
- $$E = E_{ext} + \alpha E_{int}$$
- Ločimo:
 - Parametrične modele → podani eksplicitno
 - Geometrične modele → podani implicitno



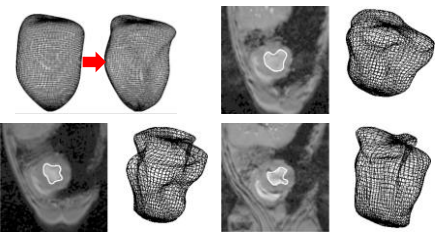
Univerza v Ljubljani
Fakulteta za elektrotehniko

Analiza medicinskih slik

2. letnik 2. stopnje
Elektrotehnika - Biomedicinska tehnika

Eksplicitni parametrični modeli

- Oblika je definirana z naborom baznih funkcij
 - Fourierjeva vrsta: $\cos(mu)$, $\sin(mu)$, $\cos(lu)$, $\sin(lu)$, $\cos(mu)\cdot\sin(lu)$, ...



Univerza v Ljubljani

Fakulteta za elektrotehniko

Analiza medicinskih slik

2. letnik 2. stopnje
Elektrotehnika - Biomedicinska tehnika

Implicitni parametrični modeli

- Implicitni model je matematična funkcija oblike $m(x) = 0$
 - običajno za opis obrisa/površine objekta
- Superkvadriki
 - družina geometrijskih oblik z enačbami podobnimi elipsoidom in kvadrikom (a členi imajo poljubno potenco)
 - vključujejo mnogo oblik (kocke, oktaedri, valji, kare, vretena)
 - imajo bodisi zaobljene ali ostre robove
 - uporabljajo se za modeliranje v računalniški grafiki



Univerza v Ljubljani

Fakulteta za elektrotehniko

Analiza medicinskih slik

2. letnik 2. stopnje
Elektrotehnika - Biomedicinska tehnika

Implicitno podan superkvadrik

$$F(\mathbf{x}) = \left(\left(\frac{x}{a_1} \right)^{\frac{2}{\varepsilon_2}} + \left(\frac{y}{a_2} \right)^{\frac{2}{\varepsilon_2}} + \left(\frac{z}{a_3} \right)^{\frac{2}{\varepsilon_1}} \right)^{\frac{2}{\varepsilon_3}}$$

- $\mathbf{x} = (x, y, z) \in R^3 \rightarrow$ tocka v karteziemnem koordinatnem sistemu
- $a_1, a_2, a_3 \rightarrow$ velikost superkvadrika v x, y in z smeri
- $\varepsilon_1 \rightarrow$ oblika superkvadrika v x, y ravnini
- $\varepsilon_2 \rightarrow$ oblika superkvadrika v ravnini, ki je prevokotna na x, y ravnino

 $F(\mathbf{x}) < 1 \rightarrow$ tocka \mathbf{x} lezi zntraj superkvadrika $F(\mathbf{x}) > 1 \rightarrow$ tocka \mathbf{x} lezi izven superkvadrika $F(\mathbf{x}) = 1 \rightarrow$ tocka \mathbf{x} lezi na površini superkvadrika

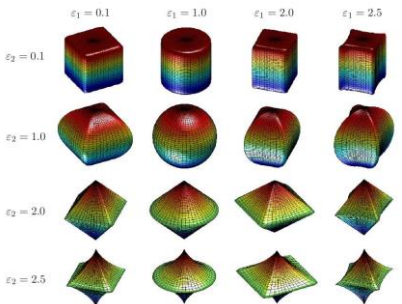
Univerza v Ljubljani

Fakulteta za elektrotehniko

Analiza medicinskih slik

2. letnik 2. stopnje
Elektrotehnika - Biomedicinska tehnika

Implicitno podan superkvadrik



Univerza v Ljubljani

Analiza medicinskih slik

2. letnik 2. stopnje

Implicitno podan superkvadrik

■ Cilindrični valj

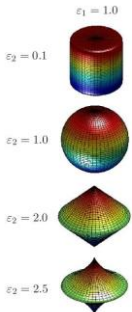
$$F(\mathbf{x}) = \left(\left(\frac{x}{a_1} \right)^{\frac{2}{\varepsilon_1}} + \left(\frac{y}{a_2} \right)^{\frac{2}{\varepsilon_2}} \right)^{\frac{\delta_3}{\delta_1}} + \left(\frac{z}{a_3} \right)^{\frac{2}{\varepsilon_1}}$$

$$a_1 = a_2 = r \rightarrow \text{radij cilindričnega valja}$$

$$a_3 = h/2 \rightarrow \text{polovica visine cilindričnega valja}$$

$$\varepsilon_c = 1$$

$$F(\mathbf{x}) = \left(\frac{x^2 + y^2}{r^2} \right)^{\frac{1}{\alpha_1}} + \left(\frac{z}{h/2} \right)^{\frac{2}{\alpha_1}}$$



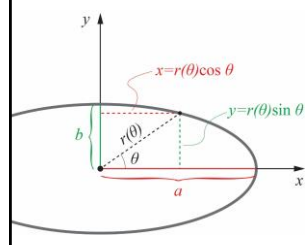
Univerza v Ljubljani

Analiza medicinskih slik

2. letnik 2. stopnje

Implicitno podan superkvadrik

■ Eliptični valj?



$$F(\mathbf{x}) = \left(\frac{x^2 + y^2}{r^2} \right)^{\frac{1}{\alpha_1}} + \left(\frac{z}{h/2} \right)^{\frac{2}{\alpha_2}}$$

→ radij r : zavisí od kota θ

$$F(\mathbf{x}) = \left(\frac{x^2 + y^2}{w(\mathbf{z})^2} \right)^{\frac{1}{\alpha_1}} + \left(\frac{z}{k/2} \right)^{\frac{2}{\alpha_1}}$$

$$y = r(\Theta) \sin \Theta$$

$$\Theta = \arctan \frac{y}{x}$$

Univerza v Ljubljani

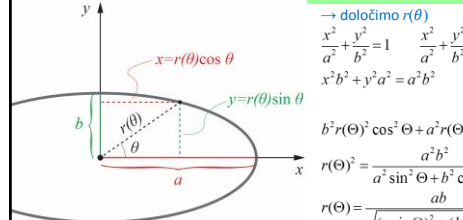
Another modifiable allele

2. letnik 2. stopnje

Implicitno podan superkvadrik

■ Eliptični valj?

$$F(\mathbf{x}) = \left(\frac{x^2 + y^2}{r(\Theta)^2} \right)^{\frac{1}{n}} + \left(\frac{z}{H/2} \right)^{\frac{2}{q}}$$



$$\begin{aligned} &\rightarrow \text{določimo } r(\theta) \\ \frac{x^2}{a^2} + \frac{y^2}{b^2} &= 1 \quad \frac{x^2}{a^2} + \frac{y^2}{b^2} = 1 / a^2 b^2 \\ x^2 b^2 + y^2 a^2 &= a^2 b^2 \\ b^2 r(\Theta)^2 \cos^2 \Theta + a^2 r(\Theta)^2 \sin^2 \Theta &= a^2 b^2 \\ r(\Theta)^2 &= \frac{a^2 b^2}{a^2 \sin^2 \Theta + b^2 \cos^2 \Theta} \\ r(\Theta) &= \frac{ab}{\sqrt{(a\sin\Theta)^2 + (b\cos\Theta)^2}} \end{aligned}$$

33

Primer: modeliranje vretenca

■ Ločeno modeliramo:

- telo vretenca (rdeče ↓)
- levii desni pedikel (rumeno ↓)

■ Namen: računalniško podprtvo načrtovanje trajektorije pedikularnega vijaka

Univerza v Ljubljani

Fakulteta za elektrotehniko

Analiza medicinskih slik

2. letnik 2. stopnje

Elektrotehnika - Biomedicinska tehnika

34

Primer: modeliranje vretenca

■ Telo vretenca: eliptični valj

$$V_{\text{valj}}(\mathbf{x}) = \left(\frac{x^2 + y^2}{R_v(\Theta)^2} \right)^{\frac{1}{0.1}} + \left(\frac{z}{H_v} \right)^{\frac{2}{0.1}} \quad r_v(\Theta) = \frac{A_v B_v}{\sqrt{(A_v \sin\Theta)^2 + (B_v \cos\Theta)^2}}$$

A_v → velika polos eliptičnega valja

B_v → mala polos eliptičnega valja

H_v → polovica visine eliptičnega valja

Univerza v Ljubljani

Fakulteta za elektrotehniko

Analiza medicinskih slik

2. letnik 2. stopnje

Elektrotehnika - Biomedicinska tehnika

Primer: modeliranje vretenca

Telo vretenca:

- naklon krovnih plošč

$$\begin{aligned} \begin{pmatrix} x \\ y \\ z \end{pmatrix} &= \begin{cases} x + (b_R - b_r) \cos \Psi_e \\ y + (b_R - b_r) \sin \Psi_e \\ z + (S_e^{-1} - b_r) \sin(z S_e^{-1}) \end{cases} & b_r &= \sqrt{x^2 + y^2} \cos(\Psi_e - \Theta) \\ & & b_R &= S_e^{-1} - (S_e^{-1} - b_r) \cos(z S_e^{-1}) \\ \Psi_e = & \begin{cases} \Psi_{ei} ; z \geq 0 \\ \Psi_{et} ; z < 0 \end{cases} & s_{ei} &= \begin{cases} s_{es} ; z \geq 0 \\ s_{et} ; z < 0 \end{cases} \\ \Psi_{ei}, \Psi_{et} & \rightarrow \text{sredisce naklona} \\ s_{ei}, s_{et} & \rightarrow \text{magnituda naklona} \\ b_r & \rightarrow \text{projekcija komponent x in y na ravnino ukrivljivanja} \\ b_R & \rightarrow \text{transformacija ukrivljivanja} \end{aligned}$$

Primer: modeliranje vretenca

Telo vretenca:

- spreminjanje velikosti

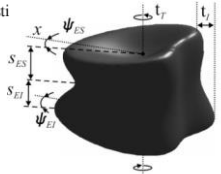
$$R_v(z, \Theta) = R_v(z, \Theta) \left(1 - t_{vbr} \frac{z}{H_v} \right)$$

t_{vbr} → koeficient spremenjanja velikosti

- torzija

$$\Theta_t(z, \Theta) = \Theta + t_{vbr} \frac{z}{H_v}$$

t_{vbr} → torziski koeficient



Primer: modeliranje vretenca

Telo vretenca: povzetek

- 3D oblika je podrobno opisana s 25 parametri
- 3 parametri definirajo velikost eliptičnega valja
- 22 parametrov opisuje 3D anatomiske značilnosti
- definirajo transformacijo T_v , ki deformira $V_{init}(x)$ v $V_{def}(x)$

Parametri poze:

- 6 parametrov določa pozicijo (x_v, y_v, z_v) in orientacijo ($\alpha_v, \beta_v, \gamma_v$) vretenčnega telesa v 3D prostoru
- definirajo transformacijo R_v , ki transformira $V_{def}(x)$ v $V(x)$

$$V(x) = R_v(V_{def}(x)) = R_v(T_v(V_{init}(x)))$$

41

Primer: modeliranje vretenca

■ **Pedikel:** levi in desni

- eliptični valj → konkavnost sten → prerez ledvica in solza → torzija

Univerza v Ljubljani
Fakulteta za elektrotehniko

Anala medicinskih slik

2. letnik 2. stopnje
Elektrotehnika - Biomedicinska tehnika

42

Primer: modeliranje vretenca

■ **Pedikel:** povzetek

- 3D oblika je podrobno opisana s 32 parametri
- 3 parametri definirajo velikost eliptičnega valja
- 29 parametrov opisuje 3D anatomiske značilnosti
- definirajo transformacijo T_p , ki deformira $P_{init}(x)$ v $P_{def}(x)$

■ **Parametri poze:**

- 6 parametrov določa pozicijo (x_p, y_p, z_p) in orientacijo $(\alpha_p, \beta_p, \gamma_p)$ vretenčnega telesa v 3D prostoru
- definirajo transformacijo R_p , ki transformira $P_{def}(x)$ v $P(x)$

$$P(x) = R_p(P_{def}(x)) = R_p(T_p(P_{init}(x)))$$

Univerza v Ljubljani
Fakulteta za elektrotehniko

Anala medicinskih slik

2. letnik 2. stopnje
Elektrotehnika - Biomedicinska tehnika

43

Poravnava superkvadratika na sliko

■ **Definiramo kriterij podobnosti: primer**

$$S = S_f, S_g \quad S_f - \text{komponenta intenzitet 3D CT slike}$$

$p_{int}(s) \rightarrow$ verjetnostna porazdelitev slikovnih intenzitet s znotraj 3D modela

$$S_f = \sqrt{1 - \sum_s \sqrt{p_{int}(s)p_{sur}(s)}}$$

$p_{sur} \rightarrow$ verjetnostna porazdelitev slikovnih intenzitet s v okolici 3D modela

mid-3D model

mid-sagittal

mid-coronal

mid-axial

mid-3D model

mid-sagittal

mid-coronal

mid-axial

probability distribution

P_{int}

P_{sur}

image intensity

Univerza v Ljubljani
Fakulteta za elektrotehniko

Anala medicinskih slik

2. letnik 2. stopnje
Elektrotehnika - Biomedicinska tehnika

Poravnavo superkvadrika na sliko

- Definiramo kriterij podobnosti: primer

S_G – komponenta oblike superkvadrika

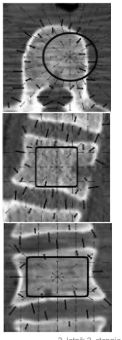
$$S_G = \sum_{x \in A} \left(\langle \mathbf{g}(x), \mathbf{n}(x) \rangle e^{\frac{-d(x)^2}{2\sigma_n^2}} \right)$$

$d(\mathbf{x}) \rightarrow$ Evklidska razdalja med tocko \mathbf{x} in povrsino 3D modela

$\langle g(x), \cdot \rangle \rightarrow$ skalarni produkt gradientov intenzitet slike $g(x)$ in pripadajocih enotskih normal $n(x)$ 3D modela

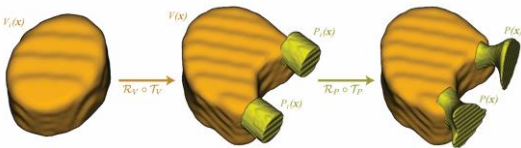
$\Lambda \rightarrow$ volumen, ki obdaja 3D model

$\sigma_A \rightarrow$ standardna deviacija volumna A

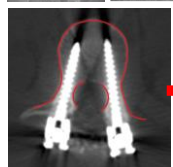
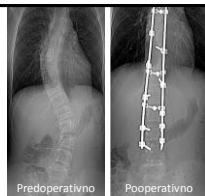


Poravnavo superkvadrika na sliko

- Poravnava z maksimizacijo kriterijske funkcije S
 - telo vretenca $R_v \circ T_v = \operatorname{argmax}(S|_{R,T})$
 - pedikel $R_p \circ T_p = \operatorname{argmax}(S|_{R,T})$



Aplikacija: Vstavljanje pedikularnih vijakov



Natančnosť vstavite
pedikularnih vijakov

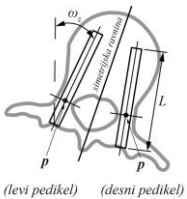
Predoperativno načrtovanje posega

Modeliranje vretenčnih struktura

Prileganje trajektorije vijaka

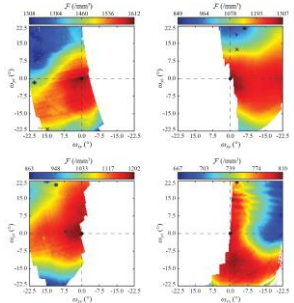
Vijak:

- normalizacija pritrdilne moči $F' = \frac{F}{8\pi R, I, \Delta}$
 - poravnava vijaka z maksimizacijo normalizirane pritrdilne moči $R_i \circ T_i = \operatorname{argmax}_{R,T} (F')_{R,T,C}$
- Upoštevanje dodatnih kriterijev:
- C_1 : vijak mora biti v celioti znotraj 3D modela telesa vretenca $P(x)$
 - C_2 : vijak mora biti v celioti znotraj 3D modela pedikla $P(x)$
 - C_3 : presečinska točka pedikularnega vijaka in simetrijske ravnine 3D telesa vretenca telesa vretenca $P(x)$



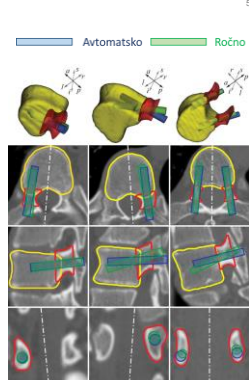
Prileganje trajektorije vijaka

Potek kriterijske funkcije



Vrednotenje rešitev

- Natančnost modeliranja
 - preko ročno določenih oslonilnih točk
 - $0,39 \pm 0,31$ mm za 62 vr. teles
- Primerjava z ročnimi trajektorijami
 - velikost pedikularnega vijaka
 - debelina $0,4 \pm 0,2$ mm
 - dolžina $5,8 \pm 4,2$ mm
 - trajektorija
 - položaj $2,0 \pm 1,4$ mm
 - rotacija $yz 8,5 \pm 6,8$ °
 - rotacija $xy 6,7 \pm 4,4$ °
 - načrtovanje pritrdilne moči vijaka
 - razlika 47 ± 26 %

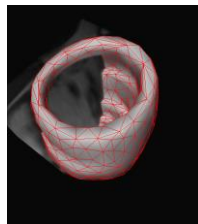


Povzetek razgradnje s superkvadriki

- Razgradnja s superkvadriki ne potrebuje učne baze
- Identifikacija deformacijskih funkcij superkvadrika zahteva temeljito analizo opazovane anatomске strukture
 - Z modeliranjem grobe oblike posplošujemo (+zanesljivost, -natančnost)
- Načrtovanje vstavljanja pedikularnih vijakov
 - Definirali superkvadratik za razgradnjo vretenčnega telesa in pedikla ter superkvadratik pedikularnega vijaka (skupno 75 parametrov)
 - Razgradnja vretenčnega telesa in pedikla z maksimizacijo kriterija podobnosti S
 - Poravnava pedikularnega vijaka z maksimizacijo pritrdilne moči F
 - Avtomatsko načrtovani pedikularni vijaki v skladu z ročno načrtovanimi
 - Iz parametrov superkvadratika telesa vretenca in pedikla izločimo morfometrične parametre pripadajoče anatomije

Fizikalni modeli

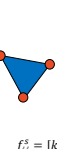
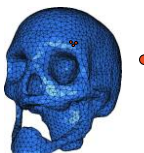
- Temeljijo na predznanju o problemu razgradnje
 - kot so lastnosti struktur, medsebojna lega in druge odvisnosti
 - omejitev deformacij temeljijo na fizikalnih modelih
- Primeri fizikalnih modelov
 - stabilni modeli utež-vzmet
 - modeli končnih elementov



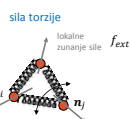
Stabilni modeli utež-vzmet

STABLE MASS-SPRING MODELS

- Za modeliranje deformacije oblik
 - obrisov, površin, volumnov
- Sila vzmeti določa velikost sprememb modela
- Sila torzije omejuje variacije oblike
- Notranja energija modela E_{int} :



$$f_{ij}^s = [k_{ij}(s_{ij}^0 - \|n_i - n_j\|)] \frac{s_{ij}}{\|s_{ij}\|}$$



$$f_{ij}^t = t_{ij} \frac{\Delta s_{ij}^t}{\|\Delta s_{ij}^t\|}$$

Stabilni modeli utež-vzmet

STABLE MASS-SPRING MODELS

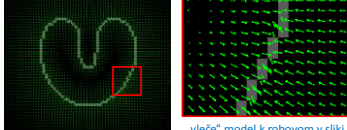
- Zunanja energija modela E_{ext} :

- usmerja model k tarči na sliki z vektorskim poljem sil f_{ext}
- določeno na podlagi gradienca intenzitet z minimizacijo enačbe

$$\epsilon = \int \int \lambda \left[\left(\frac{\partial u}{\partial x_1} \right)^2 + \left(\frac{\partial u}{\partial x_2} \right)^2 + \left(\frac{\partial v}{\partial x_1} \right)^2 + \left(\frac{\partial v}{\partial x_2} \right)^2 \right] + \|\nabla I\|^2 \|f_{ext} - \nabla I\|^2 dx_1 dx_2$$

zagotavlja zveznost, neobčutljivost na šum podobnost z gradienptom slik

primer →



Modeli končnih elementov

FINITE ELEMENT MODELS (FEMs)

- Prav tako temeljijo na iskanju ravnoesnega stanja med zunanjim in notranjim energijom (oz. silami)

- modeli utež-vzmet so definirani v točkah, kjer leži masa, medtem ko so FEM modeli definirani zvezno po prostoru

- Za predstavitev površine uporabimo trikotniško mrežo, za volumen mrežo tetraedrov

- vsak trikotnik/tetraeder predstavlja element e , ki ima končno velikost
- lastnosti vsakega elementa definiramo z enačbo

$$\mathbf{u}^{(e)} K^{(e)} + \mathbf{f}^{(e)} = 0$$

$\mathbf{u}^{(e)}$ → premik točke trikotnika/tetraedra \mathbf{n}_l , $\mathbf{u}_l = (u_{2l}, u_{2l+1})$ **NEZNANKA!**

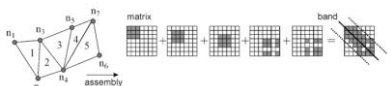
$K^{(e)}$ → matrika trdote (ang. stiffness matrix, določa elastičnost in nateznost materiala)

$\mathbf{f}^{(e)}$ → zunanjia sila na točko \mathbf{n}_l , $\mathbf{f}_l = (f_{2l}, f_{2l+1})$

Modeli končnih elementov

FINITE ELEMENT MODELS (FEMs)

- Upoštevamo omejitve, da je premik u_i enak v skupini točki n_i
- to narekuje strukturo sistemsko matrike K za numerično reševanje



- rešujemo sistem $\mathbf{u}K = \mathbf{f}$, pri čemer je potrebno definirati robne pogoje (npr. za nekatere \mathbf{n}_i določimo $\mathbf{u}_i = (u_{2i}, u_{2i+1}) = \mathbf{0}$)

- v osnovi je to **statičen model**, vključimo lahko tudi **dinamične omejitve**

$$M\ddot{\mathbf{u}}(t) + D\dot{\mathbf{u}}(t) + K\mathbf{u}(t) + \mathbf{f}(t) = 0$$

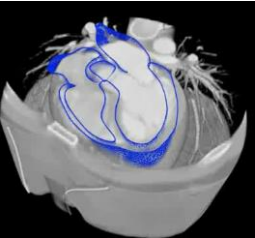
M → vztajnost mase

D → dušenje v odvisnosti od hitrosti sprememb $\dot{\mathbf{u}}(t)$

Primer razgradnje s fizikalnim modelom

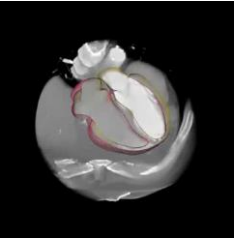
- Razgradnja srčne mišice

STATIČNA



Univerza v Ljubljani
Fakulteta za elektrotehniko

DINAMIČNA



Analiza medicinskih slik

2. letnik 2. stopnje
Elektrotehnika – Biomedicinska tehnika

59

Povzetek

$$\Sigma$$

60

- Uporaba modelov poleg intenzitete vključuje tudi informacijo/predznanje o obliki
 - tudi o načinih deformacije oblike in spremembah intenzitet
- Razgradnjo opravimo s prileganjem (optimizacijo parametrov modela) na dano sliko oz. obliko
 - notranja in zunanjega energija
- Ločimo statistične, deformabilne in fizikalne modele
 - statistični v splošnem potrebujejo največ učnih vzorcev (slik, oblik)
 - uporaba parametričnih modelov zahteva dobro poznavanje in natančno modeliranje variabilnosti tarčne anatomsko strukture
 - pri fizikalnih modelih moramo določiti fizikalne lastnosti, ki v splošnem niso znane (npr. elastičnost posameznih tkiv)

Univerza v Ljubljani
Fakulteta za elektrotehniko

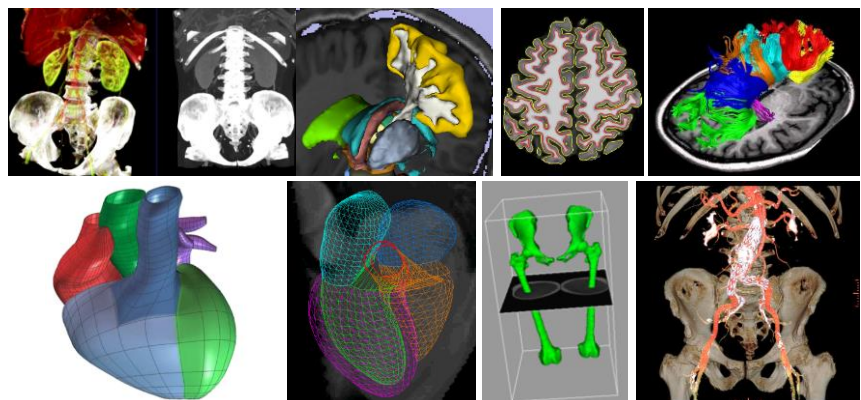
Analiza medicinskih slik

2. letnik 2. stopnje
Elektrotehnika – Biomedicinska tehnika



Validacija razgradnje

Analiza medicinskih slik



2

Študijska literatura



Guide to Medical Image Analysis
Klaus D. Toennes, Springer, 2012
13. Validation
str. 413-442

A novel public MR image dataset of multiple sclerosis patients with lesion segmentations based on multi-rater consensus
Ž. Lesjak, A. Galimzianova, A. Koren, M. Lukin, F. Perniš, B. Likar, Ž. Špidlin,
Neuroinformatics, In press, 2017
<https://doi.org/10.1007/s12021-017-9348-7>

Univerza v Ljubljani
Fakulteta za elektrotehniko

Analiza medicinskih slik

2. letnik 2. stopnje
Elektrotehnika – Biomedicinska tehnika

3

Vsebina

- Vrednotenje z uporabo referenčnega postopka
 - simulacijski in fizični fantomi, kadavri, bolniki
- Mere kakovosti obrisovanja
- Mere kakovosti razpoznavanja
 - Receiver Operating Curve (ROC) krivulja
- Izvedba validacije
 - učni in testni podatki
- Testiranje statistične signifikance
 - t-test, p-vrednost

Univerza v Ljubljani
Fakulteta za elektrotehniko

Analiza medicinskih slik

2. letnik 2. stopnje
Elektrotehnika – Biomedicinska tehnika

4

Osnovni gradniki validacije

- Za dane predpostavke o slikah in danem kliničnem kontekstu moramo podati:
 - **Opis podatkov za namen validacije**
 - **Opis in utemeljitev izbire referenčnega postopka**
→ zlati standard ali „čista resnica“ (gold standard, ground truth)
 - **Mere kakovosti**
 - **Definicijo in utemeljitev kaj je uspešna validacija**
→ mejne vrednosti mer kakovosti glede na zahteve klinične aplikacije

Univerza v Ljubljani
Fakulteta za elektrotehniko

Analiza medicinskih slik

2. letnik 2. stopnje
Elektrotehnika – Biomedicinska tehnika

Uporaba referenčnega postopka oziroma zlatega standarda



- Referenčni postopek ali *zlati standard* podaja najboljšo dosegljivo oz. *pravilno* razgradnjo
- Težavnost ustvarjanja zavisi od oblike subjekta zanimanja in načina ustvarjanja slikovne informacije, pa tudi od kliničnega konteksta
 - od sintetičnih proti realnim slikam narašča biološka variabilnost, prav tako zahtevnost ustvarjanja zlatega standarda
 - na realnih slikah običajno uporabljamo ročno razgradnjo kot referenco
- Ustvarjanje zlatega standarda je zato običajno povezano z visokimi vložki
 - potrebujemo eksperte, bolnike, čas, denar

Lastnost referenčnega postopka

POSTOPEK, KI GA
VALIDIRAMO

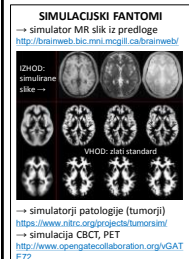
REFERENČNI POSTOPEK ALI
ZLATI STANDARD



→ vsaj velikostni red natančnejši in
zanesljivejši kot postopek, ki ga
vrednotimo

Zajem slik za zlati standard

- zavisi od oblike subjekta in načina ustvarjanja slikovne informacije



Visible Human Project
https://www.nlm.nih.gov/research/visible/visible_human.html

- Moški in ženski darovalec/ka
 - truplo potopljeno v zmes želatine, nato zmrzljeno in narezano na 1,00/0,33 mm
 - vsaka rezina zajeta z visoko-ločljivostno kamero (skupno preko 1800 rezin, >65 GB)
 - ročni obrisi anatomskih struktur



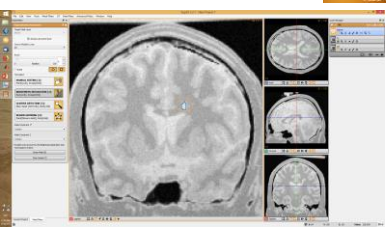

Univerza v Ljubljani
Fakulteta za elektrotehniko

Analiza medicinskih slik

2. letnik 2. stopnje
Elektrotehnika – Biomedicinska tehnika

Zlati standard na slikah bolnikov

- Ekspert ali skupina ekspertov naredi ročne obrise
 - z uporabo interaktivnega orodja (npr. BrainSeg3D)



BrainSeg3D

<http://it.fe.uni-lj.si/tools>

Univerza v Ljubljani
Fakulteta za elektrotehniko

Analiza medicinskih slik

2. letnik 2. stopnje
Elektrotehnika – Biomedicinska tehnika

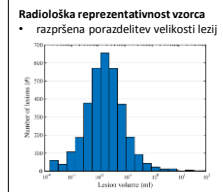
Primer: zlati standard za razgradnjo lezij bele možganovine

- 30 MR slik bolnikov z multiplo sklerozo
 - isti skener (3T Siemens, UKC-LJ), isti parametri zajema (T1 MPRAGE, 3D FLAIR)
- Reprezentativnost vzorca bolnikov
 - glede na demografske in klinične parametre

Gender	Age	MS phenotype	Therapy
23 female	25 to 64 years	24 RR	1 Avonex
7 male	Median: 39 years (female 39, male 35)	2 SP 1 PR 2 CIS 1 unspecified	3 Betaferon 4 Copaxone 1 Betaseron 5 Gilenya 1 Mylanax 2 Rebif 6 Tysabri 1 unspecified 9 no therapy

Radiološka reprezentativnost vzorca

• razprtina porazdelitev velikosti lezij



RR-relapsing remitting; SP-secondary progressive; PR-progressive relapsing; CIS-clinically isolated syndrome

Univerza v Ljubljani
Fakulteta za elektrotehniko

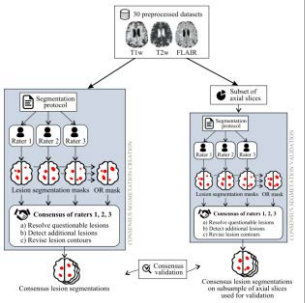
Analiza medicinskih slik

2. letnik 2. stopnje
Elektrotehnika – Biomedicinska tehnika

Primer: zlati standard za razgradnjo lezij bele možganovine

- Vključeni trije eksperti
 - 2 nevroradiologa, 1 specializant
- Večfazni postopek:
 1. Individualni obrisi
 2. Združevanje obrisov
 3. Konsenz pri opaznih razlikah
- Validiran postopek
- Časovna zahtevnost
 - 300+ ur na eksperta
 - skupno 1,5 let
- Javno dostopno

<http://ife.fe.uni-lj.si/tools>



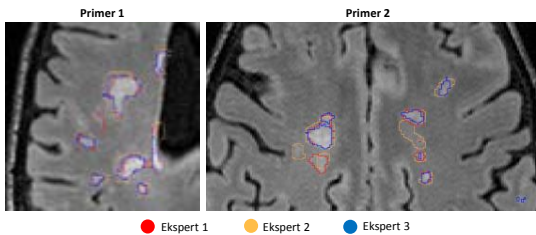
Univerza v Ljubljani
Fakulteta za elektrotehniko

Analiza medicinskih slika

2. letnik 2. stopnje
Elektrotehnika - Biomedicinska tehnika

Primer: zlati standard za razgradnjo lezij bele možganovine

- Razlike med obrisi treh ekspertov



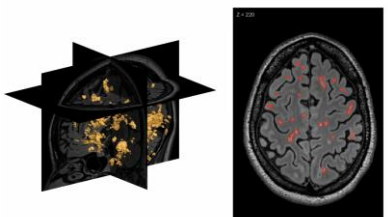
Univerza v Ljubljani
Fakulteta za elektrotehniko

Analiza medicinskih slika

2. letnik 2. stopnje
Elektrotehnika - Biomedicinska tehnika

Primer: zlati standard za razgradnjo lezij bele možganovine

- Primer razgradnje s konsenzom



Univerza v Ljubljani
Fakulteta za elektrotehniko

Analiza medicinskih slika

2. letnik 2. stopnje
Elektrotehnika - Biomedicinska tehnika

Primer: zlati standard za razgradnjo lezij bele možganovine

- Uporabljena pol-avtomatska interaktivna razgradnja
 - manjša variabilnost obrisov

	ROČNO	POL-AVTO
EKSPERT 1		
EKSPERT 2		

Univerza v Ljubljani
Fakulteta za elektrotehniko

Anala medicinskih slik

Lokalna razgradnja v treh korakih:

- filtiranje z anizotropno difuzijo
- rojenje s k-povprečji
- morfološko filtriranje in označevanje

(a)

(b)

(c)

2. letnik 2. stopnje
Elektrotehnika - Biomedicinska tehnika

Primer: zlati standard za razgradnjo lezij bele možganovine

- Zakaj obrisi posameznega eksperta niso primerni za zlati standard razgradnje?

Zahetvenost obrisovanja drobnih struktur

Segmentation	Periventricular	Infratentorial	Periventricular	Infratentorial
Consensus	TLL (ml)	Count	TLL (ml)	Count
Difference to rater 1	114 (29 %)	107 (24 %)	33.7 (38 %)	680 (95 %)
Difference to rater 2	100 (25 %)	62 (15 %)	22.7 (21 %)	367 (38 %)
Difference to rater 3	99.8 (25 %)	21 (5 %)	21.2 (19 %)	82 (9 %)

Segmentation	Infratentorial	Deep white-matter	Infratentorial	Deep white-matter
Consensus	TLL (ml)	Count	TLL (ml)	Count
Difference to rater 1	3.06 (37 %)	109 (95 %)	11.0 (24 %)	538 (90 %)
Difference to rater 2	3.06 (37 %)	109 (95 %)	11.0 (24 %)	538 (90 %)
Difference to rater 3	8.46 (61 %)	77 (86 %)	4.54 (10 %)	41 (42 %)

Subjektivnost, (ne)ponovljivost

Zakaj konzenz?

Segmentation variability	DSC	Pearson's r	SSD
Intra-consensus	0.776	0.779	1.06
Intra-rater	0.676	0.710	1.73
Inter-rater	0.724	0.731	1.32
Inter-rater (MS challenge 2008)	0.237	0.275	5.86

Univerza v Ljubljani
Fakulteta za elektrotehniko

Anala medicinskih slik

2. letnik 2. stopnje
Elektrotehnika - Biomedicinska tehnika

Primer: zlati standard za razgradnjo lezij bele možganovine

- Alternativa konsenzu?
 - zlivanje razgradienj z STAPLE algoritmom in različicami

O. Cormino et al., "A Fully Automatic Segmentation of Multiple Sclerosis Lesion Segmentation Using a Data Management and Processing Infrastructure", <https://doi.org/10.1038/s41598-016-31911-7>

- problem: so izpolnjene predpostavke? je razgradnja nepristranska?
lahko naredimo podoben avtomatski algortitem?

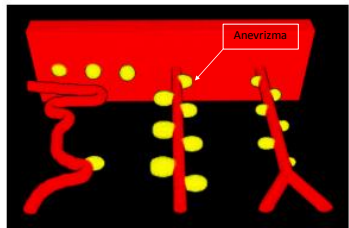
Univerza v Ljubljani
Fakulteta za elektrotehniko

Anala medicinskih slik

2. letnik 2. stopnje
Elektrotehnika - Biomedicinska tehnika

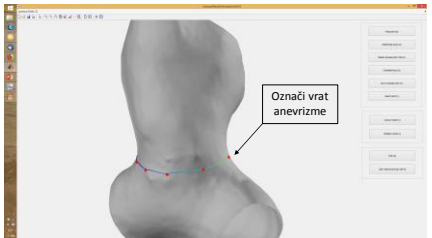
Primer 2: zlati standard za razgradnjo možganske anevrizme

- Priprava simuliranih fantomov



Primer 3: zlati standard za razgradnjo možganske anevrizme

- Razvoj namenskih interaktivnih orodij za vizualizacijo in razgradnjo površine



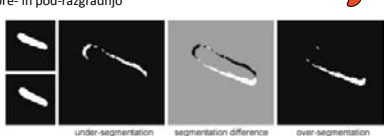
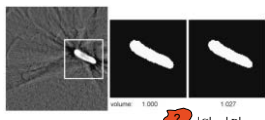
Mere kakovosti za vrednotenje

- Vrednotenje na realnih slikah je *indirektno*
 - uporablja se statistično vrednotenje na omejenem, reprezentativnem vzorcu slik
 - vrednotenje je relativno glede na referenčni postopek (*zlati standard*)
 - namesto primerjave metodologij **izvajamo primerjavo vrednosti mer kakovosti s pričakovanimi vrednostmi** v primeru pravilne razgradnje
- Mere kakovosti naj bi podajale lastnosti postopka kot so:
 - **Točnost:** odstopanje od referenčnega postopka
 - **Natančnost in ponovljivost:** odstopanje pri podobnih vhodnih slikah
 - **Zanesljivost:** odstopanje pri spremenjenih pogojih (npr. spremenjen zajem slik, nepredvidena patologija)
 - **Učinkovitost:** napor potreben za izvajanje analize (oz. razgradnje)
 - **Zmožnost odkrivanja napak** med izvajanjem analize

Mere kakovosti za obrisovanje

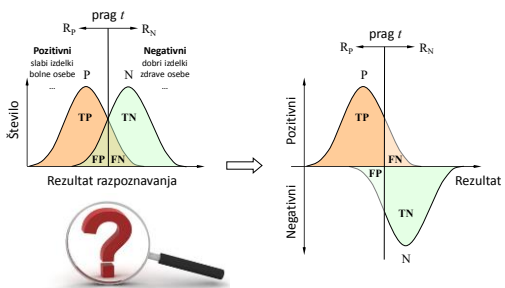
■ Problemi

- *VD* ne upošteva razlik v oblikih
 - *DSC* in *JI* se zelo pogosto uporablja, vendar nista občutljiva na „sistematično“ pre- in pod-razgradnjo

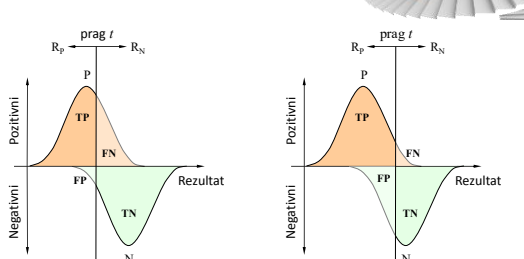


Vrednotenje razgradnje je zato običajno večparametrično!

Mere kakovosti razpoznavanja



Vpliv vrednosti praga

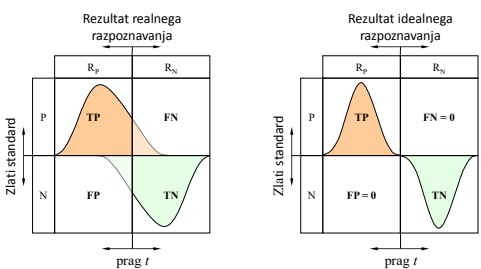


Kontingenčna tabela

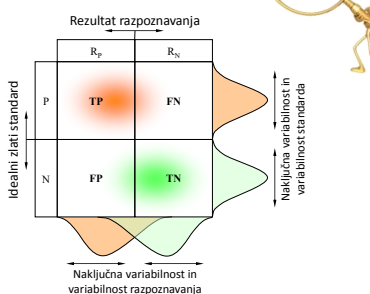


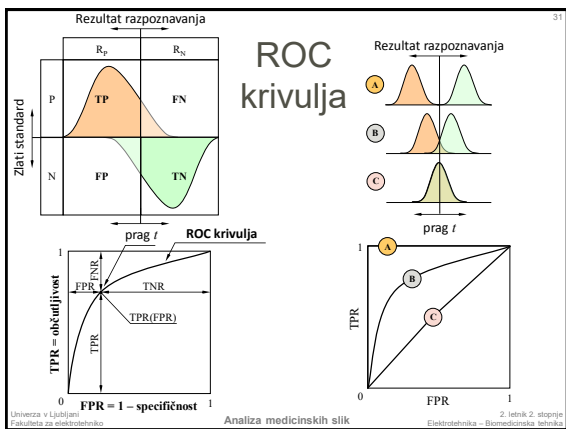
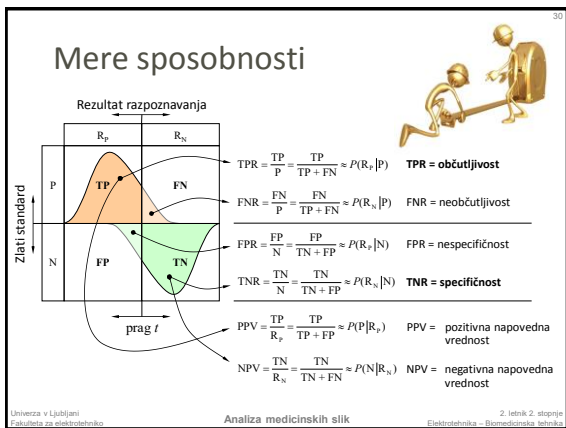
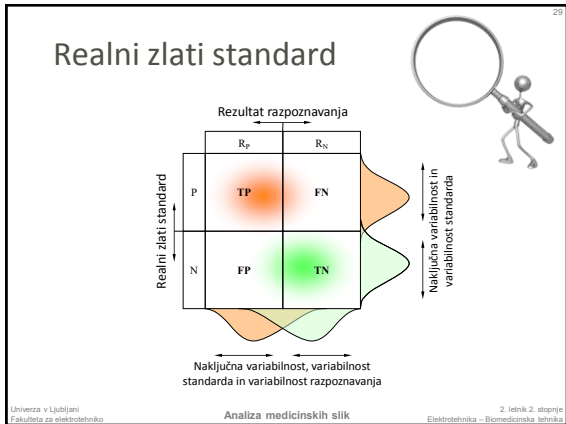
		Rezultat pozitiven	Rezultat negativien	
Pozitivni	P	TP	FN	$P = TP + FN$
Negativni	N	FP	TN	$N = FP + TN$
		$R_p = TP + FP$	$R_N = FN + TN$	

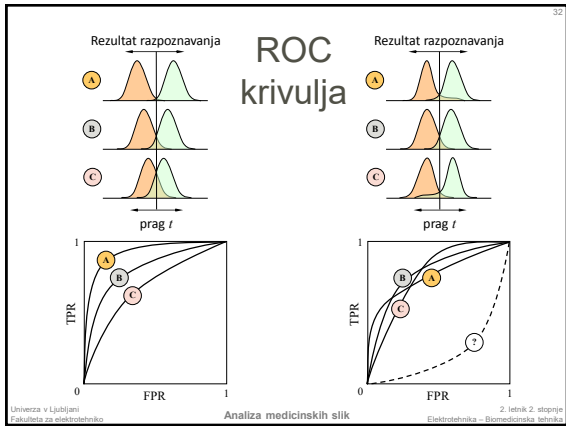
Kakovost razpoznavanja



Idealni zlati standard







Primer: vrednotenje razgradnje lezij bele možganovine

- Opis metrik in optimalne vrednosti

Name	Abbr.	Equation	Unit	Best value
Volume difference rate	VDR	$\frac{ S_A - S_B }{S_B}$	%	0
Symmetric surface distance	SSD	$\frac{1}{ S_A \cup S_B } \left[\sum_{i \in S_A} d_i(a_i, S_B) + \sum_{i \in S_B} d_i(a_i, S_A) \right]$	mm	0
True positive rate	TPR	$\frac{TP}{TP+FN}$	%	100
False discovery rate	FDR	$\frac{FP}{TP+FP}$	%	0
Dice similarity index	DSI	$\frac{2TP}{TP+FP+FN}$	%	100
Lesion-wise TPR	LTPR	$\frac{LTP}{LTP+LFP}$	%	100
Lesion-wise FDR	LFDR	$\frac{LLF}{LTP+LFP}$	%	0

mere za vrednotenje kakovosti **obrisovanja** lezij

mere za vrednotenje kakovosti **razpoznavanja** lezij

Univerza v Ljubljani
Fakulteta za elektrotehniko

Analiza medicinskih slik

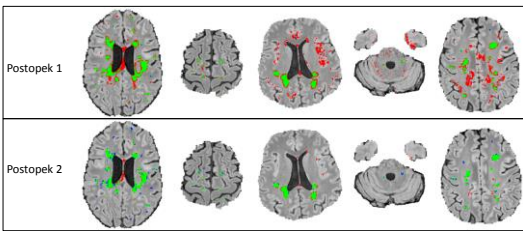
2. letnik 2. stopnje
Elektrotehnika – Biomedicinska tehnika

Analiza medicinskih slik 2. letnik 2. stopnje
Elektrotehnika – Biomedicinska tehnika

2. letnik 2. stopnje
Elektrotehnika – Biomedicinska tehnika

Primer: vrednotenje razgradnje lezij bele možganovine

- Vizualni prikaz TP, FP in FN



Univerza v Ljubljani
Fakulteta za elektrotehniko

Analiza medicinskih slik

2. letnik 2. stopnje
Elektrotehnika – Biomedicinska tehnika

Primer: vrednotenje razgradnje lezij bele možganovine

- Vpliv izbire značilnic in predobdelave na mere kakovosti razgradnje

Visual Features	Method	VDR (%)	SSD [mm]	TPR (%)	FDR (%)	DSI (%)	LTPR (%)	LFDR (%)
{T1,T2,FL}	RTLE preizkus	533.7 ± 541.7	8.93 ± 3.38	81.87 ± 6.52	80.63 ± 11.41	29.74 ± 14.12	98.29 ± 5.53	98.48 ± 1.19
R = 0, {T1,T2,FL}	Standard RDF	591.4 ± 541.4	8.58 ± 2.94	90.46 ± 5.59	82.50 ± 11.43	27.88 ± 11.39	98.40 ± 4.07	98.50 ± 0.93
	Pretreinato RDF	593.8 ± 510.0	8.52 ± 2.47	90.46 ± 5.59	82.50 ± 11.52	27.88 ± 11.39	98.40 ± 4.07	98.50 ± 0.93
R = 1, {T1,T2,FL}	Standard RDF	341.2 ± 319.7	6.47 ± 3.20	93.66 ± 3.71	72.75 ± 11.00	41.02 ± 13.50	91.33 ± 5.75	95.22 ± 4.06
	Pretreinato RDF	29.96 ± 63.97	2.31 ± 1.01	74.30 ± 7.67	33.99 ± 15.79	68.92 ± 11.92	68.45 ± 13.21	74.52 ± 17.81
R = 2, {T1,T2,FL}	Standard RDF	316.0 ± 288.3	6.05 ± 3.05	93.88 ± 3.71	71.55 ± 11.00	42.49 ± 13.36	91.95 ± 5.36	94.77 ± 4.30
	Pretreinato RDF	27.26 ± 53.10	2.03 ± 1.78	74.88 ± 7.67	31.67 ± 15.56	70.26 ± 11.50	51.18 ± 11.83	69.56 ± 18.98
R = 1, {FL}	Standard RDF	96.4 ± 83.4	2.08 ± 1.01	89.20 ± 5.80	80.00 ± 11.00	39.00 ± 11.00	79.40 ± 5.00	80.00 ± 10.00
	Pretreinato RDF	40.80 ± 96.53	2.85 ± 2.39	72.67 ± 8.20	36.44 ± 16.70	66.30 ± 13.27	56.01 ± 15.30	74.00 ± 15.65
R = 1, {T1,T2,FL}, Atlas	Standard RDF	279.5 ± 201.4	4.49 ± 2.48	94.11 ± 3.56	70.39 ± 11.20	43.94 ± 13.18	92.07 ± 4.81	94.91 ± 4.00
	Pretreinato RDF	19.93 ± 26.73	1.38 ± 0.97	76.06 ± 7.66	30.18 ± 3.02	72.03 ± 3.09	71.13 ± 9.21	73.94 ± 17.10

→ z oblebeljeno pisavo označen najboljši rezultat za posamezno mero

Primer: vrednotenje razgradnje lezij bele možganovine

- Primerjava različnih postopkov glede na mere kakovosti

Method	Rater	VDR (%)	SSD [mm]	LTPR (%)	LFPR (%)	Overall score			
Goremic et al. (2013)	UNC	45.44 ± 33.67	0.48	5.67 ± 6.81	0.99	51.16 ± 20.40	<0.01	76.68 ± 11.95	<0.01
	CHB	44.81 ± 33.67	0.41	5.41 ± 6.81	0.99	51.16 ± 20.40	<0.01	75.50 ± 11.95	82.07
Bosch et al. (2016)	UNC	63.68 ± 69.73	0.95	7.39 ± 10.97	0.38	47.10 ± 17.36	<0.01	52.60 ± 17.09	<0.01
	CHB	52.00 ± 67.40	0.41	6.43 ± 9.66	0.02	56.05 ± 22.45	<0.01	49.78 ± 20.26	<0.01
Tomas-Fernandez and Wardle (2017)	UNC	37.83 ± 28.26	0.35	7.03 ± 5.75	0.09	42.00 ± 15.95	<0.01	44.06 ± 24.97	<0.01
	CHB	32.00 ± 28.26	0.35	5.29 ± 4.51	0.01	42.00 ± 15.95	<0.01	42.00 ± 24.97	84.46
Gutard et al. (2015)	UNC	46.32 ± 25.71	0.56	5.50 ± 4.22	0.30	47.03 ± 19.63	<0.01	43.46 ± 20.62	<0.01
	CHB	51.32 ± 30.43	0.95	5.49 ± 5.65	0.65	52.68 ± 19.58	<0.01	41.96 ± 23.09	<0.01
Jesse and Arbel (2015)	UNC	40.90 ± 56.72	0.35	8.10 ± 4.20	0.76	43.93 ± 17.98	<0.01	32.30 ± 23.22	<0.01
	CHB	40.00 ± 56.72	0.43	5.13 ± 4.43	0.21	40.00 ± 24.43	<0.01	24.00 ± 24.00	86.84
Standard RDF	UNC	103.95 ± 102.03	<0.01	0.56 ± 9.48	<0.01	95.14 ± 16.94	<0.01	83.73 ± 16.68	<0.01
(F = 1, {T1,T2,FL}, Atlas)	CHB	99.15 ± 161.45	<0.01	10.53 ± 12.25	<0.01	88.48 ± 15.87	<0.01	87.56 ± 17.58	66.01
Pretreinato RDF	UNC	58.12 ± 55.98	-	1.90 ± 7.58	-	59.01 ± 19.53	-	64.60 ± 21.22	-
(F = 1, {T1,T2,FL}, Atlas)	CHB	96.78 ± 252.24	-	7.77 ± 10.20	-	71.27 ± 21.62	-	62.79 ± 18.27	-

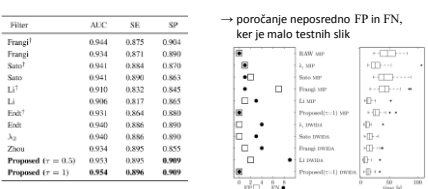
→ z oblebeljeno pisavo označen najboljši rezultat za posamezno mero, glede na referenčni obris (UNC/CHB)

→ spletno tekmovanje v razgradnji lezij v MR slikah <http://www.ia.unc.edu/M5seg/>

Primer 2: vrednotenje razpoznavanja možganskih anevrizem

- Iz 15ih 3D-DSA slik anevrizem

- vrednotenje vpliva postopka predobdelave na kakovost in hitrost vizualnega razpoznavanja

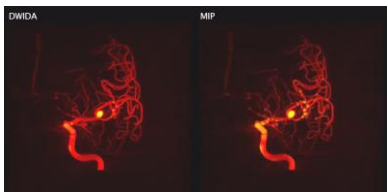


→ poročanje neposredno FP in FN, ker je malo testnih slik

Primer 2: vrednotenje razpoznavanja možganskih anevrizem

Iz 15ih 3D-DSA slik anevrizem

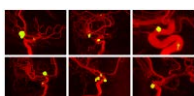
- vrednotenje vpliva postopka predobdelave na kakovost in hitrost **vizualnega razpoznavanja**



Primer 2: vrednotenje razpoznavanja možganskih anevrizem

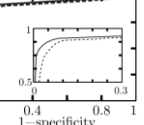
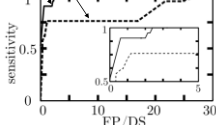
Iz 15ih 3D-DSA slik anevrizem

- vrednotenje razpoznavanja dveh postopkov z ROC krivuljo



postopek CNN

postopek RF



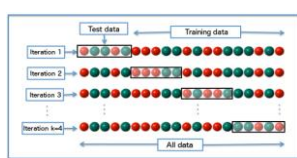
Izvedba validacije

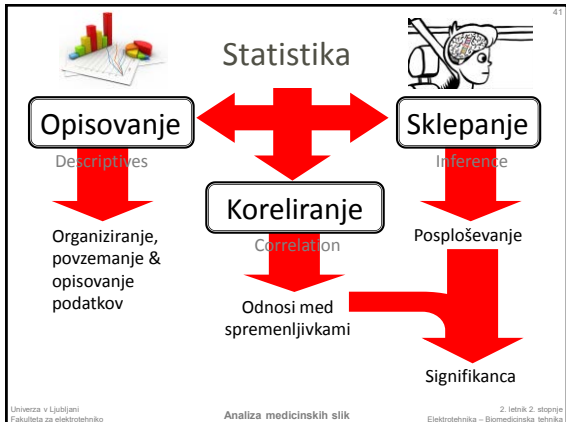


Ločevanje učnih in testnih slik

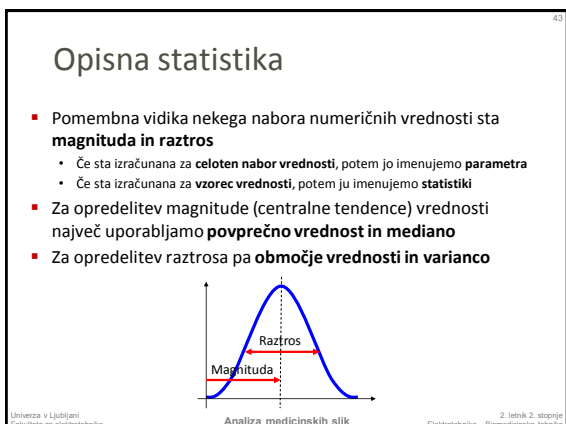
- na učnih nastavimo optimalne parametre ali izvedemo učenje nadzorovanih postopkov
- na testnih izračunamo vrednosti mer kakovosti
- k-koračna križna validacija (k-fold cross-validation)

- razdelimo množico slik v k skupin
- učimo na $k-1$ skupinah, testiramo na 1 skupini
- ponovimo tako, da je vsaka skupina vsaj enkrat testna
- izračunamo mere vrednotenja za vseh k eksperimentov in povprečimo









Testiranje hipotez

Ničta hipoteza

$$H_0$$

$$A = B$$

Alternativna hipoteza

$$H_A$$

$$A \neq B$$

Dodatno:

1. Koliko medsebojno različni so vzorci A in B?
2. Ali vzorci A in B odražajo celotno populacijo?

Testiranje hipotez: primer

- **Ničta hipoteza (H_0):** povprečji A in B **nista** signifikantno različni
- **Alternativna hipoteza (H_A):** povprečji A in B **sta** signifikantno različni med seboj



Napake pri testiranju hipotez

- Podobno kot kontingenčna tabela

Dejansko → Odločitev ↓	H_0 Resnična	H_0 Napačna
Ne zavrnemo H_0		Napaka Tip 2 (β)
Zavrnemo H_0	Napaka Tip 1 (α)	

Testiranje statistične signifikance

- $DSC_A > DSC_B$: Ali postopek A dejansko vrne boljšo razgradnjo od postopka B?
- **Signifikanca rezultata predstavlja verjetnost, da je rezultat ($DSC_A > DSC_B$) po naključju zaradi vzorčenja napačen**
 - opredelimo jo s p -vrednostjo, naprimjer:
 - „rezultat je signifikanten s $p < 0.01$ “ pomeni verjetnost 1%, da po naključju zavremo H_0 , čeprav je ta pravilna
 - p -vrednost predstavlja mejno vrednost α
 - zavisi od velikosti vzorcev (npr. števila slik) in stopnjo podobnosti/različnosti med populacijama, ki ju primerjamo



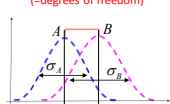
Two-sample t-test: izračun

- Izračunamo testno statistiko

$$t = \frac{\bar{x}_A - \bar{x}_B}{\sigma_p \sqrt{\frac{1}{n_A} + \frac{1}{n_B}}}$$

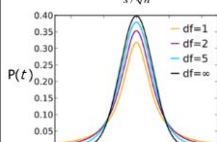
$$\sigma_p = \sqrt{\frac{(n_A - 1)\sigma_A^2 + (n_B - 1)\sigma_B^2}{n_A + n_B - 2}}$$

št. prostostnih stopenj df (=degrees of freedom)



Studentova t-porazdelitev

$$t = \frac{\bar{x} - \mu}{s / \sqrt{n}}$$



Two-sample t-test: interpretacija

Porazdelitev vrednosti

Je razlika med A in B?

A B

Porazdelitev t-statistike

$t = \frac{\bar{x}_A - \bar{x}_B}{\sigma_p \sqrt{\frac{1}{n_A} + \frac{1}{n_B}}}$

↑

0

t

49

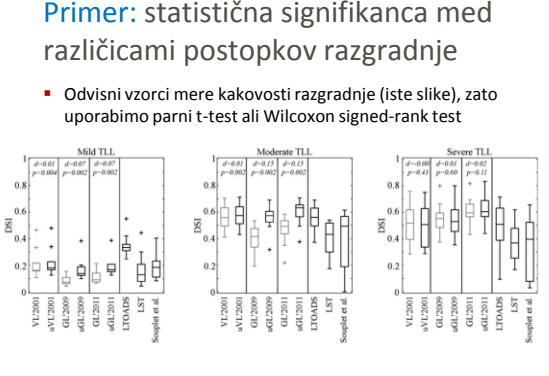
α

p

Pomen α in izračun p-vrednosti glede na formulacijo hipoteze →

Two-sample t-test: predpostavke

- Vrednosti v vzorcu/populaciji so normalno porazdeljene
 - Vzorca sta medsebojno neodvisna, vrednosti so zvezne,...
 - Za odvisne vzorce uporabimo **paired two-sample t-test**
 - Če predpostake ne držijo, uporabimo ustrezен neparametrični test:
 - neodvisni vzorci: **Mann-Whitney U-test**
 - odvisni vzorci: **Wilcoxon signed-rank test**
 - Če imamo več skupin neodvisnih vzorcev/več skupin odvisnih vzorcev/več odvisnih spremenljivk:
 - **ANOVA, ANCOVA, MANOVA, MANCOVA,...**



Primer: statistična signifikanca med razlicicami postopkov razgradnje

- Odvisni vzorci mere kakovosti razgradnje (iste slike), zato uporabimo parni t-test ali Wilcoxon signed-rank test

* Statistically significant ($p < 0.01$) improvement.

^a Statistically significant ($p < 0.01$) deterioration of the performance

→ označimo mere kakovosti, ki imajo p-vrednosti manjše od 0,01 (manj kot 1% verjetnosti, da je povprečna vrednost mere enaka)

Povzetek

- Razgradnjo vrednotimo z merami kakovosti glede na referenčni postopek ali zlati standard
 - zbirka slik za validacijo mora biti reprezentativna
 - za realne slike je zlati standard večinoma ročno določen,
 - kar zahteva sodelovanje z eksperti (subjektivnost - variabilnost)
- Mere kakovost ločimo glede na namen
 - kakovost obrisovanja (oz. natančnost mej struktur) in kakovost razpoznavanja; glede na klinični kontekst mere kombiniramo
- S testiranjem statistične signifikance določimo verjetnost napačnih zaključkov
 - manjša je p-vrednost, z večjo gotovostjo lahko posplošujemo zaključke analize

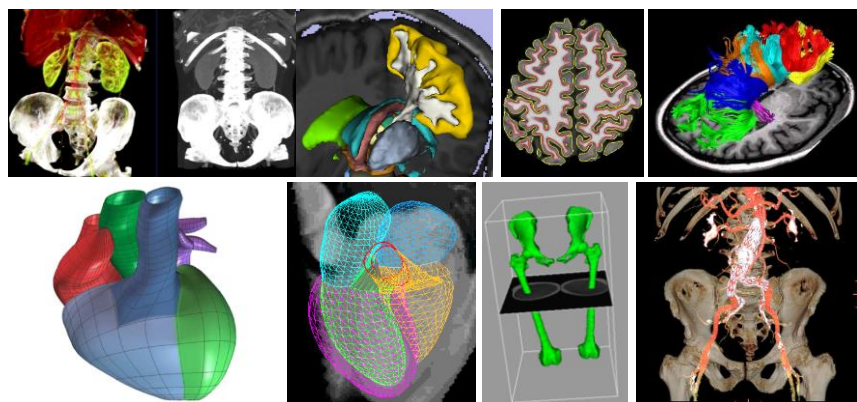


53



Kvantitativni slikovni biomarkerji

Analiza medicinskih slik



Študijska literatura

Quantitative imaging biomarkers:
A review of statistical methods for
technical performance
D.L. Raunig in sodelavci,
Statistical Methods in Medical Research
vol. 24, št. 1 str. 27-67, 2015

Imaging Biomarkers
Development and Clinical Integration
Luis Marti-Bonmati in
Angel Alberich-Bayarri
Springer, 2017

Univerza v Ljubljani
Fakulteta za elektrotehniko
Analiza medicinskih slik
2. letnik 2. stopnje
Elektrotehnika - Biomedicinska tehnika

Medicinske slikovne tehnike

- **Ključno orodje za diagnozo, spremjanje zdravljenja in napovedovanje izida terapije**
→ tudi za minimalno invazivne posege
- **Tradicionalna radiološka diagnoza temelji na integraciji in kvalitativnem vrednotenju**
→ običajne tehnike kot so radiografija, CT in MR
- **Z razvojem digitalne tehnologije slike niso več končni produkt za diagnostiko**
→ vmesni nivo izločanja kvantitativne informacije
- **Tehnike analize korenito spreminjajo način izločanja informacij iz slik**
→ znanje bioloških osnov bolezni spodbuja uporabo novih parametrov bolezni, ki jim rečemo biomarkerji

Univerza v Ljubljani
Fakulteta za elektrotehniko
Analiza medicinskih slik
2. letnik 2. stopnje
Elektrotehnika - Biomedicinska tehnika

Primer: sklepni hrustanec in vlakna

ILUSTRIACIJA STRUKTURE SKLEPA

• struktura nespecifična, za mentalno predstavo

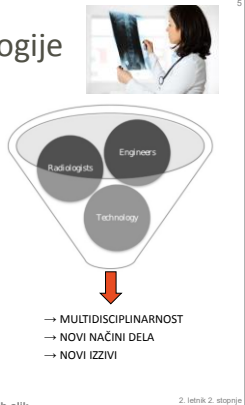
DEJANSKA T1 SLIKA SKLEPA

• struktura specifična za dejanskega bolnika

Univerza v Ljubljani
Fakulteta za elektrotehniko
Analiza medicinskih slik
2. letnik 2. stopnje
Elektrotehnika - Biomedicinska tehnika

Digitalizacija radiologije

- Delovno okolje radiologov se je dramatično spremenilo z razvojem in implementacijo digitalnih slikovnih tehnik



Univerza v Ljubljani
Fakulteta za elektrotehniko

Analiza medicinskih slik

2. letnik 2. stopnje
Elektrotehnika – Biomedicinska tehnika

Vsebina in cilji predavanja

▪ Definicija biomarkerjev

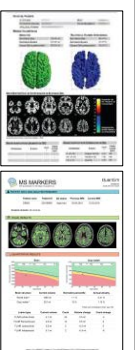
- razumeti kaj so biomarkerji in kako lahko izboljšajo diagnostiko in spremljanje učinkovitosti zdravljenja

■ Tipi biomarkerjev

- razumeti vlogo različnih tipov biomarkerjev

■ Razvoj biomarkerjev

- analizirati proces razvoja biomarkerjev s poudarkom na validaciji in standardizaciji



Univerza v Ljubljani

Analiza medicinskih slik

2. letnik 2. stopnje

Kaj so biomarkerji?

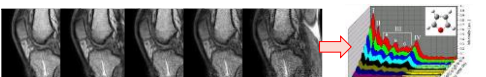
DEFINICIJA

- Lastnost tkiva, ki jo lahko objektivno merimo

- in ki odraža parameter biološke, funkcionalne ali strukturne organizacije

- **Slikovni biomarker** je parameter, ki ga iz slik pridobimo z računskimi tehnikami, da poudarimo, kvantificiramo in predstavimo specifično lastnost tkiva

- lastnosti so običajno prikrito parametri, ki jih izločimo z uporabo računskih modelov in statistično analizo
 - parametrične slike prostorske porazdelitve biomarkerja v analiziranem tkivu – magnituda sorazmerna z magnitudo ali spremembo biomarkerja



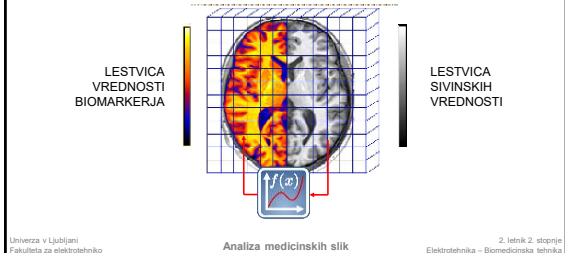
Univerza v Ljubljani

Journal of Health Politics, Policy and Law

2. Istris 2. stoonis

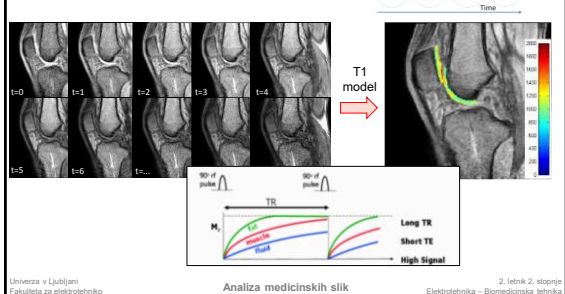
Parametrična slika

- Sintetična slika, ki prikazuje porazdelitev vrednosti biomarkerja (morfološkega ali funkcionalnega) na podlagi matematičnega modela



Primer: vsebnost vode v hrustancu

- Modeliranje krivulje T1 relaksacije

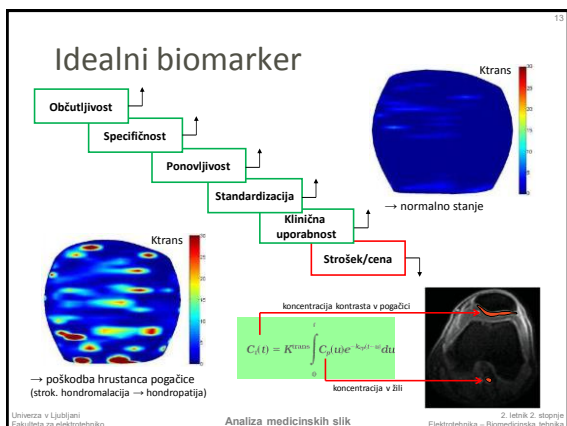
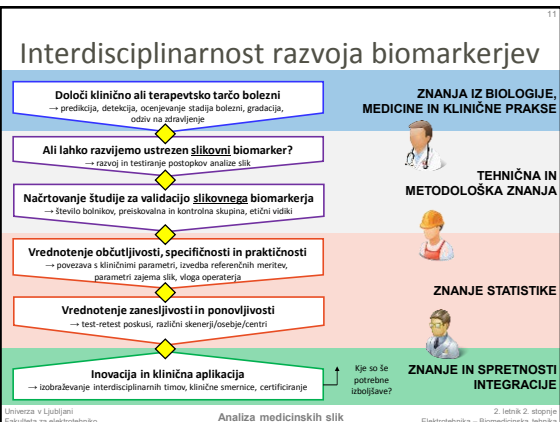


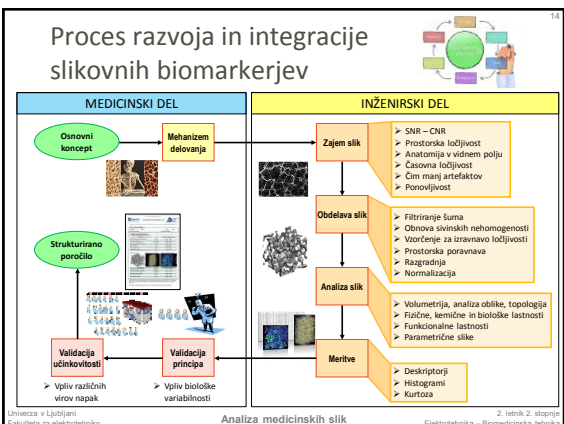
Tipi biomarkerjev

- Napovedni biomarker** (ang. prognostic biomarker)
→ napove potek bolezni in stopnje prizadetosti, neodvisen od terapije
- Pokazalnik zdravljenja** (ang. treatment-effect modifier biomarker)
→ napove kako uspešna bo terapija, odvisen od izbire terapije
- Nadomestni biomarker** (ang. surrogate biomarker)
→ napove potek bolezni glede na izbrano terapijo

PRIMER: MULTIPLA SKEROZA



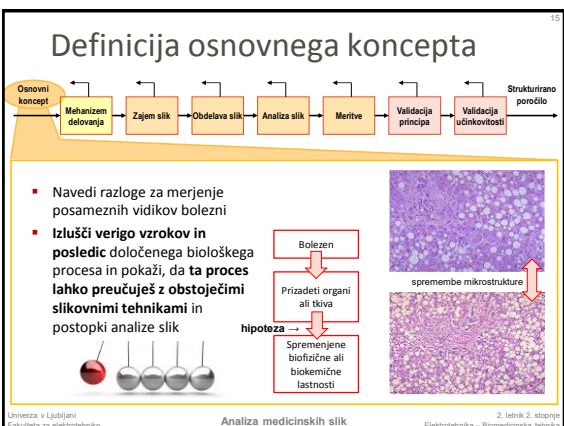




Univerza v Ljubljani
Fakulteta za elektrotehniko

Anala medicinskih slik

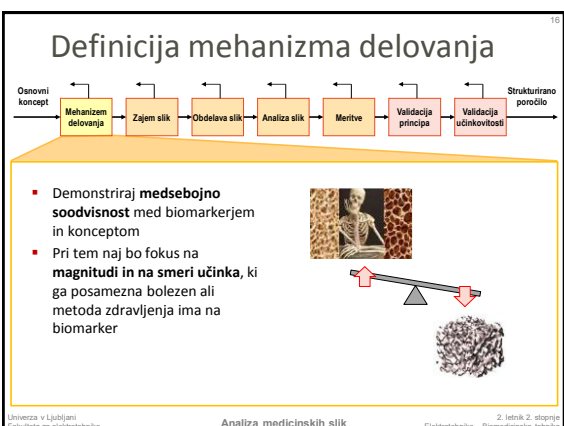
2. letnik 2. stopnje
Elektrotehnika – Biomedicinska tehnika



Univerza v Ljubljani
Fakulteta za elektrotehniko

Anala medicinskih slik

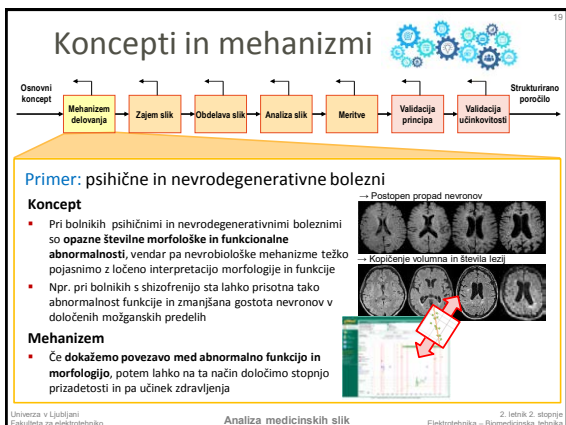
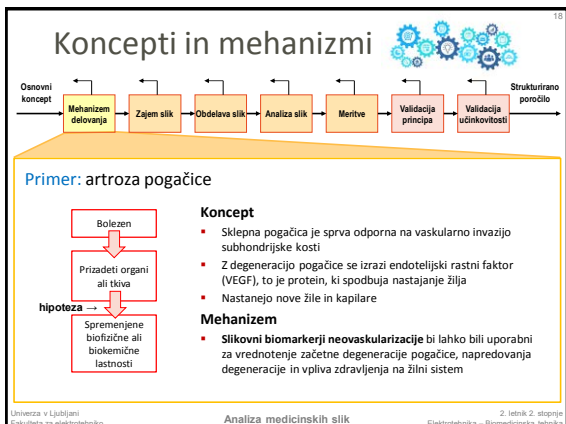
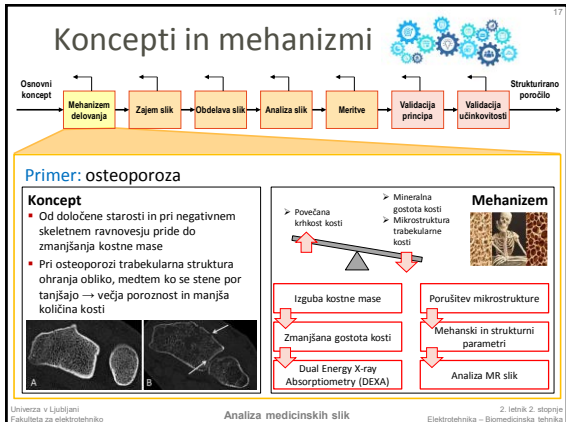
2. letnik 2. stopnje
Elektrotehnika – Biomedicinska tehnika



Univerza v Ljubljani
Fakulteta za elektrotehniko

Anala medicinskih slik

2. letnik 2. stopnje
Elektrotehnika – Biomedicinska tehnika



20

Koncepti in mehanizmi

Primer: tumor v jetrih

Koncept

- Tumor v jetrih → ↑ Energetske zahteve
- ↑ Kri (kiski in hranila)
- Angiogeneza in vaskularizacija
- Diagnostični biomarkerji:
 - pretok krvi
 - volumen žilja
 - VEGF

Mehanizem

- Angiogeneza in vaskularizacija → Proizvodnja VEGF
- Vrednotenje angiogeneze je kompleksno in drago
 - > Dobavljajoča gumenost
 - > Določanje antitumorskega VEGF
 - > Opazovanje vaskularne permeabilnosti
- DCE-MR slikanje za vrednotenje angiogeneze?
- Izločimo kvantitative parametre s farmakokinetičnim modeliranjem DCE-MR slik
 - > Vrednotenje bolezni
 - > Vrednotenje odziva na zdravljenje

Univerza v Ljubljani
Fakulteta za elektrotehniko

Anala medicinskih slik

2. letnik 2. stopnje
Elektrotehnika - Biomedicinska tehnika

21

Koncepti in mehanizmi

Primer: tumor v prostatni

Koncept

- Obstaja povezava med patološkimi spremembami (gostota celic, medelčini prostor, angiogeneza) in difuzijo molekul vode
- In vivo kvantifikacija difuzijskih lastnosti molekul vode v bioloških tkivih bi lahko dala informacije o celicah in mikrostrukturi organizacij
- Difuzijski koeficienti so površani pri strukturah z manjšo gostoto celic in večjim medelčini prostorom

Mehanizem

- obnašanje molekul vode v tkivu z MR kvantificiramo iz hitrosti relaksacije med dvema simetričnima magnetnimi gradientoma (DWI MR)
- občutljivost zavisi od b vrednosti

$$b = \gamma^2 G^2 \delta^2 (\Delta - \frac{\delta}{3})$$

Univerza v Ljubljani
Fakulteta za elektrotehniko

Anala medicinskih slik

2. letnik 2. stopnje
Elektrotehnika - Biomedicinska tehnika

22

Zajem slik

Slike ustrezne modalitete in kakovosti so nujno potrebne za izločanje uporabnih biomarkerjev

Ne glede na izbrano slikovno tehniko (radiografija, ultrazvok, CT, MR, SPECT, PET) je potrebno optimizirati parametre zajema

- SNR – CNR
- Prostorska ločljivost
- Aritmetika v vidnem polju
- Časovna ločljivost
- Cim manj artefektov
- Ponovljivost

SNR, CNR in prostorska ločljivost pri MR tehnikah za zajem slik zapetja (a,b) PD-uteženi in (c,d) T2* GRE sliki pri 120 in 50 mm FOV z različnimi tuljavnimi in (e,f) FS T1-uteženi GRE sliki z brez kontrastnega sredstva.

Univerza v Ljubljani
Fakulteta za elektrotehniko

Anala medicinskih slik

2. letnik 2. stopnje
Elektrotehnika - Biomedicinska tehnika

Zajem slik

Primer: sikanje možganov

- T1-utežena MRI 3D slika za morfometrično analizo
 - TE=3.9 ms, TR=8.2 ms, FA=8°
 - Orientacija sagitalno, diskretna mreža=256 x 256, 160 rezin
 - Vzorčenje=0.94x0.94x1.00 mm, gap=0, čas zajema: 5 min 20 s
- EPI T2*-utežena za opazovanje fizioloških procesov
 - TE=19 ms, TR=2275 ms, FA=90°
 - Orientacija akcijsko, diskretna mreža=80 x 80, 48 rezin
 - Vzorčenje=2.88x2.88x2.60 mm, gap=0, čas zajema: 80 x 2 s

Univerza v Ljubljani
Fakulteta za elektrotehniko

Analiza medicinskih slik

2. letnik 2. stopnje
Elektrotehnika – Biomedicinska tehnika

Zajem slik

Primer: sikanje jeter

- Prostorska ločljivost nastavljena tako, da vidno polje vsebuje edinstveno snemanje jeter
 - 24 akcijski rezni, vzorčenje=1.5x1.5x1 mm
 - Čas zajema in časova ločljivost: 40s 3.7 s

Univerza v Ljubljani
Fakulteta za elektrotehniko

Analiza medicinskih slik

2. letnik 2. stopnje
Elektrotehnika – Biomedicinska tehnika

Zajem slik

Primer: sikanje pogačice

- Merjenje obvarjanja s kontrastom (oz. pretičnosti kontrastnega sredstva)
- Prostorska ločljivost nastavljena tako, da vidno polje vsebuje anatomijo kolena
 - zaporedje T1-uteženih slik za relaksometrijo 10 sagitalnih rezni, vzorčenje=0.78x0.78x7 mm
 - Čas zajema in časova ločljivost: 80s 2.7 s

Konzentracija kontrasta v pogledu:

$$C_f(t) = K^{\alpha} \int_0^t C_f(u) e^{-\lambda_{eff}(u)} du$$

Konzentracija v zbi:

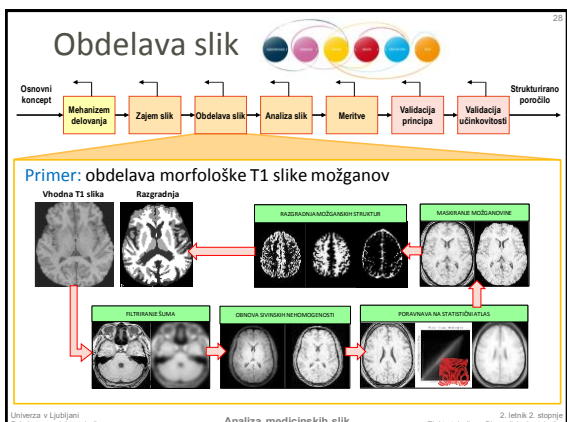
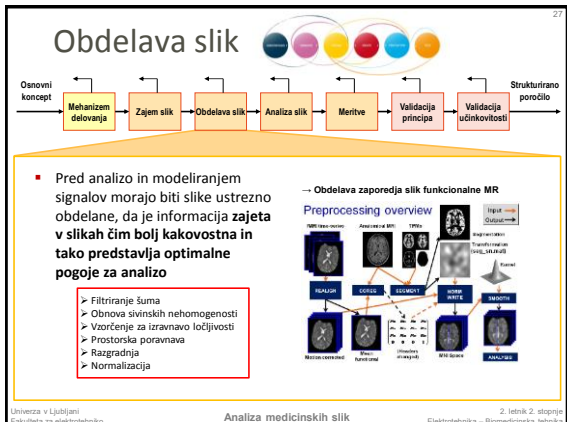
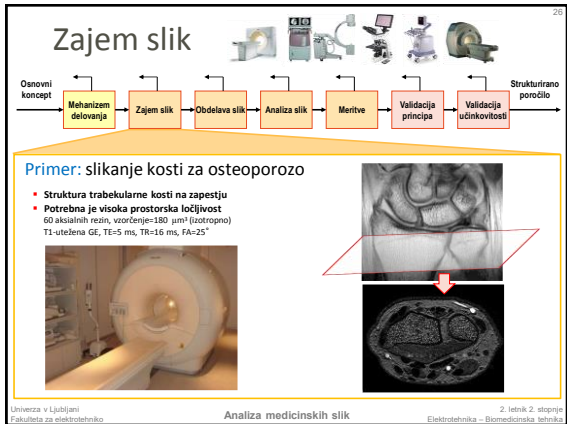
CNR SNR CNR SNR

Optimiziramo kontrast in signal tako, da zajamemo več slik pri različnih TE

Univerza v Ljubljani
Fakulteta za elektrotehniko

Analiza medicinskih slik

2. letnik 2. stopnje
Elektrotehnika – Biomedicinska tehnika



29

Obdelava slik

Primer: razgradnja pogačice, femoralnega hrustanca in arterije

- za potrebe T1 relaksometrije

Univerza v Ljubljani
Fakulteta za elektrotehniko

Analiza medicinskih slik

2. letnik 2. stopnje
Elektrotehnika – Biomedicinska tehnika

30

Obdelava slik

Primer: poravnava DW MR slik prostate

- Referenca je slika pri $b=0$
- Minimizirati očitne premike zaradi Eddyevih tokov pri različnih b-vrednostih
- Minimizirati prostorska neskladja zaradi premikanja bolnika med zajemom slik

Univerza v Ljubljani
Fakulteta za elektrotehniko

Analiza medicinskih slik

2. letnik 2. stopnje
Elektrotehnika – Biomedicinska tehnika

31

Obdelava slik

Primer: obdelava slik jeter

- Poravnava za kompenzacijo premikov zaradi dihanja
- Pretvorba iz intenzitete v koncentracijo kontrastnega sredstva

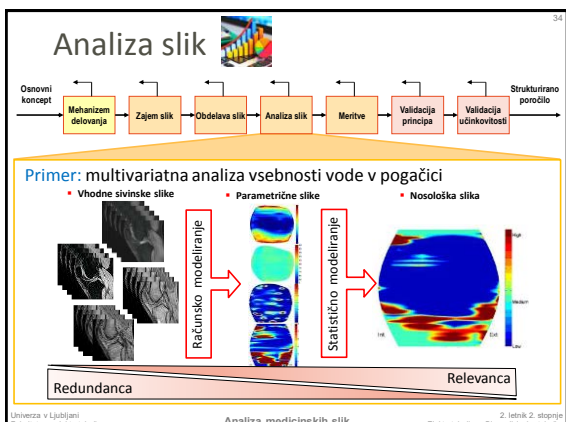
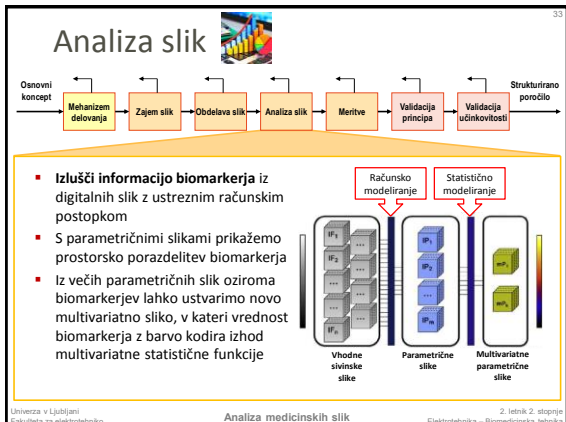
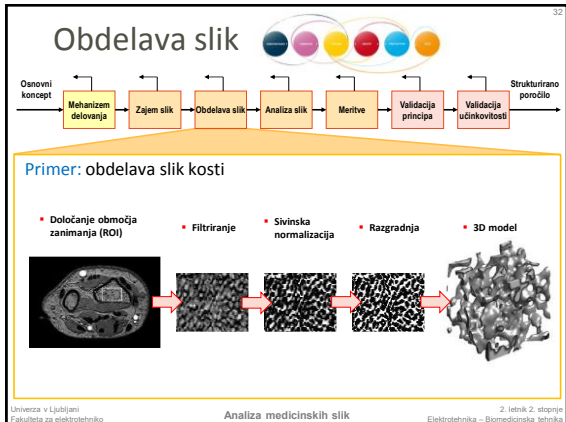
$C(t) = \frac{\pi^2 I(t) - \pi^2 I(0)}{r^2}$

$S(\alpha) = M \sin \alpha \frac{1 - e^{-\frac{T_1}{T}}}{1 - \cos \alpha e^{-\frac{T_1}{T}}}$

Univerza v Ljubljani
Fakulteta za elektrotehniko

Analiza medicinskih slik

2. letnik 2. stopnje
Elektrotehnika – Biomedicinska tehnika



Analiza slik

Primer: normativni volumni možganovine za zdrave osebe

582 T1 MR preiskava, avtom. analiza

Poravnava na ICBM atlas (MNI152) za normalizacijo velikosti glave

Univerza v Ljubljani
Fakulteta za elektrotehniko

Anala medicinskih slik

2. letnik 2. stopnje
Elektrotehnika – Biomedicinska tehnika

Analiza slik

Primer: izračun lastnosti difuzije molekul vode v prostatni

- v vsakem slikovnem elementu prileganje krivulje s parametri f , D , in D^*

$$S_I = S_0 f e^{-b(D+D^*)} + S_0(1-f)e^{-bD}$$

431 - 0.082090 C=0.000612 D=0.001399

Univerza v Ljubljani
Fakulteta za elektrotehniko

Anala medicinskih slik

2. letnik 2. stopnje
Elektrotehnika – Biomedicinska tehnika

Analiza slik

Primer: farmakokinetično modeliranje za zaznavo tumorja v jetrih

$$C_t(t) = v_p C_a(t) + \int_0^t K^{trans} C_a(u) e^{k_{ep}(t-u)} du$$

Vnos v tkivo Del v žilu

Del v tkivo

$v_e = K^{trans}/k_{ep}$

Arterijska / venška permeabilnost K^{trans1}/K^{trans2} (ml/min/100ml)

Hitrost izpiranja k_{ep} (ml/min/100ml)

Delež v žilu $\frac{V_p}{V_p + V_t}$

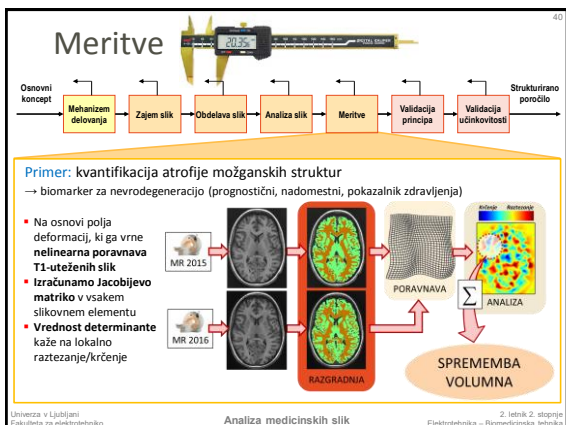
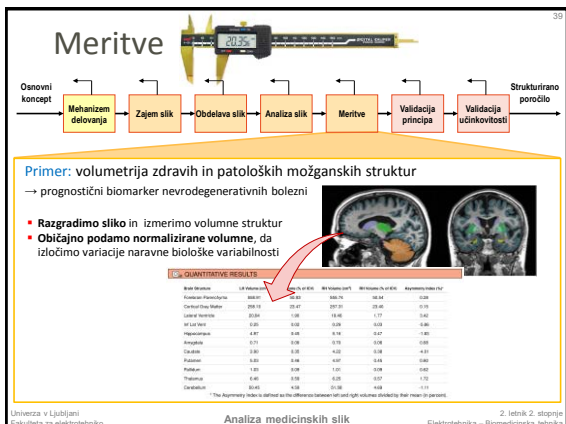
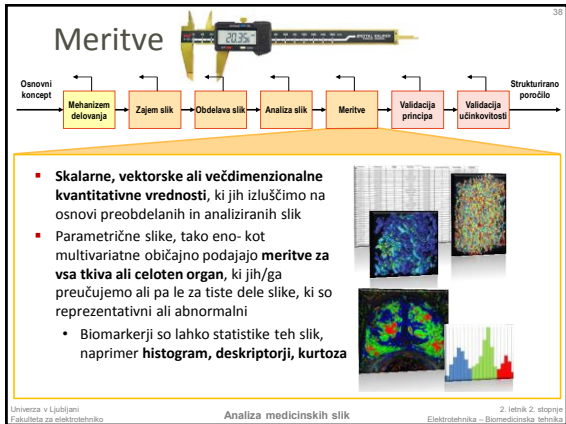
Delež v tkivu $\frac{V_t}{V_p + V_t}$

Prileganje krivulje

Univerza v Ljubljani
Fakulteta za elektrotehniko

Anala medicinskih slik

2. letnik 2. stopnje
Elektrotehnika – Biomedicinska tehnika



Meritve

Primer: kvantifikacija poškodb pogačice

- Parametrična slika površine pogačice, ki predstavlja kapilarno vrednost T_{2^*} → proporcionalno količini vode (edem) in izgubi kolagena
- Parametrična slika, ki predstavlja kapilarno permeabilnost pogačice → K^{trans} (ml/min/100ml)

Morphologic Parameter	Men (n=19)	Women (n=21)	Total (n=40)
Bone volume-to-total volume ratio	0.24 ± 0.01	0.21 ± 0.01	0.22 ± 0.01
Trabecular thickness (µm)	108.49 ± 3.19	105.35 ± 0.95	104.22 ± 1.70
Trabecular separation (µm)	816.52 ± 26.46	886.90 ± 24.81	853.47 ± 18.66
Trabecular number ($10^{-4} \mu\text{m}^{-1}$)	1.22 ± 0.04	1.10 ± 0.04	1.16 ± 0.03

Normalno Hondromalacija Artroza

• Kaj meritv/poravnj? → povprečje, standardno deviacijo, mediano, indeks simetrie histograma, kurtozo, relevantne percentsile (10%, 25%), heterogenost (celoten histogram)

Univerza v Ljubljani
Fakulteta za elektrotehniko Analiza medicinskih slika 2. letnik 2. stopnje
Elektrotehnika – Biomedicinska tehnika

Meritve

Primer: kvantifikacija trabekulane kosti za diagnostiko osteoporoze

- Tabela z normalnimi vrednostmi
- Napaka zaradi izbiro podatkov zanimaljan za meritve

Morphologic Parameter	Men (n=19)	Women (n=21)	Total (n=40)
Bone volume-to-total volume ratio	0.24 ± 0.01	0.21 ± 0.01	0.22 ± 0.01
Trabecular thickness (µm)	108.49 ± 3.19	105.35 ± 0.95	104.22 ± 1.70
Trabecular separation (µm)	816.52 ± 26.46	886.90 ± 24.81	853.47 ± 18.66
Trabecular number ($10^{-4} \mu\text{m}^{-1}$)	1.22 ± 0.04	1.10 ± 0.04	1.16 ± 0.03

Univerza v Ljubljani
Fakulteta za elektrotehniko Analiza medicinskih slika 2. letnik 2. stopnje
Elektrotehnika – Biomedicinska tehnika

Validacija principa

Preveri delovanje osnovnega koncepta in mehanizma, ki sicer podajata le teoretične predpostavke

Običajno na malem vzorcu s preiskovalnimi in kontrolnimi vzorci, še več v naslednjem koraku v obsežnejši klinični študiji

- Uporaba natančnih, zanesljivih (in zato dragih, zamudnih ter kompleksnih) referenčnih postopkov in zlatih standardov

Univerza v Ljubljani
Fakulteta za elektrotehniko Analiza medicinskih slika 2. letnik 2. stopnje
Elektrotehnika – Biomedicinska tehnika

Validacija principa

44

Primer: zgodnja diagnostika in zdravljenje artoze pogáčice

- spodnje parametrične slike prikazujejo kapilarno permeabilnost pogáčice

Analiza medicinskih slik

Univerza v Ljubljani
Fakulteta za elektrotehniko

2. letnik 2. stopnje
Elektrotehnika – Biomedicinska tehnika

Validacija principa

45

Kako izbrati optimalen prag vrednosti biomarkerja?

- s tem je povezana natančnost in zanesljivost odločanja ter tveganja

Analiza medicinskih slik

Univerza v Ljubljani
Fakulteta za elektrotehniko

2. letnik 2. stopnje
Elektrotehnika – Biomedicinska tehnika

Validacija principa

46

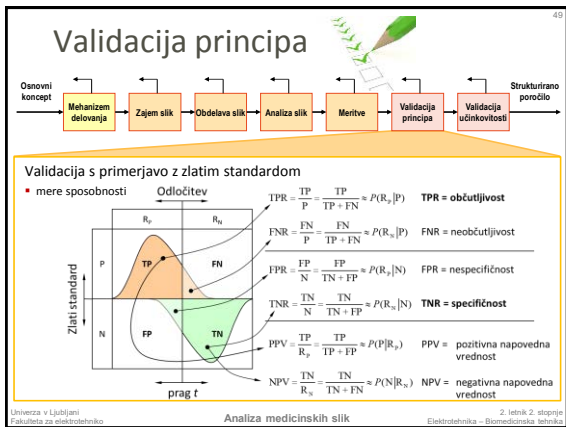
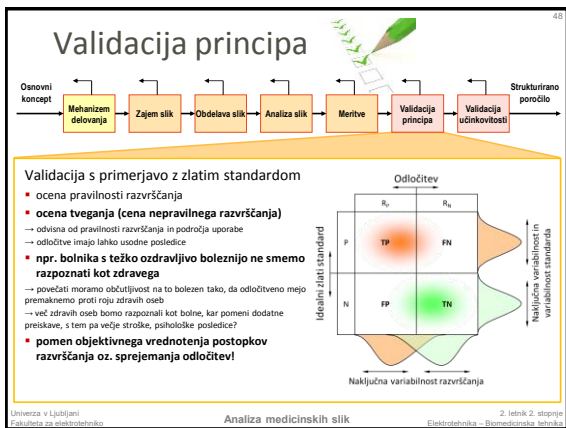
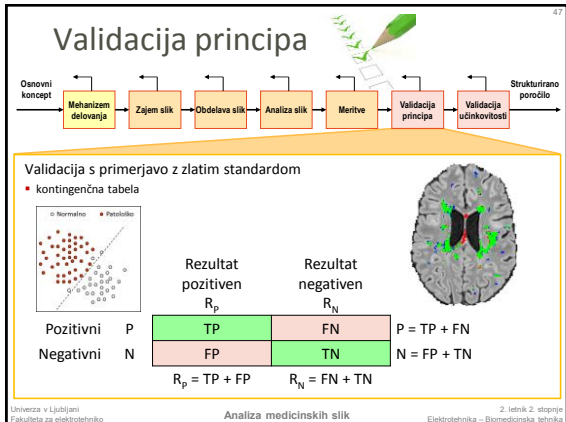
Uporaba referenčnega postopka oziroma zlatega standarda

- podaja najboljšo oz. pravilno odločitev ali vrednost biomarkerja
- slike so lahko sintetične, slike fantomov, kadrov ali bolnikov/subjektov
- od sintetičnih proti realnim slikam narašča biološka variabilnost, prav tako zahtevnost ustvarjanja zlatega standarda
- zlati standard je zato običajno povezan z visokimi vložki (eksperti, čas, denar)

Analiza medicinskih slik

Univerza v Ljubljani
Fakulteta za elektrotehniko

2. letnik 2. stopnje
Elektrotehnika – Biomedicinska tehnika



Validacija principa

50

Validacija s primerjavo z zlatim standardom

- ROC krivulja (ang. receiver operating characteristic) je krivulja, ki kaže občutljivost (TPR) na x-osi proti FPR na y-osi.
- AUC (ang. area under curve) je površina pod ROC krivuljo, ki kaže kakovost različičnosti.

Analiza medicinskih slik

2. letnik 2. stopnje
Elektrotehnika – Biomedicinska tehnika

Validacija principa

51

Primer: validacija postopkov razgradnje lezij

- mere sposobnosti in neparametrični statistični testi

Method	Rater	NBDR (%)	SDS (mm)	LTPW (%)	LFDR (%)	Overall score						
Gremista et al. (2011)	UNC	45.44 ± 33.67	0.48	5.67 ± 6.81	0.99	51.16 ± 20.40	<0.01	76.68 ± 11.95	<0.01	82.07		
	CHB	52.44 ± 29.17	0.80	5.41 ± 9.72	0.60	59.10 ± 19.02	<0.01	71.50 ± 14.90	<0.01			
Bosch et al. (2016)	UNC	52.00 ± 39.00	0.41	6.43 ± 9.66	0.02	56.08 ± 22.45	<0.01	69.78 ± 20.26	<0.01	84.07		
	CHB	52.00 ± 67.40	0.41									
Tomas-Fernandez and Wartfield (2015)	UNC	37.83 ± 26.28	0.35	7.03 ± 5.75	0.09	42.00 ± 15.95	<0.01	64.09 ± 25.97	<0.01	84.46		
	CHB	53.42 ± 56.07	0.86	8.29 ± 7.63	<0.01	51.78 ± 19.73	<0.01	64.00 ± 22.69	<0.01			
Guzmán et al. (2015)	UNC	50.30 ± 36.21	0.31	5.83 ± 5.32	0.09	52.00 ± 19.63	<0.01	61.96 ± 23.09	<0.01	86.11		
	CHB	51.32 ± 30.43	0.95	5.89 ± 5.63	0.06	52.00 ± 19.58	<0.01	61.96 ± 23.09	<0.01			
Jevons and Arfelli (2015)	UNC	46.90 ± 56.23	0.35	5.10 ± 4.20	0.76	43.00 ± 17.98	<0.01	61.30 ± 25.22	<0.01	86.94		
	CHB	50.11 ± 41.11	0.41	6.01 ± 5.12	0.23	50.00 ± 18.00	<0.01	54.71 ± 23.00	<0.01			
Standard RPF ($\rho = 1$, IT, TFL, Atlas)	UNC	1059.55 ± 1023.03	<0.01	0.56 ± 9.48	<0.01	95.50 ± 10.94	<0.01	53.73 ± 18.68	<0.01	87.50 ± 17.58	<0.01	66.01
	CHB	999.15 ± 1612.45	<0.01	10.53 ± 12.25	<0.01	88.48 ± 15.57	<0.01					
Perceived RPF ($\rho = 1$, IT, TFL, Atlas)	UNC	58.12 ± 55.08	-	5.90 ± 7.50	-	59.00 ± 19.53	-	64.69 ± 21.22	-	84.36		
	CHB	96.78 ± 252.28	-	5.77 ± 10.20	-	71.27 ± 31.82	-	82.46 ± 18.27	-			

Univerza v Ljubljani
Fakulteta za elektrotehniko

Analiza medicinskih slik

2. letnik 2. stopnje
Elektrotehnika – Biomedicinska tehnika

Validacija učinkovitosti

52

Validiraj sposobnosti biomarkerjev v obsežni ali več kliničnih študijah, na velikem vzorcu preiskovancev

Določi statistično moč nove tehnologije v idealnih okoliščinah

- Ali tehnologija deluje, ne glede na stroške? (ang. efficacy)

Določi statistično moč nove tehnologije v realnih okoliščinah

- Ali tehnologija deluje s sprejemljivimi stroški (socioekonomskimi)? (ang. efficiency)

Univerza v Ljubljani
Fakulteta za elektrotehniko

Analiza medicinskih slik

2. letnik 2. stopnje
Elektrotehnika – Biomedicinska tehnika

Validacija učinkovitosti

Validacija ponovljivosti in reprodukcije biomarkerja

- ponovljivost (ang. repeatability) = variacija biomarkerja pod istimi pogoji
- reprodukcijska (ang. reproducibility) = variacija biomarkerja pod različnimi pogoji

Bland-Altman diagram
→ graf povprečja in variancije

Razlike vrednosti $d \equiv m_A - m_B$

Povprečje vrednosti $\mu = \frac{m_A + m_B}{2}$

Varianca $s^2 = \frac{\sum (d_i - \bar{d})^2}{n-1}$

Majhna napaka, velika variabilnost

Velika napaka, majhna variabilnost

Majhna napaka, majhna variabilnost

Analiza medicinskih slik

Univerza v Ljubljani
Fakulteta za elektrotehniko

2. letnik 2. stopnje
Elektrotehnika – Biomedicinska tehnika

Validacija učinkovitosti

Primer: meritve volumena lezij z različnimi postopki

- vsek bolnik slikan dvakrat zaporedno na isti napravi
- zaradi majhne časovne razlike ni spremembe patologije
- ponovljivost treh različnih avtomatskih postopkov ovrednotena z Bland-Altman diagrammi

Analiza medicinskih slik

Univerza v Ljubljani
Fakulteta za elektrotehniko

2. letnik 2. stopnje
Elektrotehnika – Biomedicinska tehnika

MSmetric **LST** **Lesion-TADS**

Difference Scan 1 - Scan 2

Average of two scans

Lesion (lesion(m))

Validacija učinkovitosti

Primer: validacija morfoloških T1 MR meritev možganov

- zajem slik 11 bolnikov na treh napravah v enem dnevu
- podvojeni zajem, t.i. scan-rescan, test-retest oz. coffee-break
- izločanje biomarkerjev z enakim postopkom

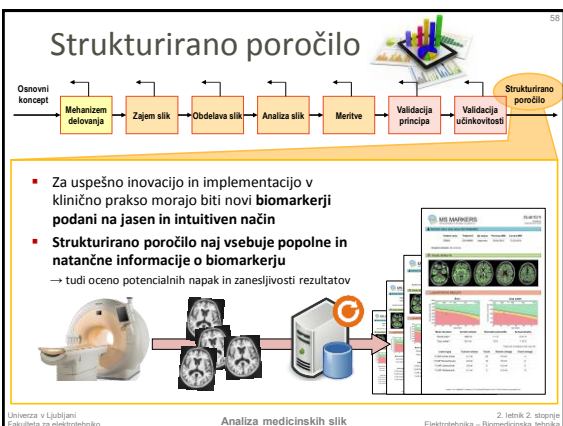
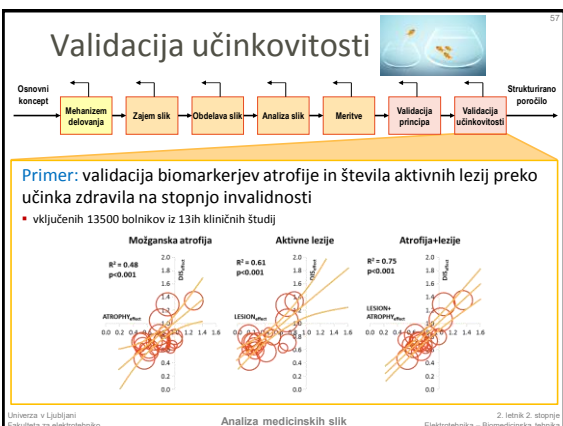
Analiza medicinskih slik

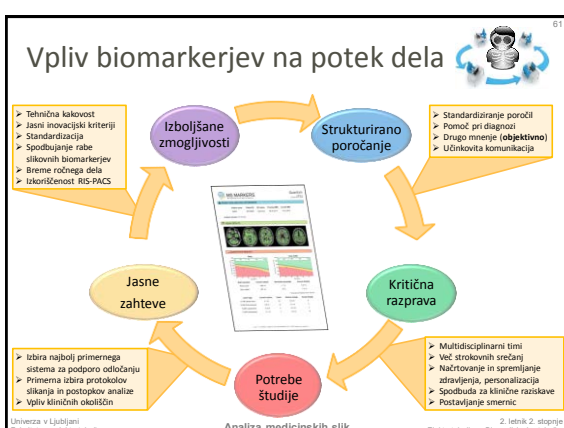
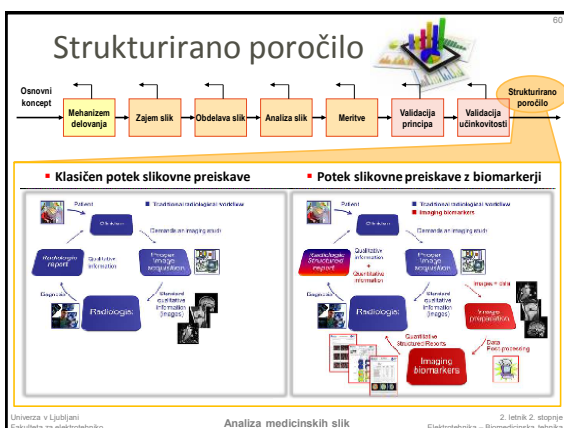
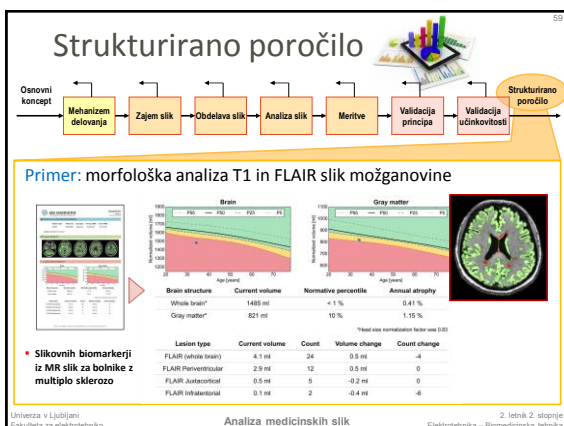
Univerza v Ljubljani
Fakulteta za elektrotehniko

2. letnik 2. stopnje
Elektrotehnika – Biomedicinska tehnika

Philips **Siemens** **GE**

Sken 1, Oseba 1 Sken 2, Oseba 1





Povzetek



- **Računalniška obdelava medicinskih slik omogoča izločanje (več)parametrične informacije**
 - funkcionalni in strukturni slikovni biomarkerji
 - radiološki izvid ni več kvalitativen, pač pa kvantitativen
- **Slikovni biomarkerji nezadržno prodirajo v klinično prakso**
 - bolezenski procesi se na slikah pogosto odražajo še pred kliničnimi znaki
 - koristni za diagnostiko, spremeljanje poteka bolezni in odziva na zdravljenje
 - omogočajo personalizirano medicino, večja tudi objektivnost
- **Validacija poteka od zasnove do končne implementacije**
 - avtomatski postopki so lahko bolj natančni, zanesljivi in ponovljivi
 - preizkušanje v idealnih in realnih okoliščinah (npr. klinične študije)



**SLIKOVNIH BIOMARKERJI SO PLOD MULTIDISCIPLINARNIH RAZISKAV
STROKOVNIKOV IZ RAZLIČNIH PODROČJU, KI S SKUPNIM DELOM PRISPEVajo K
BOLJŠI OSKRBI BOLNIKOV IN K BOLJŠEMU RAZUMEVANJU BOLEZNI**